



جامعة كربلاء

وزارة التعليم العالي والبحث العلمي
جامعة كربلاء
كلية التربية للعلوم الصرفة
قسم علوم الحياة

تقييم فاعلية بعض الرواشح الفطرية العادية والناتوية ضد
الفطر الأسود *Rhizopus stolonifer* خارج الجسم الحي
رسالة مقدمة

إلى مجلس كلية التربية للعلوم الصرفة/جامعة كربلاء وهي جزء من متطلبات نيل درجة الماجستير
في علوم الحياة/علم النبات-فطريات
من قبل

نبأ محمد عبيس

بكالوريوس علوم حياة/كلية التربية
جامعة القادسية -٢٠٠٦

بasherاف

أ.د. بان طه محمد

جامعة كربلاء / كلية التربية للعلوم الصرفة

بِسْمِ اللَّهِ الرَّحْمَنِ الرَّحِيمِ

﴿ يَرْفَعُ اللَّهُ الَّذِينَ آمَنُوا مِنْكُمْ وَالَّذِينَ أَوْتُوا الْعِلْمَ دَرَجَاتٍ ﴾

صدق الله العلي العظيم

المجادلة آية ١١

إقرار المقوم اللغوي

أشهدُ إن هذه الرسالة الموسومة (تقييم فاعلية بعض الروائح الفطرية العاديَّة والنانيَّة ضد الفطر الأسود *Rhizopus stolonifer* خارج الجسم الحي) تمت مراجعتها من الناحيَّة اللغوِيَّة وتصحِّح ما ورد فيها من أخطاء لغوِيَّة وتعبيرِيَّة وبذلك أصبحت الرسالة مؤهلاً للمناقشة بقدر تعلُّق الأمر بسلامة الأسلوب وصحة التعبير.

التوقيع:

الاسم: عصام عالم السعيد
المرتبة العلمية: استاذ دكتور
الكلية والجامعة: كلية العلوم الإسلامية - جامعة تربلاد
التاريخ: ٢٠٢٣ / /

إقرار المشرف على الرسالة

نشهد أن أعداد هذه الرسالة (تقييم فاعلية بعض الروائح الفطرية العادبة والناتوية ضد الفطري الأسود *Rhizopus stolonifer* خارج الجسم الحي) قد جرى تحت إشرافنا في قسم علوم الحياة/ كلية التربية للعلوم الصرفة/ جامعة كربلاء/ وهي جزء من متطلبات نيل درجة الماجستير في الفطريات / علم النبات .

التوقيع: 

الاسم: أ.د. بان طه محمد

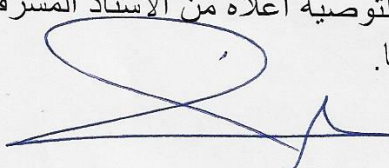
المرتبة العلمية: 

العنوان: كلية التربية للعلوم الصرفة/ جامعة كربلاء

التاريخ: ٢٠٢٣/ /

توصية رئيس قسم علوم الحياة

أشارت إلى التوصية أعلاه من الأستاذ المشرف، أحيل هذه الرسالة إلى لجنة المناقشة لدراستها وبيان الرأي فيها.



التوقيع:

الاسم: أ.د. نصیر میرزا حمزة

المرتبة العلمية:  أ.س.م.د

العنوان: كلية التربية للعلوم الصرفة/ جامعة كربلاء

التاريخ: ٢٠٢٣/ /

إقرار لجنة المناقشة

نحن أعضاء لجنة المناقشة الموقعين أدناه نشهد بأننا قد أطمعنا على الرسالة الموسومة (تقييم

فاطمة بعضاً الرواشح الفطرية العادي والثانوية ضد الفطر الأسود *Rhizopus stolonifer* خارج الجسم الحي) المقدمة من قبل الطالبة (بنا محمد عبيس) كجزء من متطلبات نيل درجة الماجستير قسم علوم الحياة / كلية التربية للعلوم الصرفة / جامعة كربلاء، وبعد إجراء المناقشة العلمية وجد أنها متوافقة لمتطلبات الشهادة وعليه نوصي بقبول الرسالة بتقدير ().

رئيس لجنة المناقشة

التوقيع :

الاسم : د. ساران عبد العليم

المرتبة العلمية : أستاذ

مكان العمل : كلية التربية / كلية العلوم

التاريخ : ٢٠٢٣/١

عضو لجنة المناقشة

التوقيع :

الاسم : الدكتور حماده عباس

المرتبة العلمية : أستاذ

مكان العمل : كلية التربية / كلية العلوم

التاريخ : ٢٠٢٣/١

المشرف

التوقيع :

الاسم : د. ساران طه محمد

المرتبة العلمية : أستاذ

العنوان : جامعة كربلاء / كلية التربية للعلوم الصرفة

التاريخ : ٢٠٢٣/١

عضو لجنة المناقشة

الاسم : د. زهير عبد العليم

المرتبة العلمية : أستاذ مساعد

العنوان : كلية العلوم / جامعة كربلاء

التاريخ : ٢٠٢٣/١

صادقة عمادة كلية التربية للعلوم الصرفة

التوقيع :

الاسم : عصید سالم

المرتبة العلمية :

التاريخ ٢٠٢٣/٧/٢٣

الإهادء

إلى من قاد قلوب البشرية وعقولهم إلى مرفا الأمان، معلم البشرية الأول
محمد صلى الله عليه وآله وسلم ...

إلى ولينا وشفيعنا، قسيم الجنة والنار علي بن أبي طالب عليه السلام ...

إلى الولي المنتظر الحجة أبن الحسن عجل الله تعالى فرجه الشريـف ..

إلى والدتي الغالية ووالدي العزيـز

إلى من كان ظلي حين كان يلفحني التعب، زوجي المخلص ..

إلى بذرة الأمل وأمل الغد، أولادي الأحبـة .. وسام، أحمد، علي

إلى اختي الغالية .. أيمان ..

إلى صديقـتي .. منى ..

إلى شهداء العراق الأبرار ...

إلى كل يد وقلب سار معـي درب الأنجاز لأكون ...

إلى كل هؤلاء أهـدى هذه الدراسة، راجـية من الله أن تكون نافذـة علم
وبطاقة معرفـة ...

نـبا

شكر وتقدير

الحمد والشكر لله جل علاه، إليه ينسب كل الفضل

بعد رحلة بحث وجهد تكلل بإنجاز هذا البحث، لا يسعني إلا أن أخص بأسمى عبارات الشكر والتقدير للأستاذ الدكتورة بان طه محمد لما قدمته لي من جهد ونصح ومعرفة طيلة إنجاز هذا البحث.

وأقدم جزيل شكري وتقديري إلى رئيسة قسم علوم الحياة وأساتذتي الأفضل لتعاونهم اللامحدود أثناء الدراسة...

وشكري وأمتناني للدكتورة شروق كاني ياسين والست نضال وهاب حميد والدكتورة ميساء تقى عبدالحسن لما كان لهن من نصائح وتجيئات، والست منى جابر نعمة، رفيقة دربي.

وأتوجه بشكري وأمتناني إلى الست زينب حسين عذاب..

وتعجز كلمات الشكر لمن شد أزري وأنار دربي، زوجي الحبيب وأمي وأبي وأخواتي متمنية لهم دوام الصحة والعافية ..

والشكر والأمتنان لجميع الأساتذة وطلبة الدراسات العليا في كلية التربية للعلوم الصرفة..

وأخيراً أود أنأشكر كل من ساعدني ولو بكلام طيب ولم أستطع ذكر أسمائهم ...

نبا

الخلاصة Summary

أجريت الدراسة في مختبر الدراسات العليا بكلية التربية للعلوم الصرفة في جامعة كربلاء خلال الفترة من ٢٠٢١/١١/١٥ لغاية ٢٠٢٢/٨/١٥ . بهدف السيطرة على الفطر المسبب لمرض العفن الأسود بإستخدام ظاهرة التضاد الفطري مع الفطريات المعزولة من قشع sputum بعض الأشخاص الذين تعافوا من الإصابة بکوفيد ١٩ . مع إمكانية تحويل الفضة والزنك من الحالة المعدنية إلى حالة نانوية باستخدام تلك الرواشح الفطرية .

تضمنت الدراسة تشخيص أربع عشرة فطراً معزولاً من قشع أشخاص تعافوا من الإصابة بکوفيد ١٩ تشخيصاً تقليدياً ، ثم سخشت جزيئياً بإستخدام تقنية تفاعل البلمرة المتسلسل (PCR) بالإعتماد على بواديء (Primers) خاصة بالتشخيص الجزيئي .

تم تسجيل الفطريات بالبنك الجيني العالمي Genbank و تعد هذه الدراسة كأول دراسة تعنى بهذا العمل على مستوى العراق والمنطقة . وهذه الفطريات هي *Rhizopus americanus* ورقمها التسلسلي ON٩٨١١٠٦ والفطر *Rhizopus stolonifer* ورقمها التسلسلي ON٩٨١٠٩٧ والفطر *Aspergillus brasiliensis* ورقمها التسلسلي ON٩٨١١٠٤ والفطر *Aspergillus flavus* ورقمها التسلسلي ON٩٨١١٠٢ والفطر *Aspergillus costaricensis* ورقمها التسلسلي ON٩٨١١٠١ والفطر *Aspergillus minisclerotigenes* ورقمها التسلسلي ON٩٨١٢٩٧ والفطر *Aspergillus niger* ورقمها التسلسلي ON٩٨١٠٩٨ والفطر *Aspergillus niger* ON٩٨١١٠٥ ورقمها التسلسلي ON٩٨١١٠٧ والفطر *Aspergillus piperis* ورقمها التسلسلي ON٩٨١٢٩٥ والفطر *Aspergillus oryzae* ورقمها التسلسلي ON٩٨١١٠٣ والفطر *Aspergillus tubingensis* رقمها التسلسلي ON٩٨١١٠١ والفطر *Aspergillus tubingensis* رقمها التسلسلي ON٩٨١٢٩٦ والفطر *Aspergillus welwitschiae* رقمها التسلسلي ON٩٨١٠٩٩ .

أظهرت النتائج التقارب والتشابه بين الفطريات المسجلة مع العزلات العالمية . وتم التركيز على ظاهرة التضاد الفطري للفطريات المعزولة من البلغم، فضلاً عن بعض الفطريات الجلدية التي تم الحصول عليها من تجارب سابقة .

بيّنت نتائج التضاد الفطري حصول تباين في القدرة التضادية للفطريات المستخدمة في الدراسة مع فطر *R. stolonifer* ، إذ بلغت ٣ حسب مقياس Bell بعد زراعتها على الوسط الزرعي سايبرويد دكستروز أكار (SDA) بدرجة حرارة ٢٨ °م لمدة خمسة أيام . ومن ثم تنقيتها وتحويلها إلى روашح فطرية .

أوضحت النتائج وجود فروقات معنوية عند مستوى أحتمالية ٠٠٥ لنوع مستخلص الفطر وتركيزه إذ لوحظ تذبذب تأثير الرواشح الفطرية لكن بصورة عامة جميعها قد ثبتت نمو الفطر *R. stolonifer* مقارنة بمعاملة السيطرة التي أعطت معدل نمو قطرى للفطر ٨٠ سم بعد خمسة أيام من الحضن بدرجة حرارة ٢٨ °م . أظهر الرواشح الفطري بالتركيز ٧٥٪ تفوقاً في تأثيره التثبيطي على التراكيز الأخرى ٢٨ °م . ١٠٠٪، ٥٠٪، ٠٪ في نمو *R. stolonifer* وبفروقات معنوية عند مستوى أحتمالية ٠٠٥ ، إذ أعطى معدل نمو الفطر ٢٥٧١ سم وبنسبة تثبيطية ٦٨٪ مقارنة ببقية

التراكيز .١٠٠٪، ٥٠٪، ٢٥٪ التي أعطت معدل نمو للفطر على التوالي ٣.٦١٩، ٣.١٤٣، ٣.١١٩
سم وبنسبة تثبيطية ٦١٪، ٢٣٪، ٥٥٪.

حضرت جميع الرواشح النانوية بعد استخدام الرواشح الفطرية في تحويل الفضة والزنك المعدني إلى ناني ناني إلى الاختبارات وكان أول نقطة تحول إلى راشح ناني هو الدالة اللونية وأختلاف في لون الراشح النانوي عن الراشح العادي قبل المعاملة بأوكسيد الزنك أو نترات الفضة ومن ثم إجريت الفحوصات الأخرى المتعلقة بتأكيد الحصول على المادة النانوية منها فحص الأشعة فوق البنفسجية والأشعة تحت الحمراء.

أوضح النتائج وجود فروقات معنوية عند مستوى احتمالية ٥٪ لنوع راشح الفطر النانوي بالزنك وتركيزه والتداخلات الثنائية في معدل قطر مستعمرة الفطر *R. stolonifer*. إذ أظهرت النتائج تذبذب في تأثير الرواشح ، ولكن بصورة عامة جميع الرواشح الفطرية ثبّطت نمو الفطر *R. stolonifer* . أما تركيز الراشح الفطري بالزنك النانوي فقد أظهر التركيز ٢٥٪ تفوقاً على التركيز ٥٪ ، ٧٥٪ ، ١٠٠٪ في تأثيره التثبيطي في نمو الفطر *R. stolonifer* وبفروقات معنوية عند مستوى ٥٪ ، إذ أعطى معدل نمو الفطر ٧٣٨ سم وبنسبة تثبيطية ٩١٪ مقارنة ببقية التركيز ٥٪ ، ٧٥٪ ، ١٠٠٪ التي أعطت معدل نمو للفطر ١٣١ ، ١٨٥٧ ، ١٨٣٣ سم على التوالي وبنسبة تثبيطية مقدارها ٨٤٪ ، ٧٧٪ ، ٨٤٪ . أما معاملة السيطرة فقد أعطت معدل نمو قطري للفطر ٨ سم. كذلك أظهرت النتائج هناك فروقات معنوية عند مستوى احتمالية ٥٪ لنوع راشح الفطر النانوي بالفضة وتركيزه ، إذ أظهرت النتائج تذبذباً في تأثير الرواشح لكن بصورة عامة جميعها ثبّطت نمو الفطر *R. stolonifer* . من حيث تركيز الراشح الفطري النانوي أظهر التركيز ٢٥٪ تفوقاً على التركيز ٥٪ ، ٧٥٪ ، ١٠٠٪ في تأثيره التثبيطي على نمو *R. stolonifer* وبفروقات معنوية عند مستوى احتمالية ٥٪ ، إذ أعطى معدل نمو الفطر ٤٠٥ سم وبنسبة تثبيطية ٧٪ مقارنة ببقية التركيز التي أعطت معدل نمو ٨٢٧٤ سم على التوالي وبنسبة تثبيط صفر ٦٦٪ ، ٣٨٪ على التوالي ، مقارنة معاملة السيطرة التي أعطت معدل نمو قطري ٨ سم .

أجريت العديد من الفحوصات المجهرية على فطر *Rhizopus R. stolonifer* المعامل بالرواشح الفطرية والمحاليل النانوية وأوضحت تأثير المعاملات المختلفة وتبيان هذا التأثير بين تحمل أو تشوّهات في الغزل الفطري وتجزء البروتوبلازم وتكتله في مناطق أخرى فضلاً عن التشوّهات في الحواشف البوغية وأختلاف أحجامها ونضجها.

فهرس المحتويات

المحتويات

أب.....	الخلاصة.....Summary
١.....	الفصل الاول: المقدمة.....
١.....	1.1 المقدمة Introduction
٢.....	2.1 الهدف من الدراسة:
٢.....	3.1 محاور الدراسة :
٤.....	الفصل الثاني : أستعراض المراجع.....
٤.....	4.2 عفن الفطريات الاسود "Black Fungus"
٨.....	2.2 التضاد الفطري:
٨.....	3.2 فوائد الفطر : <i>Rhizopus spp.</i>
٩.....	4.2 تقنية النانو الفطرية Fungal Nanotechnology
١٢.....	الفصل الثالث :المواد وطرق العمل.....
١٢.....	1.3 الأجهزة والمواد المستعملة Device and Materials
١٤.....	2.3 الأوساط الزرعية Culture Media
١٥.....	3.3 طرائق التعقيم Sterilization methods
١٥.....	4.3 المحاليل والصبغات Solution and Stains
١٦.....	5.3 عزل وتشخيص الفطريات
١٧.....	6.3: الخواص الجزيئية
٢١.....	7.3 تأثير الفطريات المعزولة والجلدية قي نمو الفطر
٢٤.....	8.3: التحليل الاحصائي Statistical analysis
٢٥.....	الفصل الرابع: النتائج.....
٢٥.....	1.4 عزل وتشخيص الفطريات Isolation and Identification of Fungi
٢٥.....	1.1.4 عزل الفطريات:
٢٥.....	2.1.4 تشخيص الفطريات
٣٣.....	3.1.4 صفات الفطريات الجلدية
٣٥.....	4.1.4 الدراسة الجزيئية للعزلات الفطرية
٥٣.....	2.4 خصائص الرواشح الفطرية المحضرة

53	1.2.4 الوصف المظاهري للرواشح الفطرية والنانية بالزنك والفضة
2.2.4 خصائص المركب النانوي لجسيمات نترات الفضة $AgNpS$ الناتجة من الرواشح	
54	الفطرية مع نترات الفضة بواسطة <i>UVL</i> (جهاز مقياس الأشعة فوق البنفسجية)
69	3.2.4: خصائص جسيمات أوكسيد الزنك النانوية Characterization of ZnO Nanoparticles
78	4-2-4 مطياف الأشعة تحت الحمراء (FTIR)
99	3.4: تأثير تراكيز مختلفة من روашح الفطريات بالزنك النانوي في معدل قطر (سم) <i>Rhizopus stolonifer</i>
112	4.4 تأثير تراكيز مختلفة من الرواشح الفطرية المختلفة في الفطر <i>Rhizopus stolonifer</i> مجهريا
123	الفصل الخامس: المناقشة
١٢٣	1.5 عزل وتشخيص الفطريات Isolation and Identification of Fungi
124	2.5 الكفاءة التضادية للفطريات المعزولة ضد الفطر <i>Rhizopus stolonifer</i>
125	3.5 تأثير تراكيز مختلفة من الرواشح الفطرية في نمو أقطار (سم) فطر <i>Rhizopus stolonifer</i>
127	4.5: خصائص الرواشح الفطرية بالمواصفات النانوية :
132	5.5 الصفات المجهرية لفطر <i>Rhizopus stolonifera</i> المعامل بالرواشح المختلفة
133	الفصل السادس: الاستنتاجات والتوصيات
133	1.6 الاستنتاجات
134	2.6 التوصيات
135	المصادر
157	الملحق

فهرس الصور

رقم الصفحة	اسم الشكل
٢٦	الشكل (١-٤) : فطر <i>Rhizopus spp</i> على وسط SDA، بدرجة حرارة ٢٨ م A: وجه المستعمرة B: ظهر المستعمرة C: الشكل المجهرى X٤٠
٢٧	الشكل (٢-٤) : فطر <i>Aspergillus brasiliensis</i> على وسط SDA ، بدرجة حرارة ٢٨ ٠ م ، لمدة عشرة ايام. A: وجه المستعمرة B: ظهر المستعمرة C: الشكل المجهرى X٤٠
٢٨	الشكل (٣-٤): فطر <i>Aspergillus costaricensis</i> على وسط SDA ، بدرجة حرارة ٢٨ ٠ م ، لمدة عشرة ايام. A: وجه المستعمرة B: ظهر المستعمرة C: الشكل المجهرى X٤٠
٢٨	الشكل (٤-٤) : فطر <i>Aspergillus flavus</i> على وسط SDA ، بدرجة حرارة ٢٨ ٠ م ، لمدة عشرة ايام. A: وجه المستعمرة B: ظهر المستعمرة C: الشكل المجهرى X٤٠
٢٩	الشكل (٥-٤): فطر <i>Aspergillus minisclerotigenes</i> على وسط SDA بدرجة حرارة ٢٨ ٠ م ، لمدة عشرة ايام. A: وجه المستعمرة B: ظهر المستعمرة C: مقطع مكبر من مزرعة فطرية D٤٠ . <i>sclerotia</i> يظهر فيه الاجسام الحجرية . X٤٠
٣٠	الشكل (٦-٤): فطر <i>Aspergillus niger</i> على وسط SDA ، بدرجة حرارة ٢٨ ٠ م ، لمدة خمسة ايام. A: وجه المستعمرة B: ظهر المستعمرة C: الشكل المجهرى X٤٠
٣٠	الشكل (٧-٤): فطر <i>Aspergillus oryzae</i> على وسط SDA ، بدرجة حرارة ٢٨ ٠ م ، لمدة خمسة ايام. A: وجه المستعمرة B: ظهر المستعمرة C: الشكل المجهرى X٤٠
٣١	الشكل (٨-٤): فطر <i>Aspergillus piperisr</i> على وسط SDA ، بدرجة حرارة ٢٨ ٠ م ، لمدة خمسة ايام. A: وجه المستعمرة B: ظهر المستعمرة C: الشكل المجهرى X٤٠
٣٢	الشكل (٩-٤): الفطر <i>Aspergillus tubingensis</i> على وسط SDA ، بدرجة حرارة ٢٨ ٠ م ، لمدة خمسة ايام. A: وجه المستعمرة B: ظهر المستعمرة C: الشكل المجهرى X٤٠
٣٢	الشكل (١٠-٤): الفطر <i>Aspergillus welwitschiae</i> على وسط SDA ، بدرجة حرارة ٢٨ ٠ م ، لمدة خمسة ايام.
٣٣	الشكل (١١-٤) : فطر <i>Trichophyton rubrum</i> على وسط SDA ، بدرجة حرارة ٣٠ ٢٨ م ، لمدة ٢٨ يوما A: وجه المستعمرة B: ظهر المستعمرة C: الشكل المجهرى X٤٠
٣٤	الشكل (١٢-٤) : فطر <i>Microsprum canis</i> على وسط SDA ، بدرجة حرارة ٣٠ ٢٨ م ، لمدة ٢٨ يوما. A: وجه المستعمرة B: ظهر المستعمرة C: الشكل المجهرى X٤٠

٣٤	الشكل (٤-١٣) : فطر <i>Epidermophyton floccosum</i> على وسط SDA بدرجة حرارة ٣٠ م ، لمدة ٢٨ يوما A: وجه المستعمرة B: ظهر المستعمرة C: الشكل المجهرى X٤٠
٣٥	الشكل (٤-١٤) : فطر <i>Microsporum gypseum</i> على وسط SDA ، بدرجة حرارة ٣٠ م ، لمدة ٢٨ يوما A: وجه المستعمرة B: ظهر المستعمرة C: الشكل المجهرى X٤٠
٣٥	الشكل (٤-١٥) : الترhill الكهربائي على هلام الاكاروز ١.٥% وفولتنيه ١٠٠ لمدة ساعة . ايجابي الفحص بين bp٧٠٠-٦٠٠
٣٧	الشكل (٤-١٦) يمثل الشجرة الوراثية للعزلة الفطرية الاولى للفطر <i>Rhizopus stolonifer</i> مؤشر بمثلث) مع أنواع وسلالات أخرى معروفة تعود للجنس نفسه
٣٨	الشكل (٤-١٧) يمثل الشجرة الوراثية للعزلة الفطرية الثانية للفطر <i>Aspergillus niger</i> (مؤشر بمثلث) مع أنواع وسلالات أخرى معروفة تعود للجنس نفسه
٣٨	الشكل (٤-١٨) يمثل الشجرة الوراثية للعزلة الفطرية الثالثة للفطر <i>Aspergillus welwitschiae</i> (مؤشر بمثلث) مع أنواع وسلالات أخرى معروفة تعود للجنس نفسه
٣٩	الشكل (٤-١٩) يمثل الشجرة الوراثية للعزلة الفطرية الثالثة للفطر <i>Aspergillus minisclerotigenes</i> (مؤشر بمثلث) مع أنواع وسلالات أخرى معروفة تعود للجنس نفسه
٤٠	الشكل (٤-٢٠) يمثل الشجرة الوراثية للعزلة الفطرية الخامسة للفطر <i>Aspergillus tubingensis</i> (مؤشر بمثلث) مع أنواع وسلالات أخرى معروفة تعود للجنس نفسه
٤٠	الشكل (٤-٢١) يمثل الشجرة الوراثية للعزلة الفطرية السادسة للفطر <i>Aspergillus costaricensis</i> (مؤشر بمثلث) مع أنواع وسلالات أخرى معروفة تعود للجنس نفسه
٤١	الشكل (٤-٢٢) يمثل الشجرة الوراثية للعزلة الفطرية السابعة للفطر <i>Aspergillus oryzae</i> (مؤشر بمثلث) مع أنواع وسلالات أخرى معروفة تعود للجنس نفسه
٤٢	الشكل (٤-٢٣) يمثل الشجرة الوراثية للعزلة الفطرية الثامنة للفطر <i>Aspergillus piperis</i> (مؤشر بمثلث) مع أنواع وسلالات أخرى معروفة تعود للجنس نفسه
٤٢	الشكل (٤-٢٤) يمثل الشجرة الوراثية للعزلة الفطرية التاسعة للفطر <i>Aspergillus brasiliensis</i> (مؤشر بمثلث) مع أنواع وسلالات أخرى معروفة تعود للجنس نفسه
٤٣	الشكل (٤-٢٥) يمثل الشجرة الوراثية للعزلة الفطرية العاشرة للفطر <i>Aspergillus flavus</i> (مؤشر بمثلث) مع أنواع وسلالات أخرى معروفة تعود للجنس نفسه
٤٣	الشكل (٤-٢٦) يمثل الشجرة الوراثية للعزلة الفطرية الحادية عشر للفطر <i>Rhizopus americanus</i> (مؤشر بمثلث) مع أنواع وسلالات أخرى معروفة تعود للجنس نفسه

٤٥	الشكل (٢٧-٤) : الكفاءة التضادية للفطريات المعزلة ضد الفطر ، بدرجة حرارة ٢٨ ٠ م ، لمدة بين <i>Rhizopus stolonifer</i> على وسط SDA خمسة أيام
٥٣	الشكل (٤ - ٢٨) : تأثير تراكيز مختلفة من الرواشح الفطرية المعزلة والفطريات لتنبيط <i>Rhizopus stolonifer</i> الجلدية في معدل قطر (سم) والنسبة المئوية الجهة الامامية للطبق = A . لمدة خمسة أيام حرارة ٢٨ م على وسط SDA الفطر الجهة الخلفية للطبق = B ،
٥٤	الشكل (٤ - ٢٩) : الخواص المظهرية للرواشح الفطرية المستخلص الاخضر A: مستخلص الفطر: B راشح الفطر المعامل بالزنك النانوي C: بالفضة النانوية
٥٥	الشكل (٤ - ٣٠) الراشح الفطري لفطر <i>A brasiliensis</i>
٥٦	الشكل (٤ - ٣١) الراشح الفطري لفطر <i>Aspergillus costaricensis</i>
٥٧	الشكل (٤ - ٣٢) الراشح الفطري لفطر <i>Aspergillus flavu</i>
٥٨	الشكل (٤ - ٣٣) الراشح الفطري لفطر <i>Aspergillus minisclerotigene</i>
٥٩	الشكل (٤ - ٣٤) الراشح الفطري لفطر <i>Aspergillus niger</i>
٦٠	الشكل (٤ - ٣٥) الراشح الفطري لفطر <i>Aspergillus oryzae</i>
٦١	الشكل (٤ - ٣٦) الراشح الفطري لفطر <i>Aspergillus piperis</i>
٦٢	الشكل (٤ - ٣٧) الراشح الفطري لفطر <i>Aspergillus tubigensis</i>
٦٣	الشكل (٤ - ٣٨) الراشح الفطري لفطر <i>Aspergillus welwitschiae</i>
٦٤	الشكل (٤ - ٣٩) الراشح الفطري لفطر <i>Epidermophyton floccosum</i>
٦٥	الشكل (٤ - ٤٠) الراشح الفطري لفطر <i>Microsporum canis</i>
٦٦	الشكل (٤ - ٤١) الراشح الفطري لفطر <i>Microsporum gypseum</i>
٦٧	الشكل (٤ - ٤٢) الراشح الفطري لفطر <i>Trichophyton rubrum</i>
٦٨	الشكل (٤ - ٤٣) الراشح الفطري لفطر <i>Rhizopus americanus</i>
٦٩	الشكل (٤ - ٤٤) المطياف أعلى طول موجي لأوكسيد الزنك النانوي لراشح فطر <i>A brasiliensis</i>
٧٠	الشكل (٤ - ٤٥) المطياف أعلى طول موجي لأوكسيد الزنك النانوي لراشح فطر <i>Aspergillus welwitschiae</i>

٧١	الشكل (٤٦-٤) المطياف أعلى طول موجي لأوكسيد الزنك النانوي لراشح فطر <i>Aspergillus costaricensis</i>
٧١	الشكل (٤٧-٤) المطياف أعلى طول موجي لأوكسيد الزنك النانوي لراشح فطر <i>Aspergillus flavus</i>
٧٢	الشكل (٤٨-٤) المطياف أعلى طول موجي لأوكسيد الزنك النانوي لراشح فطر <i>Aspergillus minisclerotigenes</i>
٧٣	الشكل (٤٩-٤) المطياف أعلى طول موجي لأوكسيد الزنك النانوي لراشح فطر <i>Aspergillus niger</i>
٧٣	الشكل (٤٥٠-٤) المطياف أعلى طول موجي لأوكسيد الزنك النانوي لراشح فطر <i>Aspergillus oryza</i>
٧٤	الشكل (٤٥١-٤) المطياف أعلى طول موجي لأوكسيد الزنك النانوي لراشح فطر <i>Aspergillus piperis</i>
٧٥	الشكل (٤٥٢-٤) المطياف أعلى طول موجي لأوكسيد الزنك النانوي لراشح فطر <i>Aspergillus tubigensis</i>
٧٥	الشكل (٤٥٣-٤) المطياف أعلى طول موجي لأوكسيد الزنك النانوي لراشح فطر <i>Epidermophyton floccosum</i>
٧٦	الشكل (٤٥٤-٤) المطياف أعلى طول موجي لأوكسيد الزنك النانوي لراشح فطر <i>Microsporum canis</i>
٧٦	الشكل (٤٥٥-٤) المطياف أعلى طول موجي لأوكسيد الزنك النانوي لراشح فطر <i>Microsporum gypseum</i>
٧٧	الشكل (٤٥٦-٤) المطياف أعلى طول موجي لأوكسيد الزنك النانوي لراشح فطر <i>Trichophyton rubrum</i>
٧٨	الشكل (٤٥٧-٤) المطياف أعلى طول موجي لأوكسيد الزنك النانوي لراشح فطر <i>Rhizopus americanus</i>
٧٩	الشكل (٤٥٨-٤) طيف الاشعة تحت الحمراء لجسيمات الفضة النانوية للفطر <i>Microsporum gypseum</i>
٧٩	الشكل (٤٥٩-٤) يوضح طيف الاشعة الحمراء لراشح الفطر <i>Aspergillus flavus</i>
٨٠	الشكل (٤٦٠-٤) طيف الاشعة الحمراء لراشح الفطر <i>Aspergillus welwitschiae</i>
٨١	الشكل (٤٦١-٤) طيف الاشعة الحمراء لراشح الفطر <i>Trichophyton rubrum</i>
٨٢	الشكل (٤٦٢-٤) يوضح طيف الاشعة الحمراء للفطر <i>Aspergillus niger</i>
٨٣	الشكل (٤٦٣-٤) يوضح طيف الاشعة الحمراء لراشح الفطر <i>Aspergillus piperis</i>
٨٤	الشكل (٤٦٤-٤) يوضح طيف الاشعة الحمراء لراشح الفطر <i>Aspergillus brasiliensis</i>
٨٥	الشكل (٤٦٥-٤) يوضح طيف الاشعة الحمراء لراشح الفطر <i>Aspergillus minisclerotigenes</i>
٨٥	الشكل (٤٦٦-٤) يوضح طيف الاشعة الحمراء لراشح الفطر

		<i>Aspergillus oryza</i>
٨٦	الشكل (٤-٦٧) يوضح طيف الاشعة الحمراء لراشح فطر <i>Rhizopus americanus</i>	
٨٧	الشكل (٤-٦٨) يوضح طيف الاشعة الحمراء لراشح الفطر <i>Aspergillus costaricensis</i>	
٨٨	الشكل (٤-٦٩) يوضح طيف الاشعة الحمراء للفطر <i>Aspergillus tubingensis</i>	
٨٨	الشكل (٤-٧٠) يوضح طيف الاشعة الحمراء لراشح الفطر <i>Microsporum canis</i>	
٨٩	الشكل (٤-٧١) يوضح طيف الاشعة الحمراء لراشح الفطر <i>Epidermophyton floccosum</i>	
٩٠	الشكل (٤-٧٢) يوضح طيف الاشعة الحمراء لراشح الفطر <i>Microsporum gypsym</i>	
٩١	الشكل (٤-٧٣) يوضح طيف الاشعة الحمراء لراشح الفطر <i>Aspergillus flavus</i>	
٩١	الشكل (٤-٧٤) يوضح طيف الاشعة الحمراء لراشح الفطر <i>Aspergillus welwitschiae</i>	
٩٢	الشكل (٤-٧٥) يوضح طيف الاشعة الحمراء لراشح الفطر <i>Trichophyton rubrum</i>	
٩٣	الشكل (٤-٧٦) يوضح طيف الاشعة الحمراء لراشح الفطر <i>Aspergillus niger</i>	
٩٣	الشكل (٤-٧٧) يوضح طيف الاشعة الحمراء لراشح فطر <i>Aspergillus piperis</i>	
٩٤	الشكل (٤-٧٨) يوضح طيف الاشعة الحمراء لراشح فطر <i>Aspergillus brasiliensis</i>	
٩٥	الشكل (٤-٧٩) يوضح طيف الاشعة الحمراء لراشح فطر <i>Aspergillus minisclerotigenes</i>	
٩٥	الشكل (٤-٨٠) يوضح طيف الاشعة الحمراء لراشح فطر <i>Aspergillus oryza</i>	
٩٦	الشكل (٤-٨١) يوضح طيف الاشعة الحمراء لراشح فطر <i>Rhizopus americanus</i>	
٩٧	الشكل (٤-٨٢) يوضح طيف الاشعة الحمراء لراشح فطر <i>Aspergillus costaricensis</i>	
٩٧	الشكل (٤-٨٣) يوضح طيف الاشعة الحمراء لراشح فطر <i>Aspergillus tubingensis</i>	
٩٨	الشكل (٤-٨٤) يوضح طيف الاشعة الحمراء لراشح فطر <i>Microsporum canis</i>	
٩٩	الشكل (٤-٨٥) يوضح طيف الاشعة الحمراء لراشح فطر <i>Epidermophyton floccosum</i>	
١٠٥	الشكل (٤-٨٦) يوضح تأثير تراكيز مختلفة من رواشح الفطريات بالزنك النانوي في معدل قطر (سم) <i>Rhizopus stolonifer</i>	
١١١	الشكل (٤-٨٧) يوضح تأثير تراكيز مختلفة من رواشح الفطريات المعاملة بالفضة	

فهرس الصور

	<p>Rhizopus stolonifer النانوية في معدل قطر (سم)</p>
١١٦	<p>الشكل (4-88) يوضح تأثير تراكيز مختلفة من روائح الفطرية المعاملة بالزنك مجهريا Rhizopus stolonifer النانوي في الفطر</p>
١٢٢	<p>الشكل (4-89) يوضح تأثير تراكيز مختلفة من الروائح الفطرية المعاملة بالفضة مجهريا Rhizopus stolonifer النانوية في الفطر</p>

فهرس الجداول

رقم الصفحة	اسم الجدول
١٢	الجدول (١-٣) : الأجهزة والمعدات المختبرية التي استخدمت في الدراسة مع اسم الشركة وبلد المنشأ
١٣	الجدول (٢-٣) المواد الكيميائية التي استخدمت في الدراسة مع اسم الشركة وبلد المنشأ
٢٠	الجدول (٣-٣) يوضح تسلسل البادئات التي استخدمت في الدراسة primary used in the study
٢٠	الجدول (٤-٣) يوضح تفاعل Reaction components of PCR :PCR
٢١	الجدول (٥-٣) يوضح حالات الدورات الحرارية لفحص PCR Thermocycler
٢٥	الجدول (٤ - ١) : الانواع الفطرية المعزولة من ٢٥ عينة مع الارقام التسلسلية المسجلة في البنك الجيني العالمي ، بغض النظر عن sputum . العمر والجنس وسواء اكان الشخص متعافي من مرض كوفيد-١٩ أو غير مصاب . بدرجة حرارة ٢٨ م ، لمدة بين خمسة الى عشرة ايام حسب SDA على وسط نوع الفطر .
٣٧	الجدول (٤-٤) الأرقام التسلسلية للعزلات الفطرية في البنك الجيني GinBank
٤٤	الجدول (٤ - ٣) : الكفاءة التضاديه للفطريات المعزولة والفطريات الجلدية ضد الفطر
٤٨	الجدول (٤ - ٤) : تأثير تراكيز مختلفة من الرواشح الفطرية المعزولة والفطريات Rhizopus الجلدية في معدل قطر (سم) والنسبة المئوية لتنبيط الفطر ، بدرجة حرارة ٢٨ م ، لمدة خمسة أيام SDA على وسط stolonifer
١٠١	الجدول (٥-٤) : تأثير تراكيز مختلفة من روашح الفطريات المعاملة بالزنك النانوي Rhizopus stolonifer في معدل قطر (سم) والنسبة المئوية لتنبيط الفطر حرارة حرارة ٢٨ م لمدة خمسة أيام
١٠٧	الجدول (٦-٤) : تأثير تراكيز مختلفة من رواشح الفطريات المعاملة بالفضة النانوية Rhizopus stolonifer في معدل قطر (سم) والنسبة المئوية لتنبيط الفطر حرارة حرارة ٢٨ م لمدة خمسة أيام

الفصل الأول

المقدمة

Introduction

الفصل الأول: المقدمة

١.١ المقدمة Introduction

الفطريات هي مجموعة من الكائنات الحية التي لم يتم دراستها بقدر أهميتها في نواحي الحياة المتنوعة والمثيرة للانتباه والجدل ، ولعل أبرز ماتم تسجيله عن تلك الكائنات هو أهميتها من الناحية الطبية Homei Khachatourians (٢٠٠٦) والصناعية Leatham (٢٠١٢) والزراعية Arora (٢٠٠١) والبيئية Pang و Jones (٢٠٢٢) وبسبب سماتها الفريدة في المعيشة والتكيف تم تطبيقها في التكنولوجيا الحيوية والصناعية علاوة على ذلك يمكن زراعتها بسهولة نسبية وإنجذبها على نطاق واسع كإنتاج البنسلين ولوفاستاتين وأدوية أخرى ذات أهمية عالمية ولا تزال مورداً غير مستغل مع إمكانات صناعية هائل Hyde (٢٠١٩) وأخرون .

ظهر داء الغشاء المخاطي Mucormycosis بشكل إصابة فطرية تسببها فطريات إنتهازية Zygomycetes opportunistic fungi تعود إلى مجموعة الفطريات الزيجية Choudhary (٢٠٢١) ويحدث هذا الداء بسبب عدوى ثانوية نتيجة استنشاق الفطريات الخيطية خاصة في المرضى الذين يعانون من نقص المناعة فتسبب مايعرف بالعفن الأسود وهي عدوى خطيرة نادرة وتنتشر بسرعة في العضو المصاب وغير معديه Mahalaxmi (٢٠٢١، وأخرون).

ظهرت العدوى بهذا الداء بشكل واضح خلال جائحة كورونا COVID-١٩ وخاصة المرضى الذين يعانون من مرض السكري وعن طريق إعطاؤهم العلاج وخاصة الأدوية المبنطة للمناعة مثل الستيرويد Al-Khikani (٢٠٢١) ويمكن أن تظهر الأصابة في الجيوب الأنفية أو الرئة بعد استنشاق الهواء المحمل بالفطر فضلا عن ذلك يمكن أن تؤثر الفطريات على الدماغ والجلد والكلى ويمكنها اختراق الجلد عن طريق الجروح أو القروح المفتوحة كما يصيب الأشخاص المصابين بالسرطان أو المصابين بمرض فيروس نقص المناعة (Karthikeyan ٢٠٢٢، وأخرون).

بعد الانشار الهائل للفطريات الإنتهازية في البيئة تحدياً صعباً وبسبب القدرة الفريدة على التكيف مع البيئة و مقاومة آليات الدفاع المختلفة التي يستخدمها المضييف فضلا عن العوامل المضادة للفطريات مما يجعل السيطرة على التلوث الفطري والإصابة بالفطريات موضع جدل وأهتمام الباحثين (Medvedeva Kuzikova ٢٠٢١،) .

أتجهت بعض الأبحاث إلى تطبيق ظاهرة التضاد الفطري Antagonism لما له من أهمية في المكافحة الحيوية أذ تمتلك بعض الفطريات درجة تضاد مختلفة فيما بينها إعتمادا على نوع الفطر

والوسط الغذائي قاسم و أنفال (٢٠٢١) وإن ظاهرة التضاد الفطري للفطريات المسيبة للأمراض النباتية بوساطة الفطريات غير ممرضة نتيجة لوجود التنافس على المادة الغذائية أو بسبب انتشار مادة كيميائية ينتجها الفطر غير الممرض وقد يكون مركباً عضوياً متطايراً مثل الهيدروكربونات والكحولات والكيتونات والألديهيدات والإسترات والأحماض والإثيرات وفئات مختلفة من التربيعات والذي تلعب دوراً في تضاد الفطريات المسيبة للأمراض كما في حالة فطر *Trichoderma* عند زراعته بطبق مزدوج من الفطريات الممرضة *Sclerotinia sclerotiorum* و *Sclerotinia sclerotiorum* و *Fusarium oxysporum-* *rolfsii* Rajan (٢٠٢١). ومع تطور طرق الاستخلاص تم إستخلاص الرواشح الفطرية والإستقادة من فعاليتها الكيميائية والحيوية في تثبيط بعض الفطريات الجلدية كما حصل في نتائج الزرع المزدوج للفطر البازيدي *Marasmius palmivorus* المضاد بتغلبه على الفطر الممرض *Trichophyton rubrum* أذ أحدث ضرراً وتشويهاً للغزل فطري وأثر على تقارب الحواجز *Septa* وإنما مشوهًّاً على الجدار الخلوي وأنخفاضًّاً في أعداد الأبواغ الكبيرة (٢٠٢١، ALmasoodi).

دخلت المواد النانوية ومستحضراتها الحيوية الجوانب العملية إذ أمكن الإستقادة من تحويل المستخلصات المائية والكحولية لفطر المشروم *Agaricus bisporus* إلى مركبات نانوية بالزنك النانوي والفضة النانوية كمحاولة لأيجاد بديلاً للمضادات الفطرية وتثبيط نمو الفطريين الممرضين *Microsporum canis* و *Trichophyton rubrum* عن طريق تأثيره على جين الإنزيم المسؤول عن تكوين الجدار الخلوي للفطريين الممرضين (٢٠٢١، Hameedd).

١. الهدف من الدراسة:

السيطرة على الفطر الاسود باستخدام الرواشح الفطرية المستحصل عليها من النبت الطبيعي للأشخاص المتعافين وغير المصابين بكورونا و التي ستظهر تضاداً عالياً ضد الفطر *Rhizopus spp.* ومعاملتها بتراثات الفضة وأوكسيد الزنك وتحويلها إلى محليل نانوية وحساب نسبة التثبيط بدلةً أقطر المستعمرات .

٢. محاور الدراسة :

- ١) الحصول على النبت الطبيعي من العزلات الفطرية من بلغم sputum الأشخاص الذين تم شفاؤهم من كورونا أو غير المصابين وتشخيصها تقليدياً وجزئياً.
- ٢) زراعة البلغم على وسط مناسب وعزل وتشخيص الفطريات التي ستظهر تقليدياً بالفحص المجهي .

- ٣) عزل الفطر *Rhizopus spp.* وعمل تضاد له بالزراعة المزدوجة في طبق بتري مع الفطريات الأخرى المعزولة .
- ٤) يتم الإستعانة بالفطريات التي أظهرت تضادا مع فطر *Rhizopus spp.* لغرض تحضير الرواشح الفطرية منها وتنميتها على الوسط السائل Broth .
- ٥) تسجيل الفطريات التي أظهرت التضاد في البنك الجيني العالمي genbanck وتحديد الشجرة الوراثية ومدى التقارب والتباين مع العزلات العالمية .
- ٦) تحويل الرواشح الفطرية للفطريات التي أظهرت تضادا مع فطر الـ *Rhizopus* إلى محليل نانوية ممثلة بالزنك النانوي والفضة النانوية .
- ٧) تسجيل النتائج بدلالة أقطار المستعمرات والصفات المظهرية والمجهريّة .
- ٨) تحليل البيانات أحصائيا .

الفصل الثاني

استعراض المراجع

literature Review

الفصل الثاني : استعراض المراجع

١.٢ عفن الفطريات الأسود "Black Fungus"

يسbib العفن الأسود Black Fungus مجموعة من الفطريات التي تتنمي للأعغان اللاحقية Apophysomyces من رتبة Zygomycetes Prakas Mucorales مثل *Mucor* و *Mortierella* و *Lichtheimia* و *Cunninghamella* و *Cokeromyces* *Syncephalastrum* و *Saksenaea* و *Rhizomucor* و *Rhizopus* *Grossman* كما ذكر Thamnostylum "الفطر الأسود" على أنواع Mucorales المسببة للأمراض البشرية بسبب تكوين sporangium ذات اللون الأسود وأخرون (٢٠١٦). جاءت تسمية "الفطر الأسود" Arunaloke و Hariprasath (٢٠١٩). يحدث داء الغشاء المخاطي بشكل رئيسي عن طريق *R. arrhizus* spp. *R. oryzae* و *R. microsporus* و *R. homothallicus* Ghosh (٢٠٢٢) وبشكل عام يكون الغزل الفطري غير مقسم لا يحتوي حواجز عرضية بين الخلايا ويظهر المايسيليوس بشكل أنبوب يحتوي على السايتوبلازم والعديد من الأنوية وهي أما أن تتكاثر جنسيا عن طريق الأخصاب بين حافظتين متشابهتين في الشكل والحجم وقد تكون ذات أصل واحد أو أصلين منفصلين وينتج من هذا التزاوج تركيب ما يعرف Zygospore والذى يتميز بقدراته على مقاومة الظروف البيئية المختلفة و يحتوي على أشباه جذور Rhizoid يختلف موقعها بحسب الجنس داخل الوسط الزراعي فتكون تحت الحامل السبورانجي في ال *Rhizopus* وفي مكان بعيد عن الحامل في ال *Mucor* تتكاثر بسرعة عن طريق الأبواغ اللاجنسية spores التي تتطور داخليا داخل حويصلة تسمى sporangium وتتميز بإحتوائها على أنبعاج إلى داخل الحافظة يسمى Columella و تتميز الحافظة بأنها تحتوي عدد كثيرا من الأبواغ و يتراوح قطر الأبواغ في Mucorales من ٣ إلى ١١ ميكرومتر ويمكن بسهولة تطويرها بالهواء الجوي Carmen (٢٠١٧، Sciortino).

تعد أجناس Mucorales واحدة من أفضل محللات المواد العضوية و غالباً ما توجد في المواد العضوية المتحللة مثل الفواكه والخضروات وفي القمامه وروث الحيوانات وأن الجراثيم الفطرية توجد محمولة في الهواء الداخلي والخارجي وفي الغبار وفي بيوت المستشفى و أسرة المستشفى وغرف العناية المركزية وأماكن المياه والمعدات الطبية الملوثة وأعمال البناء Richardson (٢٠٠٩) ينتشر داء الغشاء المخاطي عادة عن طريق استنشاق الأبواغ أو عن طريق تناول الطعام الملوث أو عن طريق الجرح المفتوح وبعد الجهاز التنفسى والجلد هما نقاط الدخول الرئيسية

وتجرد الإشارة إلى أنه لا ينتقل بين الناس (Richardson و Rautemaa-Richardson . ٢٠١٩) .

ظهر فطار الغشاء المخاطي كثالث أكثر أنواع الفطريات الغازية شيوعاً من حيث الأهمية بعد داء المبيضات وداء الرشاشيات في مرض زرع الخلايا الجذعية الدموية ونقل الأعضاء (Liberatore وأخرون ٢٠٢١) وبعد المرحلة الأولى من Covid-١٩ ظهرت في الموجة الثانية وخاصة في الهند إصابة فطرية عرفت Mucormycosis والتي ظهرت متزامنة مع استخدام مثبطات المناعة لمكافحة كوفيد - ١٩ خاصة عند المرضى الذين يعانون من ارتفاع السكر في الدم ومرضي السكري ومرضى زرع الأعضاء ونخاع العظام وتليف الكبد وفقر الدم الوراثي هم أكثر عرضة بالإصابة بالعفن الأسود مصحوباً لكورونا وهنا يكون التشخيص المبكر والعلاج المضاد للفطريات في الوقت المناسب مع التداخل الجراحي لجميع الأنسجة المصابة والعلاجات المساعدة هي العوامل الرئيسية للقضاء على فطار الغشاء المخاطي Choudhary وأخرون (٢٠٢١) وقد ثبت إن عوامل مثل ارتفاع السكر في الدم وتركيزات الحديد المرتفعة والحمض الكيتوني لدى مرضى السكر تساهم في التسبب في الإصابة الفطرية (Ghosh وأخرون ٢٠٢٢) .

يمكن تصنيف داء الغشاء المخاطي تبعاً لموضع الإصابة : (١) الأنف rhinocerebral (٢) الرئوي pulmonary (٣) الجلدي cutaneous (٤) الجهاز الهضمي gastrointestinal (٥) منتشر disseminated و (٦) إضافة إلى حالات غير شائعة uncommon presentations و تلعب الظروف المحيطة دوراً هاماً في ظهور الحالات السريرية

بعد استخدام الستيرويدات كأدوية علاجية جيدة في COVID-١٩ من ناحية أخرى وبسبب الإستخدام قد يكون المرضي عرضة للإصابة بالعفن علاوة على ذلك فإن لمرض السكري أهمية خاصة في هذا المجال وقد تتفاقم الحالة وتصل إلى الموت المحتم Mohammadi وأخرون (٢٠٢١) وأكد Petrikkos وأخرون (٢٠١٢) إن فطار الغشاء المخاطي هو عدو فطرية حادة تسببها عائلة mucoraceae يكون بشكل قاتل لمرضى السكري غير المنضبط ونقص المناعة .

تسبب أعراض الإصابة بالجهاز التنفسى وتهيج الجيوب الأنفية Raza وأخرون (٢٠٢١) وتبدأ العدوى في تجاويف الأنف والجيوب الأنفية إذ تشمل تورم الوجه من جانب واحد والصداع والحمى وإلتهاب وتدمي الجفن وتظهر النموات السوداء على الأنف ويكون انتشاره سريع Ferguson (٢٠٠٠) وتشمل العلامات الأخرى السعال والحمى وأحتقان الأنف وظهور النموات السوداء على الأنف أو الجزء العلوي من الفم Selvamurugan (٢٠٢١) وأعراض الغشاء المخاطي الرئوي تشمل الحمى والسعال وأنزعاج الصدر وضيق التنفس Bhadra وأخرون (٢٠٢١) وتشمل

أعراض عدوى الجلد ظهور بثور أو قرح وقد تتحول المنطقة المصابة إلى اللون الأسود وقد يكون هناك أنزعاج وأحمرار مفرط وأنفاس حول الجرح المصاب Burdová (٢٠١٤) وبالمثل تشمل أعراض أمراض الغشاء المخاطي المعاوي ألما معويا وغثيانا ونزيفا معديا معويا (Gandra) وأخرون (٢٠٢١).

يسبب الفطر ضررا في الأنسجة التي ينمو فيها بفعل فعاليته الإنزيمية العالية وينتج عنه الاحتشاء والآخر Challa (٢٠١٩) كما وتشمل طرائق تشخيص داء الفطريات في علم أمراض الأنسجة كالإختبار المباشر والزراعة في المختبر كذلك فحص عينات الدم ويبقى أهمها طريقة التشخيص الجزيئي PCR كما ذكر Skiada وأخرون (٢٠٢٠) إلى إن الطرائق الجزيئية DNA Mucorales أكتسبت قبولاً لتأكيد العدوى و هنالك طرائق واعدة للتشخيص المبكر والسريع ويمكن استخدامها كأختبارات فحص في المرضى المعرضين لمخاطر عالية كما تم تطوير بعض الطرائق السريعة والتي لا تتطلب إجراءات جراحية كالاعتماد على الأمصال أو اختبارات التنفس القائمة على الأيض.

بعد الفطر *Rhizopus spp* هو المسبب الرئيسي لمرض الغشاء المخاطي لدى الأشخاص المصابين بمرض فيروس كورونا (COVID-١٩) في العام ٢٠١٩ بسبب امتلاكه لأليات وعوامل الغزو أولها جدار الخلية الذي يحتوي على البروتينات المستقبلة والإيجابية للتشخيص المبكر والسريع لأبواغه ومستقبل الإنزيمات التي تساعد على عزل الحديد والتنظيم الإيجابي لمستقبل الخلية الذي يبسط عملية الانقسام والغزو الوعائي (Ghosh وأخرون ٢٠٢٢).

إن إعطاء المنشطات العشوائي من قبل الأطباء للمرضى الذين يعانون من COVID-١٩ ساهم في تطور فطار الغشاء المخاطي فتعمل العقاقير على مهاجمة الفيروس مع تأثير كبير على المناعة وبسبب زيادة نسبة السيتوكينات التي يفرزها جهاز المناعة لمقاومة فيروس كورونا ويضطر الأطباء إلى إعطاء المريض منشطات لتثبيط جهاز المناعة وتقليل إفراز السيتوكينات ومع ذلك تعد من مسببات ارتفاع مستويات السكر وضعف جهاز المناعة Woods وأخرون (٢٠٢٠) وتتوفر الإصابة بفيروس كورونا بيئة كافية للإصابة بالفطار المخاطي منها نقص الأوكسجين وزيادة في الجلوكوز في مرض السكري ارتفاع السكر في الدم الناجم عن السترويدات والحمض الكيتوني السكري من الحديد (نسبة عالية من الفيريتين) وهذا يؤدي إلى انخفاض النشاط البلعمي لخلايا الدم البيضاء ويساعد على إنبات جراثيم المخاط (Singh وأخرون ، ٢٠٢١).

تعد الأدوية المضادة للفطريات أنساب طريقة للعلاج وأكثرها فعالية ومع ذلك فإن خطة العلاج مكلفة للغاية ومن أشهر المركبات المستخدمة Liposomal amphotericin B أمفوتيسيرين B

وتتراوح فترة العلاج من خمسة أيام إلى أثني عشر أسبوعا حتى يصل المريض إلى نقطة الشفاء وفي بعض الحالات تتطلب خطة العلاج إزالة الأجزاء المتضررة لمنع انتشار الفطريات Skiada وأخرون (٢٠٢٠) وتم مؤخراً استخدام Isavuconazole عن طريق الوريد بموافقة إدارة الغذاء والدواء أو أقراص posaconazole بشكل بطيء كما يوصى بإستخدام كل من triazoles كعلاجات إنقاذ ولا ينصح بإستخدام Amphotericin B deoxycholate فضلاً عن ذلك أثبتت الدراسات قدرة الأوكسجين Cornely وأخرون (٢٠١٩) على الضغط في علاج الفطريات السوداء لأنه يمكن أن يرفع من كفاءة العدالات من حيث القضاء على الفطريات ووفقاً لمكتبة الطب الوطنية الأمريكية يجب إزالة جميع الأنسجة الميتة والملوحة بسرعة أو أجزاء من الأنف أو العين مما يؤدي إلى حدوث تشوّه ومع ذلك إذا لم يتم هذا الإجراء تقلّ احتمالات البقاء على قيد الحياة بشكل كبير يعطى الدواء المضاد للفطريات عن طريق الوريد يمكن تحويل المريض إلى علاج مختلف مثل بوساكونازول أو أيزافوكونازول وعندما يكون الشخص مصاباً بمرض السكري يجب أن تظل مستويات السكر لديه ضمن النطاق الصحي Kore Shinde (٢٠٢١) ومن العلاجات الأخرى يوديد البوتاسيوم، ميكونازول، تيريبينافين، كوتريموكسازول، أيترابونازول، كيتوكونازول وقد يستخدم التقطير الجراحي بشكل كبير Rawlani وأخرون (٢٠٢١) وأظهرت بعض العقاقير فشلها سريرياً مثل الأمفوتيسين B Holmes وأخرون (٢٠٢١) لا يوجد دواء واحد مضاد للفطريات ذو تأثير ثابت وقد يساعد اختبار الحساسية في تحديد العلاج Prabhu Patel (٢٠٠٤).

إن الدفاع المناعي الكفؤ للمضييف قادرًا بشكل عام على القضاء على مسببات الأمراض الفطرية الإنهازية ولذا فإن الذين يعانون من نقص المناعة يمكن للفتر أن يتهرّب بسهولة أكبر من الكشف عن طريق مكونات دفاع المضييف Hage وأخرون (٢٠٠٢) غالباً ما تعتمد نتيجة العدوى الفطرية على حالة الجهاز المناعي للمضييف وهو خط الدفاع الأول ضد مسببات الأمراض الغريبة وذلك لأن المرضى الذين يعانون من ضعف جهاز المناعة هم أكثر عرضة لتطور عدوى فطرية خطيرة والتي يمكن أن تتطور إلى حالة خطيرة Romani (٢٠١١) طورت الفطريات المسببة للأمراض العديد من الإستراتيجيات للتهرّب من جهاز المناعة للمضييف ويبدو أن آلية الهروب المتعددة تعمل معاً لمنع هجوم المراحل المختلفة لكل من الاستجابة المناعية التكيفية والفطرية وهذا بعد دخول المضييف تقاتل هذه العوامل الممرضة للتغلب على جهاز المناعة للسماح ببقاءها وأستعمارها وأنتشارها إلى موقع مختلفة من العدوى Marcos وأخرون (٢٠١٦) تعتمد مراقبة مسببات الأمراض الفطرية والقضاء عليها بشكل كبير على السلوك النشط للخلايا البلعمية في الجهاز المناعي وخاصة البلاعم والعدلات Erwig و Gow (٢٠١٦) وذكر Romani (٢٠١١) إن من هذه

الإستراتيجيات المعقدة التي طورتها الفطريات لزيادة أحتمالية بقائها قيد الحياة هي ١) التخفي : حيث يمكن للفطر أن يخفي نفسه بشكل فعال من الكشف عن طريق خلايا مناعية ٢) السيطرة: التي تحدث عندما يستطيع العامل الممرض تنشيط الآليات المثبتة لمناعة المضييف أو توجيهه الاستجابات المناعية تجاه الأنواع غير الفعالة ٣) الهجوم : خلالها قد ينتج الممرض جزيئات تدمر أو تعطل الدفاعات المناعية للمضييف .

٢. التضاد الفطري:

التضاد الحيوي Microbial antagonism هو معيشة كائنين معاً يعمل أحدهما على إحداث ضرر بالكائن الآخر نتيجة لإفرازه مادة كيميائية تعرف باسم المضادات الحيوية Antibiotics التي هي مواد كيميائية عضوية تتكون نتيجة للتفاعلات الأيضية لبعض الأحياء الدقيقة يؤدي إلى إعاقة نمو أو قتل كائنات دقيقة أخرى عند استخدامها بتركيز قليل جداً وعرفت ظاهرة التضاد الحيوي منذ زمن طويل وأستعملت أول مرة من قبل العالم Vullemin عام ١٨٨٩ التي عرفها بأنها الظروف التي يمكن أن ينتجها كائن حي لإبادة كائن حي آخر ليحتفظ هو بحياته Cook و Baker (١٩٨٣) و تختلف آليات التضاد الحيوي أما باستخدام فطريات أخرى أو بكتيريا حسب كفاءة الكائن وظهر إن هناك قدرة من التضاد الفطري بإفراز نوع من المضادات الحيوية من قبل الفطر *Trichoderma* ضد الفطر الجلدي الممرض *T. rubrum* Omero (٢٠٠٤) كما إن أنواع الجنس *Aspergillus* spp تتميز بالقدرة العالية على النمو والتنافس على الغذاء مع بقية الفطريات التي تسبب أمراض النبات الأمر الذي أتاح الفرصة لاستخدام الفطر في المقاومة الأحيائية Damann (٢٠١٥) . وفي دراسة أجراها Shiping و Qing (٢٠٠٠) تم تقييم مضاد الخميرة *Pichia* Jr. *Membranefaciens* المعزول من ثمار الخوخ لقدرته على المكافحة الحيوية ضد *R. stolonifer* عند درجات حرارة مختلفة وفي دراسة أخرى أجراها Sathe وأخرون (٢٠٠٧) تم عزل بكتيريا اللاكتيك المضادة للفطريات من الخضروات الطازجة وتقييم قدرتها على منع التلف *Aspergillus flavus* ضد فطريات التلف *Rhizopus stolonifer* و *Sclerotium oryza* و *Fusarium graminearum* و *Rhizoctonia solani* .

٣. فوائد الفطر :

تم وصف الفطر *Rhizopus* أعلاه كفطراً انتهازي يعادى الإنسان وبهدد صحته وخاصة للأشخاص الذين يعانون من نقص المناعة بكل أشكالها ومن باب التوازن والحكم العادل لابد من التطرق إلى هذا الفطر من جانبه الآخر.

يحتل فطر *Rhizopus* مركز الصدارة في العديد من الصناعات وبالأخص الغذائية والدوائية منها كأنتاج البكتيريات النشطة ببولوجياً من منتجات فول الصويا المخمرة ودورها في الوقاية والعلاج من العديد من أمراض التمثيل الغذائي فيتم إنتاج بكتيريات نشطة ببولوجياً نتيجة للتحلل المائي لبروتينات فول الصويا (الجلisinين وبيتا-كونجليسين) لإنتاج المركبات المضادة لأرتفاع ضغط الدم ومضادات الميكروبات ومضادات الأكسدة ومضادات السكري والسرطان ، في إندونيسيا يحتل التميي *Rhizopus Tempe* وهو غذاء يحضر من فول الصويا المخمر ويتم تصنيعه عن طريق تلقيح *Rhizopus spp* على فول الصويا المطبوخ والممزوج وهو غذاء نباتي عالي القيمة الغذائية . أستخدمت الفطريات *Bacillus subtilis* spp. و *Aspergillus* spp. والبكتيريا *Rhizopus* spp. و *lactic acid* و *Saccharomyces cerevisiae* في إنتاج الفينولات النشطة ببولوجياً و مضادات الأكسدة من الحبوب والبقوليات والمنتجات الثانوية من خلال إنزيمات شطر الكربوهيدرات وزيادة محتوى الفينول والبكتيرий النشط ببولوجياً والذي له دور في تحسين مضادات الأكسدة ومضادات الألتهابات ومضادات للسرطان ومضادات للسكري في المنتجات الغذائية الزراعية المخمرة (Rai Sanjukta و Farooq ٢٠١٦).

وقد أن العديد من الفطريات ومن ضمنها *Rhizopus spp*. أنتجت أحماضًا عضوية مختلفة بما في ذلك أحماض الأوكزاليك وحمض الستريك وحمض الفوماريك وحمض الخليك وحمض الجلوكونيك وحمض السكسينيك وتعد تلك الأحماض ذات أهمية غذائية ودوائية وصناعية (Hamodi و Hussein ٢٠١١) . كما ويستخدم *Rhizopus spp* لإنتاج إنزيم الفايتيز Phytase الذي يعمل على تحليل حامض الفايتيك Ramachandran وأخرون(٢٠٠٥) وأرتباطه بالعناصر الغذائية وتحقيق أفضل إستفادة و خاصة في العلاقة المقدمة للطيور الداجنة والذي يفتقر الجهاز الهضمي للدواجن إليه (Farooq ٢٠١٥) .

٤.٤ تقنية النانو الفطرية Fungal Nanotechnology

برزت تقنية النانو كواحدة من أكثر الابتكارات الصناعية أثاره في جميع أنحاء العالم وأخرون (٢٠١٠) في مجالات متعددة من التصميم الأنثائي والمادي وهندسة الأجهزة والأنظمة ،تعرف الجسيمات النانوية هيكل تقع أحجامها في نطاق من ١ إلى ١٠٠ نانومتر في واحد أو اثنين أو ثلاثة أبعاد بينما المواد النانوية مجموعة من مواد صغيرة الحجم يتم تطبيقها لتنفيذ خصائصها المميزة على سبيل المثال الهندسة البصرية المغناطيسية والميكانيكية والكهربائية Goncalves وأخرون(٢٠١١) تتميز أيضاً بالخاصية البابيولوجية الفريدة لنسبة السطح إلى الحجم لذلك يمكنها بسهولة اختراق الحاجز الخلوي للوصول لأنظمة الجسم وأيضاً ترتبط ببروتينات الخلايا وتبدأ في أرسال الإشارات وتنشط خلايا أخرى وفي بعض الحالات تسبب تفاعلات

خلوية غير متوقعة Nogueira وأخرون (٢٠١٣) في تقنية النانو الحيوية يتم إدخال الهياكل النانوية مع الأنظمة البيولوجية أو ما تسمى بالأساليب الخضراء، تمثل الكائنات الدقيقة دوراً واعداً في التحليق الحيوي وخاصة الفطريات التي تفرز الإنزيمات والبروتينات كعوامل إختزال Abdel-Aziz وأخرون (٢٠١٨) توفر هذه الميزة في هضم المواد العضوية خارج الخلية بإفراز إنزيمات معينة لتحليل التراكيب المعقدة إلى جزيئات أسهل والتي يتم امتصاصها واستخدامها كمصدر طاقة فلأجتنبت مزيداً من الاهتمام في ما يتعلق بالإنتاج البيولوجي وبسبب قدرتها على التراكم الأحيائي المعدني Sastry و Kumar (٢٠٠٣) تم استخدام الكتلة الحيوية الفطرية والمستخلص الفطري للفطر Neurospora crassa بنجاح كعوامل إختزال للتحليق الحيوي للجسيمات النانوية البلاستينية Amin وأخرون (٢٠٢١) أن إمكانية استخدام الكتلة الحيوية ميزة أخرى لإستخدام النهج الأخضر بواسطة الفطريات علاوة على ذلك الإنبات السريع لأبواغها وبالتالي فإن استزراعها والاحتفاظ بها في المختبر أمر بسيط للغاية كما ويعد تطوير عمليات الإنتاج التي يمكن أن تقلل من التأثير البيئي وتقليل النفايات وزيادة كفاءة الطاقة خطوة مهمة في مجال تطبيق تقنية النانو Castro-Longoria (٢٠١١، .).

ولتليف الجسيمات النانوية المعدنية بنجاح تم استخدام كمية كبيرة من الأنواع الفطرية أو المستخلص الحالي من الخلايا لقد تم إنتاج الجسيمات النانوية المعدنية خارج الخلية بوساطة عدة سلالات من الفطر Fusarium oxysporum حيث وجد أن أيونات الفضة المائية قد انخفضت في محلول عندما تعرضت لسلالات F. oxysporum مما يدل على تكون جسيمات الفضة النانوية بأبعاد حوالي ٢٠٠ نانومتر بعملية إختزال أيونات المعدن الذي يعتمد على النترات وعملية خارج خلوية وقد يكون لها أهمية كمواد مضادة للبكتيريا Shankar وأخرون (٢٠٠٤) حيث هناك تفاوت كبير في أحجام وأشكال الجسيمات النانوية تبعاً لظروف الحضانة ودرجة الحرارة Mukherjee وأخرون (٢٠٠١) وكذلك أظهرت الأبحاث تثبيط كائنات حية دقيقة مثل البكتيريا والفطريات باستخدام الجسيمات النانوية وحدها أو مع المضادات الحيوية Birla وأخرون (٢٠٠٩) وفي مجال تحويل المستخلص الكحولي والمائي لفطر المشروع Agaricus bisporus إلى مستخلصات نانوية من الفضة والزنك والذي يستخدم في تثبيط نمو وفعالية الفطريات الجلدية M. canis و T. rubrum كما أثرت مستخلصات الفطر بالفضة والزنك النانوي على الغزو الفطري وتبين هذا التأثير بين تحلل أو التشوّهات في الغزل الفطري وأنفصال البروتوبلازم في بعض المناطق وتجمعها في مناطق أخرى فضلاً عن اختفاء الأبواغ الصغيرة وتشوه الأبواغ الكبيرة و تكتل البروتوبلازم في داخل الخلايا الفطرية وأنفصال الغشاء البلازمي Hameedd (٢٠٢١) في دراسة أجريت من قبل Yassin و Mohammed (٢٠٢١) أوضحت إن التداخل بين تراكيز الزنك النانوي والزنك المعدني والمضاد

الفطري والفعل التأزري بينهما أثرت وبصورة معنوية في معدلات نمو الأقطار والأوزان لفطري *Microsporum* و *Trichophyton* وإن زيادة التركيز يزيد من معدل التثبيط بدلالة أنخفاض معدل قطر المستعمرة الفطرية وأنخفاض في الوزن الجاف للمستعمرة الفطرية وبين Lin وأخرون(٢٠١٤) إن تأثير الزنك النانوي وبسبب صغر حجم الدقائق النانوية ومساحتها السطحية الكبيرة هذا يؤدي إلى التأثير على نفاذية الغشاء البلازمي للخلية وبالتالي موت الخلية .

الفصل الثالث

المواد وطرائق العمل

Materials & methods

الفصل الثالث

المواد وطرائق العمل Materials and methods

١.٣ الأجهزة والمواد المستعملة Device and Materials

الأجهزة والمعدات المختبرية التي استخدمت في الدراسة مع اسم الشركة وبلد المنشأ. كما في الجدول (١-٣) :

الجدول (١-٣) : الأجهزة والمعدات المختبرية التي استخدمت في الدراسة مع اسم الشركة وبلد المنشأ.

الرقم	اسم الجهاز	الشركة المصنعة
١.	فرن كهربائي Electric Oven	Blinder-Germany
٢.	ميزان الكتروني حساس balance	Sartorius-Germany
٣.	حاضنة Incubator	Blinder-Germany
٤.	مجهر مركب Compound Microscope	NOVEX-HOLLANND
٥.	حجرة تلقيح Hood	Tiauja Taisite-China
٦.	جهاز التعقيم البخاري Autoclave	Lab Tech-Korea
٧.	جهاز تقطير الماء Distiller water apparatus	Arston-Turkey
٨.	ثلاجة Refrigerator	Arston-Turkey
٩.	مازج كهربائي Vortex	Bionerr-Korea
١٠.	محرك مغناطيسي Magnetic Stirrer	China
١١.	مصباح غاز Benzene Burner	Iraq
١٢.	مفرغ هوائي Vacuum Pump	Yangyi
١٣.	أدوات زجاجية مختلفة الأشكال glassware	Germany
١٤.	ثقاب فليني Cork Borer	India
١٥.	الناقل الزراعي القياسي Stander Wirel Loop	India
١٦.	أطباق بترى بلاستيكية Disposable Petri dishes	China

China	Slides and cover slide	.١٧ شرائح زجاجية مع غطاء الشرحية
Local market		.١٨ شاش
Korea	Shaking Incubator	.١٩ حاضنة هزازة
Hitech	Centerfuge	.٢٠ جهاز الطرد المركزي
Turkey		.٢١ تيوبات+كبات
India	Parafilm	.٢٣ شريط بارافيلم
China		.٢٤ سلفون+قطن
China	Latex gloves+Face mask	.٢٥ كوف+كمامات
Japan	Spectro photo meter	.٢٦ مقياس الطيف المرئي للأشعة فوق البنفسجية
Citotest-China	Filter Paper	.٢٧ أوراق ترشيح أعتيادية
Sartorius Stedim Biotech-Germany	٠.٢ (Filter Type AC,SC) Milipore	.٢٨ مرشح
Jlassco-India	Blender	.٢٩ خلاط كهربائي
Canon-Japan	Digital Camera	.٣٠ كاميرا رقمية
Hlalab-China		.٣١ قمع ترشيح
Nusafe-India		.٣٢ ملacon طبية ml ^٣
Korea	Hot Plate&Stirrer	.٣٣ جهاز تسخين
China		.٣٤ أواني تجفيف خزفية
Sterellin Ltd-UK	Sterilized cotton Swabs	.٣٥ مسحات قطنية معقمة
Brand-W –Germany	Micropipettes	.٣٦ ماسفات دقة بأحجام مختلفة

الجدول (٢-٣) المواد الكيميائية التي استخدمت في الدراسة مع اسم الشركة وبلد المنشأ

الشركة المصنعة	اسم المواد	ت
Condalab-Spain	Sabouroud Dextrose Agar	.١
HIMEDIA-India	Potato Dextrose Agar	.٢
HIMEDIA-India	Agar-Agar	.٣ أكار-أكار

Roseto-Italy	المضاد الحيوي كلورومينيفيكول Chloramphenicol	٤.
HI Media-India	مضاد السايكلوهكساميد Cycloheximide	٥.
Fluka-Swiss	صبغة اللاكتوفينول أزرق القطن lactophenol Coton blue Stain	٦.
تخليق حيوي	الزنك النانوي Zinc Nanoparticles	٧.
تخليق حيوي	الفضة النانوية Ag Nanoparticles	٨.
BDH-England	الكحول الميثيلي Methyl alcohol	٩.

٢.٣ الأوساط الزرعية Culture Media

١.٢.٣ وسط (SDA) Sabouraud Dextrose Agar

حضر الوسط الجاهز حسب توصيات شركة Condalab-Spin بإذابة ٦٥ غم من مسحوق Sabouraud Dextrose Agar في ١٠٠٠ مل من الماء المقطر ويستخدم هذا الوسط في تربية الفطريات الجلدية والخمائير والعنف مع إضافة ٢٥٠ ملغم/لتر Chloramphenicol ويستخدم هذا المضاد ضد البكتيريا السالبة والموجية لصبغة غرام ثم رج الدورق جيدا لضمان تجانس الوسط وعمق في المؤصدة وبعدها ترك ليبرد وأستعمل للعزل وتنمية الفطريات (Odds، ١٩٩١).

٢.٢.٣ وسط (PDA) Potato Dextrose Agar

حضر الوسط بإذابة ٤١ غم من المسحوق الجاهز في ١٠٠٠ مل من الماء المقطر وحسب تعليمات الشركة المصنعة HIMEDIA ثم أضيف اليه ٢٥٠ ملغم/لتر ثم رج الدورق جيدا لضمان تجانس الوسط وعمق في المؤصدة وبعدها ترك ليبرد وأستعمل لتنمية وحفظ العزلات (Tamur، ٢٠١٩).

٣.٢.٣ وسط مستخلص البطاطا والدكستروز السائل (PDB)potato Dextrose Broth

حضر الوسط بغلق ٢٠٠ غم من قطع البطاطا بعد غسلها وقطعها إلى قطع صغيرة في ٥٠٠ مل من الماء المقطر ولمدة ٢٠ - ٣٠ دقيقة وبعد انتهاء مدة الغليان رشح المخلوط بوساطة قطعة من القماش للحصول على الراشح ، أذيب ٢٠ غم من الدكستروز في ٥٠٠ مل من الماء المقطر ثم أضيف له راشح البطاطا وأكمل الحجم إلى ١ لتر علما إن هذه الكمية من الوسط السائل تكفي لخمس عينات فطرية وعليه تم تحضير ٨٠٠ غم من قطع البطاطا بعد الغسل والتقطيع وإضافة ٢ لتر ماء مقطر وبعد الغليان والترشيح وإضافة ٨٠ غم من الدكستروز إضافة هذه الكمية إلى ٢ لتر ماء مقطر وبعد

التجانس وزعت هذه الكمية في أربع دوارق زجاجية سعة ١ لتر وأضيف في كل دوارق المضاد الحيوي Chloramphenicol ٢٥٠ ملغم/لتر ورجت الدوارق جيداً وعقمت في المؤصدة وبعدها تركت لتبرد . وحضر هذا الوسط طبقاً لما ورد في (Hocking و Pitt ١٩٨٥) .

٤.٢.٣: وسط السابرويد دكستروز أكار مع السايكلوهكساميد والكلورامفينيكول

Sabouraud Cycloheximide Chloramphenicol Agar

حضر الوسط حسب الفقرة ٣-٢-١ ثم أضيف إليه ٥ غم/لتر من السايكلوهكساميد بعد التعقيم والتبريد لمنع نمو الفطريات الإنهازية (Mentesse و آخرون ٢٠١٧) .

٣.٣ طرائق التعقيم

(a) التعقيم بالحرارة الرطبة Sterilization Wet hot

تم إضافة المضاد الحيوي Chloramphenicol بمعدل ٢٥٠ ملغم/لتر إلى جميع الأوساط الزرعية ثم عقمت بوساطة جهاز المؤصدة الحرارية Autoclave بدرجة حرارة ١٢١ درجة مئوية وضغط ١٥ باوند/أنج لمندة ٢٠ دقيقة بعدها تركت لتبرد (Sultana ، ٢٠٠٧) .

(b) التعقيم بالحرارة الجافة Dry hot sterilization

عقمت الزجاجيات المستخدمة بوساطة الفرن الكهربائي Oven بدرجة حرارة ١٦٠ - ١٨٠ درجة مئوية لمدة ٤-٣ ساعات وكذلك أببر التلقيح عقمت بإستعمال لهب بنزن المباشر (Kenneth و آخرون ٢٠١٩) .

(c) التعقيم بالترشيح Sterilization by Filtration

عقمت الرواشح الفطرية التي تتأثر بالحرارة بوساطة مرشحات دقيقة Milipore filters بقطر تنافذى ٢٠ مايكروميتير (Kenneth و آخرون ، ٢٠١٩) .

(d) التعقيم بوساطة المواد الكيميائية Sterilization by chemicals

عقمت حجيرة التلقيح Hood بالكحول الأثيلي بتركيز ٧٠% والكلور بتركيز ٣٠% على التتابع (Sultana ، ٢٠٠٧) .

٤. المحاليل والصبغات Solution and Stains

استخدمت خلال الدراسة صبغة اللاكتوفينول أزرق القطن الجاهزة لتصبيغ وثبتت الفطريات لغرض الفحص المجهرى وحسب تعليمات الشركة المصنعة

٣.٥ عزل وتشخيص الفطريات

١.٥.٣ جمع العينات Collection of Samples

تم جمع العينات لأعمر مختلفة ولكل الجنسين من الأشخاص الأصحاء والمتعاوين من مرض كوفيد-١٩ في محافظتي بابل وكربلاء المقدسة للفترة من تشرين الأول إلى تشرين الثاني ٢٠٢١ وتضمنت ٢٥ عينة مأخوذة من البلغم Sputum بوساطة مسحات قطنية ناقلة معقمة Transport و Cotton Swap وقد تم تسجيل معلومات الأشخاص الذين أخذت منهم العينات والتي تضمنت جنس الشخص والอายุ وقت الإصابة بمرض كوفيد-١٩ بالنسبة للأشخاص المصابين بعدها نقلت العينات إلى مختبر الدراسات العليا في كلية التربية للعلوم الصرفة.

ولغرض دعم اختبار التضاد الفطري بمجموعة مهمة من الفطريات الجلدية تم الحصول على فطريات جلدية مشخصة ومسجلة بالبنك الجيني العالمي وبأرقام تسلسلية في تجارب سابقة وهي *M. Trichophyton rubrum* MH٨٦٥٩٤٠.١ *Microsporum canis* MH٨٥٩٢٩٤.١ *Epidermophyton floccosum* MH٨٦٤٨٩.١ *gypsum* KT٨٠٤١٥٩.١ الدكتور.بان طه محمد في مختبر الدراسات العليا في كلية التربية للعلوم الصرفة / قسم علوم الحياة

٢.٥.٣ زرع العينات Culturing of Samples

زرعت كل عينة على أطباق بتري قطر ٨ سم (أعتمد نفس قطر الأطباق في كافة التجارب اللاحقة) يحتوي على ٢٠ مل من وسط SDA المشار إليه في الفقرة ١-٢-٣ . حضنت الأطباق بدرجة حرارة ٢٨ °م ولمدة من ١٠-٥ يوم وفحست بأستمار.

أما الفطريات الجلدية نشطت وزرعت على الوسط SDA لمدة أسبوعان Sandven و Lassen (١٩٩٩) كما درست الخواص المظهرية والمجهرية لها قبل وبعد إجراء التجارب.

٣.٥.٣ الفحص المظاهري للفطريات Phenotypic examination of fungi

اعتمدت الخصائص المظاهرية للتفرير بين الفطريات الإنتهازية وشملت العديد من الخصائص التي يجب أن تؤخذ بنظر الاعتبار منها معدل النمو أو سرعة النمو ولون المستعمرة وتماسك وطبيعة لون المستعمرة كأن تكون على شكل مسحوق Powdery أو زغبي downy أو حبيبي Granular أو ملساء Glabrous وكذلك في فحص المستعمرات يلاحظ طريقة نمو خيوط الفطر (Senanayake ٢٠٢٠، وأخرون).

٣.٥.٤ الفحص المجهرى للفطريات Colonial microscopy

تم إجراء الفحص المجهرى لملاحظة التراكيب الفطرية مثل الخيوط الفطرية وأشكالها وأشباه الجذور والمدادات والحوافط البوغية الكروية الداكنة المنتصب على حوامل غير متفرعة بالنسبة للفطريات المعزولة ، أما بالنسبة للفطريات الجلدية يمكن ملاحظة تفرعات الخيوط الفطرية والأبوااغ الكبيرة Macroconidia والأبوااغ الصغيرة Microconidia وأحجامها وذلك بأخذ جزء من المستعمرة الفطرية النامية بأسعمال Loop ووضعها في قطرة من محلول صبغة الأزرق مثيلين الموضوعة على شريحة زجاجية وفحست بالمجهر بقوة تكبير $10\times$ و $40\times$ وبالإعتماد على المصادر التصنيفية الفطرية الآتية (Levetin ، ٢٠١٦ ، Gabaldon و Naranjo-Ortiz) (٢٠١٩) .

٦-٣ الخواص الجزئية:**٦.٣.١: التشخيص الجزيئي للفطريات التي تم عزلها**

تم إرسال أربع عشرة عينة من الفطريات التي تم جمعها من الأشخاص الأصحاء وكذلك المتعاقين من مرض كوفيد-١٩ بضمنها عينة الفطر او *Rhizopus* بعد فحصها مختبرياً ومجهرياً . وبعد إجراء تجارب التضاد (الزرع المزدوج) ضد الفطر *Rhizopus* أرسلت العينات إلى مختبر التقدم للتشخيص الجزيئي في محافظة بغداد .

٦.٣.١.١: استخلاص الحامض النووي منقوص الاوكسجين (Deoxy ribonucleic acid)

استخلاص الحامض النووي DNA بإستخدام العدة

FavorPrep Fungi/ Yeast Genomic DNA Extraction Mini Kit (Cat. No.:)

(FAFYG ٠٠١

المجهزة من شركة Macro gene في كوريا الجنوبية وكالآتي:-

١. نقل 1.5×10^{-5} مل من المزارع (الفطريات/خلايا الخميرة) إلى ١.٥ إلى أنبوب الطرد المركزي الدقيق .

٢. أضيف ١ مل من FA العازلة إلى الخلايا وأعيد تعليق الخلايا عن طريق الأنابيب. تنزل الخلايا بالطرد المركزي عند ٥٠٠٠ دورة في الدقيقة لمدة ٢ دقيقة وتجاهل المادة الطافية تماماً .

٣. أعيد تعليق الخلايا في ٥٥٠ ميكروليلتر من المخزن المؤقت FB وإضافة ٥٠ ميكروليلتر من محلول الليتكاز، والخلط الجيد عن طريق دوامة إحتضان العينة عند ٣٧ درجة مئوية لمدة ٣٠ دقيقة .

تحذير: محلول الليتكاز و FB Buffer المحتوي على ١٤ ملي مولاري من بــميرـكابـوثـينـول يشكل خطراً على صحة الإنسان.

تنفيذ الإجراءات التي تتضمن محلول FB Buffer و Lyticase في غطاء دخان كيميائي. نزلت الخلايا بالطرد المركزي عند ٥٠٠٠ دورة في الدقيقة لمدة ١٠ دقائق وأزيلت المادة الطافية تماماً

٤. أضيف ٣٥٠ ميكرولتر من TG1 العازلة وخلطها جيداً عن طريق الماسات. نقل خليط العينة إلى أنبوب حبة تخلط جيداً بواسطة plus-vortexing لمدة ٥ دقائق.

٥. أضيف ٢٠ ميكرولتر من K (١٠ مجم/مل) والخلط الجيد عن طريق الدوامة إحتضان عند ٥٥ درجة مئوية لمدة ١٥ دقيقة دوامة ٣٠ ثانية لكل حضانة ٥ دقائق.

٦. نزلت الخلايا عن طريق الطرد المركزي عند ٥٠٠٠ دورة في الدقيقة لمدة دقيقة واحدة ونقل ٢٠٠ ميكرولتر من المادة الطافية إلى أنبوب جديد للطرد المركزي بحجم ٥.١ مل (غير مزود).

٧. أضيف ٢٠٠ ميكرولتر من TG2 Buffer وخلط جيداً عن طريق الماسات.

٨. أضيف ٢٠٠ ميكرولتر من الإيثanol (٩٦٪ ١٠٠٪) وخلطه جيداً عن طريق الدوامة النسبية لمدة ١٠ ثوان.

٩. وضع عمود TG Mini في أنبوب المجموعة. نقل خليط العينة (بما في ذلك أي راسب) بعناية إلى TG Mini Column ثم عرض إلى جهاز الطرد المركزي بسرعة ١٤٠٠٠ دورة في الدقيقة لمدة ٣٠ ثانية ثم وضع عمود TG الصغير في أنبوب مجموعة جديدة.

١٠. أضيف ٤٠٠ ميكرولتر من W1 Buffer إلى عمود TG Mini. وأجريت عملية الطرد المركزي عند ١٤٠٠٠ دورة في الدقيقة لمدة ٣٠ ثانية ووضع عمود TG Mini مرة أخرى في أنبوب المجموعة. التأكد من إضافة الإيثanol إلى W1 Buffer عند الإستخدام لأول مرة.

١١. أضيف ٧٥٠ ميكرولتر من محلول الغسل إلى عمود TG Mini وعرضت إلى الطرد المركزي عند ١٤٠٠٠ دورة في الدقيقة لمدة ٣٠ ثانية ووضع عمود TG Mini مرة أخرى في أنبوب المجموعة. التأكد من إضافة الإيثanol إلى Wash Buffer عند الإستخدام أول مرة.

١٢. عرضت إلى جهاز الطرد المركزي بأقصى سرعة ١٤٠٠٠ دورة في الدقيقة لمدة ٣ دقائق إضافية لتجفيف العمود.

١٣. وضع عمود TG Mini في أنبوب شطف.

٤. أضيف ٥٠ - ١٠٠ ميكرولتر من محلول الشطف ddH₂O أو Elution Buffer إلى مركز الغشاء لعمود TG Mini.

٥. عرضت إلى جهاز الطرد المركزي بأقصى سرعة ٤٠٠٠ دورات في الدقيقة لمدة ١ دقيقة لاستخراج الحمض النووي في ٤ درجات مئوية أو ٢٠ درجة مئوية.

٢.١.٦.٣: تحديد تركيز الحامض النووي Determination of DNA Concentration:

الترحيل الكهربائي الهلامي لتحليل جودة الحامض النووي:-

Gel Electrophoresis to Analyze DNA Quality:-

تمت عملية الترحيل الكهربائي وفقاً لـ Sambrook (١٩٨٩).

١. حضر محلول الأكاروز بإذابة ١ غم من مسحوق الأكاروز في ١٠٠ مل من TBE × ١ في دورق ١٠٠ مل، صهر الأكاروز في قالب ساخن حتى يصبح محلول صافيا.

٢. برد محلول الأكاروز إلى حوالي ٥٥-٥٠ درجة مئوية ودور الدورق من حين لأخر ليبرد بالتساوي.

٣. أضيفت صبغة حمراء ٣ ميكرولتر إلى الجل الدافئ وتم ختم أطراف طبق الصب بطبقتين من الشريط اللاصق.

٤. وضعت الأمشاط في طبق الصب الهلامي.

٥. سكب محلول الأكاروز المذاب في طبق الصب.

٦. ترك الأكاروز ليتصلب في درجة حرارة الغرفة ، سحب المشط بعناء وأزيل الشريط ووضع الجل على حجرة الترحيل الكهربائي التي كانت مملوئة بغاز TBE.

٧. خلطت عينات الحمض النووي ٥ ميكرولتر مع محلول تحمل DNA ٣ ميكرولتر وتحميلاها في أبار هلام الأكاروز.

٨. أكتمل الفصل الكهربائي لجل الأكاروز عند ٧٠ فولت ، ٦٥ أمبير لمدة ساعة واحدة. تمت ملاحظة الحمض النووي من خلال المشاهدة تحت ضوء الأشعة فوق البنفسجية.

٢.١.٦.٤: تحضير البرايمر The Primers Preparation

جففت البادئات بالتجميد وتم إذابتها في ddH₂O الحر لإعطاء تركيز النهائي قدره ١٠٠ ميكرولتر/ميكرولتر محلول مخزن والإحتفاظ بالمخزن عند ٢٠-٣٠ لتحضير تركيز ١٠ ميكرولتر/ميكرولتر كعامل تمييدي معلق، ١٠ ميكرولتر من محلول المخزون في ٩٠ ميكرولتر من الماء الحر (ddH₂O) للوصول إلى الحجم النهائي ١٠٠ ميكرولتر.

الجدول (٣-٣) يوضح تسلسل البادئات Primers used in the study التي أستخدمت في الدراسة

Primer	Sequence	Primer sequence	Tm (°C)	GC%	Size of Product (bp)
ITS	F	TCCGTAGGTGAAACCTGC GG - ٣'	٥٠ - ٣'	٥٠ %	٥٥٠
	R	TCCTCCGCTTATTGATATGC- ٣'	٥١	٤١ %	

تم تضخيم جزء من **ITSI** باستخدام البادئ الأمامي

ITSI F: (٥' - TCCGTAGGTGAAACCTGC GG - ٣')

ITS٤ R:(٥' TCCTCCGCTTATTGATATGC- ٣') والبادئ العكسي

تم إجراء تضخيم PCR في حجم أجمالي مقداره ٢٥ مایکرولتر ،يحتوي على ١.٥ مایکرولتر من الحامض النووي DNA (Master Mix or GoTaq® Green Master Mix) كل من البادئ الأمامي والعكسي (١ μl) ١٠ بعد ذلك تمت إضافة الماء المقطر في الأنوب إلى الحجم الكلي من ٢٥ مایکرولتر .

الجدول(٣-٤) يوضح تفاعل PCR :- Reaction components of PCR

Component	٢٥ μL (Final volume)
Master Mix or GoTaq® Green Master Mix	١٢.٥ μl
Forward primer	١٠ picomols/ μl (١ μl)
Reverse primer	١٠ picomols/ μl (١ μl)
DNA	١.٥ μl

Distill water	٩ μl
---------------	------

تم إجراء التفاعل في الظروف الحرارية الآتية بإستخدام **Cycler** الحراري

١- مسخ أولي Initial Denaturation: عند ٩٥ درجة مئوية لمدة ٥ دقائق

٢- تليها ٣٥ دورة مكونة من :

المسخ النهائي Final denaturation عند ٩٥ درجة مئوية لمدة ٤٥ ثانية

أرتباط البوادى Primer annealing عند ٥٢ درجة مئوية لمدة دقيقة واحدة

أسطالة أولية Initial extension عند ٧٢ درجة مئوية لمدة دقيقة واحدة

أسطالة نهائية Final extension عند ٧٢ درجة مئوية لمدة ٥ دقائق

الجدول (٣-٥) يوضح حالات الدورات الحرارية لفحص PCR Thermocycler

No.	Phase	Tm (°C)	Time	No. of cycle
١-	Initial Denaturation	٩٥°C	٥ min	١ cycle
٢-	Denaturation -٢	٩٥°C	sec ٤٥	
٣-	Annealing	٥٢°C	١ min	٣٥ cycle
٤-	Extension-١	٧٢°C	١ min	
٥-	Extension -٢	٧٢°C	٥ min.	١ cycle

٧.٣ : تأثير الفطريات المعزولة والجلدية في نمو الفطر *Rhizopus stolonifer*

١.٧.٣ : استخدام طريقة الزرع المزدوج Dual-culture technique

تم اختبار القدرة التضادية للفطريات التي حددت من أجل التجربة ضد عزلة الفطر *R. stolonifer* بإعتماد طريقة الزرع المزدوج ، حضر الوسط الغذائي PDA وصب في أطباق بتري معقمة قطر ٨ سم وبعد تصلبه قسم كل طبق إلى نصفين متساوين إذ لقح مركز النصف الأول بقرص قطره ٠.٥ سم بوساطة ثاقب فليني من حواضن الغذاء النامي عليه الفطريات المعزولة بعمر ٥ أيام ولقح النصف الثاني من الطبق بعزلة خيوط فطرية من الفطر الأسود ،نفذت التجربة بثلاثة مكررات مع معاملة المقارنة إذ لقحت بالفطريات في مركز الطبق كل على حدة ، وضعت الأطباق في الحاضنة تحت درجة حرارة ٣٠ ° م ، وبعد وصول نمو الفطر الممرض إلى حافة الطبق في معاملة السيطرة تم تقدير التضاد حسب مقدار إمتداد النمو الفطري لكل مستعمرة وثم تقدير معدل التضاد للفطر الممرض حسب مقياس Bell وأخرون (١٩٨٢) والمكون من ٥ درجات كما يأتي:-

درجة ١ = الفطر المضاد يغطي كل الطبق.

درجة ٢ = الفطر المضاد يغطي $\frac{4}{3}$ الطبق.

درجة ٣ = الفطر المضاد والفطر الممرض يغطي كل منهما نصف مساحة الطبق

درجة ٤ = الفطر الممرض يغطي $\frac{3}{4}$ الطبق.

درجة ٥ = الفطر الممرض يغطي كل الطبق.

عما إن درجة(١) و (٢) تدل على إن الفطر المضاد له قدرة على التضاد الحيوي ويمكن إعتماده

ككائن مضاد للفطر *R. stolonifer*

٢.٧.٣ : روائح الفطريات المعزولة والجلدية:

حضرت الروائح الخام للفطريات من خلال تهيئة ٤٢ دورق زجاجي سعة ٣٠٠ مل يحوي كل منها على ٢٠٠ مل من الوسط الغذائي السائل Potato Dextrose Broth والمحضر مسبقا وفقا لما جاء في الفقرة (٣-٢-٣) لقح كل دورق بخمسة أقراص فطرية قطر ١ سم من حافة مستعمرة الفطريات النامية بعمر ٥ أيام في الوسط الغذائي PDA وبواقع ثلاثة مكررات لكل فطر .

حضنت الدوارق بدرجة حرارة ٢٨ درجة مئوية في الحاضنة الهزازة ولمدة أسبوع مع مراعاة رج القاني كل يومين كحد أقصى وبعد إنتهاء مدة الحضن وضعت كل عينة في الخلط الكهربائي لمدة دقيقةتان ثم فصل الخليط بإستعمال أوراق الترشيح الأعتيادية ثم رشحت مرة أخرى بوساطة دورق وقمع ترشيح Millipore وأستخدمت أوراق ترشيح (٠.٢٠) ملي ميكرومتر بمساعدة جهاز التفريغ الهوائي Vacuum Pump وجمعت الروائح في دوارق زجاجية معقمة كل منها على حدة وتحت ظروف التعقيم ثم حفظت الروائح في الثلاجة لحين الاستعمال (Melo وأخرون، ٢٠١١) .

١.٢.٧.٣ تأثير الروائح الفطريات المعزولة والجلدية في نمو الفطر *Rhizopus stolonifer*

بعد أن تم تحضير الوسط الغذائي PDA حسب ما جاء في الفقرة (٣-٢-٣) صب الوسط في أطباق بتريi وعند مرحلة التصلب وبإستخدام الثاقب الفلبيني Cork Borer تم عمل خمسة حفر في الطبق الحاوي على الوسط الغذائي المتصلب ،تم إضافة الرائحة الفطرية بتراكيز ١٠٠% إلى الطبق وبواقع ثلاث مكررات للتراكيز وتم تكرار العملية مع باقي التراكيز ٧٥% و ٥٠% و ٢٥% ، بعدها لقح مركز كل طبق بمجموعة خيوط فطرية حاوية على أبواغ من العفن الأسود وحضنت الأطباق بدرجة حرارة ٢٨ درجة مئوية لمدة خمسة أيام وعند وصول النمو في معاملة السيطرة Control إلى حافة الطبق قيست أقطار المستعمرات (معدل قطرتين متعمدين) وسجلت النتائج .

٣.٧.٣: تحضير المركبات النانوية من الروائح الفطرية

١.٣.٧.٣: تحضير الفضة النانوية من الروائح الفطرية

تم تحضير محلول الفضة النانوية من إذابة ١٦٨ .٠ غرام بتركيز ١ .٠ مولاري في ١٠٠ مل من الرواشح الفطرية المحضرة مسبقاً كما في الفقرة (٢-٦-٣) وتم استخدام جهاز المحرك المغناطيسي بدرجة حرارة ٢٨ درجة مئوية وعند ملاحظة التغير اللوني للمحلول الفطري وحسب نوع الفطر تم قياس النفاذية لكلا المحلولين ،الراشح الفطري و المحلول النانوي في مقياس الطيف المرئي للأشعة فوق البنفسجية Spectrometer وتمت القراءة ما بين ٧٠٠-١٩٠ nm بدأت الحزمة بالنهوض عند ٣٠٠ نانومتر وأختلفت معدلات وصولها إلى أعلى قيمة حسب نوع المحلول وعند ٧٠٠ نانومتر هبطت الحزمة مما تشير إلى الطيف الخاص بالفضة النانوية وإختزال الفضة ووضع المحلول بالحاضنة الهزازة Shaker incubator لمدة ٢٤ ساعة وعند الإستخدام تم إضافة المحلول النانوي بأربع نسب (١٠٠ % و ٧٥ % و ٥٠ % و ٢٥ %) بعد أن تم تحضير الوسط الزرعي PDA كما ورد في الفقرة (٢-٢-٣) تم إضافة المحلول النانوي إلى الوسط الزرعي بعد صبه في أطباق بتري قبل التصلب حسب النسب المذكورة أعلاه وعند نسبة ١٠٠ % تم إضافة ٤ مل من المحلول النانوي لكل طبق (ثلاثة مكررات) مع وجود معاملة السيطرة للفطر *R. stolonifer* على الوسط الغذائي PDA غير المعامل بأي محلول نانوي وعند نسبة ٧٥ % تم خلط ٣ مل من المحلول النانوي و ١ مل من الماء المقطر معاً وإضافته لكل طبق أما عند نسبة ٥٠ % تم خلط ٢ مل من المحلول النانوي إلى ٢ مل ماء مقطر وإضافته لكل طبق، أما عند نسبة ٢٥ % تم خلط ١ مل من المحلول النانوي إلى ٣ مل ماء مقطر وإضافته لكل طبق (Prakash Soni ٢٠١٣، .).

٢.٣.٧.٣ : تحضير أوكسيد الزنك النانوي من الرواشح الفطرية بإستخدام Zinc Oxide

تم تحضير محلول أوكسيد الزنك النانوي الناتج من إذابة ١ غم من أوكسيد الزنك في ٥٠ مل من الرواشح الفطري وحرك المزيج بوساطة المحرك المغناطيسي بدرجة حرارة الغرفة لمدة ٢٤ ساعة ثم وضع المزيج في الحاضنة الهزازة عند درجة حرارة ٤٠ درجة مئوية لمدة ١٨ ساعة وعند تكون راسباً أبيضاً في قعر الدورق Rajan وأخرون (٢٠١٦) و Gunalan وأخرون (٢٠١٢) تم قياس النفاذية لمحلول الزنك النانوي في مقياس الطيف المرئي للأشعة فوق البنفسجية وكانت ذروة الإمتصاص ضمن المعدل ٣٦٠-٣٨٠ نانومتر .

عند الإستخدام تم إضافة محلول الزنك النانوي إلى الوسط الزرعي بعد صبه في أطباق بتري قبل التصلب وبأربع تراكيز (١٠٠ % و ٧٥ % و ٥٠ % و ٢٥ %) كلا على حدة و بثلاثة مكررات مع وجود معاملة السيطرة للفطر *R. stolonifer* على الوسط الغذائي PDA غير المعامل بأي محلول نانوي أما نسب الإضافة تمت حسب ما مأورد في إضافة محلول الفضة النانوي إلى الوسط الزرعي Bashi ١-٦-٣ وأخرون (٢٠١٣) والكمية المتبقية من محلول الفضة والزنك النانويين بعد إضافته

للأوساط الزرعية تم فصل الراسب بواسطة جهاز الطرد المركزي Centrifuge (٥٠٠ دورة لمدة ٢٠ دقيقة) ثم غسل بالماء المقطر عدة مرات وجفف عند درجة حرارة ٥٠ درجة مئوية للحصول على مسحوق ناعم وخزن في الثلاجة لأجراء عليه بعض الفحوصات المختبرية اللاحقة (Poinern ٢٠١٤،).

٣.٣.٧.٣: الاختبارات التي تم أجراؤها للكشف عن تكوين المركبات النانوية للزنك والفضة

(١) مطياف الأشعة فوق البنفسجية (Spectrophotometer UV-VIS)

تم تحضير ٢٨ عينة من محلول الفضة النانوية والزنك النانوي المضاف لكليهما الرواشن الفطرية المحضرة مسبقاً من الفطريات التي تم جمعها من الأصحاء و المتعافين من مرض كوفيد-١٩ فضلاً عن مجموعة أخرى من الفطريات الجلدية *Epidermophyton floccosum* *Trichophyton rubrum* *Microsporum canis* *Microsporum gypseum* وتم إجراء هذا الفحص في مختبر الأبحاث في قسم الكيمياء بكلية التربية للعلوم الصرفة / جامعة كربلاء.

٢) مطياف الأشعة تحت الحمراء (FTIR)

(spectrophotometer)

أن مبدأ عمل مطياف الأشعة تحت الحمراء هو التعرف على المجاميع الفعالة في المركبات الكيميائية التي يتم تحضيرها ويمكن من خلاله الكشف عن مركبات مختلفة Ahmed (٢٠٢٢، وأخرون) إذ تهتز الجزيئات الطبيعية وفقاً لجميع مخططات اهتزازها ولكن بساعات ضعيفة جداً، إذا كان توتر الأهتزاز يتواافق مع توتر اهتزاز المخططات العادية للجزيء عندئذ سيتجاوب معه ويهتز بسعة كبيرة جداً.

٨.٣: التحليل الأحصائي Statistical analysis

أعتمد تصميم القطاعات العشوائية الكاملة (CRD) وقورنت Complete Randomized Design (CRD) متosteates المعاملات بإستعمال أقل فرق معنوي (LSD) (Steel and Torrie ١٩٨١) وأستخدم برنامج Genstat في التحليل الأحصائي.

الفصل الرابع

النتائج

Results

الفصل الرابع: النتائج

٤.١ عزل وتشخيص الفطريات Isolation and Identification of Fungi

٤.١.٤ عزل الفطريات:

بعد سلسلة من التجارب التي تضمنت نتائج زراعة ٢٥ عينة من البلغم sputum وظهور العشرات من الفطريات التي تمت تنقيتها بمزارع نقية ، تم التركيز على فطر *Rhizopus* والذي ظهر منه نوعين فقط باعتباره من الفطريات المسئبة لداء الغشاء المخاطي وعلى الفطريات التي شكلت تضاداً لفطر الـ *Rhizopus* وتمثلت بأثنى عشر نوعاً فطرياً يعود إلى الـ *Aspergillus* بغض النظر عن العمر والجنس وسواء أكان الشخص متعافي من مرض كوفيد-١٩ أم غير مصاب وهذه الأنواع مبينة في الجدول (٤-١) .

الجدول (٤ - ١): الأنواع الفطرية المعزولة من ٢٥ عينة البلغم sputum مع الأرقام التسلسلية المسجلة في البنك الجيني العالمي بعض النظر عن العمر والجنس وسواء أكان الشخص متعافي من مرض كوفيد-١٩ أم غير مصاب . على وسط SDA، بدرجة حرارة ٢٨ °م ، لمدة بين خمسة إلى عشرة أيام حسب نوع الفطر .

الرقم التسلسلي	الأنواع الفطرية	الرقم
ON٩٨١١٠٦	<i>Rhizopus americanus</i> *	١
ON٩٨١٠٩٧	<i>Rhizopus stolonifer</i> *	٢
ON٩٨١١٠٤	<i>Aspergillus brasiliensis</i>	٣
ON٩٨١١٠٢	<i>Aspergillus costaricensis</i>	٤
ON٩٨١٢٩٧	<i>Aspergillus flavus</i>	٥
ON٩٨١١٠١	<i>Aspergillus minisclerotigenes</i>	٦
ON٩٨١٠٩٨	<i>Aspergillus niger</i> ١*	٧
ON٩٨١١٠٧	<i>Aspergillus niger</i> ٢*	٨
ON٩٨١١٠٥	<i>Aspergillus niger</i> ٣*	٩
ON٩٨١٢٩٥	<i>Aspergillus oryzae</i>	١٠
ON٩٨١١٠٣	<i>Aspergillus piperis</i>	١١
ON٩٨١١٠١	<i>Aspergillus tubingensis</i> ١*	١٢
ON٩٨١٢٩٦	<i>Aspergillus tubingensis</i> ٢*	١٣
ON٩٨١٠٩٩	<i>Aspergillus welwitschiae</i>	١٤

* تم تشخيصها تقليدياً على مستوى الجنس فقط ، وبعد التشخيص الجيني ، تم معرفة النوع لكل منها .

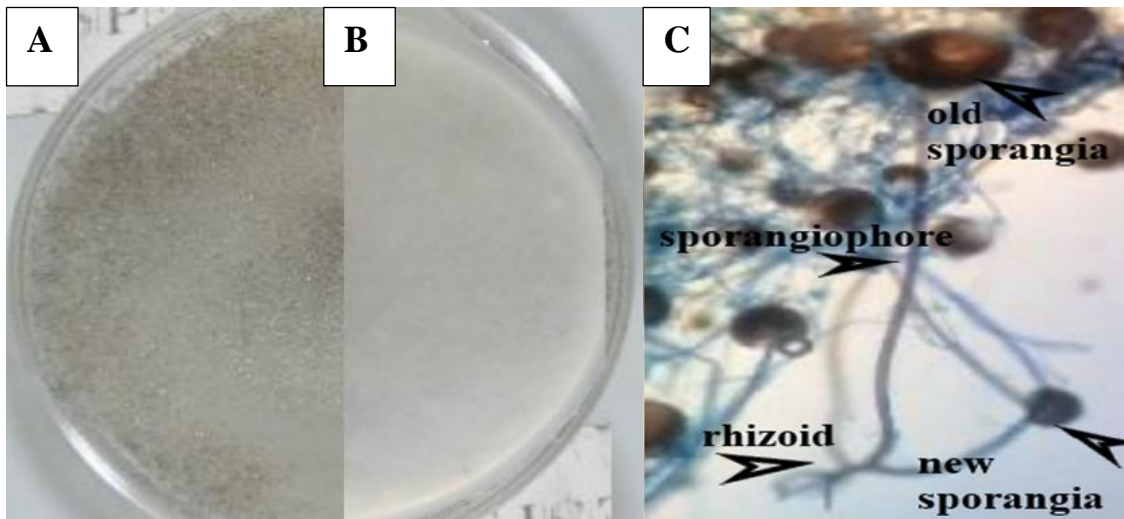
٤.١.٥ تشخيص الفطريات

تم تشخيص الفطريات إعتماداً على الصفات المظهرية والمجهرية على مستوى الجنس ومنها على مستوى النوع ، وفقاً لما سيتم ذكره في أدناه .

وفيما بعد ، تم تشخيص الفطريات جزئياً كما ذكرت في الجدول (٤ - ١) أعلاه .

(*Rhizopus americanus* و *Rhizopus stolonifer*) *Rhizopus spp* (١) الوصف المظاهري : مشابهاً كما ذكره Carmen (٢٠١٧) مع اختلاف الوسط الزرعي ودرجة الحصن ، إذ ظهرت المستعمرات الفطرية على وسط SDA نمواً سريعاً ، غطت الطبق اسم باربعة أيام من الزراعة بدرجة حرارة ٢٨ °م ، الغزل الفطري هوائي ، زغبي Fluffy أبيض ، تحول إلى اللون الرمادي مع حواضن بنية ، الجهة الخلفية ذات لون رمادي بني مع تقدم العمر.

الوصف المجهرى : تظهر الغزول الفطرية بقوة تكبير ٤٠X شريطية الشكل ، مختلفة الحجم ، غير مقسمة ، الحوامل البوغية Sporangiophores لونها بني غامق ويظهر أكثر من حامل بوغي من نفس نقطة الاتصال ، غير مقسمة ، وتنتمي بالمدادات stolon ، وتظهر أشباه الجذور rhizoid في نهاية الحوامل البوغية ، وقد تم ملاحظة الخلية القدمية في نفس منطقة أشباه الجذور ، بلغ ارتفاع Sporangiophores عن الوسط الزرعي ١٤٠ ملمتر. الحافظة البوغية Sporangia كروية ، ذات لون بني غامق إلى أسود رمادي ، مع قاعدة مسطحة يصل قطرها إلى ١٧٥ ميكرومتر وتحتوي على العديد من الجراثيم columella صغيرة بإمتداد الحامل البوغي. الأبواغ بيضوية إلى كروية ، بنية اللون ، كما في الشكل (١-٤) .



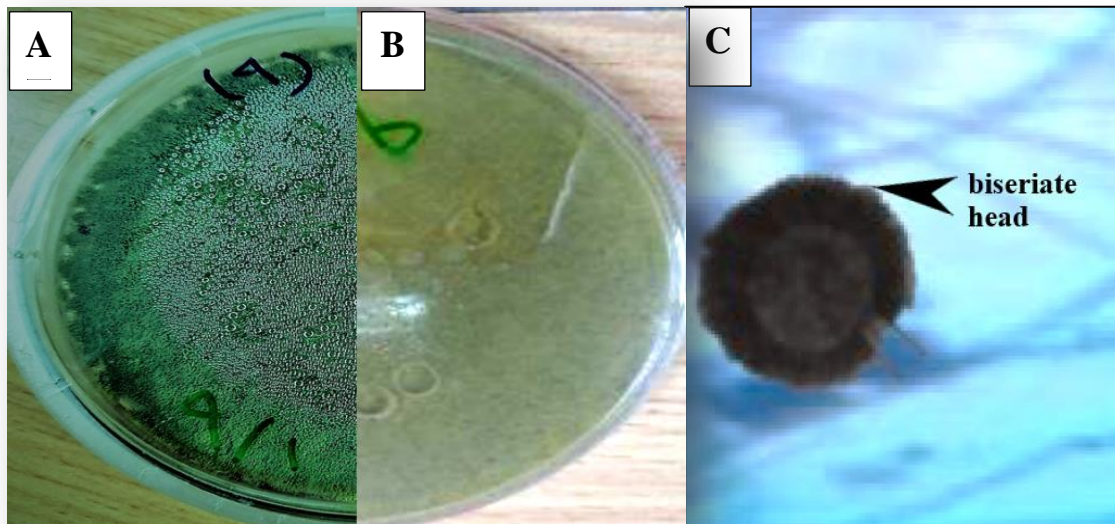
الشكل (١-٤) : فطر *Rhizopus spp.* على وسط SDA، بدرجة حرارة ٢٨ °م ، لمدة خمسة أيام.
A: وجه المستعمرة B: ظهر المستعمرة C: الشكل المجهرى 40X

٢) فطر *Aspergillus brasiliensis*

ظهر من الشكل (٢-٤) الوصف المظاهري والمجهرى للفطر على وسط SDA وهو مشابهاً ببعض الصفات لما وصفه Nyongey وأخرون (٢٠١٥) وكالآتي :- الوصف المظاهري : قطر المستعمرة بعد عشرة أيام حضانة على وسط SDA تراوح ٩٠-٨٠ ملم ، بدرجة حرارة ٢٨ °م النمو كان

ضعيماً في بادئ الأمر، لون المستعمرة أخضر غامق مائل للسواد ، يكون لون ظهر المستعمرة بني مخضر ، وتنظر عليه حلقات نمو بشكل دوائر متعددة المركز .

الوصف المجهرى : تكون الرؤوس الكونيدية ذات شكل كروي *biseraiate globose* تنتج الأبواغ الكونيدية ذات أشكال بيضاوية إلى كروية وبعض منها كمثري يتراوح حجمها ٣ - ٥ مللي ميكرون، خشنة وبنية اللون تترتب بشكل الشعاع ، وتكون الحويصلة *vesicle* كبيرة ومنتظمة .



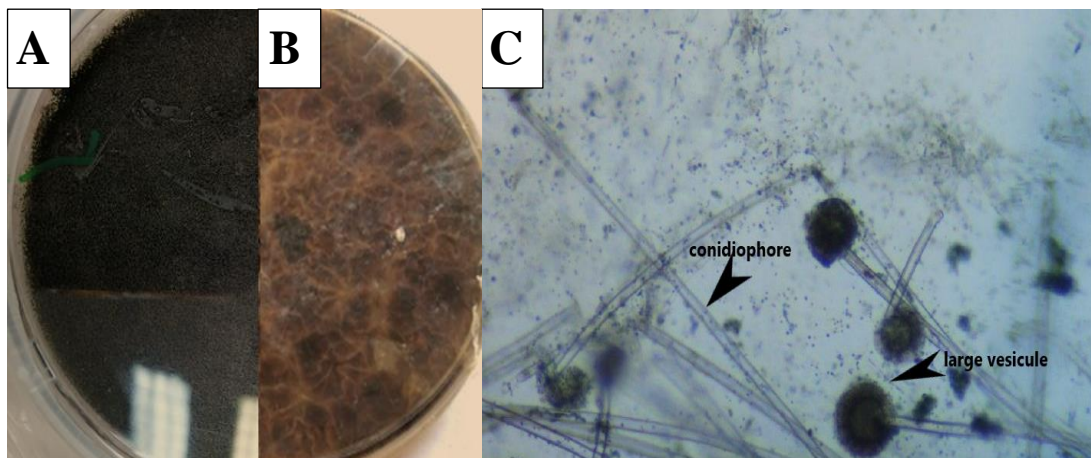
الشكل (2-4) : فطر *Aspergillus brasiliensis* على وسط SDA، بدرجة حرارة 28° م ، لمدة عشرة أيام. A: وجه المستعمرة B: ظهر المستعمرة C: الشكل المجهرى 40X

٣) الفطر *Aspergillus costaricensis*

أظهرت المستعمرات الفطرية لهذا الفطر تشابهاً لما ذكره كلًا من Samson وأخرون (٢٠٠٤) و Frisvad وأخرون (٢٠٠٧) وهي كالتالي :

الشكل المظاهري : ظهرت المستعمرات الفطرية على وسط SDA شبيهة بمستعمرات الفطر *A. niger* إلا إن نموها أبطئ ، كانت ملساء في بادئ الأمر ثم تحولت تدريجيًا إلى خشنة ، تميزت بمستعمرات قليلة التجرائم تميل إلى اللون البني الغامق وظهرت الجهة الخلفية من المستعمرة لوناً بنياً ماثلاً إلى الأصفر البرتقالي مع وجود بعض الألوان الغامقة ، ربما تشير إلى وجود بعض أنواع الصبغة المفرزة (لم يتم التطرق إليها في هذه الدراسة).

وظهر في الشكل المجهرى الحامل الكونيدي *conidiophore* شفاف وطويل نسبياً مقارنة بـ *A. niger* مع وجود عدد قليل من الرؤوس الكونيدية تحمل حويصلات كبيرة ، أما الأبواغ الكونيدية فتظهر متجمعة وذات كثافة قليلة في الحقل المجهرى (الشكل ٣-٤)



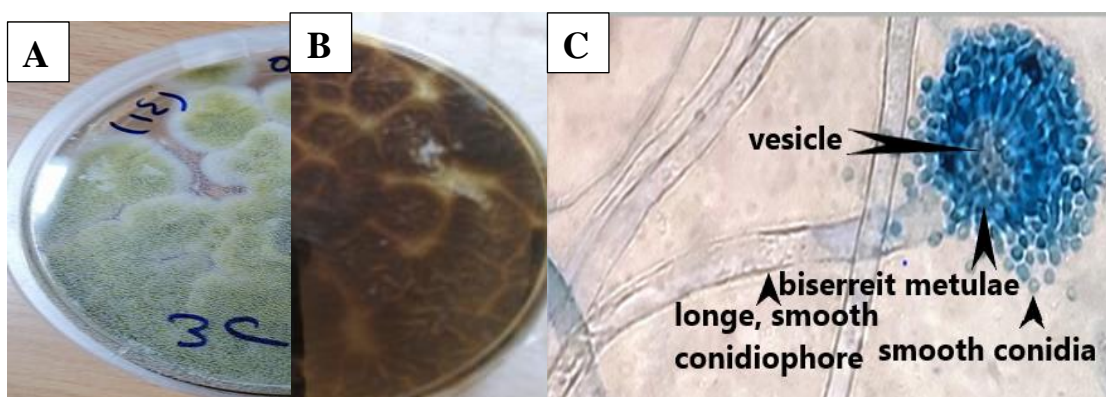
الشكل (3-4): فطر *Aspergillus costaricensis* على وسط SDA، بدرجة حرارة 28° م ، لمدة عشرة أيام. A: وجه المستعمرة B: ظهر المستعمرة C: الشكل المجهرى 40X

٤) الفطر *Aspergillus flavus*

يتضح من الشكل (٤-٤) مايلي :-

الشكل المظهي : ظهرت المستعمرات الفطرية على وسط SDA صفراً مخضرة إلى أخضر داكن، سريعة النمو، ذات جدران خشنة تحولت إلى البني الغامق مع تقدم العمر ، قطر المستعمرة ٩٥ - ٨٠ ملم بعد حضانة ١٠ أيام بدرجة حرارة ٣٨ ° م ، المظهر الخلفي للمستعمرة تميز بهيئة ملساء لامعة بلونبني غامق تتخللها عروق فاتحة اللون تتبع من مركز المستعمرة باتجاه المحيط .

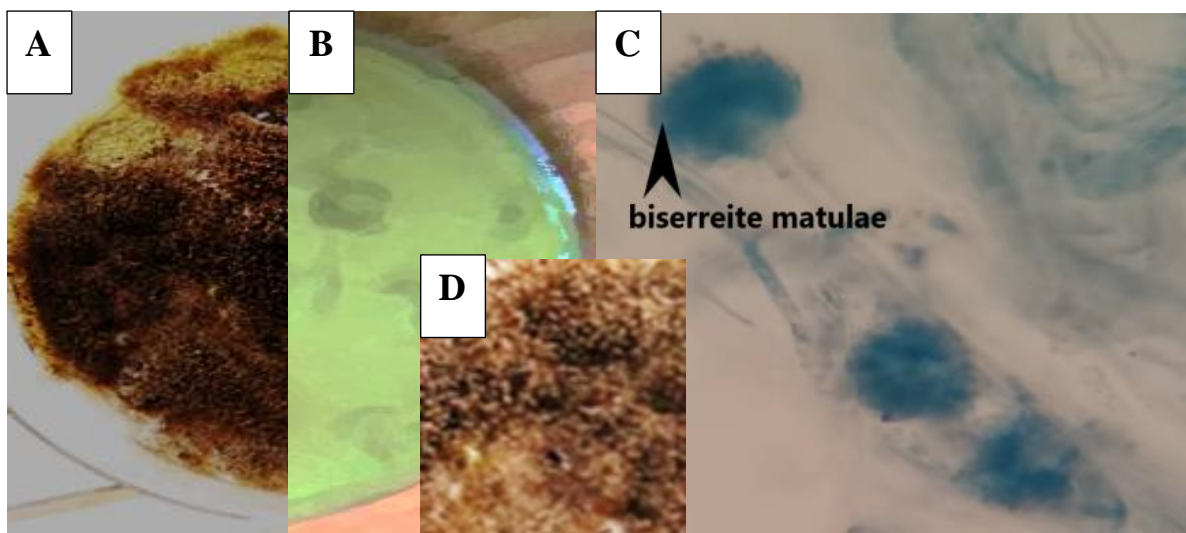
ومن نفس الشكل يلاحظ **الشكل المجهي :** الحامل الكونيدي conidiophore طول ٤٠٠ - ٤٠٠ ميكرومتر ، أملس يحمل حويصلة خشنة كروية كبيرة biseraite قطرها ٢٠ - ٤٥ ميكرومتر ، Nyongesa Afzal وأخرون (٢٠١٥) و (٢٠١٣) و تظاهر الأبوااغ الكونيدية شفافة ملساء وبشكل كثيف حول الحويصلة ، لم تلاحظ uniseraite في الحقل المجهي الذي تم فحصه .



الشكل (4-4): فطر *Aspergillus flavus* على وسط SDA، بدرجة حرارة 28° م ، لمدة عشرة أيام. A: وجه المستعمرة B: ظهر المستعمرة C: الشكل المجهرى 40X

٥. الفطر *Aspergillus minisclerotigenes*

من الشكل (٤-٥) يلاحظ مستعمرات الفطر على وسط SDA ذات لون أصفر إلى بني غامق وأصفر في الاتجاه المعاكس وقطر المستعمرة ٨٥-٩٠ ملم بعد عشرة أيام من الحضن ، تظهر أجسام حجرية sclerotia سوداء صغيرة جدا ١٠.٢ .٠ ملم كروية غير منتظمة الشكل ، ومن نفس الشكل يلاحظ الفحص المجهرى : تظهر الحوامل الكونيدية شفافة ذات رؤوس مخروطية شكل شفاف uiseraite و حويصلات كروية قطرها ٤٠-٢٥ ميكرومتر (Shoaib وأخرون ٢٠١٩) .

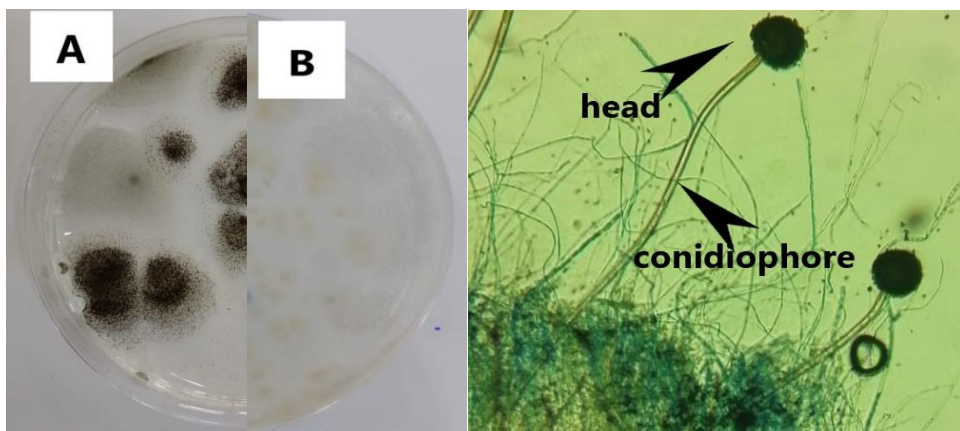


الشكل (٥-٤) : فطر *Aspergillus minisclerotigenes* على وسط SDA، بدرجة حرارة ٢٨° م ، لمدة عشرة أيام. A : وجه المستعمرة B: ظهر المستعمرة C: الشكل المجهرى ٤٠X D: مقطع مكبر من مزرعة فطرية يظهر فيه الأجسام الحجرية sclerotia .

٦. الفطر *Aspergillus niger*

من الشكل (٦-٤) **الصفات المظهرية** : تظهر المزرعة الفطرية على وسط SDA في البداية مظهرا حبيبي أملس ولكنها تحول إلى اللون الأسود بعد بضعة أيام لإنتاجها أبواغ كونيدية وتظهر حوا ف المستعمرات باللون الأصفر الباهت أما ظهر المستعمرة عديم اللون إلى الأصفر الفاتح (Silva وأخرون ٢٠١١) .

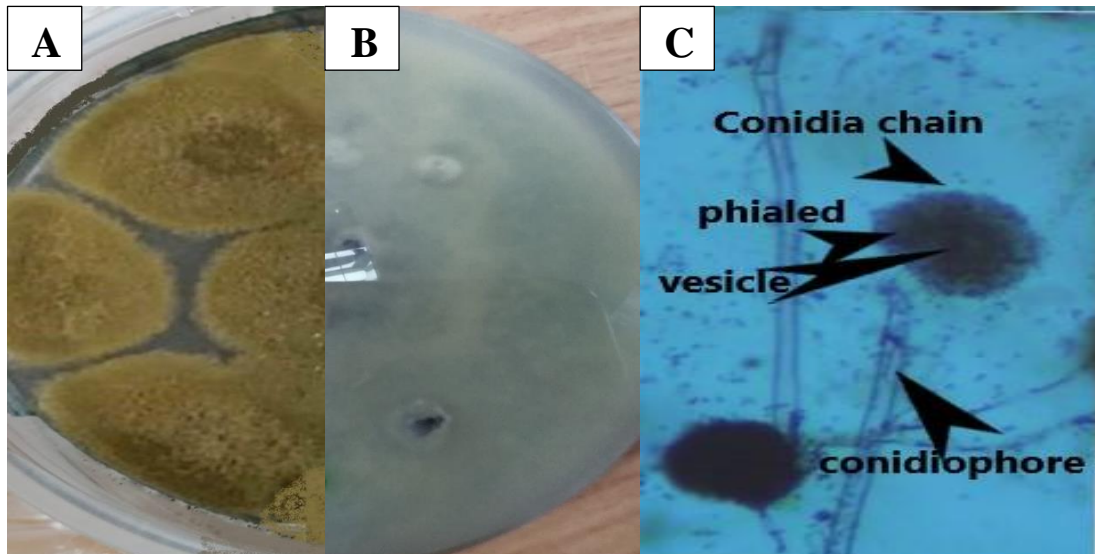
الفحص المجهرى: تكون الحويصلة الحاملة لكونيديا صغيرة كروية الشكل تكون من النوع uniseriate، الكونيدات كروية الشكل خشنة بشكل غير منتظم بقطر حوالي ٣-٥ ملي ميكرون .



الشكل (6-4): فطر *Aspergillus niger* على وسط SDA، بدرجة حرارة 28° م ، لمدة خمسة أيام . A: وجه المستعمرة B: ظهر المستعمرة C: الشكل المجهري 40X

٧. الفطر *Aspergillus oryzae*: يظهر من الشكل (٧-٤):

الوصف المظهي: للفطر قابلية على النمو السريع على وسط SDA ويبلغ قطر المستعمرة ٨٠ - ٧٠ ملم بعد خمسة أيام من الحضانة بدرجة حرارة ٢٨° م تتحول تدريجيا إلى اللون البني الغامق، أما عند الفحص المجهري: يتميز بسلسل كونيدية طويلة تبدو مثل الخيوط السوداء زغبية المظاهر ، الحويصلة كبيرة تكون *bisreaite* في الحقل المجهري . *unisreaite*

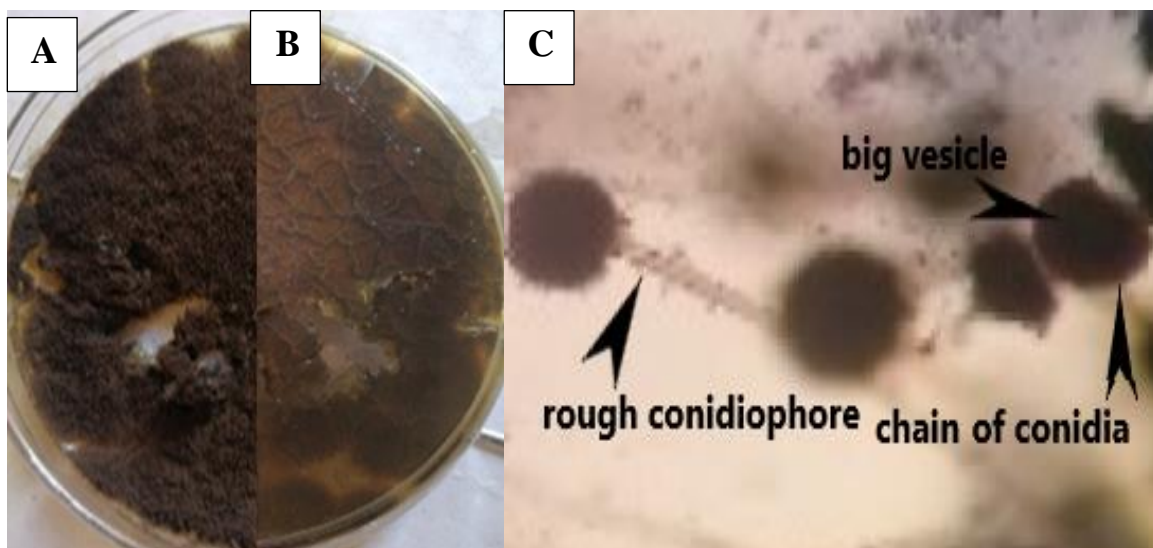


الشكل (7-4): فطر *Aspergillus oryzae* على وسط SDA، بدرجة حرارة 28° م ، لمدة خمسة أيام . A: وجه المستعمرة B: ظهر المستعمرة C: الشكل المجهري 40X .

٨. الفطر *Aspergillus piperis*:

الشكل (٨-٤) الوصف المظهي: لون المستعمرة الفتيةبني غامق اللون على وسط SDA ثم تحولت إلى سوداء حبيبية الشكل وبعد مرور ٧ أيام تحت درجة حرارة ٢٨° م ظهر المستعمرةبني غامق مع وجود عروق واضحة .

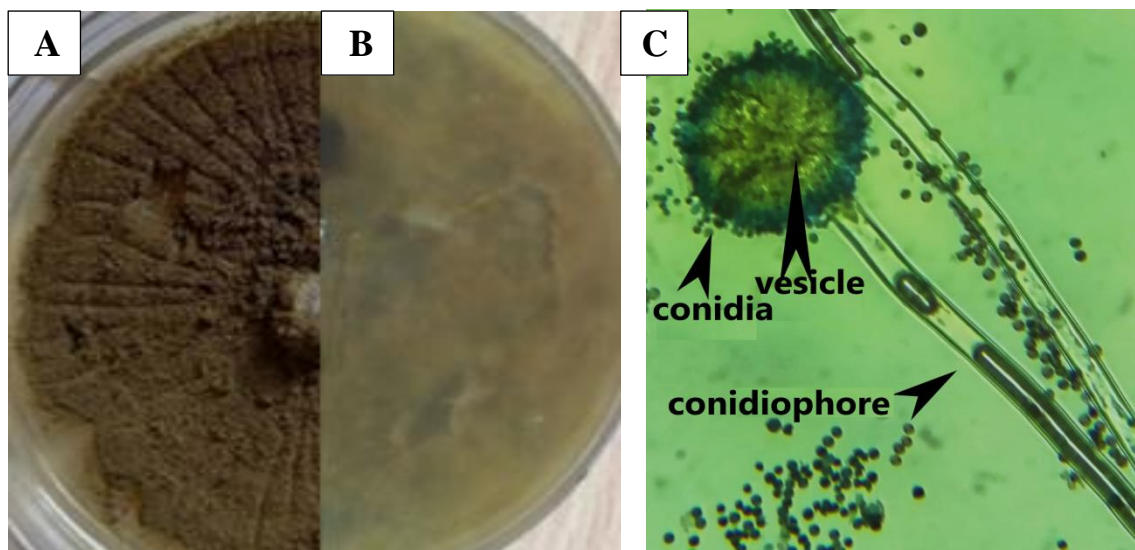
ويبين الفحص المجهرى : الحوامل الكونيدية طويلة وخشنة ، الحويصلة كبيرة ، والرأس الكونيدى كروي الشكل ومتجانس التوزيع على الرأس الكونيدى ، الأبوااغ سوداء وتظهر بشكل سلسلة متجانسة من الأبوااغ Samson وأخرون (٢٠٠٧) و Frisvad وأخرون (٢٠٠٤)



الشكل (٨-٤): فطر *Aspergillus piperisr* على وسط SDA على درجة حرارة ٢٨° م ، لمدة خمسة أيام.
A: وجه المستعمرة B: ظهر المستعمرة C: الشكل المجهرى ٤٠X .

٩. الفطر *Aspergillus tubingensis*

الشكل (٩-٤) الوصف المظاهري : أظهرت المستعمرة الفطرية على وسط SDA لونبني غامق عند درجة حرارة ٢٨ درجة مئوية وتشبه *A.niger* ، كونت نمواً أسوداً تأخذ شكل الفلفل المطحون ومحاطاً بهالة من النمو الأبيض ، ظهر المستعمرةبني فاتح ذات شكل أملس .
أما الفحص المجهرى: فظهرت الروؤس الكونيدية محاطة بالفياليدات ، والكونيديا السوداء اللون ملساء الشكل وكروية ، الحويصلات كبيرة ويبلغ متوسط قطر الحويصلات ٢١-٨ مايكروميتير (Li ٢٠٢١، وأخرون ٢٠٠٧) .

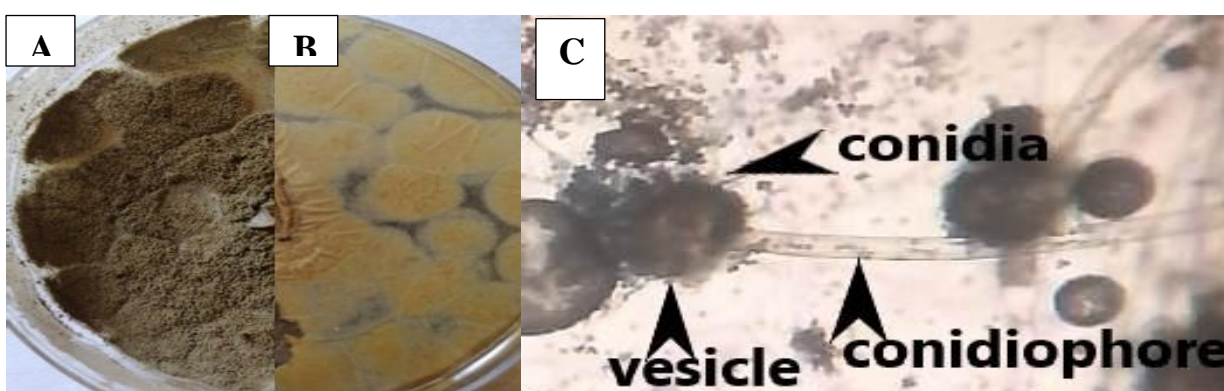


الشكل (9-4) : الفطر *Aspergillus tubingensis* على وسط SDA، بدرجة حرارة 28° م ، لمدة خمسة ايام. A : وجه المستعمرة B: ظهر المستعمرة C: الشكل المجهرى 40X .

١٠. الفطر *Aspergillus welwitschiae*

الشكل (١٠-٤) الوصف المظاهري : تكون المستعمرات على وسط SDA مظهرا قطنيا ذات لونبني غامق مائل الىالسوداء في هذا الفطر مشابهة شكليا لفطر *A.niger* من ناحية الملمس القطني واللون الذي يكونبني غامق إلى مائل للسوداء والجهة الظهرية من المستعمرة ذات لونبني غامق مع وجود العروق المتوازية الممتدة من المركز بإتجاه الحافة .

أما الفحص المجهرى: يوضح خيوط متفرعة وحوامل كونيذية شفافة وطويلة في نهايتها رؤوس كونيذية كبيرة الحجم ذات حويصلة كبيرة وواضحة من نوع biseriate مع كونيذات كروية خشنة (Liu وأخرون ٢٠١٩) .

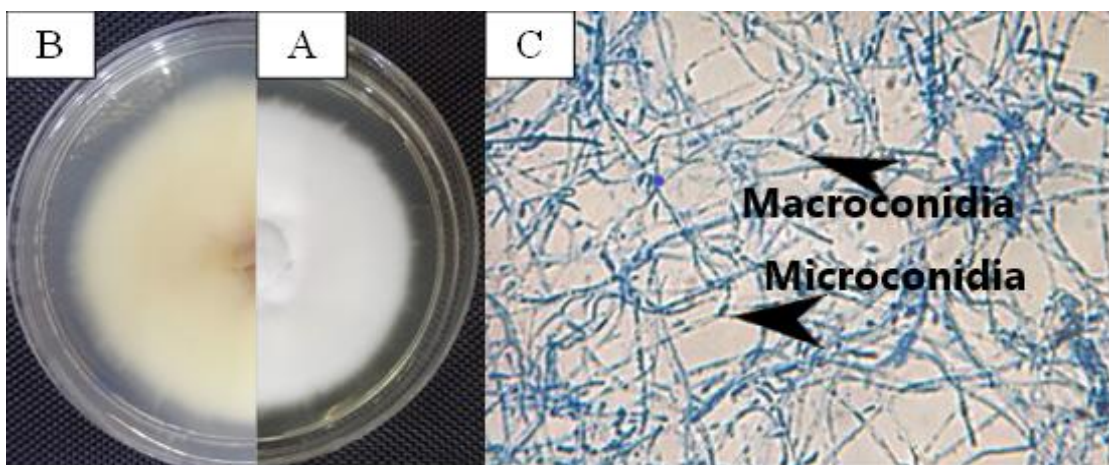


الشكل (10-4) : الفطر *Aspergillus welwitschiae* على وسط SDA، بدرجة حرارة 28° م ، لمدة خمسة ايام. A: وجه المستعمرة B: ظهر المستعمرة C: الشكل المجهرى 40X .

٤.٣.١. صفات الفطريات الجلدية

١. الفطر *Trichophyton rubrum*

ظهرت المستعمرات بلون أبيض مسطحة ترتفع قليلاً فوق مستوى الوسط الزرعي ذات أنسجة قطنية ناعمة مفككة أما الجهة الخلفية من المستمرة ذات لونبني مصفر إلىبني محمر وبلغ معدل النمو الفطري للمزرعة ٥ سم بعد مرور ٧ أيام من الحضن بدرجة حرارة ٣٠ درجة مئوية أما الفحص المجهرى أوضح الأبواغ الصغيرة والكبيرة وبنفس المواصفات التي ذكرت في Al-Masaoodi وأخرون (٢٠٢٠) ملاحظة الشكل في أدناه لمدة ٢٨ يوماً بدرجة حرارة ٣٠ درجة مئوية .

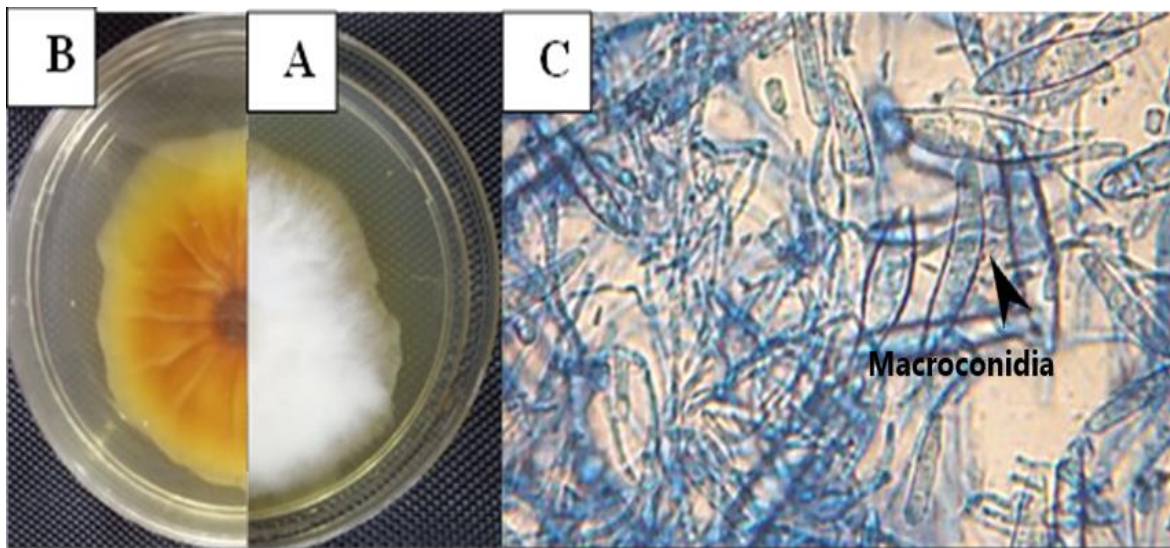


الشكل (11-4) : فطر *Trichophyton rubrum* على وسط SDA، بدرجة حرارة ٣٠ م ، لمدة ٢٨ يوما

A: وجه المستعمرة B: ظهر المستعمرة C: الشكل المجهرى ٤٠X

٢. الفطر *Microsporum canis*

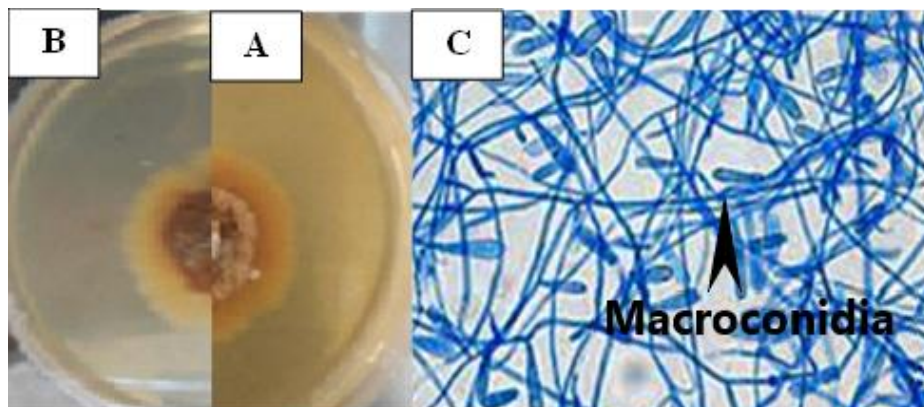
أظهرت المستعمرة لوناً كريمياً تحول إلى الأصفر البرتقالي أما الجهة الخلفية من المستعمرة لون ذهبي مصفر ومع تقدم العمر تحول إلى اللون البني وبلغ معدل قطر المستعمرة ٤ سم بعد مرور ٧ أيام من الحضن بدرجة حرارة ٣٠ م على الوسط الزرعي SDA أما الفحص المجهرى أظهر الكونيدات الكبيرة ذات الشكل المغزلي ومحاطة بأشواك وبنفس المواصفات الذي ذكرها .



الشكل (12-4) : فطر *Microsporum canis* على وسط SDA، بدرجة حرارة 30 ° م ، لمدة ٢٨ يوما . A: وجه المستعمرة

B: ظهر المستعمرة C: الشكل المجهرى 40X

الفطر يكون بطيء النمو على وسط PDA و تظهر المستعمرات بلون أصفر كبريتى مسحوقى powdery والجهة المعاكسة ذات لون برتقالي بني و حواف صفراء أما الفحص المجهرى أوضح كونيدات كبيرة مغزلية الشكل ذات نهاية متعددة كما في الشكل (13-٤)

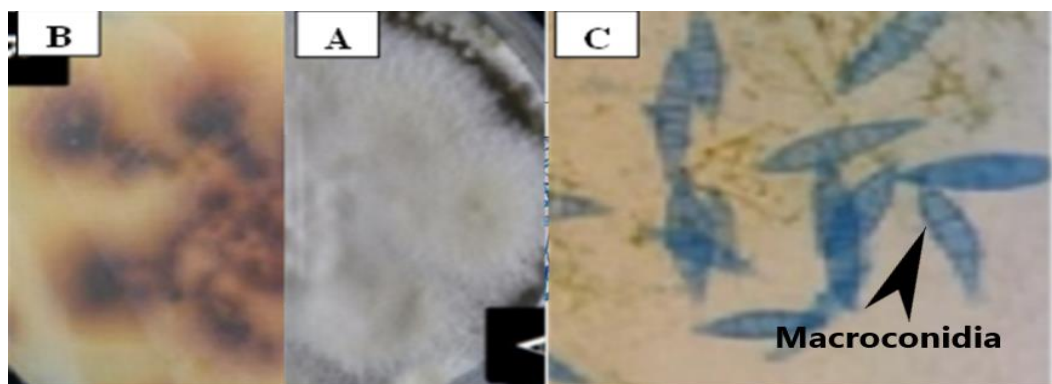


الشكل (13-4) : فطر *Epidermophyton floccosum* على وسط SDA ، بدرجة حرارة 30 ° م ، لمدة ٢٨ يوما . A: وجه المستعمرة

B: ظهر المستعمرة C: الشكل المجهرى 40X

٤. الفطر *Microsprum gypseum*

الفطر سريع النمو على PDA تظهر المستعمرات بلون أبيض كريمي إلىبني غامق وقد يصبح حبيبي ويكون الوجه الخلفي للمستعمرة بلون أصفر شاحب إلىبني محمر أما الفحص المجهرى يوضح الكونيدات الكبيرة الشكل البيضاوى إلى مغزلي تحوى حواجز عرضية واضحة .



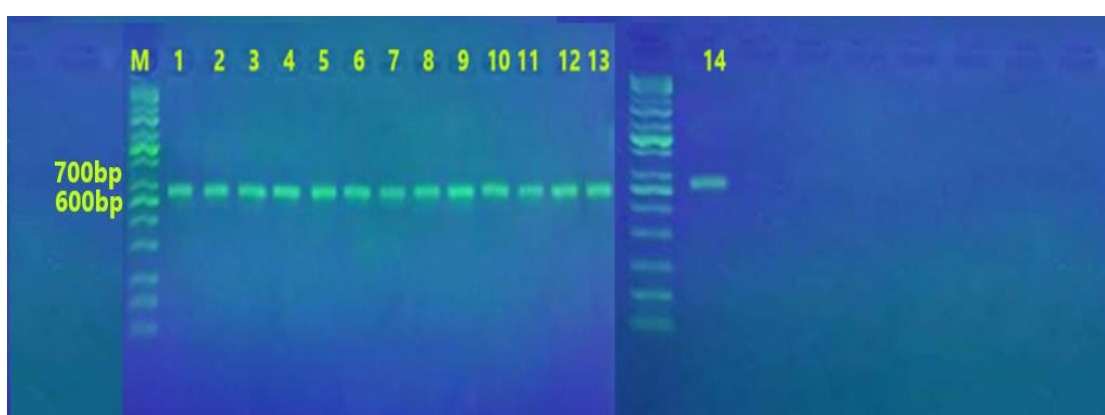
الشكل (14-4): فطر *Microsprum gypseum* على وسط SDA على درجة حرارة 30° م ، لمدة 28 يوما.

A: وجه المستعمرة B: ظهر المستعمرة C: الشكل المجهرى 40X

٤.١. الدراسة الجزيئية للعزلات الفطرية

١. التشخيص الجزيئي للعزلات الفطرية

تبين التشخيص الجزيئي للفطريات المعزولة أنها تعود الى جنس *Aspergillus* , *Rhizopus* وأحتوت جميع العزلات الفطرية على حزمة مفردة من الحامض النووي المستخلص وقد قيست نقاوته بواسطة استخدام جهاز الطيف المرئي Spectrophometer تحت أطوال موجية ٨٨٠ و ٨٩٠ نانومتر ، وبينت نتائج التحليل للجين SSU ribosomal RNA ١٨S لمنطقة ribosomal RNA ١٨S موجودة لجميع الفطريات وهي بين ٦٠٠-٥٠٠ bp. (الشكل ١٥-٤)



الشكل (15-4) : الترحييل الكهربائي على هلام الاكاروز 1.5% وفولتية 100 لمندة ساعة . ايجابي الفحص بين bp 600-500

٢. التشخيص الجيني لأنواع الفطرية وتسجيلها بالبنك الجيني العالمي و تحديد تسلسل

القواعد النتروجينية وتحليل المعلوماتية الحيوية والشجرة الوراثية Phylogeny

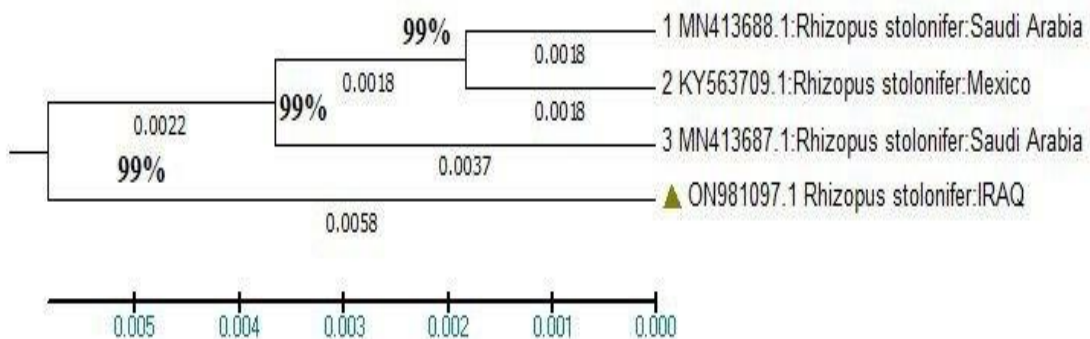
أوضحت النتائج أن جميع الفطريات تم تسجيلها كعزلات عراقية محلية لأول مرة في البنك الجيني العالمي وتفاعلاتها مع الباديء وتطابقت مع نظيراتها بنسبة ٩٩٪ - ١٠٠٪ بحسب ماموضح في معلومات التسجيل ودراسة التقارب والتشابه بين الفطريات المسجلة وقد حدد العزلة الأولى Aspergillus niger الرمز التسلسلي Rhizopus stoloifer ٩٨١٠٩٧ON والعزلة الثانية ٩٨١٠٩٧ON الرمز التسلسلي Aspergillus welwitschiae الرمز التسلسلي ٩٨١٠٩٨ON والعزلة الثالثة Aspergillus minisclerotigenes الرمز التسلسلي ٩٨١٠٩٩ON والعزلة الرابعة ٩٨١١٠١ON الرمز التسلسلي Aspergillus tubingensis والعزلة الخامسة ٩٨١١٠٠ON الرمز التسلسلي Aspergillus costaricensis الرمز التسلسلي ٩٨١١٠٢ON والعزلة السادسة Aspergillus piperis الرمز التسلسلي ٩٨١٢٩٥ON والعزلة الثامنة Aspergillus oryzae الرمز التسلسلي ٩٨١١٠٣ON والعزلة التاسعة Aspergillus brasiliensis الرمز التسلسلي ٩٨١١٠٤ON والعزلة العاشرة Aspergillus niger الرمز التسلسلي ٩٨١٢٩٦ON والعزلة الثانية عشر Aspergillus tubigensis الرمز التسلسلي ٩٨١٢٩٧ON والعزلة الثالثة عشر Rhizopus fiavus الرمز التسلسلي ٩٨١١٠٦ON والعزلة الرابعة عشر Aspergillus niger americanus الرمز التسلسلي ٩٨١١٠٧ON (الجدول ٣-٤).

الجدول (٤) الأرقام التسلسالية للعزلات الفطرية في البنك الجيني GinBank

العزلة	اسم الفطر	الرقم التسلسلي في البنك الجيني	رقم الملحق
العزلة الأولى	Rhizopus stolonifer	ON٩٨١٠٩٧	٢
العزلة الثانية	Aspergillus niger	ON٩٨١٠٩٨	٣
العزلة الثالثة	Aspergillus welwitschiae	ON٩٨١٠٩٩	٤
العزلة الرابعة	Aspergillus minisclerotigenis	ON٩٨١١٠١	٥
العزلة الخامسة	Aspergillus tubingensis	ON٩٨١١٠١	٦
العزلة السادسة	Aspergillus costaricensi	ON٩٨١١٠٢	٧
العزلة السابعة	Aspergillus oryzae	ON٩٨١٢٩٥	٨
العزلة الثامنة	Aspergillus piperis	ON٩٨١١٠٣	٩

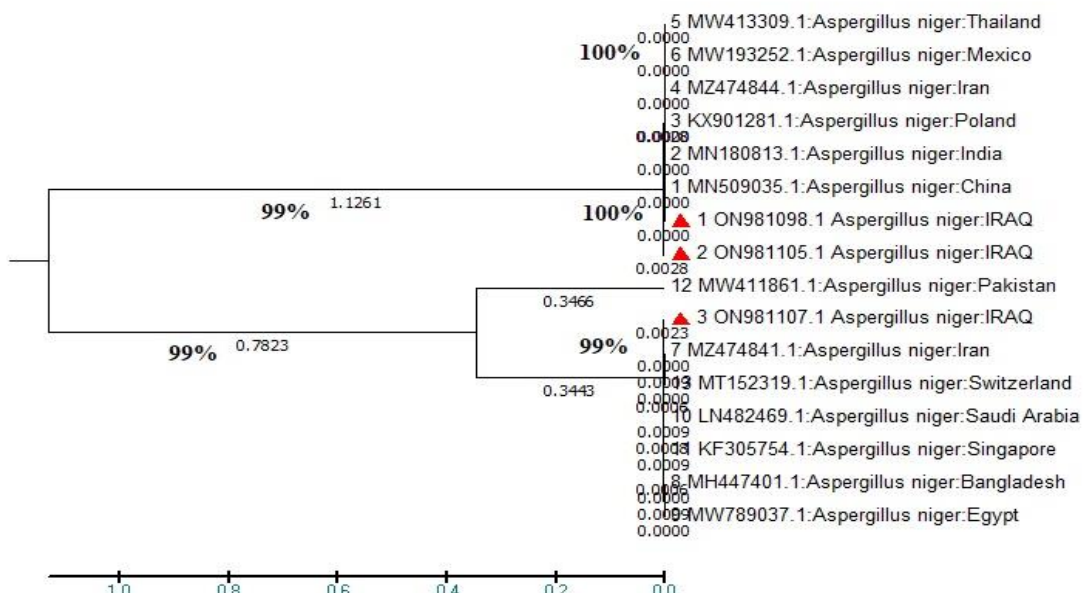
١٠ ملحق	ON٩٨١١٠٤	<i>Aspergillus brasiliensis</i>	العزلة التاسعة	٩
١١ ملحق	ON٩٨١١٠٥	<i>Aspergillus niger</i>	العزلة العاشرة	١٠
١٢ ملحق	ON٩٨١٢٩٦	<i>Aspergillus tubingensis</i>	العزلة الحادية عشر	١١
١٣ ملحق	ON٩٨١٢٩٧	<i>Aspergillus flavus</i>	العزلة الثانية عشر	١٢
١٤ ملحق	ON٩٨١١٠٦	<i>Rhizopus americanus</i>	العزلة الثالثة عشر	١٣
١٥ ملحق	ON٩٨١١٠٧	<i>Aspergillus niger</i>	العزلة الرابعة عشر	١٤

بيّنت نتائج تحليل تسلسل القواعد النايتروجينية (Nucleotide sequence) لجزم الحامض النووي المضاعفة وباستعمال برنامج Mega/6 and N. S. B. I وبمقارنتها مع البيانات المتوفرة في المركز العالمي لمعلومات التقانات الحياتية (NCBI) والعائد للفطر *R. stolonifer* المشخصة والمسجلة في البنك الجيني والتي تحمل الرقم التسلسلي ON ٩٨١٠٩٧ مطابقة مع العزلة *R. stolonifer* المعزولة في المملكة العربية السعودية والتي تحمل الرقم التسلسلي MN ٤١٣٦٨٨ والهند ذات الرمز KY ٥٦٣٧٠٩ والمملكة العربية السعودية التي تحمل الرقم التسلسلي MN ٤١٣٦٨٧ بنسبة ٩٩% (الشكل ١٦-٤) .



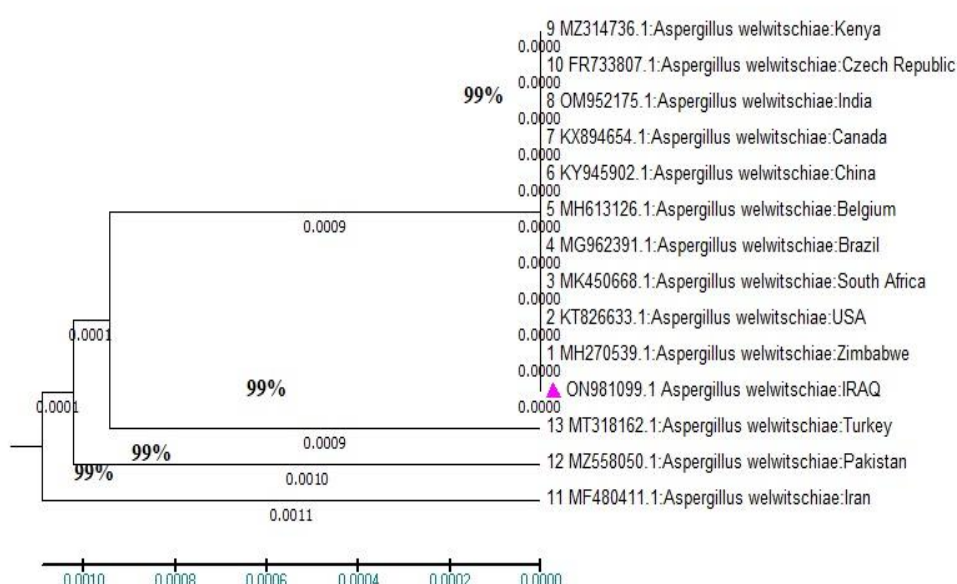
الشكل (١٦-٤) يمثل الشجرة الوراثية للعزلة الفطرية الاولى للفطر *Rhizopus stolonifer* (مؤشر بمثلث) مع أنواع وسلالات أخرى معروفة تعود للجنس نفسه .

بيّن الشكل (١٧-٤) تحليل الشجرة الوراثية للفطر *Aspergillus niger* المشخصة والمسجلة في البنك الجيني المتمثّلة بثلاث عزلات ذات الرقم التسلسلي ON ٩٨١١٠٩٨ ، ON ٩٨١١٠٩٧ و العزلة ٥٠٩٠٣٥ MN مطابقة مع العزلة المعزولة من الصين ذات الرقم التسلسلي ON ٩٨١١٠٧ مطابقة مع العزلة المعزولة من الهند ذات الرقم التسلسلي ١٨٠٨٣ MN والعزلة المعزولة من بولندا ذات الرقم التسلسلي ٩٠١٢٨١ KX بنسبة ١٠٠% فضلاً عن تطابقها مع عزلات أخرى من إيران وفنلندا والمكسيك وإيران وبنغلادش ومصر وال سعودية بنسبة ٩٩% . العزلة المعزولة من الهند ذات الرقم التسلسلي ١٨٠٨٣ MN والعزلة المعزولة من بولندا ذات الرقم التسلسلي



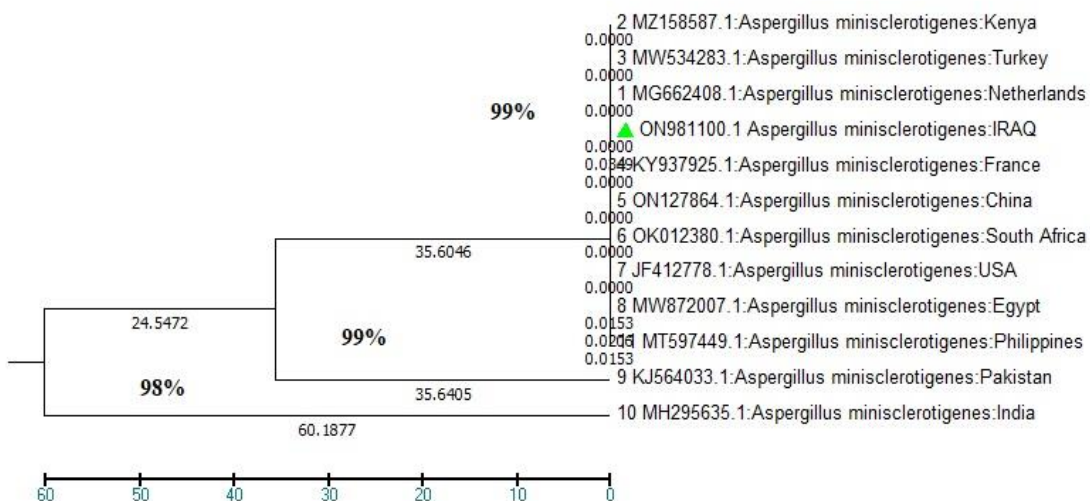
الشكل (١٧-٤) يمثل الشجرة الوراثية للعزلة الفطرية الثانية للفطر *Aspergillus niger* (مؤشر بمثث) مع أنواع وسلالات أخرى معروفة تعود للجنس نفسه.

يوضح الشكل (١٨-٤) تحليل الشجرة الوراثية للفطر *Aspergillus welwitschiae* المشخصة والمسجلة في البنك الجيني ذات الرقم التسلسلي ON ٩٨١٠٩٩ مطابقة مع العزلة المعزولة من زمبابوي ذات الرقم التسلسلي ٢٧٠٥٣٩MH والعزلة المعزولة من أمريكا ذات الرقم التسلسلي ٤٥٠٦٦٨MK والعزلة المعزولة من جنوب أفريقيا ذات الرقم التسلسلي ٨٢٦٦٣٣KT فضلاً عن تطابقها مع عزلات أخرى من البرازيل بلجيكا والصين كندا الهند و التشيك بنسبة ٩٩٪.



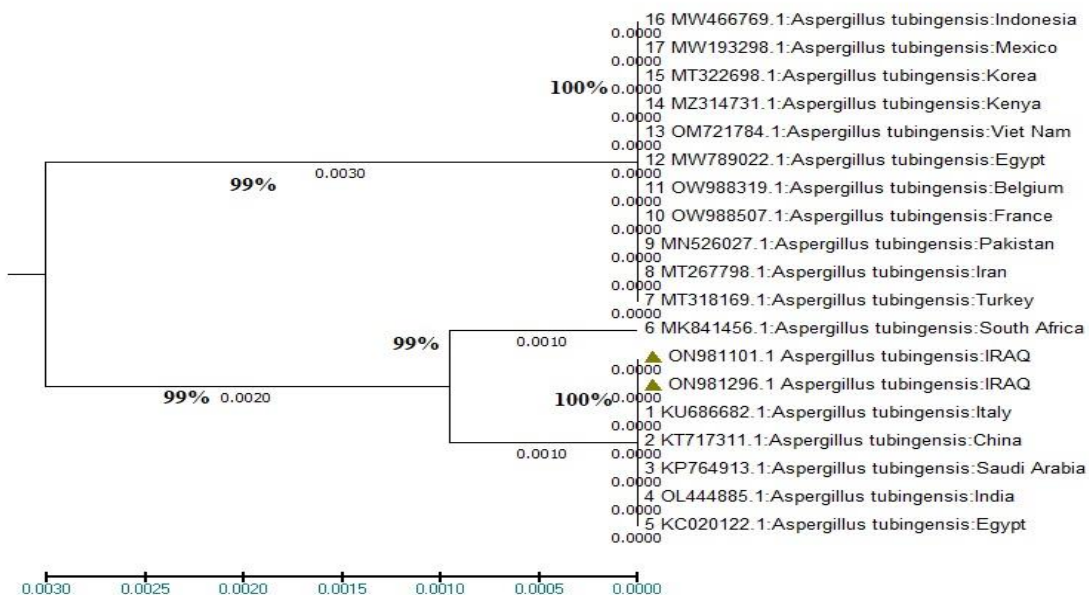
الشكل (١٨-٤) يمثل الشجرة الوراثية للعزلة الفطرية الثالثة للفطر *Aspergillus welwitschiae* (مؤشر بمثث) مع أنواع وسلالات أخرى معروفة تعود للجنس نفسه.

يوضح الشكل (١٩-٤) تحليل الشجرة الوراثية للفطر *Aspergillus minisclerotigenes* المنشقة والمسجلة في البنك الجيني ذات الرقم التسلسلي ON ٩٨١١٠٠ مطابقة مع العزلة المعزولة من هولندا ذات الرقم التسلسلي ٦٦٢٤٠٨MG والعزلة المعزولة من تركيا ذات الرقم التسلسلي ٥٣٤٢٨٣MW والعزلة المعزولة من كينيا ذات الرقم التسلسلي ١٥٨٥٨٧MZ بنسبة ٩٩% فضلاً عن تطابقها مع عزلات أخرى من فرنسا ، الصين ، جنوب أفريقيا ، أمريكا ، مصر ، باكستان والهند بنسبة ٩٩%.



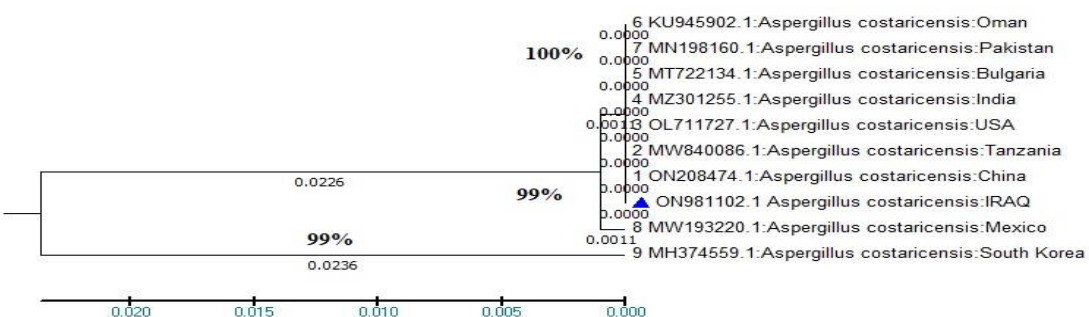
الشكل (١٩-٤) يمثل الشجرة الوراثية للعزلة الفطرية الثالثة للفطر *Aspergillus minisclerotigenes* (مؤشر بمثلث) مع أنواع وسلالات أخرى معروفة تعود للجنس نفسه

يوضح الشكل (٢٠-٤) تحليل الشجرة الوراثية للفطر *Aspergillus tubingensis* المنشقة والمسجلة في البنك الجيني والمتمثلة بعزلتين ذات الرقم التسلسلي ON ٩٨١٢٩٦، ON ٩٨١١٠١، مطابقة مع العزلة المعزولة من إيطاليا ذات الرقم التسلسلي ٦٨٦٦٨٢KU والعزلة المعزولة من الصين ذات الرقم التسلسلي ٧١٧٣١١KT والعزلة المعزولة من المملكة العربية السعودية ذات الرقم التسلسلي ٧٦٤٩١٣KP بنسبة ١٠٠% فضلاً عن تطابقها مع عزلات أخرى من الهند ، مصر ، جنوب أفريقيا ، تركيا ، إيران ، باكستان ، فرنسا ، بلجيكا ، مصر ، فيتنام ، كينيا ، كوريا ، المكسيك وإندونيسيا بنسبة ٩٩%.



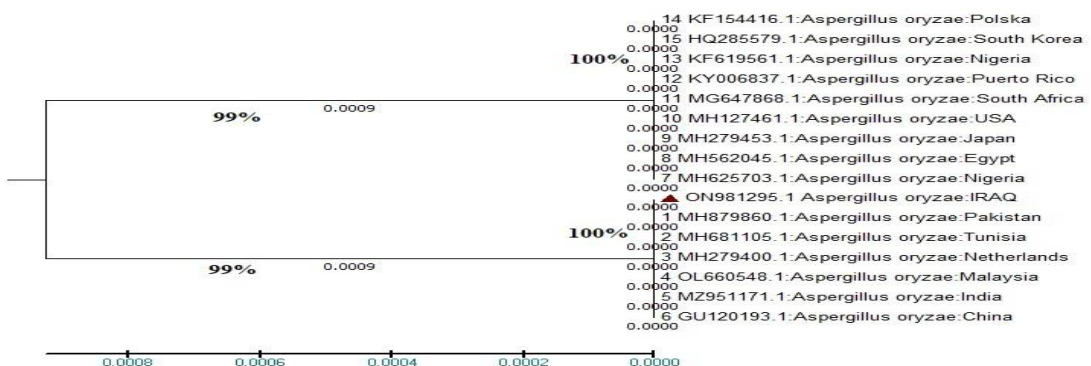
الشكل (٤-٢٠) يمثل الشجرة الوراثية للعزلة الفطرية الخامسة للفطر *Aspergillus tubingensis* (مؤشر بمثلث) مع أنواع وسلالات أخرى معروفة تعود للجنس نفسه

يوضح الشكل (٤-٢١) تحليل الشجرة الوراثية للفطر *Aspergillus costaricensis* المشخصة والمسجلة في البنك الجيني ذات الرقم التسلسلي ON ٩٨١١٠٢ مطابقة مع العزلة المعزولة من الصين ذات الرقم التسلسلي ON ٢٠٨٤٧٤ والعزلة المعزولة من تنزانيا ذات الرقم التسلسلي ٧١١٧٢٧ OL ٨٤٠٠٨٦ MW و العزلة المعزولة من الولايات المتحدة الأمريكية ذات الرقم التسلسلي MW ٨٤٠٠٨٦ و العزلة المعزولة من الهند ، بلغاريا ، عمان ، باكستان ، المكسيك ، كوريا الجنوبية بنسبة ٩٩٪ .



الشكل (٤-٢١) يمثل الشجرة الوراثية للعزلة الفطرية السادسة للفطر *Aspergillus costaricensis* (مؤشر بمثلث) مع أنواع وسلالات أخرى معروفة تعود للجنس نفسه

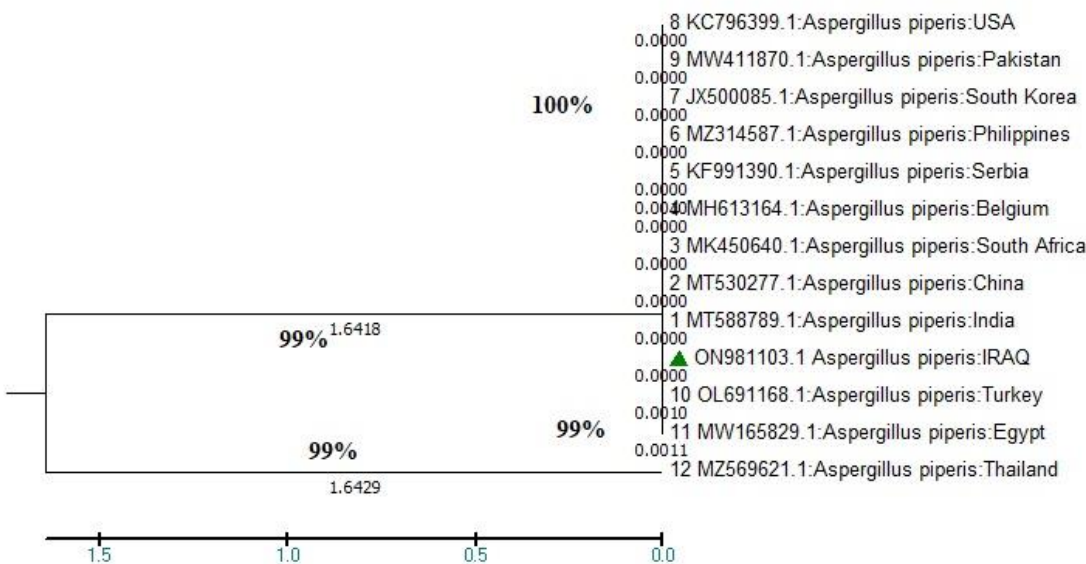
يوضح الشكل (٤-٢) تحليل الشجرة الوراثية للفطر *Aspergillus oryzae* المشخصة والمسجلة في البنك الجيني ذات الرقم التسلسلي ٩٨١٢٩٥ON مطابقة مع العزلة المعزولة من باكستان ذات الرقم التسلسلي ٦٨١١٠٥MH والعزلة المعزولة من تونس ذات الرقم التسلسلي ٨٧٩٨٦٠MH والعزلة المعزولة من هولندا ذات الرقم التسلسلي ٢٧٩٤٠٠MH بنسبة ١٠٠% فضلاً عن تطابقها مع عزلات أخرى من ماليزيا ، الهند، الصين ، نيجيريا ، مصر ، اليابان ، أمريكا ، جنوب أفريقيا بنسبة ١٠٠%.



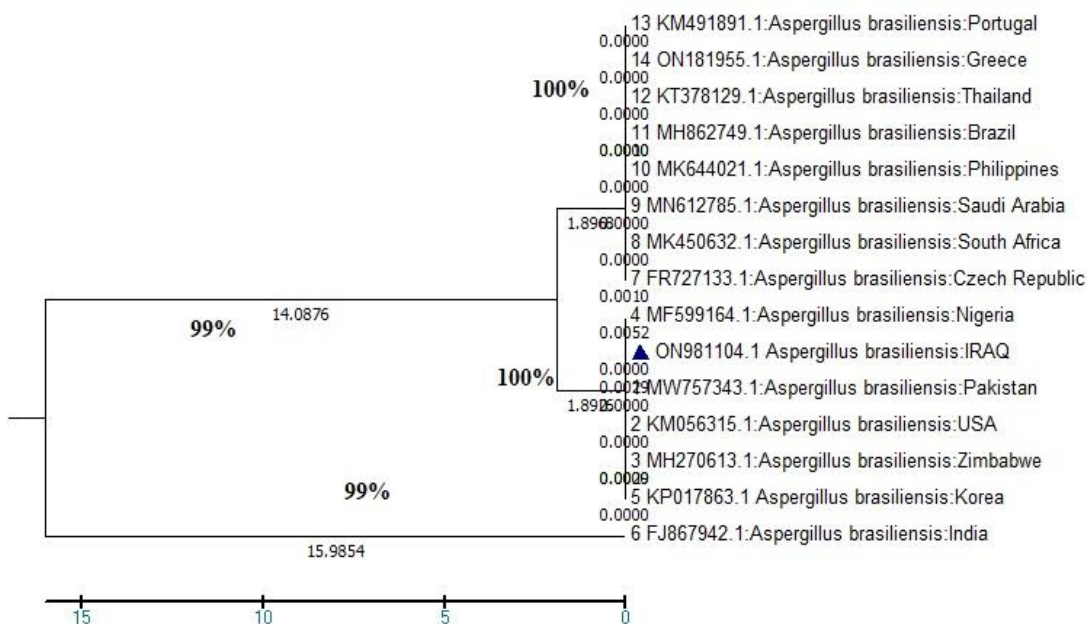
الشكل (٤-٢) يمثل الشجرة الوراثية للعزلة الفطرية السابعة للفطر *Aspergillus oryzae* (مؤشر بمثلث) مع أنواع وسلالات أخرى معروفة تعود للجنس نفسه

يوضح الشكل (٤-٣) تحليل الشجرة الوراثية للفطر *Aspergillus piperis* المشخصة والمسجلة في البنك الجيني ذات الرقم التسلسلي ٩٨١١٠٣ON مطابقة مع العزلة المعزولة من الهند ذات الرقم التسلسلي ٥٣٠٢٧٧MT والعزلة المعزولة من الصين ذات الرقم التسلسلي ٥٨٨٧٨٩MT والعزلة المعزولة من جنوب أفريقيا ذات الرقم التسلسلي ٤٥٠٦٤٠MK بنسبة ١٠٠% فضلاً عن تطابقها مع عزلات أخرى من بلجيكا ، صربيا ، الفلبين ، كوريا الجنوبية ، أمريكا ، باكستان ، تركيا ، مصر و تايلند بنسبة ٩٩% .

يوضح الشكل (٤-٤) تحليل الشجرة الوراثية *Aspergillus brasiliensis* المشخصة والمسجلة في البنك الجيني ذات الرقم التسلسلي ٩٨١١٠٤ON مطابقة مع العزلة المعزولة من باكستان ذات الرقم التسلسلي ٧٥٧٣٤٣MW والعزلة المعزولة من الولايات المتحدة الأمريكية ذات الرقم التسلسلي ٢٧٠٦١٣MH ، والعزلة المعزولة من زمباوي ذات الرقم التسلسلي ٥٦٣١٥KM بنسبة ١٠٠% فضلاً عن تطابقها مع عزلات أخرى من نيجيريا ، كوريا ، الهند ، تشيكيا ، جنوب أفريقيا ، السعودية ، الفلبين ، البرازيل ، تايلند ، البرتغال ، والإغريق بنسبة ١٠٠% .



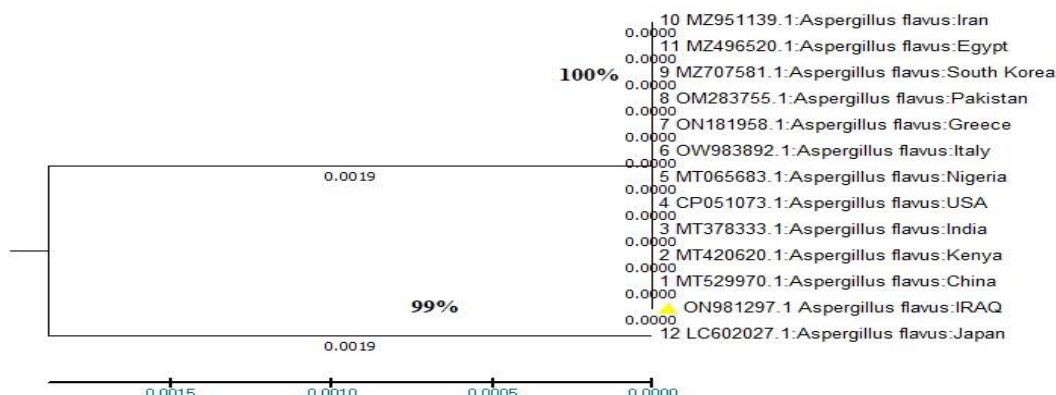
الشكل (٢٣-٤) يمثل الشجرة الوراثية للعزلة الفطرية الثامنة للفطر *Aspergillus piperis* (مؤشر بمثلث) مع أنواع وسلالات أخرى معروفة تعود للجنس نفسه



الشكل (٤-٤) يمثل الشجرة الوراثية للعزلة الفطرية التاسعة للفطر *Aspergillus brasiliensis* (مؤشر بمثلث) مع أنواع وسلالات أخرى معروفة تعود للجنس نفسه .

يوضح الشكل (٤-٥) تحليل الشجرة الوراثية *Aspergillus flavus* في المسجلة في البنك الجيني ذات الرقم التسلسلي ON ٩٨١٢٩٧ مطابقة مع العزلة المعزولة من الصين ذات الرقم التسلسلي MT ٥٢٩٩٧٠ والعزلة المعزولة من كينيا ذات الرقم التسلسلي MT ٤٢٠٦٢٠ والعزلة المعزولة من الهند ذات الرقم التسلسلي MT ٣٧٨٣٣٣ بنسبة ١٠٠% فضلاً عن تطابقها مع عزلات

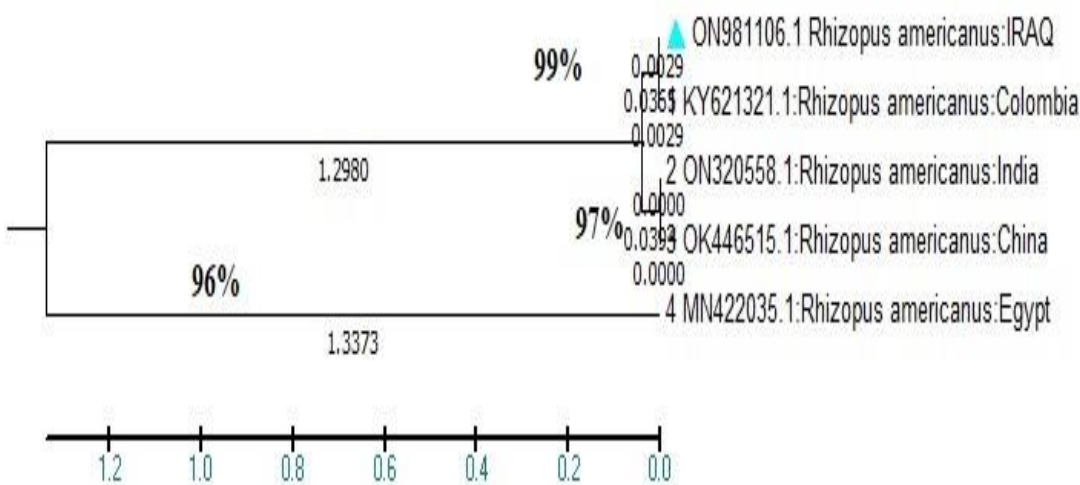
٩٩ من أمريكا ، نيجيريا ، إيطاليا ، الإغريق ، باكستان ، كوريا الجنوبية ، مصر و إيران بنسبة .%



الشكل (٤-٢٥) يمثل الشجرة الوراثية للعزلة الفطرية العاشرة للفطر *Aspergillus flavus*

(مؤشر بمثلث) مع أنواع وسلالات أخرى معروفة تعود للجنس نفسه .

يوضح الشكل (٤-٢٦) تحلييل الشجرة الوراثية *Rhizopus americanus* المشخصة والمسجلة في البنك الجيني ذات الرقم التسلسلي ON ٩٨١١٠٦ مطابقة مع العزلة المعزولة من كولومبيا ذات الرقم التسلسلي Y ٦٢١٣٢١ KY و العزلة المعزولة من الهند ذات الرقم التسلسلي ON ٣٢٠٥٥٨ و العزلة المعزولة من الصين ذات الرقم التسلسلي OK ٤٤٦٥١٥ فضلا عن تطابقها مع العزلة المعزولة من مصر ذات الرقم التسلسلي MN ٤٢٢٠٣٥ بنسبة ٩٧٪ .



الشكل (٤-٢٦) يمثل الشجرة الوراثية للعزلة الفطرية الحادية عشر للفطر *Rhizopus americanus* (مؤشر

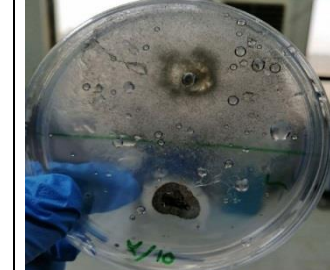
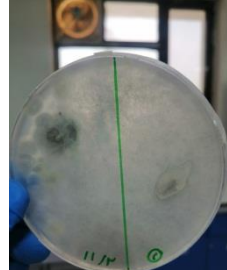
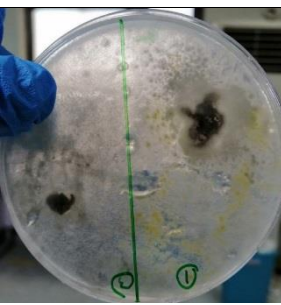
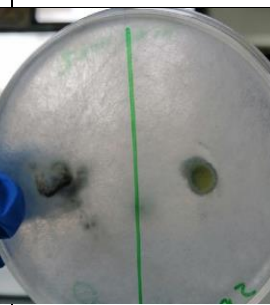
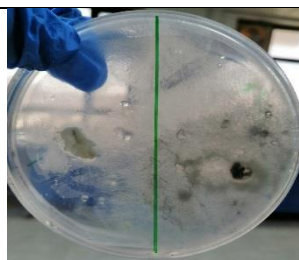
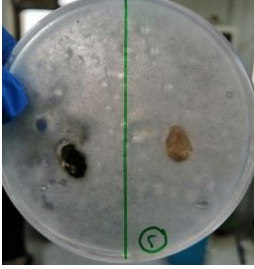
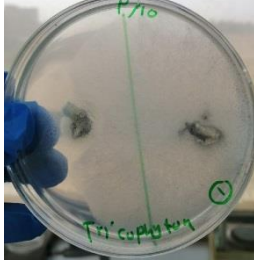
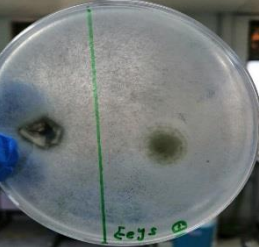
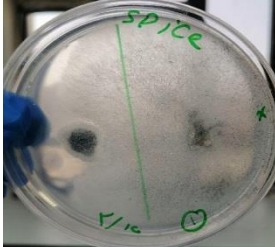
بمثلث) مع أنواع وسلالات أخرى معروفة تعود للجنس نفسه .

٣ . اختبار الكفاءة التضادية للفطريات ضد الفطر *Rhizopus stolonifer*

أظهرت النتائج في الجدول (٣-٤) والشكل (٢٧-٤) القدرة التضادية للفطريات المختبرة ضد *R. stolonifer* وتم تضمين الأختبار الفطريات الجلدية المعزولة سابقاً والمسجلة بالبنك الجيني من دراسات سابقة Al-Masaoodi وأخرون (٢٠٢١) (٢٠٢٠) وأظهرت النتائج بإن درجة التضاد ٣ حسب مقاييس Bell للفطريات *A. costaricensis* و *A. minisclerotigenes* و *M. oryzae* و *M. canis* و *T. rubrum* و *A. flavus* و *A. piperis* و *A. niger* و *A. gypseum* ، و ٥ وهي سيطرة الفطر الممرض على الطبق بأكمله مع الفطريات *A. brasiliensis* و *A. tubigensis* و *A. welestichia* . *Epidermophyton floccosum*

الجدول (٤ - ٣) : الكفاءة التضادية للفطريات المعزولة والفطريات الجلدية ضد الفطر *Rhizopus stolonifer* على وسط SDA، بدرجة حرارة ٢٨ ° م ، لمدة خمسة أيام .

الأنواع الفطرية	درجة التضاد	الأنواع الفطرية	درجة التضاد
<i>R.americanus</i>	٤	<i>A.piperis</i>	٣
<i>A.brasiliensis</i>	٥	<i>A.tubigensis</i>	٥
<i>A.costaricensis</i>	٣	<i>A.welestichia</i>	٥
<i>A.flavus</i>	٣	<i>Trichophyton rubrum</i>	٤
<i>A.minisclerotigenes</i>	٣	<i>Microsprum canis</i>	٤
<i>A.niger</i>	٥	<i>Epidermophyton floccosum</i>	٥
<i>A.oryzae</i>	٣	<i>Microsprum gypseum</i>	٤

			
<i>Rhizopus americanus</i>	<i>Aspergillus brasiliensis</i>	<i>Aspergillus costaricensis</i>	<i>Aspergillus flavus</i>
			
<i>Aspergillus minisclerotigenes</i>	<i>Aspergillus niger</i>	<i>Aspergillus oryzae</i>	<i>Aspergillus piperis</i>
			
<i>Aspergillus tubingensis</i>	<i>Aspergillus welwitschiae</i>	<i>Trichophyton rubrum</i>	<i>Microsporum canis</i>
			
<i>Epidermophyton floccosum</i>		<i>Microsporum gypseum</i>	

الشكل (٤-٢٧) : الكفاءة التضادية للفطريات المعزولة ضد الفطر *Rhizopus stolonifer* على وسط SDA، بدرجة حرارة ٢٨ ° م ، لمدة خمسة أيام.

٤. تأثير تراكيز مختلفة من الرواشح الفطرية المعزولة في معدل قطر (سم)

Rhizopus stolonifer الفطر

أوضحت النتائج في الجدول (٤-٤) والشكل (٤-٤) وجود فروقات معنوية عند مستوى أحتمالية ٠.٠٥ لنوع راッシュ الفطر وتركيزه أذ لوحظ تذبذب تأثير الرواشح الفطرية لكن بصورة عامة جميع الرواشح الفطرية قد ثبتت نمو الفطر *R. stolonifer* مقارنة بمعاملة السيطرة التي أعطت معدل نمو قطري للفطر ٨.٠٠٠ سم وأظهر الراッシュ الفطري بالتركيز ٧٥٪ تفوقاً على التراكيز ١٠٠٪، ٢٥٪، ٥٠٪ في تأثيره التثبيطي على نمو *Rhizopus* وبفروقات معنوية عند مستوى أحتمالية ٠.٠٥ إذ أعطى معدل نمو الفطر ٢.٥٧١ سم وبنسبة تثبيطية ٦٨٪ مقارنة ببقية التراكيز ١٠٠٪، ٢٥٪، ٥٠٪ التي أعطت معدل نمو للفطر على التوالي ٣.١١٩، ٦.١٤٣، ٣.٦١٩ سم وبنسبة تثبيطية ٦١٪، ٥٥٪، ٢٣٪. تفوق راッシュ الفطر *A.piperis* تفوقاً على بقية الرواشح في تأثيره على نمو الفطر *Rhizopus*، فقد أعطى أقل معدل نمو للفطر وهو ٢.٩٣٣ سم وبنسبة تثبيط ٦٣٪ إذ بلغ معدل نمو المستعمرة صفر عند التركيزين ٢٥٪ و ٧٥٪ في حين التركيزين ٥٠٪ و ١٠٠٪ أعطياً معدل نمو ٦ و ٦٦٧ سم على التوالي، يأتي بالمرتبة الثانية راッシュ الفطر *Epidermophyton floccosum* وراッシュ الفطر *A.minisclerotigenes* وبين الرواشح *A.tubigensis*

إذ أعطت معدل نمو ٣ و ٣.١٣٣ و ٣.٩٣٣ سم على التوالي وبنسبة تثبيط ٦١٪، ٦٣٪، ٢٠٪ ، فقد بلغ معدل نمو مستعمرة الفطر *A.minisclerotigenes* بلغ صفر عند التركيز ١٠٠٪ و ٧٥٪ في حين التركيز ٢٥٪ في حين التركيز ٥٠٪ أعطى معدل نمو للفطر ٧ سم ، أما الفطر *Epidermophyton floccosum* فقد بلغ معدل قطر المستعمرة للفطر عند التركيز ٢٥٪ و ٧٥٪ صفر في حين أن التركيز ٥٠٪ و ١٠٠٪ أعطت معدل نمو للفطر ٧ و ٦٦٧ سم على التوالي أما الفطر *A.tubigensis* فقد بلغ معدل قطر المستعمرة صفر عند التركيز ٥٠٪ في حين أن التركيز ٢٥٪ و ٧٥٪ و ١٠٠٪ أعطت معدل نمو للمستعمرة ١.٦٦٧ و ٨ و ٢ سم على التوالي .

أما في المرتبة الثالثة يأتي راッシュ الفطر *A.flavus* الذي أعطى معدل نمو ٤ سم وبنسبة تثبيطية ٥٪ ، إذ يبلغ معدل قطر المستعمرة صفر عند التركيز ٧٥٪ و ١٠٠٪ في حين يبلغ معدل قطر المستعمرة عند التركيز ٢٥٪ و ٥٠٪ و ٥٪ على التوالي ، وراッシュ الفطر *Microsprum canis* إذ أعطى معدل نمو ٤.٢٦٧ سم وبنسبة تثبيط ٤٪ بلغ معدل قطر المستعمرة للفطر صفر عند التركيز ٥٠٪ في حين بلغ معدل قطر المستعمرة عند التركيز ٢٥٪ و ٧٥٪ و ١٠٠٪ و ٦٪ و ١٪ على التوالي ، أما راッシュ الفطر *A.niger* أعطى معدل نمو ٤.٣٣٣ سم وبنسبة تثبيطية

٤٦ % بلغ معدل قطر المستعمرة صفر عند التركيزين ٢٥ % و ٧٥ % أما التراكيز ٥٠ % و ١٠٠ % بلغ معدل قطر المستعمرة ٦ .٦٦٧ سم على التوالي .

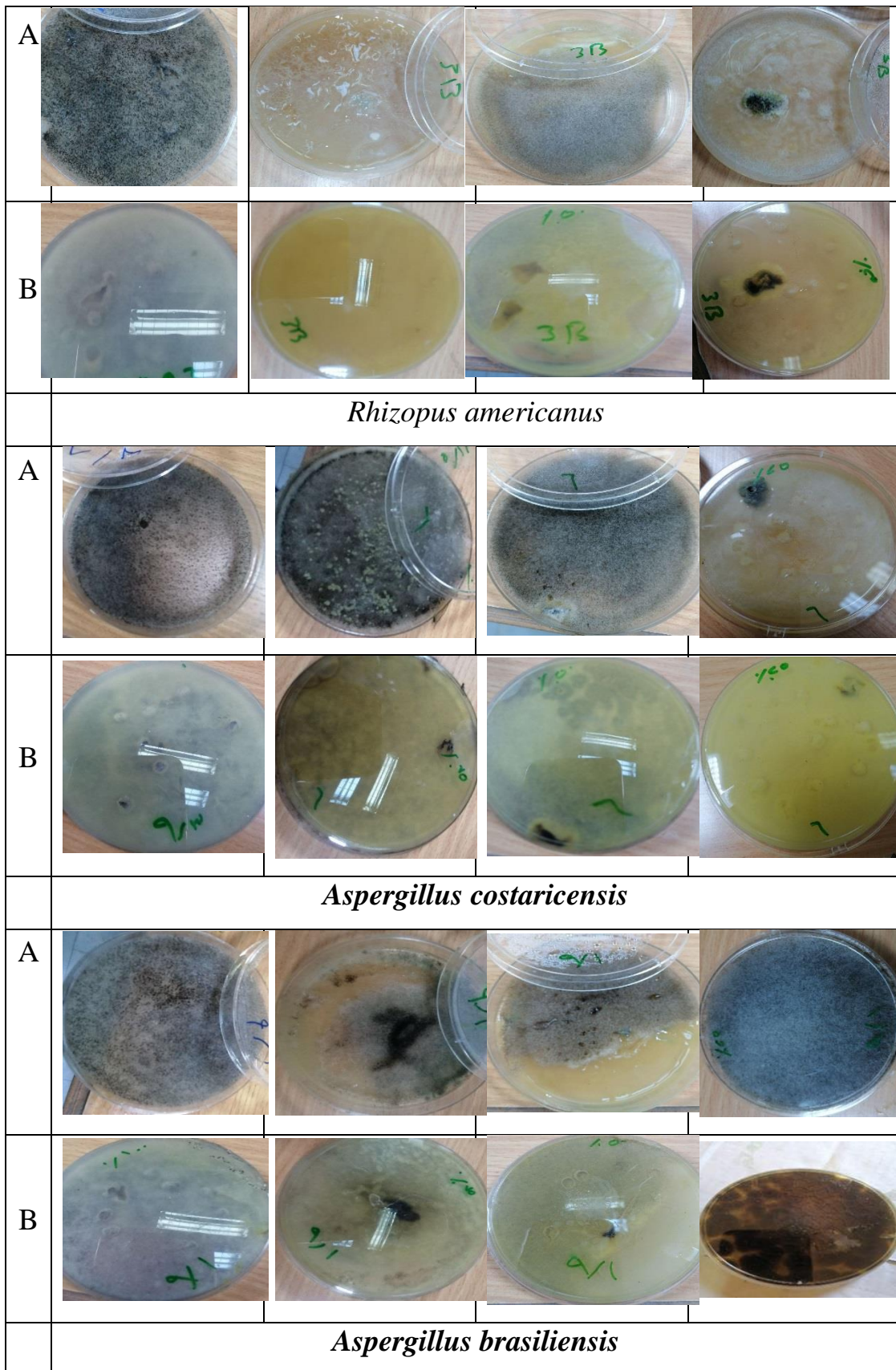
أما راشح الفطر *R.americanus* أعطى معدل نمو ٤ .٧٣٣ سم وبنسبة تثبيطية ٥١ % فقد بلغ معدل نمو المستعمرة الفطرية صفر عند التركيز ٧٥ % أما التراكيز ٢٥ % و ٥٠ % و ١٠٠ % فقد بلغ معدل نمو الفطر ١ .٧٦٧ سم على التوالي . أما المرتبة الرابعة يأتي راشح الفطر *Microsprum gypseum* أعطى معدل نمو ٤ .٤٠٠ سم وبنسبة تثبيطية ٣٣ % إذ بلغ معدل قطر المستعمرة صفر عند التركيز ١٠٠ % أما التراكيز ٢٥ % و ٥٠ % و ٧٥ % بلغ قطر المستعمرة ٨ ، ٨ ، ٣ سم على التوالي . وكذلك راشح الفطر *A.welestitchia* أعطى معدل نمو ٥ .٥٣٣ سم وبنسبة تثبيطية ٣١ % بلغ قطر المستعمرة صفر عند التركيز ٢٥ % أما التراكيز ٥٠ % و ٧٥ % و ١٠٠ % بلغ قطر المستعمرة ٨ ، ٨ ، ٣ سم على التوالي .

في حين راشح الفطر *A.oryzae* أعطى معدل نمو ٥ .٨٦٧ سم وبنسبة تثبيطية ٤١ % بلغ معدل قطر المستعمرة للفطر صفر عند التركيز ٧٥ % أما التراكيز ٢٥ % و ٥٠ % و ١٠٠ % قد بلغ معدل قطر المستعمرة ٧ ، ٨ ، ٦ .٣٣٣ سم على التوالي . في حين أحتل المرتبة الخامسة راشح الفطر *A.costaricensis* أعطى معدل نمو ٦ .٤٠٠ سم وبنسبة تثبيطية ٨ % إذ بلغ معدل قطر المستعمرة صفر عند التركيز ٢٥ % أما التراكيز ٥٠ % و ٧٥ % و ١٠٠ % ، كان معدل قطر المستعمرة للفطر ٨ ، ٨ ، ٨ سم على التوالي .

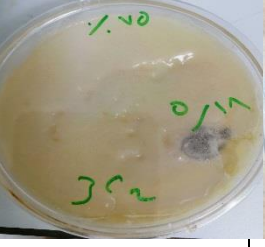
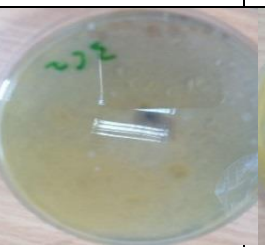
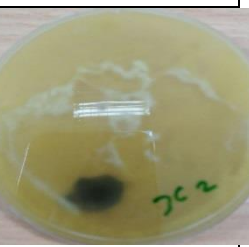
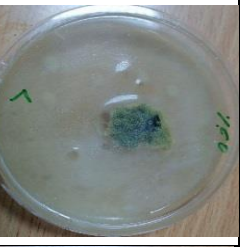
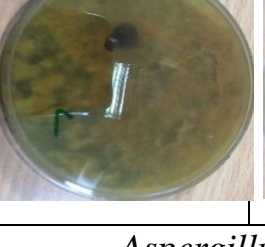
و جاء في المرتبة السادسة راشح الفطر *T. rubrum* أعطى معدل نمو ٤ .٨٠٠ سم وبنسبة تثبيطية ٤٠ % إذ بلغ معدل قطر المستعمرة للفطر صفر عند التركيز ٧٥ % و ١٠٠ % أما التراكيز ٢٥ % و ٥٠ % كان معدل قطر المستعمرة ٨ ، ٨ سم على التوالي أما في المرتبة الأخيرة راشح الفطر *A brasiliensis* أعطى أعلى معدل نمو للمستعمرة بلغ ٧ .٣٣٣ سم وبنسبة تثبيطية ٤١ % وكان معدل قطر المستعمرة عند التراكيز ٢٥ % و ٥٠ % و ٧٥ % و ١٠٠ % و ٧٦٧ ، ٨ ، ٦ ، ٧ ، ٨ سم على التوالي

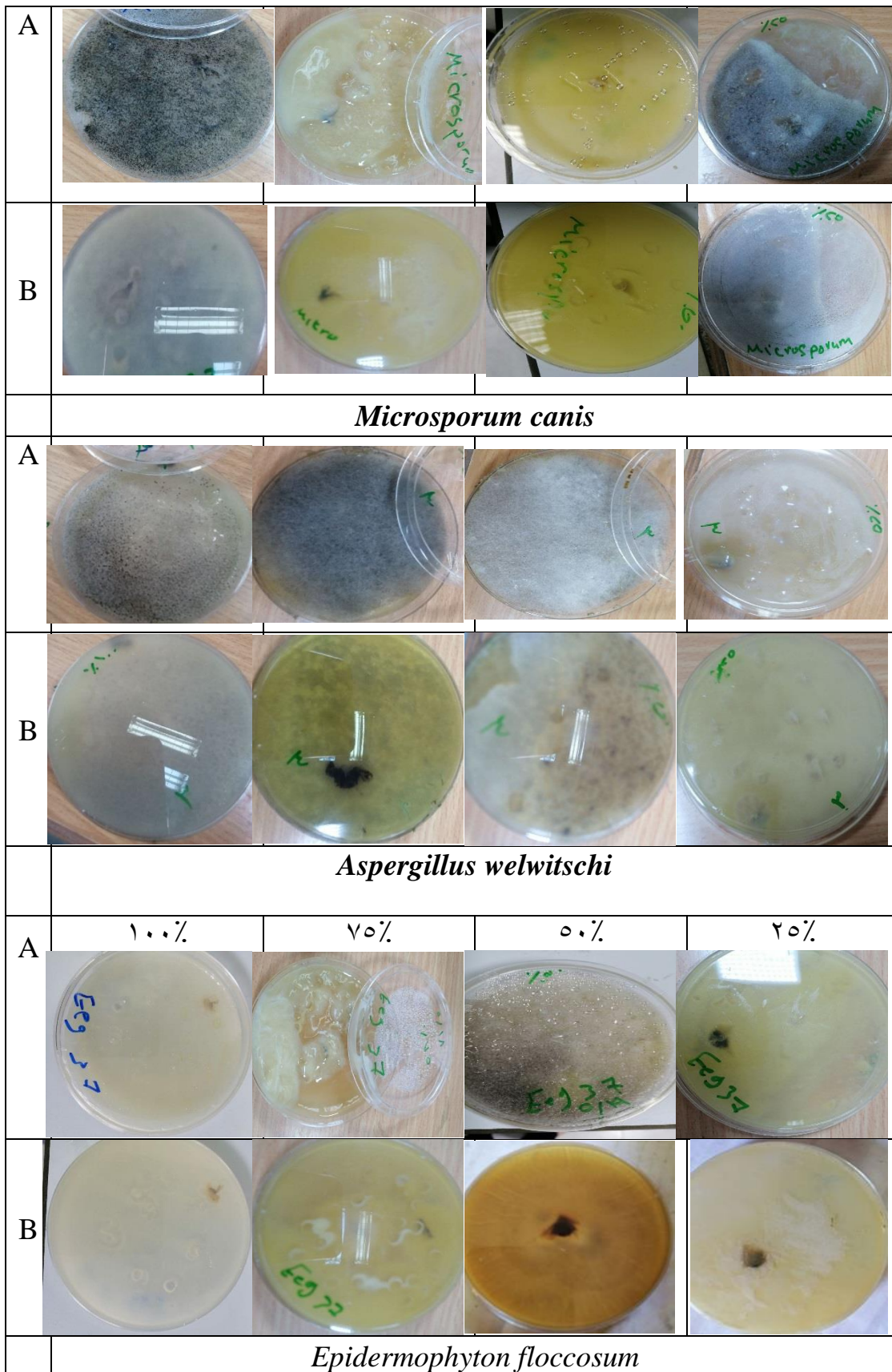
الجدول (٤-٤) : تأثير تراكيز مختلفة من الرواشح الفطرية المعزولة والفطريات الجلدية في معدل قطر (سم) والنسبة المئوية لتنشيط الفطر *Rhizopus stolonifer* على وسط SDA بدرجة حرارة ٢٨ ٠ م لمدة خمسة أيام.

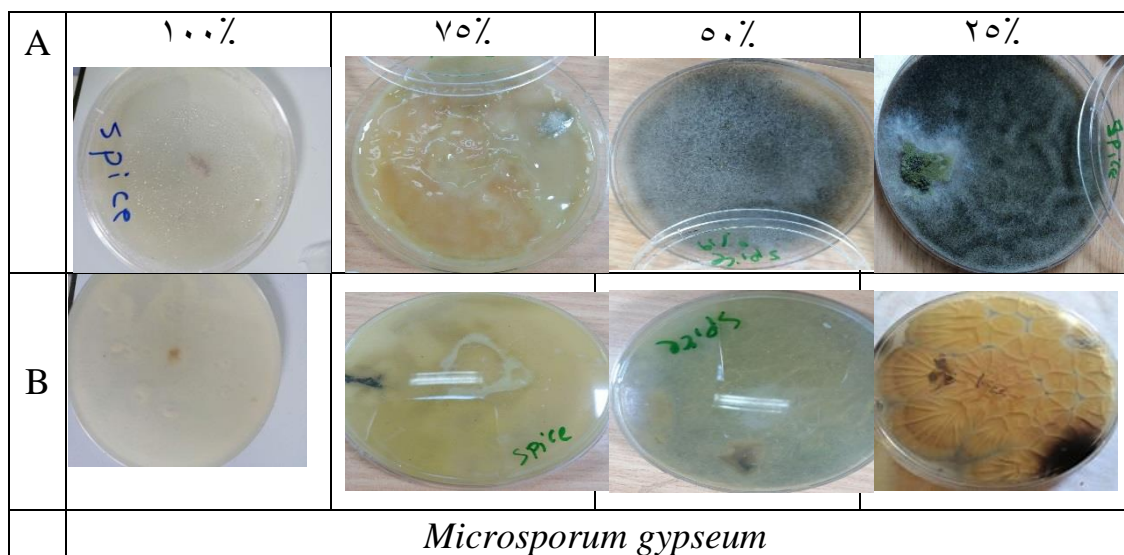
نوع الفطر	التركيز	المعدل							
		١٠٠	٧٥	٥٠	٢٥	٠	١٠٠	٧٥	٥٠
النسبة المئوية التنشيط	معدل القطر (سم)	النسبة المئوية التنشيط	معدل القطر (سم)	النسبة المئوية التنشيط	معدل القطر (سم)	النسبة المئوية التنشيط	معدل القطر (سم)	النسبة المئوية التنشيط	معدل القطر (سم)
<i>Rhizopus americanus</i>	٨٠	٠٠	٨٨	٦٠	٣٨	٥٠٠	٠٠	٠٠	٤٧٣٣
<i>A brasiliensis</i>	٨٠	٠٠	٦١	٦٠	٣٠	٧٠٠	٠٠	٠٠	٧٣٣
<i>Aspergillus costaricensis</i>	٨٠	٠٠	١٠٠	٨٠	٨٠	٠٠٠	٠٠	٠٠	٦٤٠٠
<i>Aspergillus flavus</i>	٨٠	٠٠	٧٠	١٢٥	٧٠	٥٠٠	٠٠	٠٠	٤٠٠٠
<i>Aspergillus minisclerotigenes</i>	٨٠	٠٠	١٠٠	٢٣	٦٠	٧٠٠	٠٠	٠٠	٣٠٠
<i>Aspergillus niger</i>	٨٠	٠٠	٦٠	٧٠	٣٠	٠٠٠	٠٠	٠٠	٤٣٣٣
<i>Aspergillus oryzae</i>	٨٠	٠٠	٧٠	٨٠	٨٠	٧٠٠	٠٠	٠٠	٥٨٦٧
<i>Aspergillus piperis</i>	٨٠	٠٠	٦٠	٢٥	٦٠	٠٠٠	٠٠	٠٠	٢٩٣٣
<i>Aspergillus tubigensis</i>	٨٠	٠٠	٧٩	١٠٠	٦٠	١٦٦	٠٠	٠٠	٣٩٣٣
<i>Aspergillus welwitschiae</i>	٨٠	٠٠	٦٠	٨٠	٦٠	٠٠٠	٠٠	٠٠	٥٥٣٣
<i>Trichophyton rubrum</i>	٨٠	٠٠	٨٠	٨٠	٨٠	٨٠٠	٠٠	٠٠	٤٨٠٠
<i>Microsporum canis</i>	٨٠	٠٠	٦٠	٢٥	٦٠	٦٠٠	٠٠	٠٠	٤٢٦٧
<i>Epidermophyton floccosum</i>	٨٠	٠٠	٧٠	١٢٥	٧٠	١٠٠	٠٠	٠٠	٣١٣٣
<i>Microsporum gypseum</i>	٨٠	٠٠	٨٠	٨٠	٨٠	٨٠٠	٠٠	٠٠	٥٤٠٠
معدل تأثير التركيز	٨٠	٩	٤٣	٦١	٦١	٣١١	٩	٠٠	٠٨٤١٠
L.S.D	٠٠٥	٠٣٧٦١	٠٢٢٤٨	٠١٠	٠٢٢٤٨	٠٣٧٦١	٠٢٢٤٨	٠٠٥	٠٠٥
الداخل الثاني:									



A				
B				
<i>Aspergillus oryzae</i>				
A	١٠٠%	٧٥٪	٥٠٪	٢٥٪
				
B				
<i>Aspergillus minisclerotigenes</i>				
A				
B				
<i>Aspergillus flavus</i>				
A	١٠٠٪	٧٥٪	٥٠٪	٢٥٪

				
B				
<i>Aspergillus piperis</i>				
A				
B				
<i>Aspergillus tubingensis</i>				
A	١٠٠%	٧٥%	٥٠%	٢٥%
				
B				
<i>Aspergillus niger</i>				



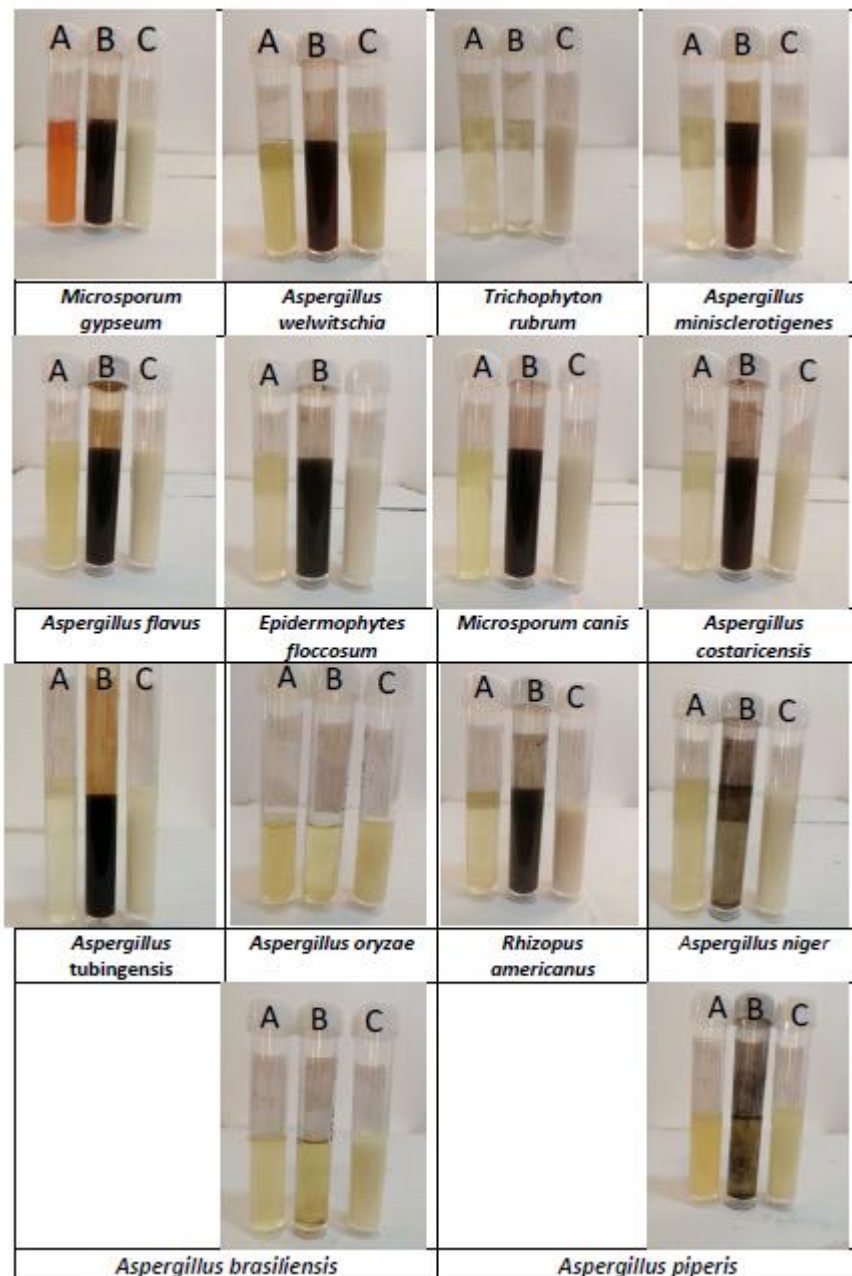


الشكل (٤ - ٢٨) : تأثير تراكيز مختلفة من الرواشح الفطرية المعزولة والفطريات الجلدية في معدل قطر (سم) والنسبة المئوية لتنبيط الفطر *Rhizopus stolonifer* على وسط SDA بدرجة حرارة ٢٨ درجة مئوية لمدة خمسة أيام A = الجهة الأمامية للطبق ، B = الجهة الخلفية للطبق.

٤.٢.٤ خصائص الرواشح الفطرية المحضرة

٤.٢.٤ الوصف المظاهري للرواشح الفطرية والناتوية المعاملة بالزنك والفضة

أظهرت جميع الرواشح الفطرية ألواناً بين الأبيض الشفاف إلى الأصفر الشفاف وأظهرت تحولها إلى راوش النانوي المعامل بالزنك من خلال قدرة أوكسيد الزنك المعدني من تحويل الرواشح الفطرية إلى راوش الزنك النانوي عن طريق تغيير في لون الراوش إلى اللون الأبيض الحليبي كذلك أظهرت نترات الفضة المعدنية قدرتها في تحويل الرواشح الفطرية إلى روаш فضة نانوية عن طريق تغيير اللون إلى البني الغامق (الشكل ٤-٢٩) .



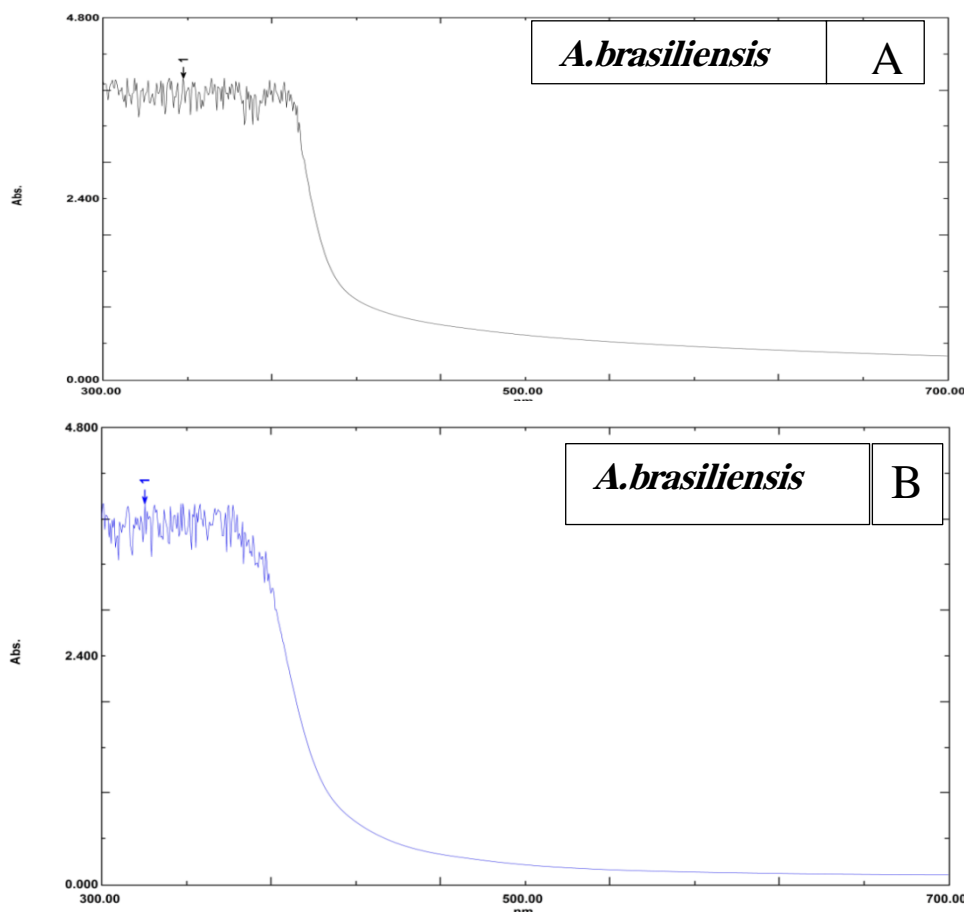
الشكل (4-29) : الخواص المظهرية للرواشح الفطرية: A: راشه الفطر المعامل بالفضة النانوية. B: راشه الفطر المعامل بالزنك النانوي عند درجة حرارة ٣٨ درجة مئوية لمدة ٢٤ ساعة

٤.٢.٢ خصائص المركب النانوي لجسيمات نترات الفضة $AgNPs$ الناتجة من الرواشح الفطرية مع نترات الفضة بواسطة $UV-L$ (جهاز مقاييس الأشعة فوق البنفسجية)

تمت دراسة جزيئات نترات الفضة النانوية في المحلول الغروي بواسطة جهاز مطياف الأشعة فوق البنفسجية Spectrophotometer UV-Vis.

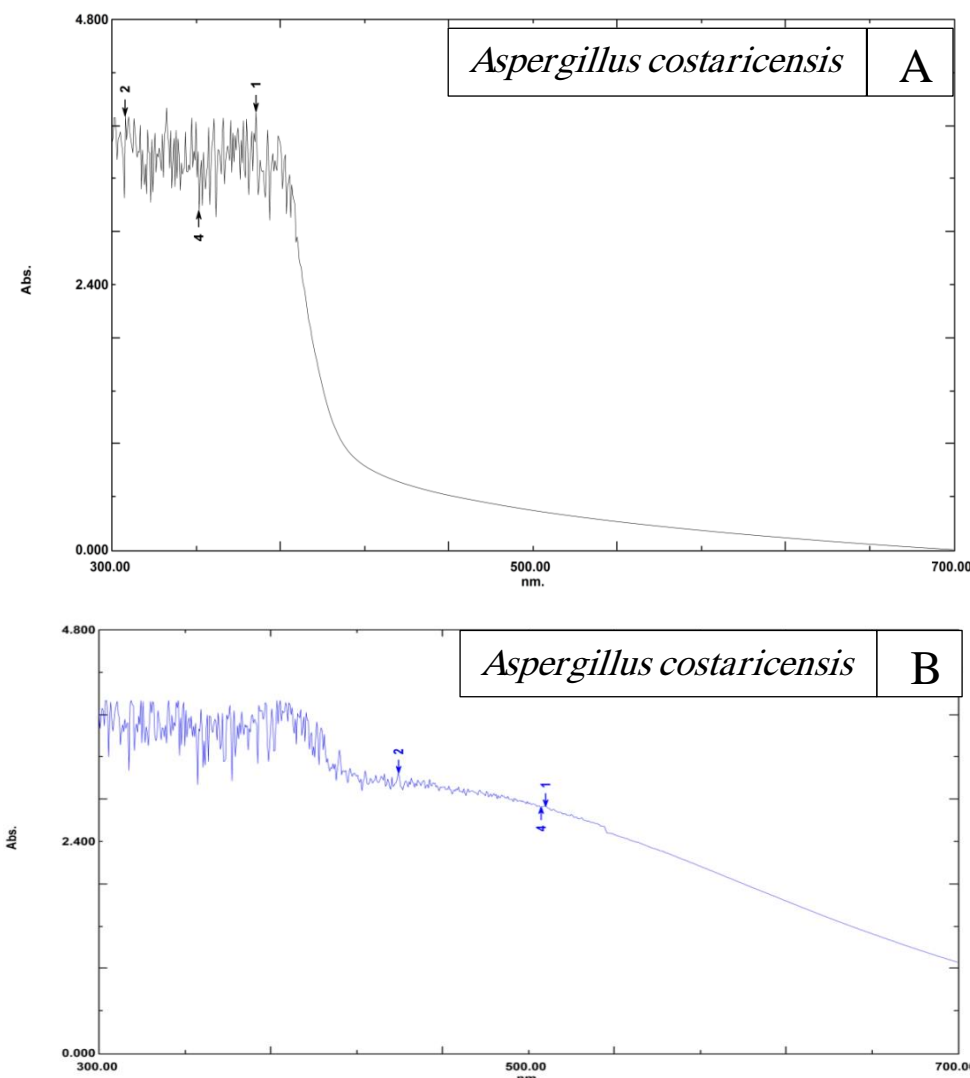
١- من الشكل (4-30-A) يوضح منحنى الراشه الفطري للفطر *A.brasiliensis* قبل إضافة نترات الفضة وكان أعلى طول موجي ٣١٥ نانومتر وأعلى امتصاصية ٣.٨٢٨ ونفس الشكل

منحنى الراشح الفطري للفطر *A brasiliensis* B بعد إضافة نترات الفضة وكان أعلى طول موجي ٣٢٠ نانومتر وأعلى امتصاصية ٤٠ وهذا يتوافق مع zomorodian وأخرون (٢٠١٦) حيث وصل أعلى طول موجي ٣٢٠ نانومتر. الفضة وكان أعلى طول موجي ٣٢٠ نانومتر وأعلى امتصاصية ٤٠٨٠٠.



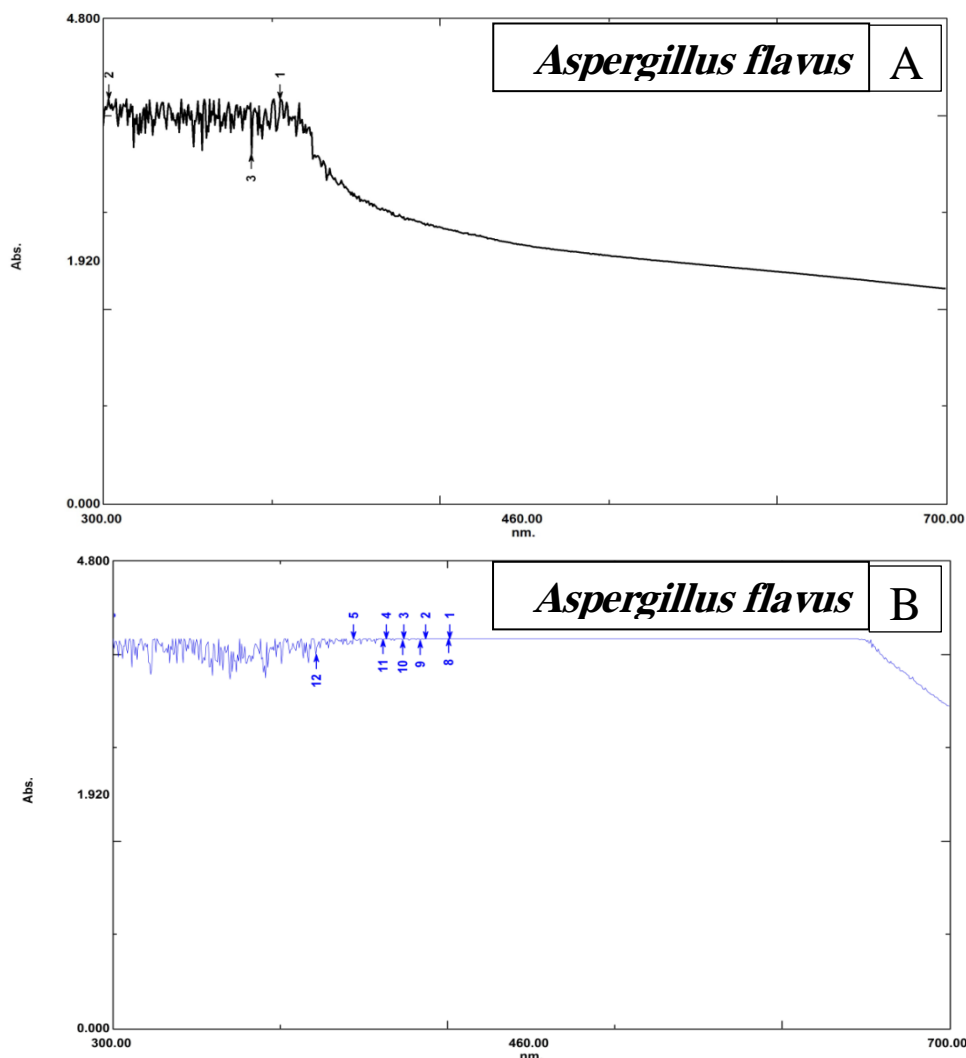
الشكل (٣٠-٤) الراشح الفطري لفطر *A. brasiliensis*
A: قبل معاملته بনترات الفضة بجهاز UV وان أعلى طول موجي ٣٢٠ نانومتر و الامتصاصية ٤٠
B: بعد معاملته بنترات الفضة بجهاز UV وان أعلى طول موجي ٣٢٠ نانومتر والامتصاصية ٤٠٨٠٠

٢. من الشكل (٣١-٤ A,B) منحنى يوضح الراشح الفطري للفطر *Aspergillus costaricensis* قبل إضافة نترات الفضة وكان أعلى طول موجي ٣١٥ نانومتر وأعلى امتصاصية ٣٠٥ ومنحنى يوضح الراشح الفطري للفطر *Aspergillus costaricensis* بعد إضافة نترات الفضة وكان أعلى طول موجي ٥٠٨ نانومتر وأعلى امتصاصية ٢٠ وهذا لا يتوافق مع Dinesh وأخرون (٢٠٢١) ووصل أعلى طول موجي ٤٠٠ نانومتر.



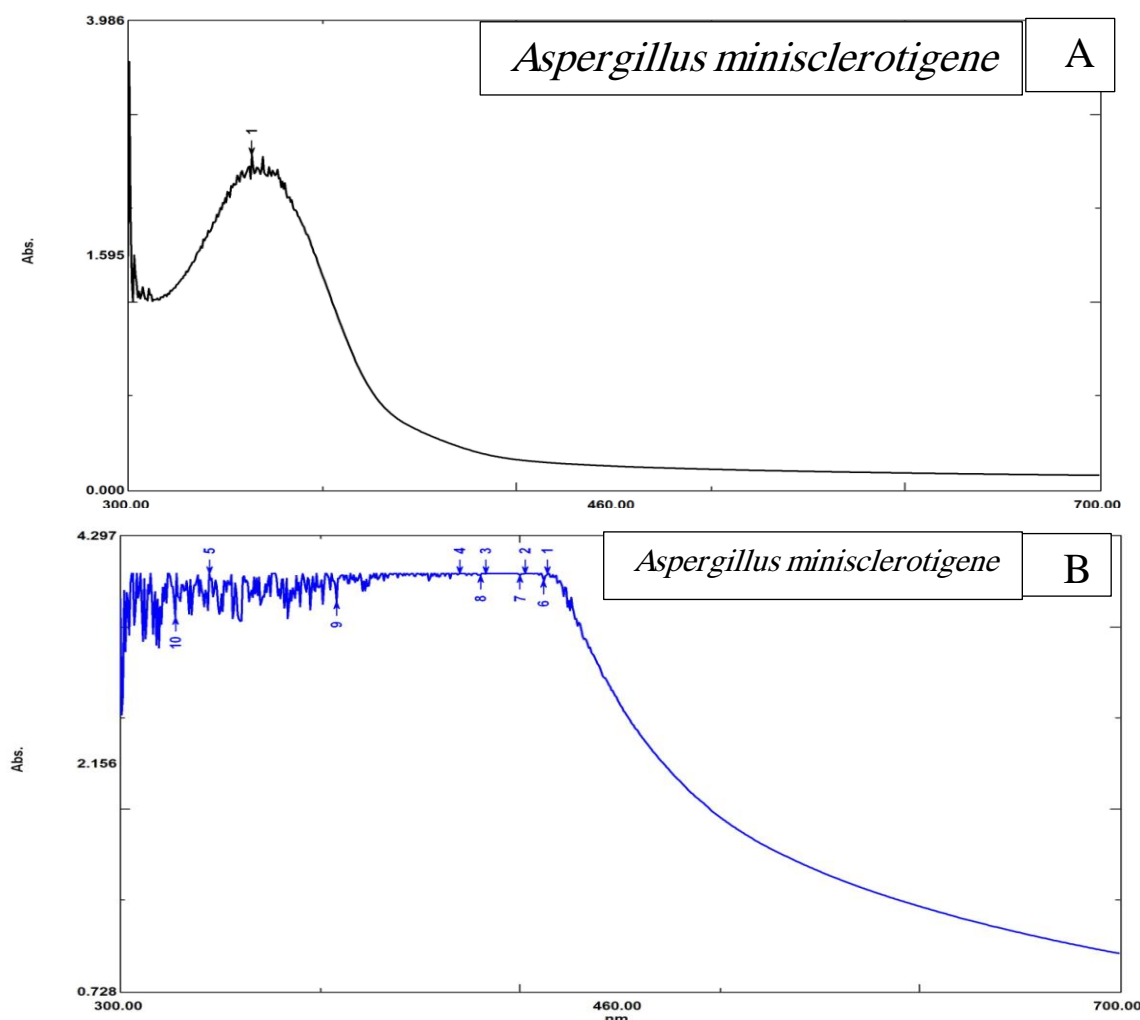
الشكل (٤- ٣١) الراشح الفطري لفطر *Aspergillus costaricensis*
A. قبل معاملته بنترات الفضة بجهاز UV وان أعلى طول موجي ٣١٥ نانومتر و الامتصاصية ٣.٣٠٥
B. بعد معاملته بنترات الفضة بجهاز UV وان أعلى طول موجي ٥٠٨ نانومتر والامتصاصية ٢.٨٠٠

٣. من الشكل (٤- ٣٢- ٤) (A,B) يلاحظ منحني يوضح الراشح الفطري للفطر *Aspergillus flavus* قبل إضافة نترات الفضة وكان أعلى طول موجي ٣١٥ نانومتر وأعلى أمتصاصية ٣.٧٥٣ ومنحني يوضح الراشح الفطري للفطر *Aspergillus flavus* بعد إضافة نترات الفضة وكان أعلى طول موجي ٤٦١ نانومتر وأعلى أمتصاصية ٤ وهذا لايتوافق مع Jain وأخرون (٢٠١١) حيث بلغ أعلى طول موجي ٤٢٠ نانومتر .



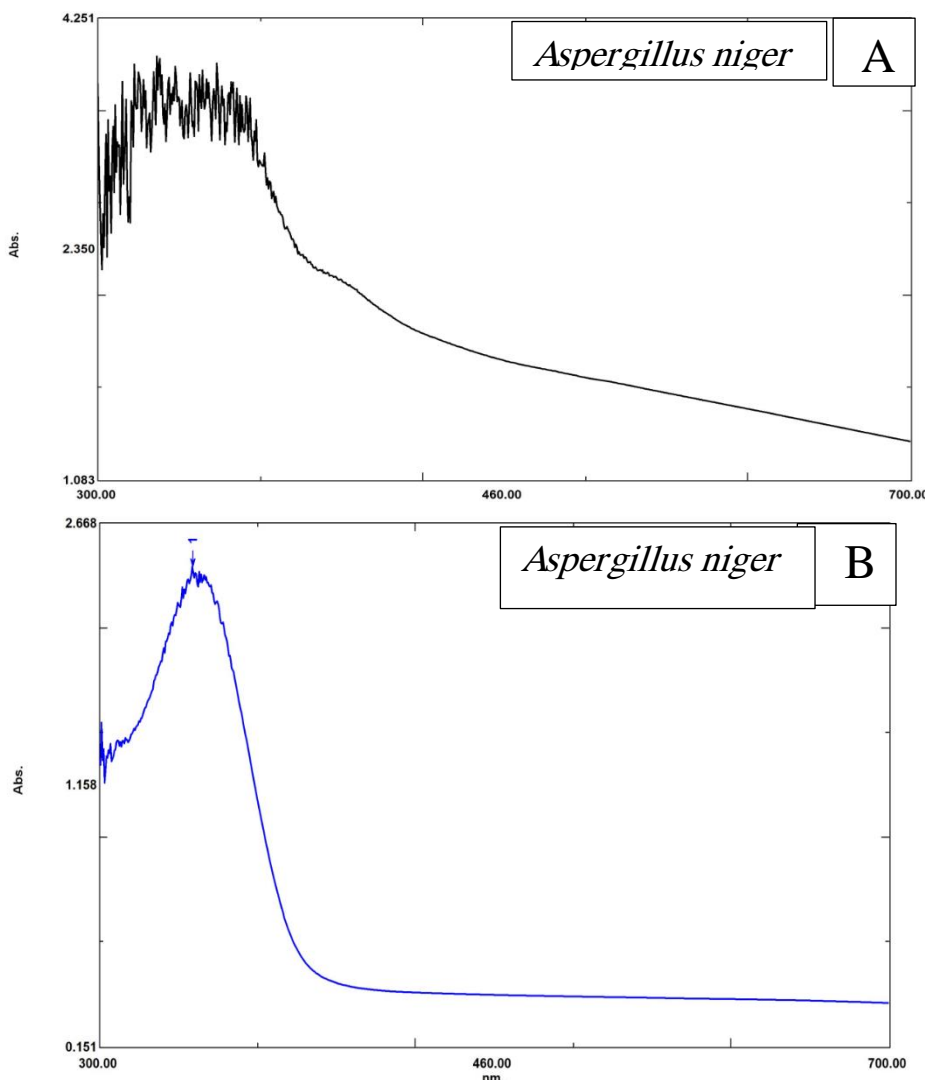
الشكل (32-4) الراشح الفطري لفطر *Aspergillus flavus*
A: قبل معاملته بنيترات الفضة بجهاز UV وان أعلى طول موجي 315 نانومتر وأعلى أ芒تصاصية 3.753
B : بعد معاملته بنيترات الفضة بجهاز UV وان أعلى طول موجي 461 نانومتر والامتصاصية 4

٤. منحني الراشح الفطري لفطر *Aspergillus minisclerotigenes*
 قبل إضافة نترات الفضة وكان أعلى طول موجي ٣١٥ نانومتر وأ芒تصاصية ١.٦٥٧
 منحني الراشح الفطري لفطر *Aspergillus minisclerotigenes* بعد إضافة نترات الفضة وكان
 أعلى طول موجي ٤٧١ نانومتر وأعلى أ芒تصاصية ٤ وهذا يتواافق مع Kamiar وأخرون (٢٠١٦)
 ، كان يتراوح الطول الموجي ٣٠٠-٥٠٠ نانومتر (الشكل ٤-٣٣). (A,B)



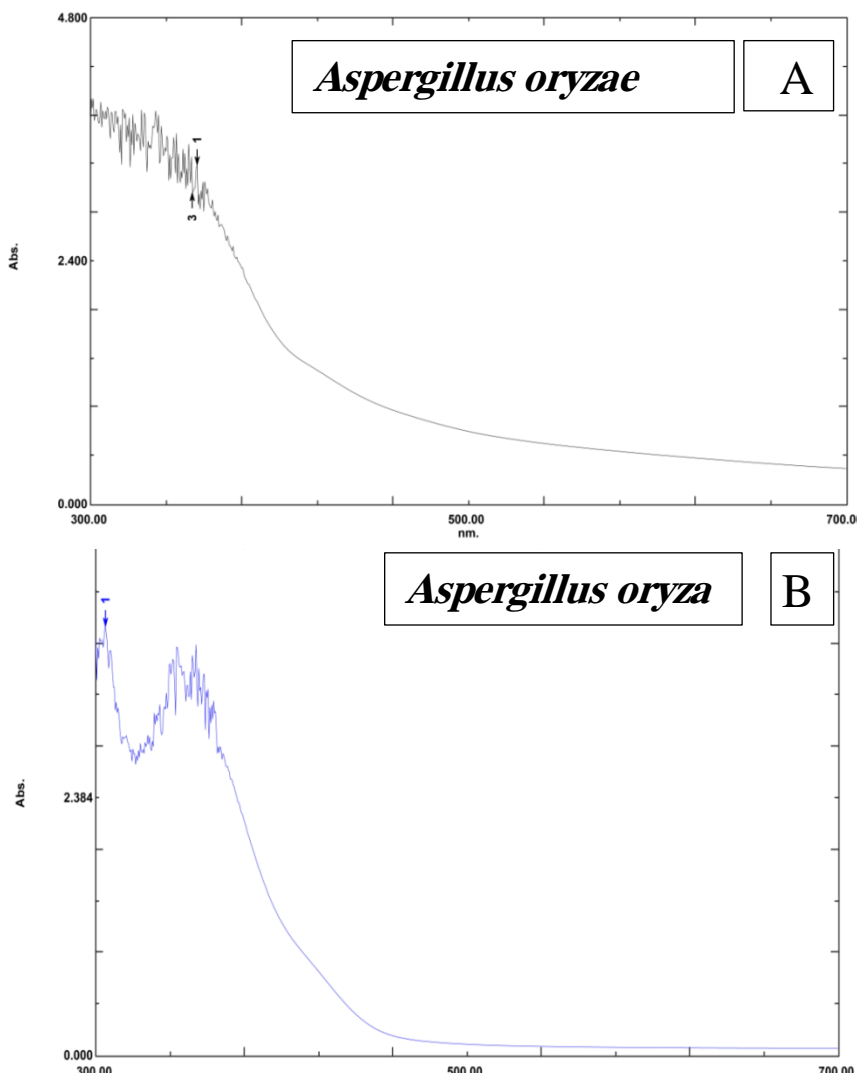
الشكل (33-4) الراشح الفطري لفطر *Aspergillus minisclerotigene*
A: قبل معاملته بنترات الفضة بجهاز UV وان أعلى طول موجي 353نانومتر وامتصاصية 2.322
B: بعد معاملته بنترات الفضة بجهاز UV وان أعلى طول موجي 471 نانومتر وأعلى امتصاصية 4

٥. من الشكل (٣٤-٤) منحنى يمثل الراشح فطر *Aspergillus niger* قبل إضافة نترات الفضة وكان أعلى طول موجي ٣١٥ نانومتر وكان أعلى امتصاصية ٣.٠٢٢ منحنى يمثل الراشح الفطري للفطر *Aspergillus niger* بعد إضافة نترات الفضة وكان أعلى طول موجي ٣٤٧ نانومتر وأعلى امتصاصية ٢.٤٥٨ وهذا يتطابق مع AL-Zubaidi وأخرون (٢٠١٩) كان أعلى طول موجي ٤٣٠ نانومتر .



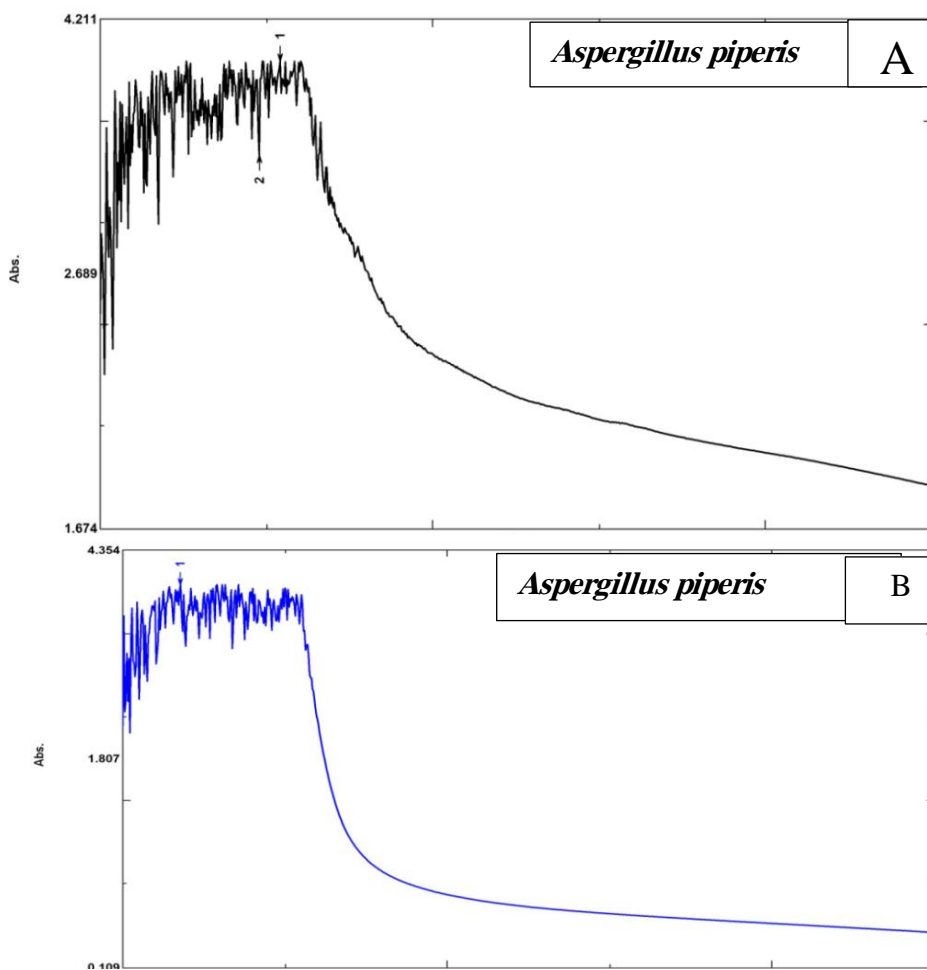
الشكل (4- 34) الراشح الفطري لفطر *Aspergillus niger*
A: قبل معاملته ببترات الفضة بجهاز UV وان أعلى طول موجي بي ٣١٥ نانومتر و
 الامتصاصية بي ٢.٦٦٨
B: بعد معاملته ببترات الفضة بجهاز UV وان أعلى طول موجي ٣١٥ نانومتر والامتصاصية
 ٠.١٥١ ووو

٦. منحني الراشح الفطري للفطر *Aspergillus oryzae* قبل إضافة نترات الفضة وكان أعلى طول موجي ٣١٥ نانومتر وأعلى امتصاصية ٣.٤٧١ منحني الراشح الفطري للفطر *Aspergillus oryzae* بعد إضافة نترات الفضة وكان أعلى طول موجي ٣٠٥ نانومتر وكان أعلى امتصاصية ٣.٩٧١ وهذا يتوافق مع Eishafei وأخرون (٢٠٢١) كان أعلى طول موجي ١٠٤ نانومتر .



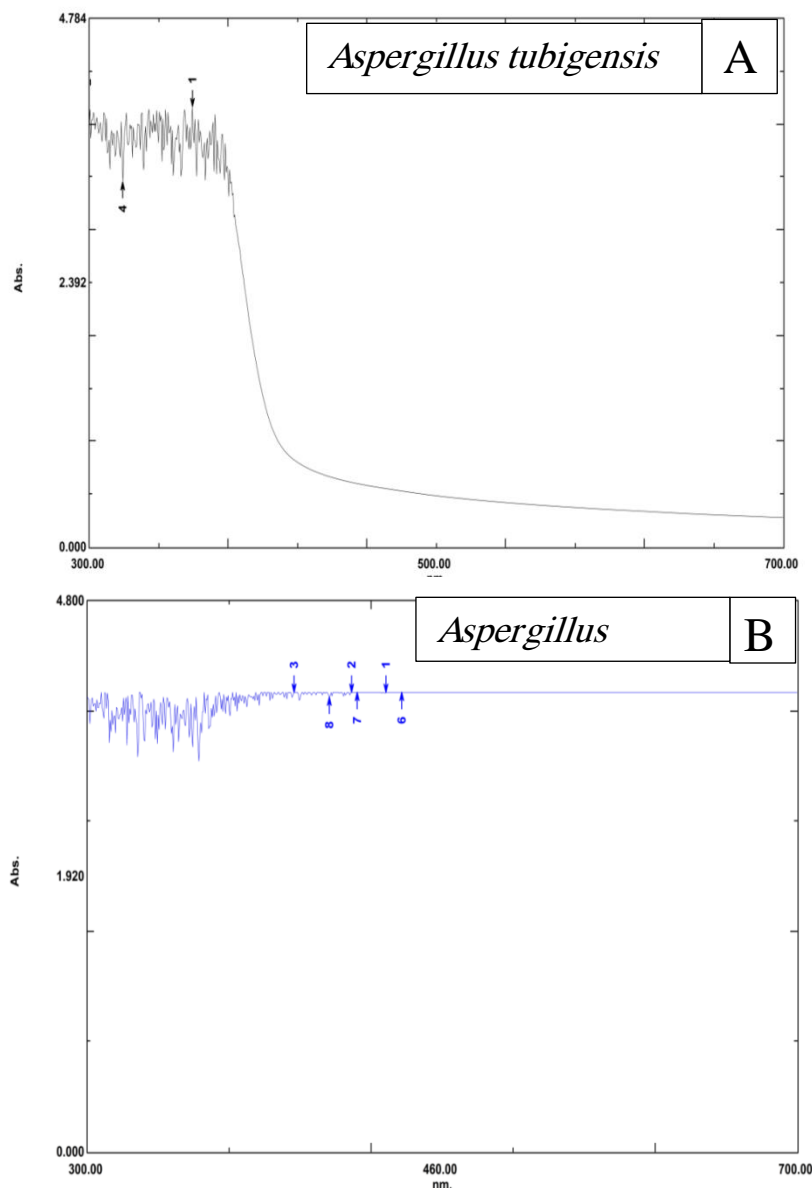
الشكل (٣٥-٤) الراشح الفطري لفطر *Aspergillus oryzae*
A: قبل معاملته بنترات الفضة بجهاز UV وان أعلى طول موجي يو3نانومتر و الامتصاصية و بي ٣١٥
B: بعد معاملته بنترات الفضة بجهاز UV وان أعلى طول موجي ٣٠٥ نانومتر والامتصاصية و يلا ٣٢٨.٥٠

.٧ منحي الراشح الفطري للفطر *Aspergillus piperis* قبل إضافة نترات الفضة وكان أعلى طول موجي ٣١٥ نانومتر وأعلى امتصاصية ٣.٥٤٧ منحي الراشح الفطري للفطر *Aspergillus piperis* بعد إضافة نترات الفضة وكان أعلى طول موجي ٣٢٨.٥٠ نانومتر وأعلى امتصاصية ٤ وهذا يتوافق مع Foudaa وآخرون (٢٠١٧) وصل أعلى طول موجي ٤٠٠ نانومتر



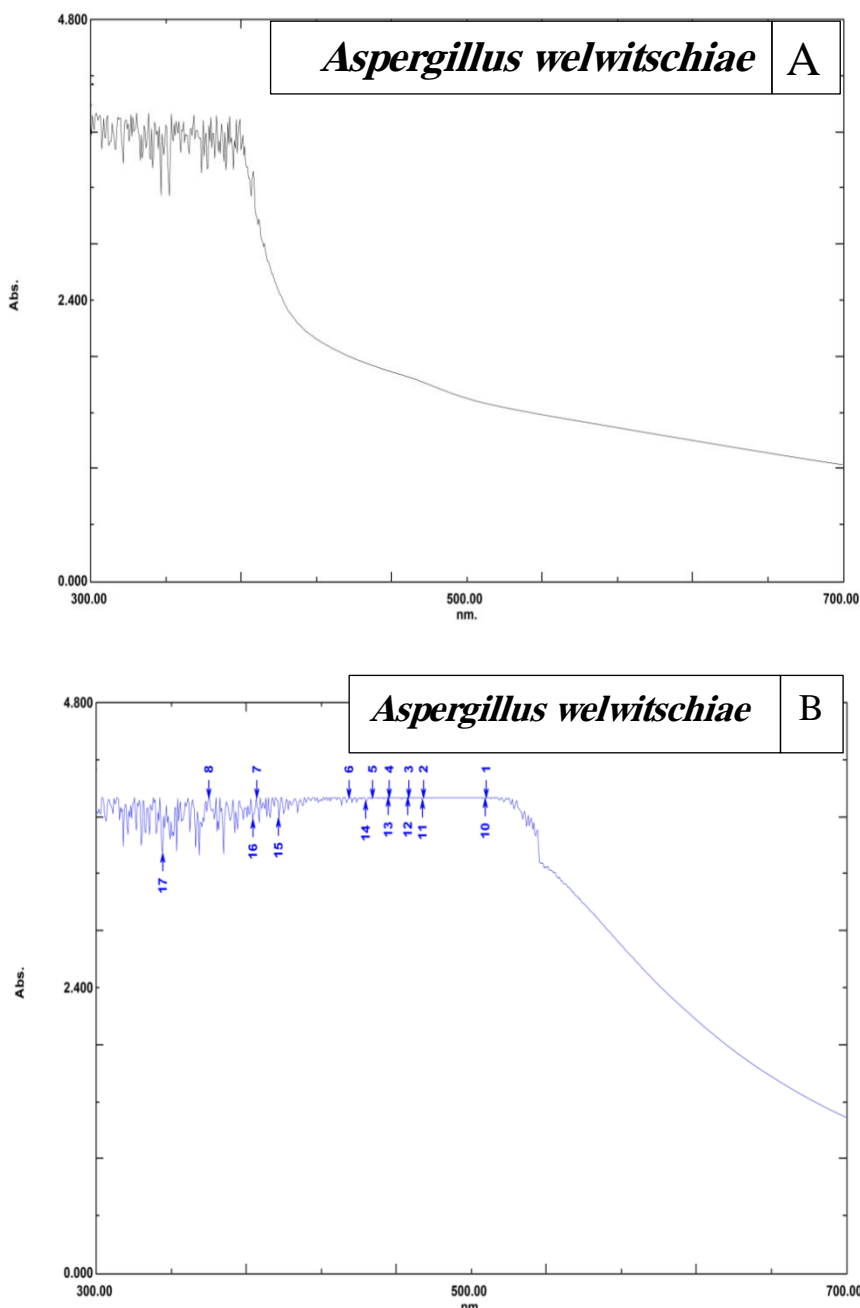
الشكل (4-36) الراشح الفطري لفطر *Aspergillus piperis*
A: قبل معاملته بنترات الفضة بجهاز UV وان أعلى طول موجي 315 نانومتر وأعلى أمتصاصيه 3.547
B: بعد معاملته بنترات الفضة بجهاز UV وان أعلى طول موجي 328.50 نانومتر وأعلى أمتصاصيه 4

.٨. منحني يوضح الراشح الفطري للفطر *Aspergillus tubigensis* قبل إضافة نترات الفضة وكان أعلى طول موجي ٣١٥ نانومتر وكان أعلى أمتصاصيه ٣.٥٧١ .٩. منحني يوضح الراشح الفطري للفطر *Aspergillus tubigensis* بعد إضافة نترات الفضة وكان أعلى طول موجي ٤٦٨ نانومتر وأعلى أمتصاصيه ٤ وهذا لايتوافق مع Gond وآخرون (٢٠٢٠) وكان أعلى طول موجي ٤٢٢ نانومتر.



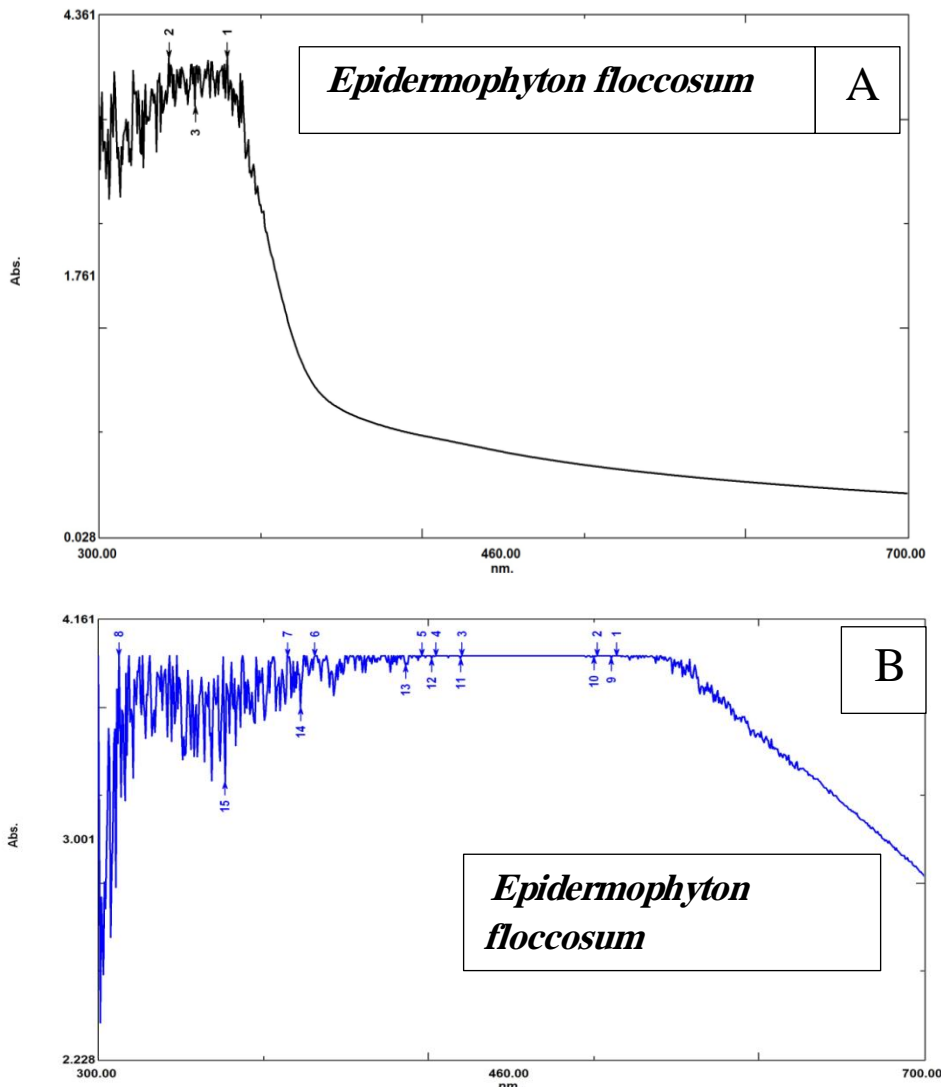
الشكل (37-4)الراشح الفطري لفطر *Aspergillus tubigensis*
A : قبل معاملته بنترات الفضة بجهاز UV وان أعلى طول موجي يو3نانيومتر و الامتصاصية ويبي ٣
B: بعد معاملته بنترات الفضة بجهاز UV وان أعلى طول موجي يبي ٤ نانيومتر والامتصاصية ٤

٩. منحني يوضح الراشح الفطري للفطر *Aspergillus welwitschiae* قبل إضافة نترات الفضة وكان أعلى طول موجي ٣١٥ نانيومتر وأعلى امتصاصية ٣.٩٥٨ . منحني الراشح الفطري للفطر *Aspergillus welwitschiae* بعد إضافة نترات الفضة وأعلى طول موجي ٥٠٨ نانيومتر وأعلى امتصاصية ٤ وهذا لايتواافق مع Sain (٢٠٢٢) وكان أعلى طول موجي ٤٢٠ نانيومتر



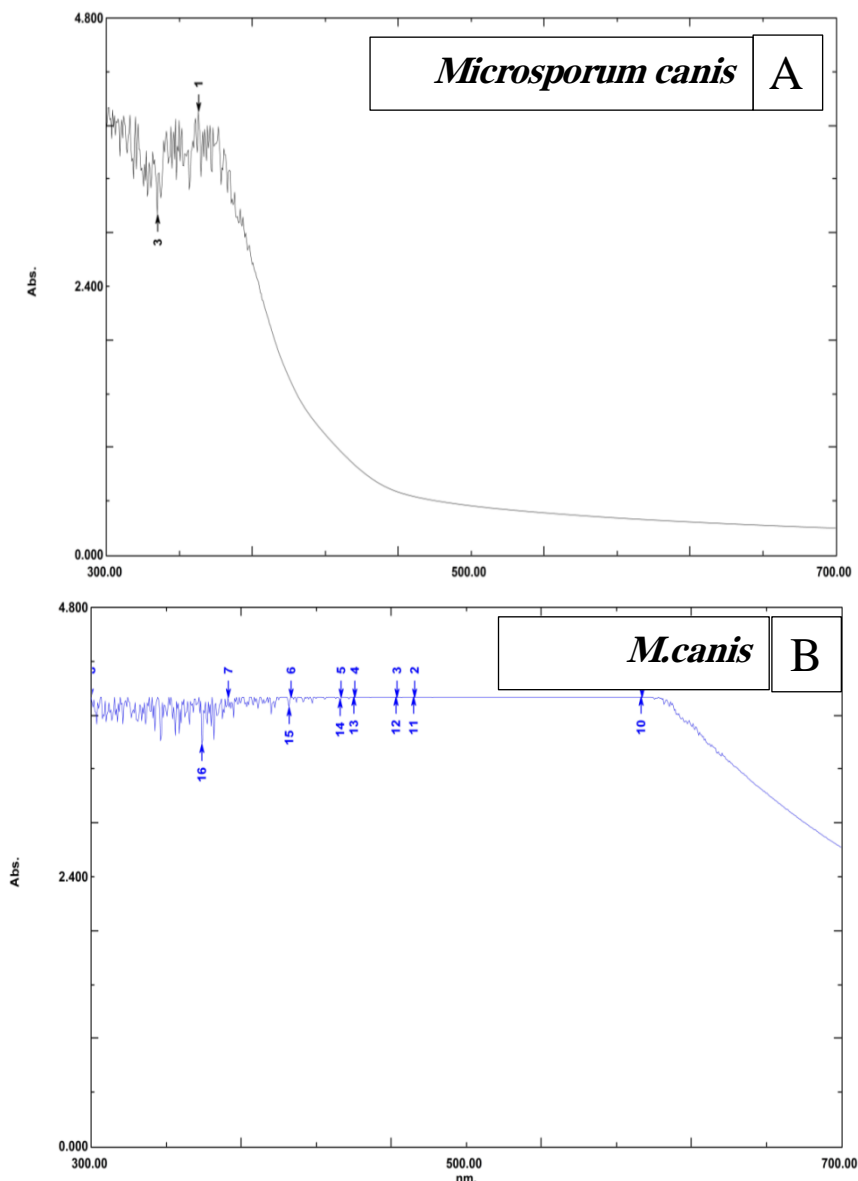
الشكل (38-4)الراشح الفطري لفطر *Aspergillus welwitschiae*
A: قبل معاملته بنترات الفضة بجهاز UV وان أعلى طول موجي يو3نانومتر و الامتصاصية بيلا 3
B: بعد معاملته بنترات الفضة بجهاز UV وان أعلى طول موجي 508 نانومتر والامتصاصية ٤.

١٠. منحني الراشح الفطري للفطر *Epidermophyton floccosum* قبل إضافة نترات الفضة وكان أعلى طول موجي بين ٢٨٨ - ٤٠٠ نانومتر وأعلى امتصاصية ٣.٢٤٨، منحني الراشح الفطري للفطر *Epidermophyton floccosum* بعد معاملته بنترات الفضة أعلى طول موجي ٥٥١ نانومتر وأعلى امتصاصية ٤، وهذا يتتطابق مع Moazeni وآخرون (٢٠١٢)



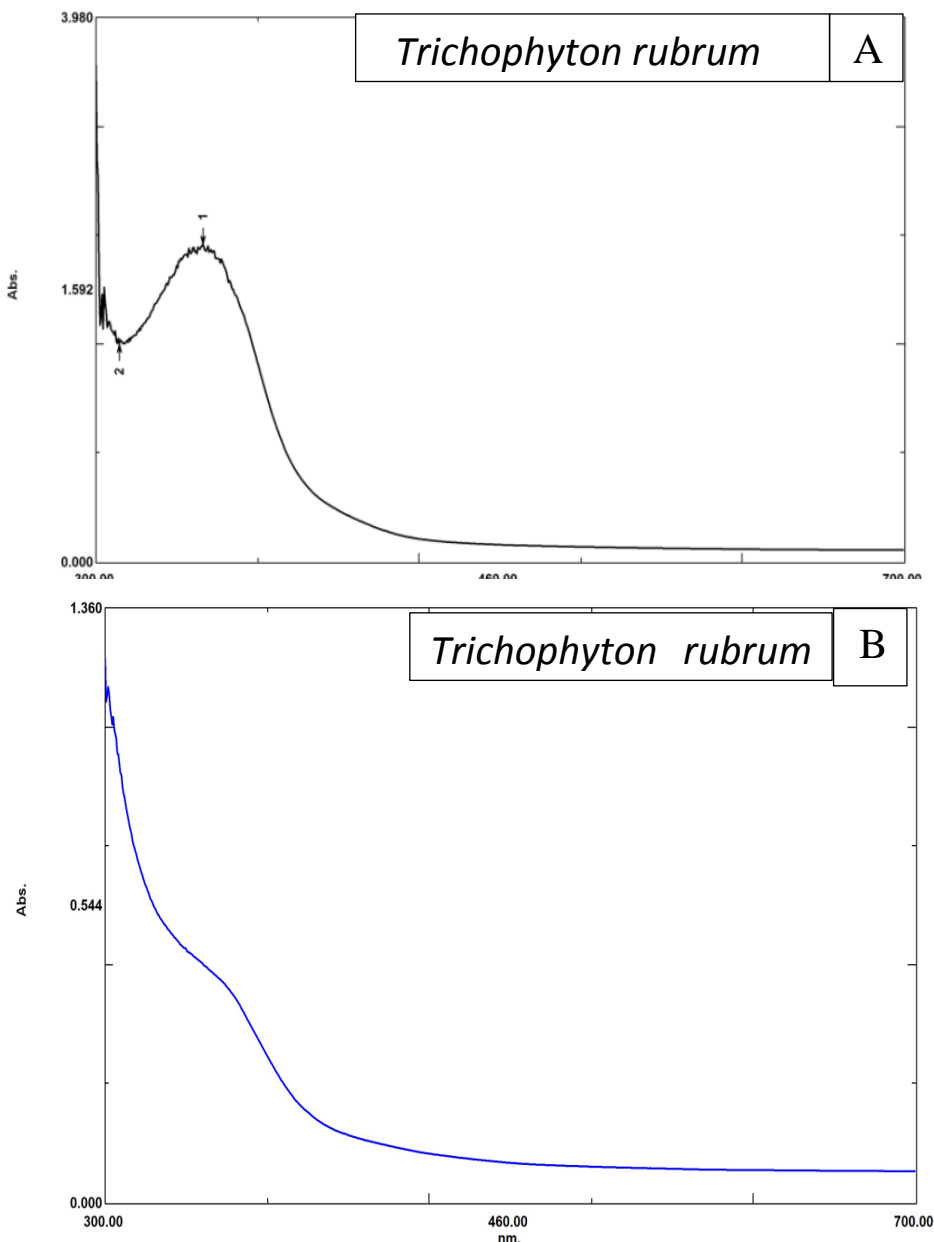
الشكل (39-4) الراشح الفطري لفطر *Epidermophyton floccosum*
A: قبل معاملته ببنترات الفضة بجهاز UV وان أعلى طول موجي بين 400-288 نانومتر وأعلى أ芒تصاصية 3.248
B: بعد معاملته ببنترات الفضة بجهاز UV وان أعلى طول موجي 551 نانومتر وأعلى أ芒تصاصية لـ 15 و 4

١١. منحني الراشح الفطري للفطر *Microsporum canis* قبل إضافة نترات الفضة وكان أعلى طول موجي بين ٣٠٠ - ٥٠٠ نانومتر وأعلى أ芒تصاصية ٣.٧٢١. منحني الراشح الفطري للفطر *Microsporum canis* بعد إضافة نترات الفضة وكان أعلى طول موجي ٥٩٤ نانومتر وأعلى أ芒تصاصية ٤ وهذا يتوافق مع Moazeni وآخرون (٢٠١٢) كان الطول الموجي ٢٠٠ - ٨٠٠ نانومتر



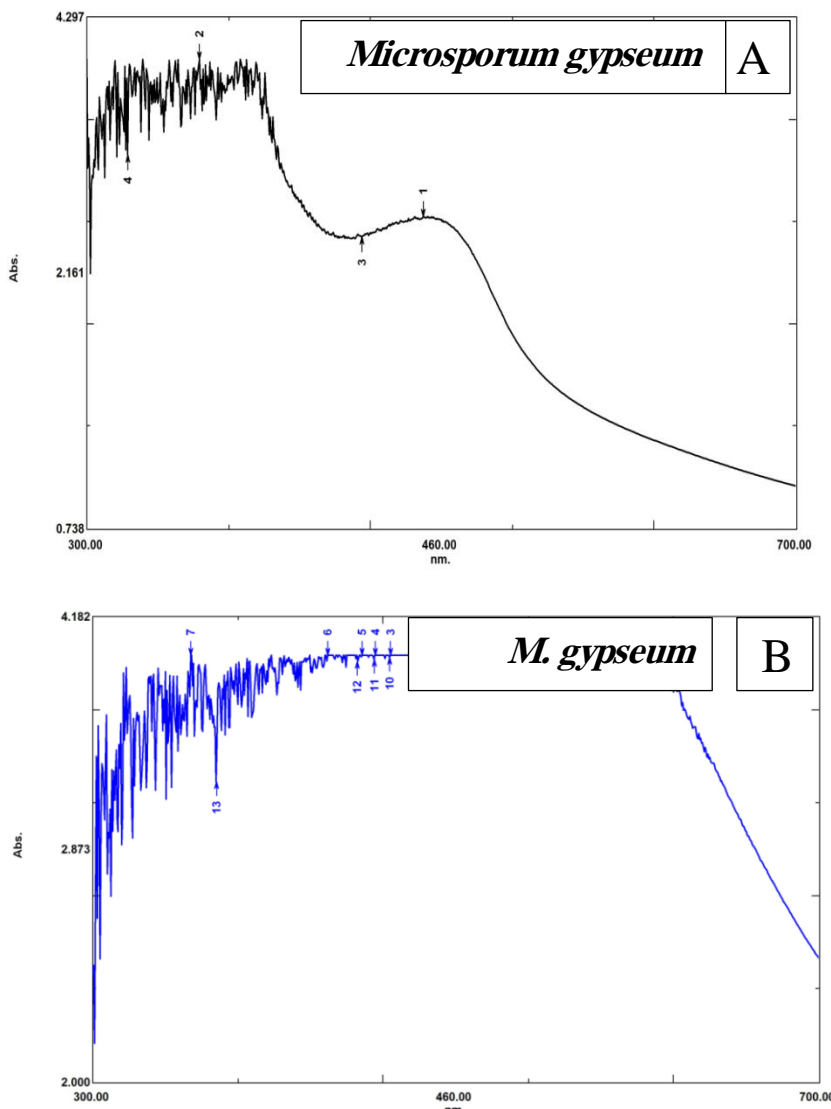
الشكل (٤٠-٤)الراشح الفطري لفطر *Microsporum canis*
A: قبل معاملته بنترات الفضة بجهاز UV وان أعلى طول موجي بين ٣٠٠-٥٠٠ نانومتر وأعلى
أمتصاصية ٣.٧٢١
B: بعد معاملته بنترات الفضة بجهاز UV وان أعلى طول موجي ٥٩٤ نانومتر وأعلى أمتصاصية ٤

١٢. منحني الراشح الفطري للفطر *Microsporum gypseum* قبل إضافة نترات الفضة وكان أعلى طول موجي ٦٠٤ نانومتر وأعلى أمتصاصية ٢.٧٨٨ .٢. الراشح الفطري لفطر *Microsporum gypseum* بعد إضافة نترات الفضة وكان أعلى طول موجي ٦١٠٠ نانومتر وأعلى أمتصاصية ٣.٩٩٧ وهذا يتطابق مع Mussin وأخرون (٢٠٢١) كان الطول الموجي ٣٠٠-٧٠٠ نانومتر.



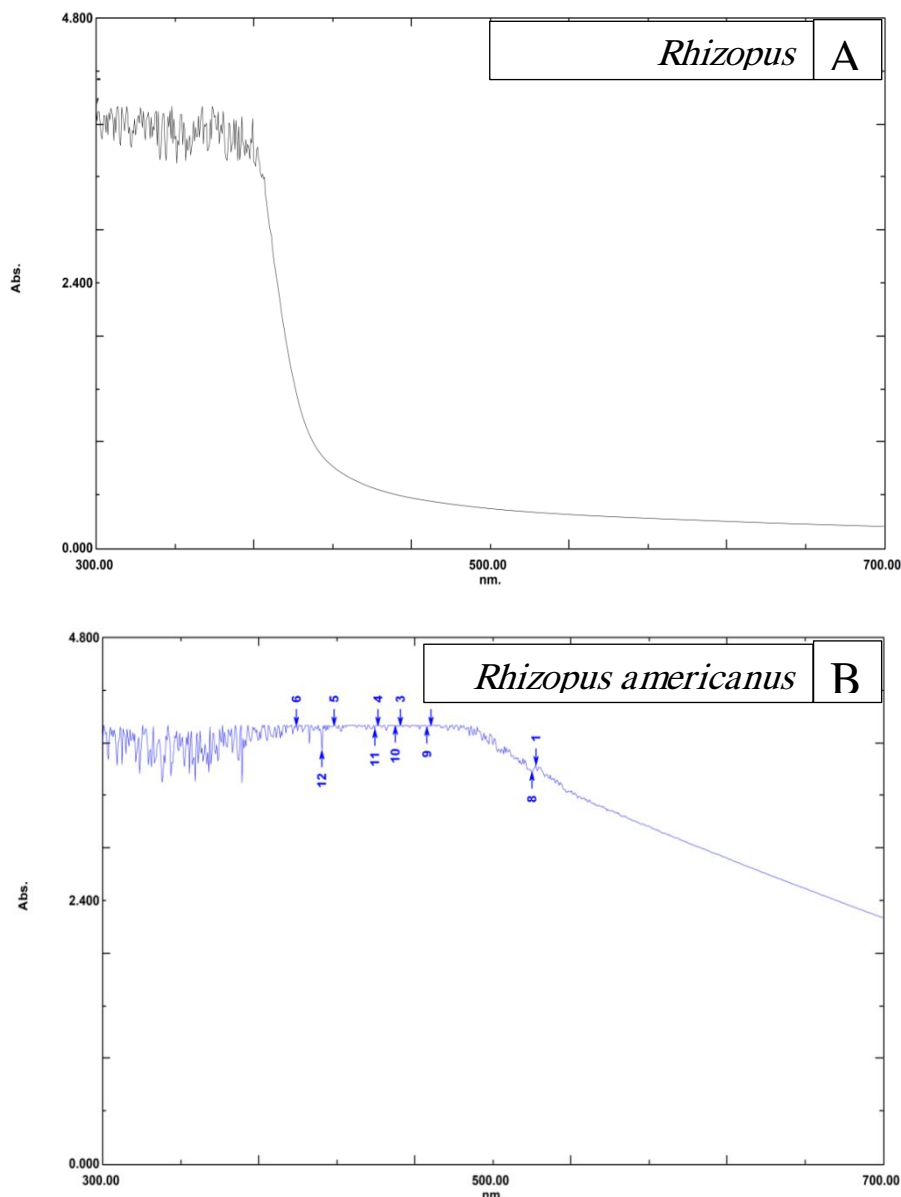
الشكل (42-4) الراشح الفطري لفطر *Trichophyton rubrum*
A: قبل معاملته ببنترات الفضة بجهاز UV وان أعلى طول موجي 353نانومتر و الامتصاصية 2.322
B: بعد معاملته ببنترات الفضة بجهاز UV وان أعلى طول موجي 432 نانومتر و الامتصاصية 0.139

١٣. الراشح الفطري لفطر *Trichophyton rubrum* كان أعلى طول موجي ٣٥٣ نانومتر و كانت الأمتصاصية ٢.٣٢٢ قبل معاملته ببنترات الفضة ، والراشح الفطري لفطر *Trichophyton rubrum* معامل ببنترات الفضة وكان أعلى طول موجي ٤٣٢ نانو،تر والأمتصاصية ٠.١٣٩ . وهذا يتطابق مع Pereire وآخرون (٢٠١٤) كان الطول الموجي يتراوح ٨٠٠-٢٠٠ نانومتر .



الشكل (٤١-٤)الراشح الفطري لفطر *Microsporum gypseum*
A: قبل معاملته ببنترات الفضة بجهاز UV وان أعلى طول موجي ٤٦٠ نانومتر وأعلى أمتصاصية ٢.٧٨٨
B: بعد معاملته ببنترات الفضة بجهاز UV وان أعلى طول موجي ٦١٠ نانومتر وأعلى أمتصاصية ٣.٩٩٧

١٤. منحني يوضح الراشح الفطري للفطر *Rhizopus americanus* قبل إضافة نترات الفضة وكان أعلى طول موجي ٣١٥ نانومتر وأعلى أمتصاصية ٤ ، منحني يوضح الراشح الفطري للفطر *Rhizopus americanus* بعد إضافة نترات الفضة وكان أعلى طول موجي ٥٢٢ نانومتر وأعلى أمتصاصية ٣.٦٣٨ وهذا يتواافق مع AbdelRahim وآخرون (٢٠١٧) بلغ أعلى طول موجي ٦٠٠-٢٠٠ نانومتر .

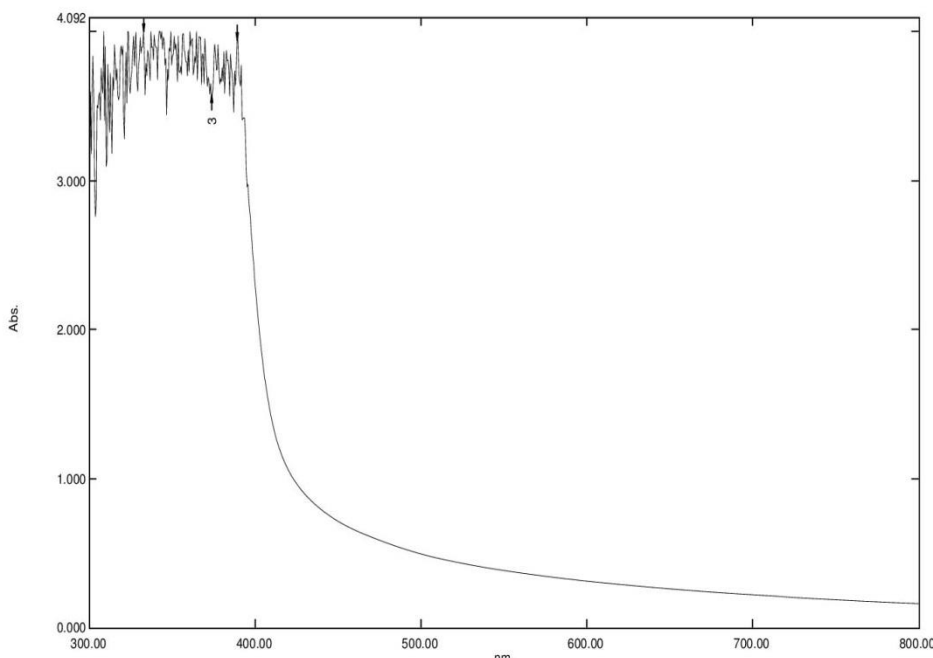


الشكل (43-4) الراشح الفطري لفطر *Rhizopus americanus*
A: قبل معاملته بنترات الفضة بجهاز UV وان أعلى طول موجي ٣١٥ نانومتر وأعلى أمتصاصية ٤
B: بعد معاملته بنترات الفضة بجهاز UV وان أعلى طول موجي ٥٢٢ نانومتر وأعلى أمتصاصية ٣.٦٣٨

٣.٢.٤: خصائص جسيمات أوكسيد الزنك النانوية Nanoparticles الناتجة من المستخلصات الفطرية

تمت دراسة استقرار جزيئات أوكسيد الزنك النانوية في المحلول الغروي بواسطة جهاز المطياف الأشعة فوق البنفسجية UV-VIS الأشكال التالية توضح رسم الطيف المرئي للأشعة فوق البنفسجية لجسيمات أوكسيد الزنك النانوية المختلفة بواسطة الرواشح الفطرية.

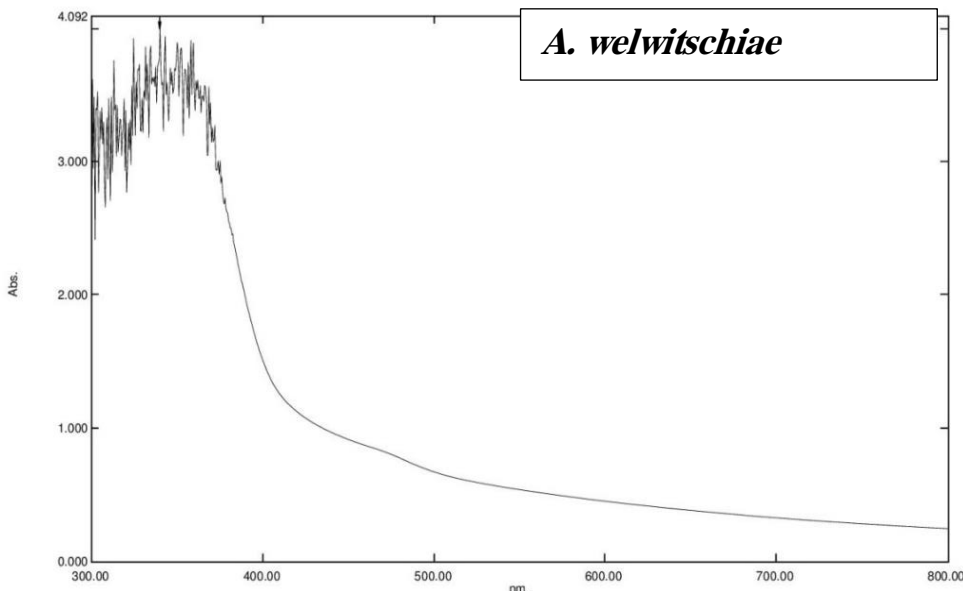
- أوضح المطياف أعلى طول موجي لأوكسيد الزنك النانوي لراشح فطر *A brasiliensis* بلغ ٣٨٩ نانومتر وأعلى أ芒تصاصية ٣.٩٤٢ وهذا يتوافق مع Mekky وآخرون (٢٠٢١) وصل أعلى طول موجي بين ٤٠٠-٢٦٥ نانومتر.



الشكل (44-٤) المطياف أعلى طول موجي لأوكسيد الزنك النانوي لراشح فطر

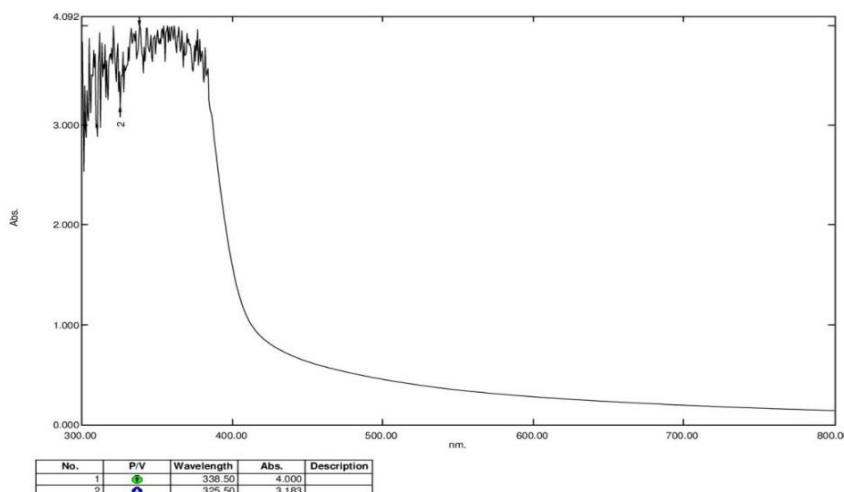
A brasiliensis

٢- ثبت المطياف أن ذروة الأمتصاص عند مدي ٣٤٠ نانومتر وأعلى أمتصاصية ٤ للراشح الفطري وهذا يتوافق مع *Sain* (٢٠٢٢) تم تخليق الزنك النانوي من راشح هذا الفطر ووصل أعلى طول موجي ٤٠٠ نانومتر.



الشكل (٤٥-٤) المطياف أعلى طول موجي لأوكسيد الزنك النانوي
Aspergillus welwitschiae لراشح فطر فطر

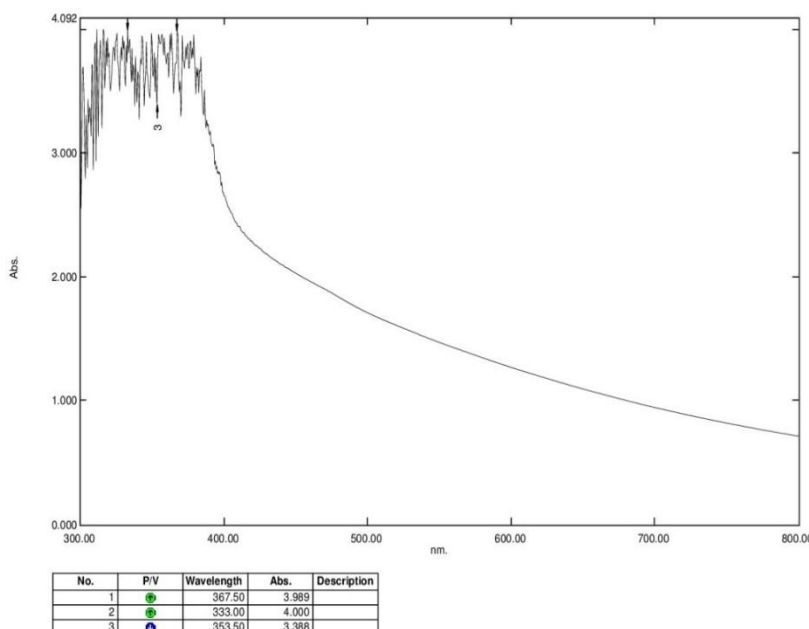
٣- يوضح المنحني الطول الموجي للراشح الفطري *Aspergillus costaricensis* وأعلى طول موجي ٣٣٨ نانومتر وأعلى أمتصاصية ٤ وهذا يتوافق مع *Abdelkader* وأخرون (٢٠٢٢) يتراوح الطول الموجي ٣٣٠ - ٣٩٠ نانومتر.



الشكل (46-4) المطياف أعلى طول موجي لأوكسيد الزنك النانوي لراشح فطر

A.costaricensis

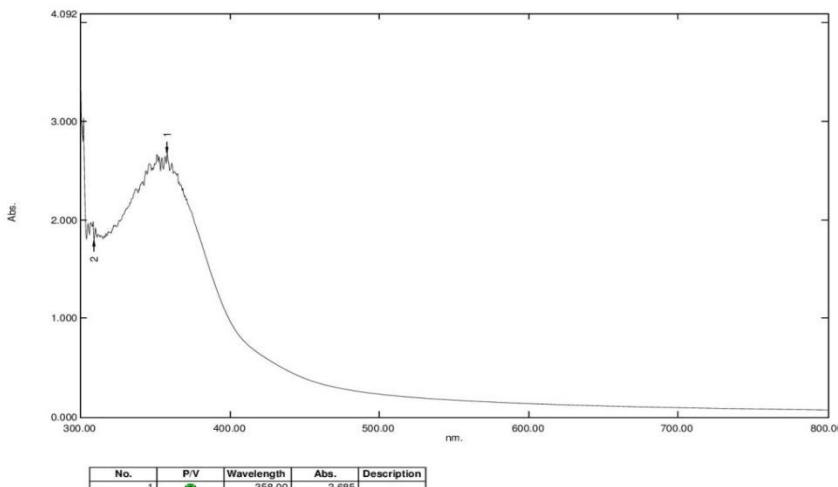
٤- منحني يوضح ذروة الامتصاص للزنك النانوي لراشح الفطري *Aspergillus flavus* الطول الموجي ٣٦٧ نانومتر أمتصاصية ٣.٩٨٩ وهذه يتواافق مع Valan AL-Dhabi (٢٠١٨) (كان أعلى قدرة أمتصاص ٢٧٤ نانومتر).



الشكل (47-4) المطياف أعلى طول موجي لأوكسيد الزنك النانوي لراشح فطر

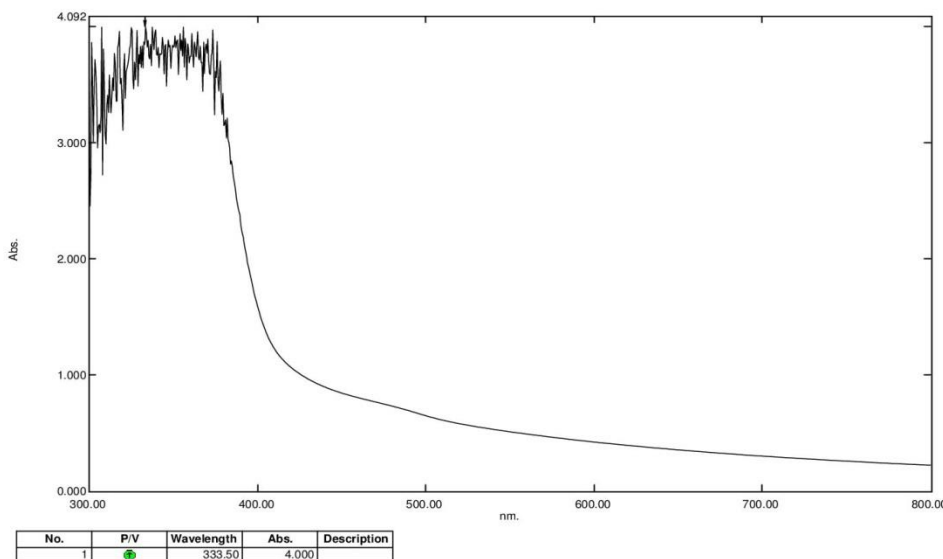
Aspergillus flavus

٥- يوضح منحني الطيف لراشح فطر *Aspergillus minisclerotigenes* أن أعلى طول موجي ٣٥٨ نانومتر وأعلى أمتصاصية ٢.٦٩٥ وهذا يتواافق مع Issa (٢٠٢٢) وصل أعلى طول موجي ٣٧٩ نانومتر .



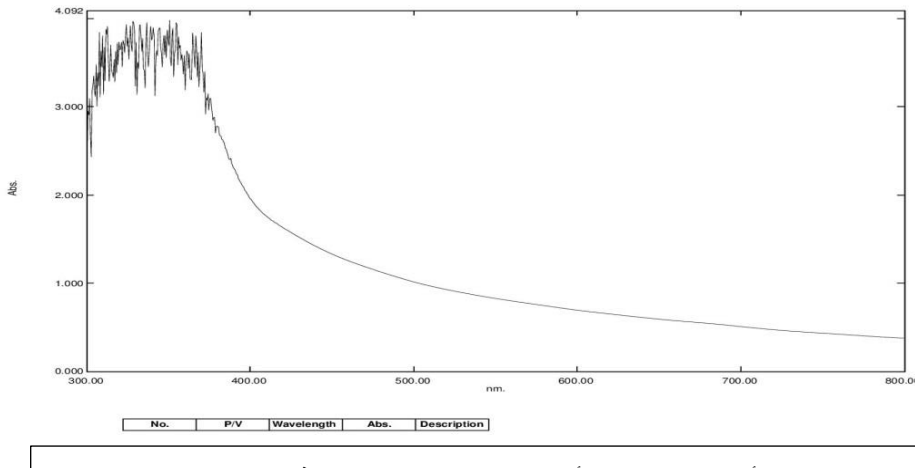
الشكل (48-٤) المطياف أعلى طول موجي لأوكسيد الزنك النانوي لراشح فطر
Aspergillus minisclerotigenes

٦- يوضح المطياف أن ذروة الأمتصاص للطول الموجي لأوكسيد الزنك النانوي تصل إلى ٣٣٣ نانومتر وأعلى أمتصاصية ٤ للراشح الفطري *Aspergillus niger* وهذا يتواافق مع Abdelkader وآخرون (٢٠٢٢) وصلت ذروة الإمتصاص ٣٨٠ نانومتر .



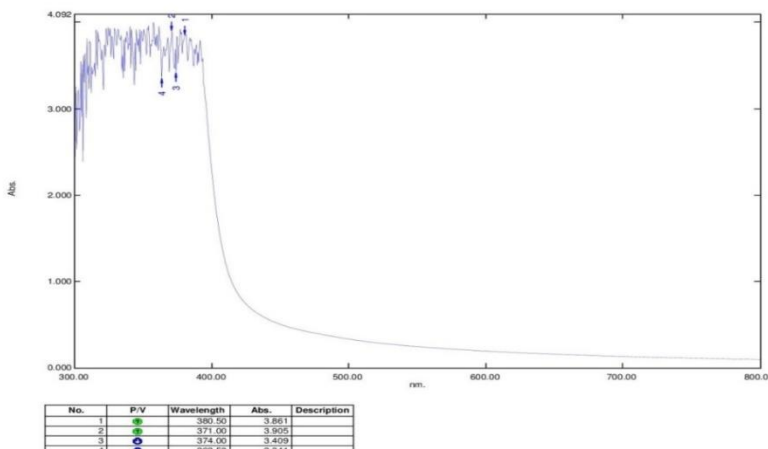
الشكل (49-٤) مطیاف أعلى طول موجي لأوكسيد الزنك النانوي لراشح فطر *Aspergillus niger*

٧- يوضح المنحني للراشح الفطري للفطر *Aspergillus oryza* أعلى طول موجي ٣٠٠ نانومتر وأعلى أ芒تصاصية ٣. وهذا يتواافق مع EL-kahky وآخرون (٢٠١٩) يتراوح الطول الموجي بين ٨٠٠-٢٠٠ نانومتر .



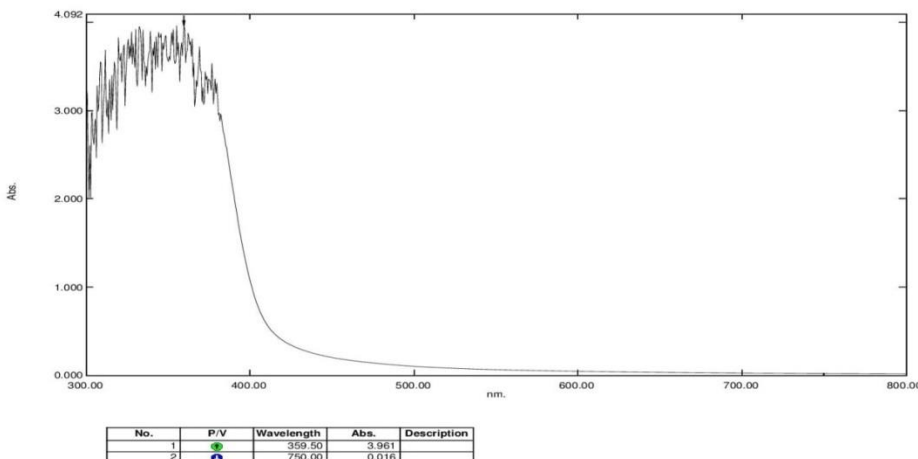
الشكل (50-٤) المطیاف أعلى طول موجي لأوكسيد الزنك النانوي لراشح فطر *Aspergillus oryza*

٨- يوضح المطياف أن ذروة الأمتصاص لمنحني الطيف لراشح الفطر *Aspergillus piperis* وصل أعلى طول موجي ٣٨٠ نانومتر وأعلى أمتصاصية ٣.٨٦١. وهذا يتواافق مع Kalia وأخرون (٢٠٢١) تردد الطول الموجي بين ٨٠٠-١٩٠ نانومتر.



الشكل (٥١-٤) المطياف أعلى طول موجي لأوكسيد الزنك الناتوي لراشح فطر *Aspergillus piperis*

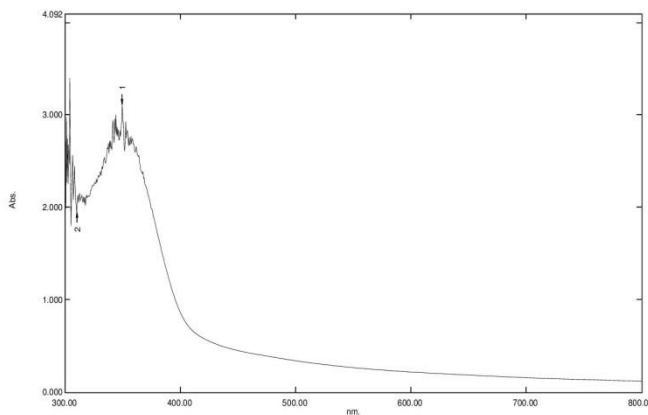
٩- يوضح منحني الطيف أعلى طول موجي للراشح الفطري *Aspergillus tubigensis* بلغت ٣٥٩ نانومتر وأعلى أمتصاصية ٣.٩٦١ وهذا يتواافق مع Hefny وأخرون (٢٠١٩) تردد الطول الموجي بين ٨٠٠-٢٠٠ نانومتر.



الشكل (52-4) المطياف أعلى طول موجي لأوكسيد الزنك النانوي لراش فطر

Aspergillus tubigensis

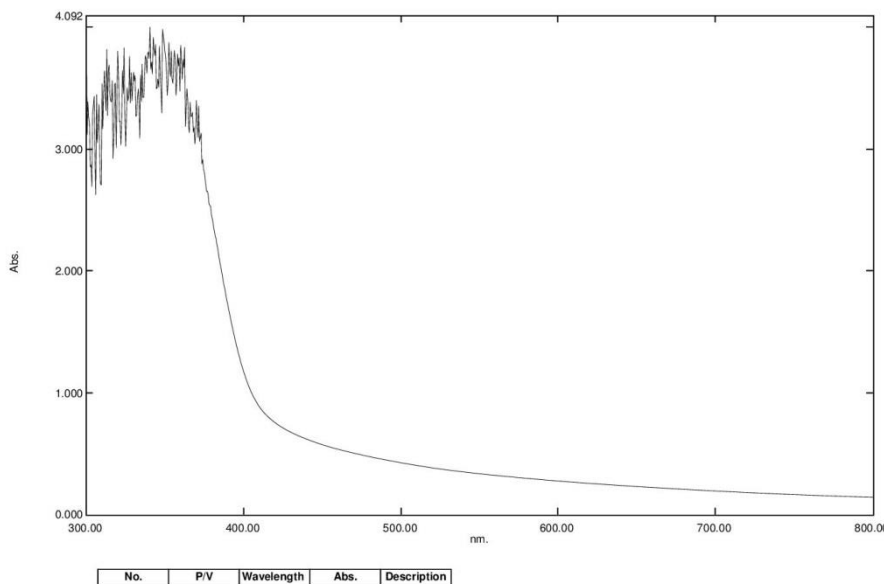
١٠- يوضح المنحني الطول الموجي للراش الفطري *Epidermophyton floccosum* أعلى طول موجي ٣٤٩ نانومتر وأعلى أمتصاصية ٣.١١٦ نانومتر وهذا يتواافق مع Moazenı وآخرون (٢٠١٢) وصل أعلى طول موجي ٤٤٢ نانومتر .



الشكل (53-4) المطياف أعلى طول موجي لأوكسيد الزنك النانوي لراش فطر

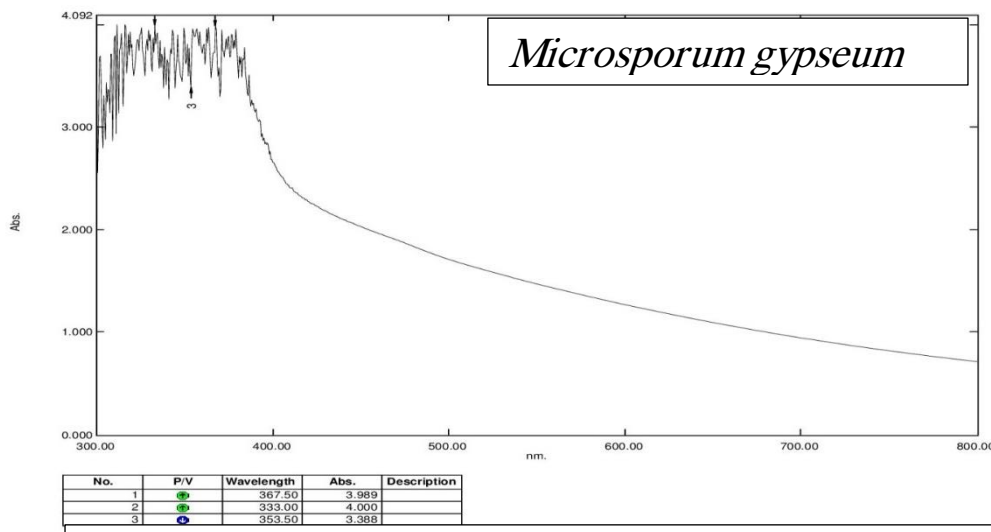
Epidermophyton floccosum

١١- يوضح المنحني للراش الفطري أعلى طول موجي للراش الفطري *Microsporum canis* يتراوح بين ٣٠٠ - ٤٠٠ نانومتر وأعلى أمتصاصية ٣.٢٣١ وهذا يتواافق مع Moazenı وآخرون (٢٠١٢) وصل أعلى طول موجي ٤٤٢ نانومتر .



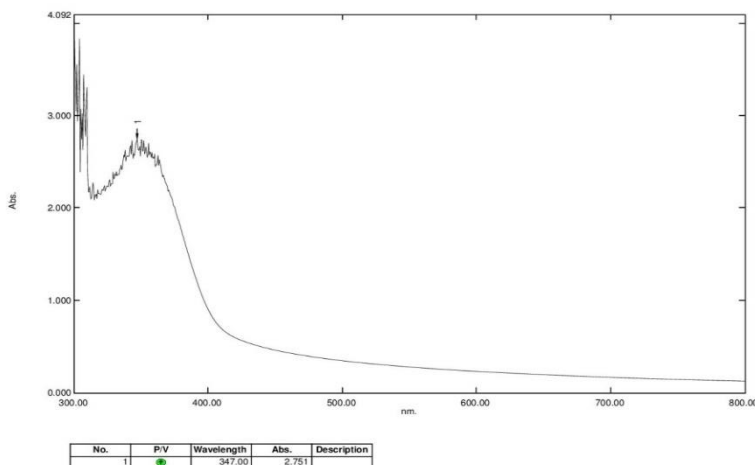
الشكل (54-٤) المطياف أعلى طول موجي لأوكسيد الزنك النانوي لراشح فطر
Microsporum canis

١٢-أثبتت المطياف أن ذروة الأمتصاص عند ٣٢٩ نانومتر للراشح الفطري *Microsporum* وأعلى أمتصاصية ٤ وهذا يتوافق مع Soudhari و Lutfana (٢٠١٩) كان *gypseum* الطول الموجي ٨٠٠-٢٠٠ نانومتر .



الشكل (55-٤) المطياف أعلى طول موجي لأوكسيد الزنك النانوي لراشح فطر
Microsporum gypseum

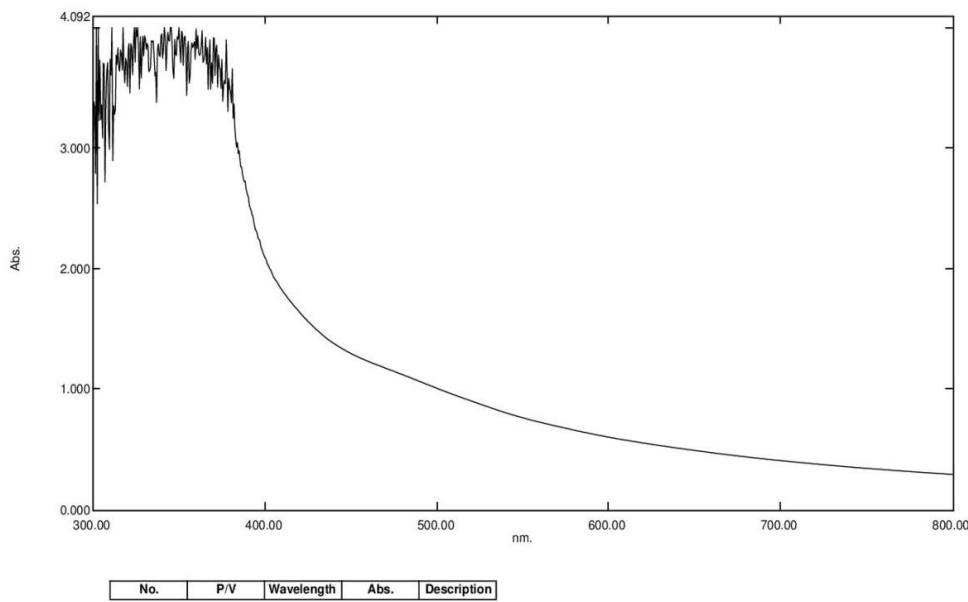
١٣- منحني يوضح ذروة الأمتصاص لأوكسيد الزنك النانوي من راشح الفطر *Trichophyton rubrum* وصل أعلى طول موجي ٣٤٧ نانومتر وأعلى أمتصاصية ٢.٧٥١ وهذا يتواافق مع آخرون (٢٠١٢) وصل أعلى طول موجي ٤٤٢ نانومتر . Moazeni



الشكل (4-56)المطياف أعلى طول موجي لأوكسيد الزنك النانوي لراشح فطر

Trichophyton rubrum

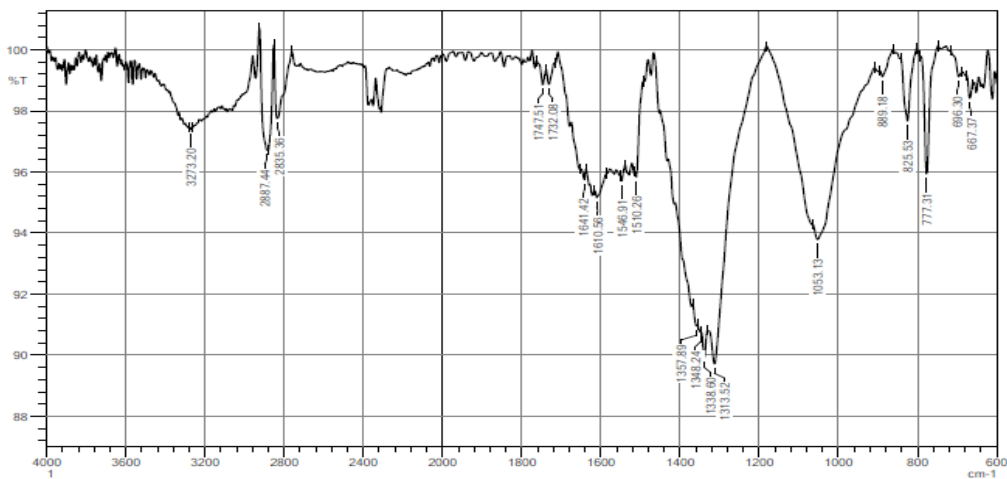
٤- يوضح منحني الطيف أعلى طول موجي للراشح الفطري *Rhizopus americanus* بلغ ٤٠٢ نانومتر وأعلى أمتصاصية ٢ وهذا يتواافق مع Husen Siddiqi (٢٠١٦) وصل أعلى طول موجي ٤٢٠ نانومتر .



الشكل (57-4) المطياف أعلى طول موجي لأوكسيد الزنك النانوي لراشح فطر *Rhizopus americanus*

٤-٢-٤ مطياف الأشعة تحت الحمراء (FTIR) ١-الفضة النانوية :-

a. كشف طيف الأشعة الحمراء لراشح فطر *Microsporum gypsym* عن وجود عشرة قمم ٦٩٦.٣٠، ٧٧٧.٣١، ٨٨٩.١٨، ١٠٥٣.١٣، ١٣٥٧.٨٩، ١٥٤٦.٩١، ١٦٤١.٤٢، ٣٢٧٣.٢٠، ٢٨٨٧.٤٤، ١٧٤٧.٥١، كما موضح في الشكل (٤-٤) إلى وجود مجموعة O-H أما القمة ٣٢٧٣.٢٠ تدل على وجود أصارة C-H

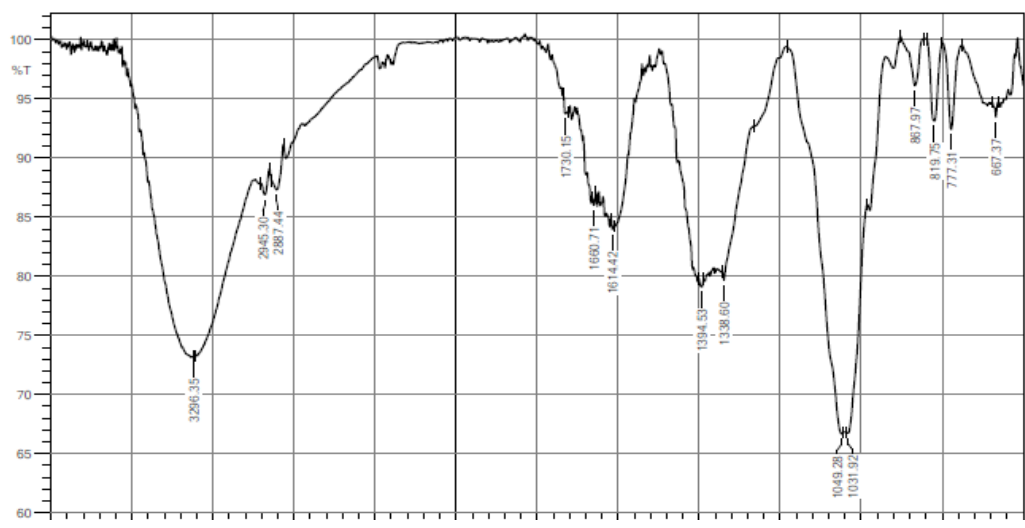


الشكل (58-4) طيف الأشعة تحت الحمراء لجسيمات الفضة النانوية للفطر *Microsporum gypseum*

b. راش الفطر *Aspergillus flavus* كشف طيف الأشعة الحمراء عن وجود تسع قمم

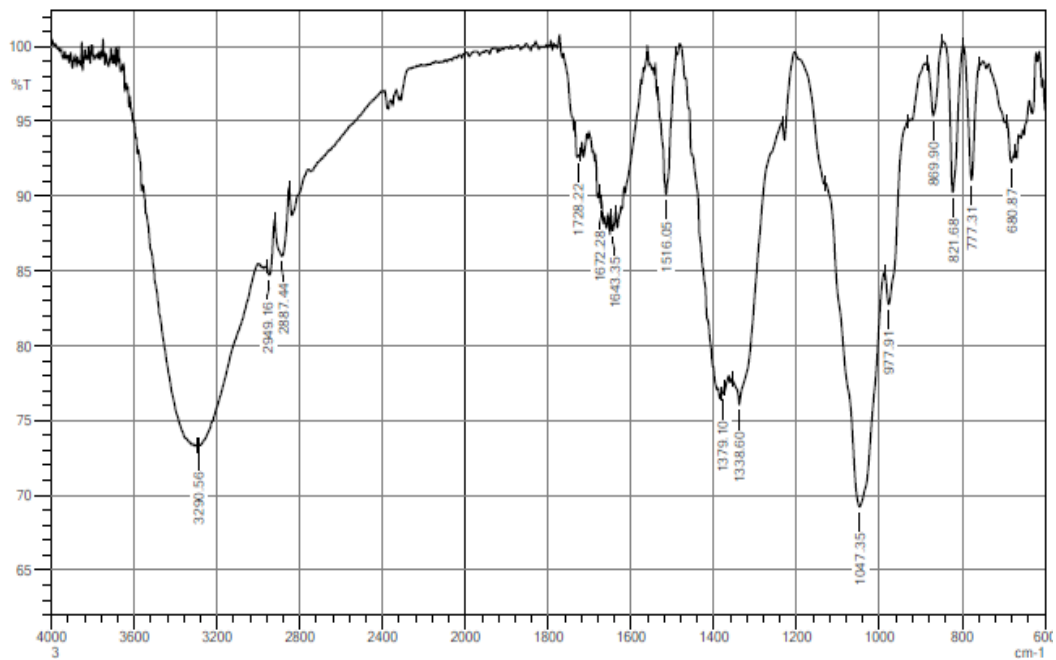
١٧٣٠، ٦٦٧.٣٧، ٧٧٧.٣١، ١٣٩٤.٥٣، ١٠٤٩.٢٨، ٨٨٧.٩٧، ٧٧٧.٣١، ٦٦٧.٣٧

٣٢٩٦.٣٥، ٢٩٤٥.٣٠، ٢٩٤٥.٣٠، ٣٢٩٦.٣٥ - كما موضح في الشكل (٥٩-٤)، القيمة ٦٦٧.٣٧ تشير إلى
آصرة أروماتية C-H أما القيمة ٧٧٧.٣١ تشير إلى الآصرة C-H أما القيمة ٨٨٧.٩٧ تشير
إلى ألكين C=C أما القيمة ١٠٤٩.٢٨ تشير إلى آصرة C-N تمثل أحماض أمينية أروماتية
أفتانية أما القيمة ١٣٩٤.٥٣ تشير إلى مجموعة الكاربونيل -C=O أما القيمة ١٦٦٠.٧١ تشير
إلى أميدات أحدية وثنائية N-H أما القيمة ١٧٣٠.١٥ تشير إلى آصرة C=O (الديهايد) أما
القيمة ٢٩٤٥.٣٠ تشير إلى مجموعة C-H والقيمة ٣٢٩٦.٣٥ تشير إلى آصرة O-H.



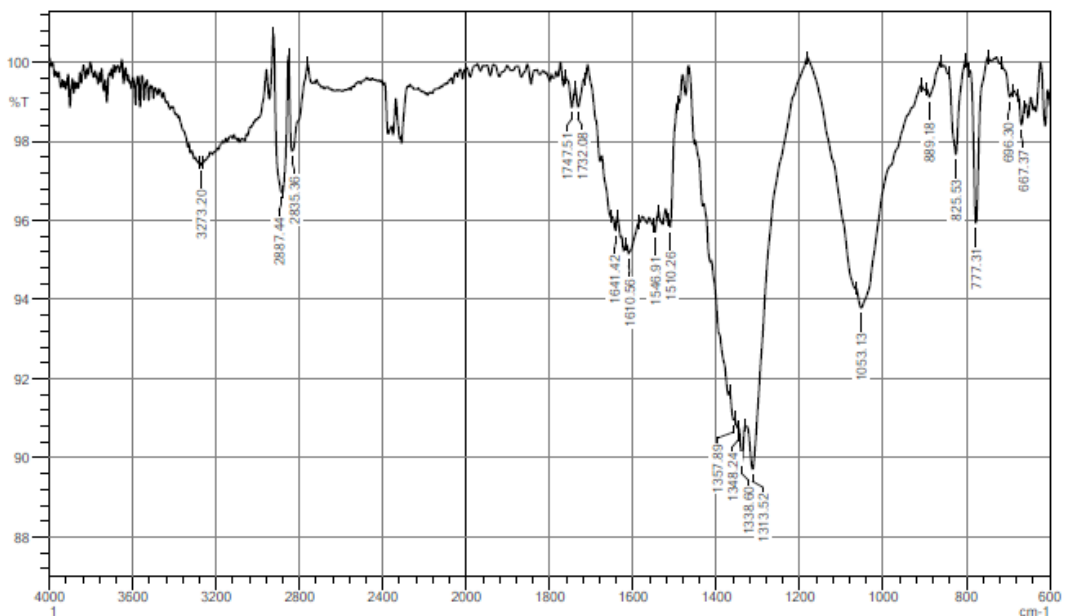
الشكل(59-4) يوضح طيف الأشعة الحمراء لراش الفطر *Aspergillus flavus*

٣. راشح الفطر *Aspergillus welwitschiae*: كشف طيف الأشعة الحمراء أن راشح الفطر يحتوي على أحد عشر قمة ٦٨٠.٨٧ ، ٧٧٧.٣١ ، ٨٦٩.٩٠ ، ٩٧٧.٩١ ، ١٠٤٧.٣٥ ، ٢٩٤٩.١٦ ، ١٦٧٢.٢٨ ، ١٥١٦.٠٥ ، ١٣٧٩.١٠ ، ٣٢٩٠.٥٦ ، ١٧٢٨.٢٢ ، ١٧٢٨.٢٢ ، ٢٩٤٩.١٦ ، ١٤٠٠-٦٠٠ تشير إلى مجاميع الكاربوكسيل C-O- أو مجموعة C-N وهي إمتداد للأواصر الأميدية في البروتينات Sampaio و Viana (٢٠١٨) القمة ١٥١٦.٠٥ تشير إلى مجاميع Nitriies group وهي أحماض عضوية التي تحتوي على الأصرة C=N- التي تشير إلى رابطة ثلاثية بين الكربون والنتروجين ، القمة ١٦٧٢.٢٨ تشير إلى الأصرة O-C=C- وهي أمين أولي وثانوي أما القمة ١٧٢٨.٢٢ تشير إلى الأصرة C=O (الديهايد) أما القمة ٢٩٤٩.١٦ تشير إلى مجموعة الكالين C-H بينما القمة ٣٢٩٠.٥٦ تشير إلى وجود الأصرة O-H.



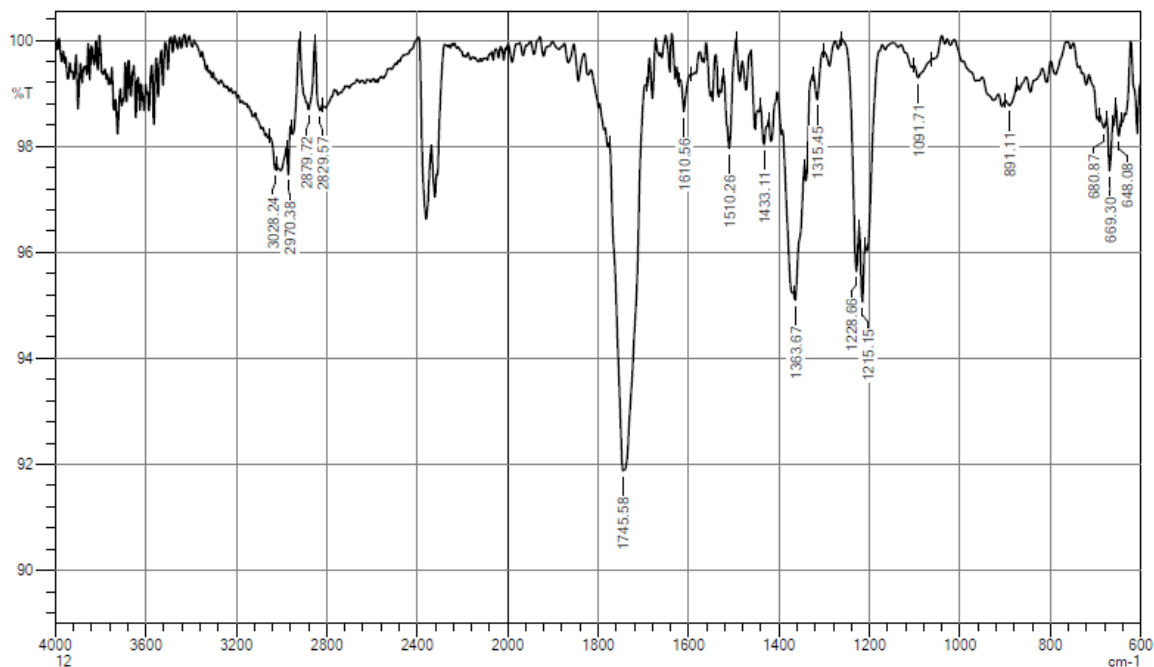
الشكل (٦٠-٤) طيف الأشعة الحمراء لراشح الفطر *Aspergillus welwitschiae*

d. راشح الفطر *Trichophyton rubrum* كشف مطياف الأشعة الحمراء أن راشح الفطر يحتوي على عشرة قمم ٦٩٦.٣٠، ٧٧٧.٣١، ٦٩٦.٣٠، ٨٨٩.١٨، ١٠٥٣.١٣، ١٣٥٧.٨٩، ٣٢٧٣.٢٠، ٢٨٨٧.٤٤، ١٧٤٧.٥١، ١٦٤١.٤٢، ١٥٤٦.٩١، ٧٧٧.٣١، ٦٩٦.٣٠ سم - ١ تشير إلى آصرة أروماتية C-H (آصرة قوية) أما القمة ٧٧٧.٣١ تشير إلى الآصرة H-C (آصرة قوية) أما القمة ٨٨٩.١٨ تشير إلى الـ $\text{C}=\text{C}$ (آصرة قوية) ،القمة ١٠٥٣.١٣ تشير إلى وجود آصرة C-N تمثل أحماض أمينية أروماتية وألفاتية أما القمة ١٣٥٧.٨٩ تشير إلى مجموعة الكاربونيل C=O أو مجموعة C-N وتعود إمتداد للأواصر الأمide في البروتينات ،أما القمтан ١٦٤١.٤٢، ١٥٤٦.٩١ تدل على وجود أميدات أحادية وأميدات ثنائية N-H ،أما القمة ١٧٤٧.٥١ تشير إلى الآصرة O=C (الديهايد) أما القمة ٢٨٨٧.٤٤ تشير إلى وجود مجموعة H-C أما القمة ٣٢٧٣.٢٠ تدل على وجود آصرة O-H.



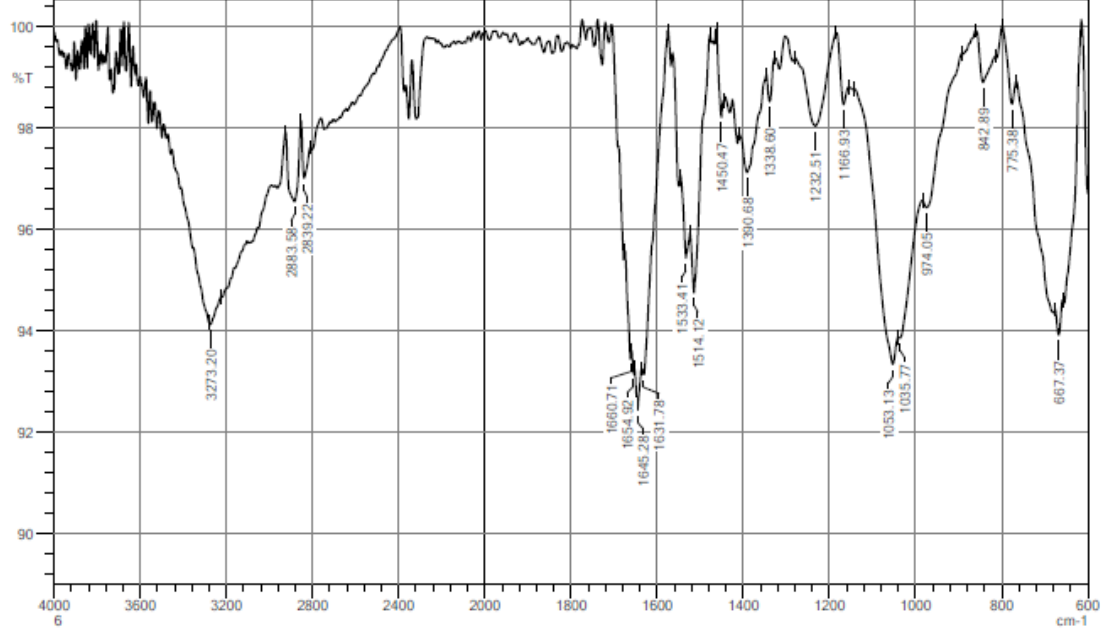
الشكل (4- 61) طيف الأشعة الحمراء لراشح الفطر *Trichophyton rubrum*

e. راشح الفطر *Aspergillus niger* كشف طيف الأشعة الحمراء عن وجود أحد عشر قمة ، 1510.26 ، 1433.11 ، 1363.67 ، 1228.67 ، 1091.71 ، 891.11 ، 680.87 ، 1745.58 ، 1610.56 ، 2970.38 ، 2879.72 ، 2829.57 كما موضح في الشكل (٦٢-٤) ، أن القمة التي تظهر بحدود $1400-600$ تشير إلى مجاميع الكاربوكسيل-C-O أو مجموعة-C-N وهي إمتداد للأوامر الأمادية في البروتينات Viana Sampaio (٢٠١٨) القمة 1510.26 تشير إلى مجاميع Nitriiies group وهي أحماض عضوية التي تحتوي على الأصرة C=N- التي تشير إلى رابطة ثلاثة بين الكربون والنتروجين ، القمة 1610.56 تشير إلى الأصرة C-O-C- وهي أمين أولي وثانوي أما القمة 1745.58 تشير إلى الأصرة C=O (الديهايد) أما القمة 2970.38 تشير إلى مجموعة الكالين C-H بينما القمة 3028.24 تشير إلى وجود الأصرة O-H.



الشكل (٦٢-٤) يوضح طيف الأشعة الحمراء للفطر *Aspergillus niger*

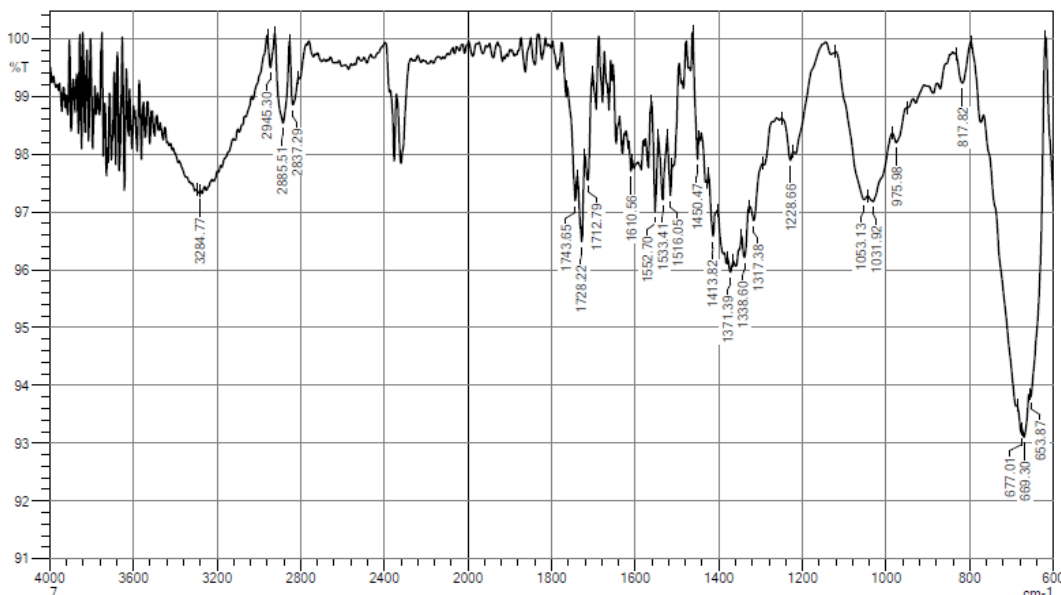
f. راش الفطر *Aspergillus piperis* كشف طيف الأشعة الحمراء عن وجود ثلاثة عشر قمة ٦٦٧.٣٧ ، ٦٦٧.٦٨ ، ١٢٣٢.٥١ ، ١١٦٦.٩٣ ، ٩٧٤.٠٥ ، ٨٤٢.٨٩ ، ٧٧٥.٣٨ ، ١٣٩٠.٦٨ ، ١٤٥٠.٤٧ ، ٣٢٧٣.٢٠ ، ٢٨٨٣.٥٨ ، ١٦٦٠.٧١ ، ١٥٣٣.٤١ ، ١٤٥٠.٤٧ -٤- . أن القمم التي تظهر بحدود ١٤٠٠-٦٠٠ تشير إلى مجاميع الكاربوكسيل-C-O- أو مجموعة C-N وهي إمتداد للأواصر الأميدية في البروتينات Viana و Sampaio (٢٠١٨) القمة ١٥٣٣.٤١ تشير إلى مجاميع Nitriiles group وهي أحماض عضوية التي تحتوي على الأصرة N=C- التي تشير إلى رابطة ثلاثية بين الكربون والنتروجين ، القمة ١٦٦٠.٧١ تشير إلى الأصرة C=O- و C=C- وهي أمين أولي وثانوي أما القمة ٢٨٨٣.٥٨ تشير إلى مجموعة الكاللين C-H بينما القمة ٣٢٧٣.٢٠ تشير إلى وجود الأصرة O-H.



الشكل (٦٣-٤) يوضح طيف الأشعة الحمراء لراش الفطر *Aspergillus piperis*

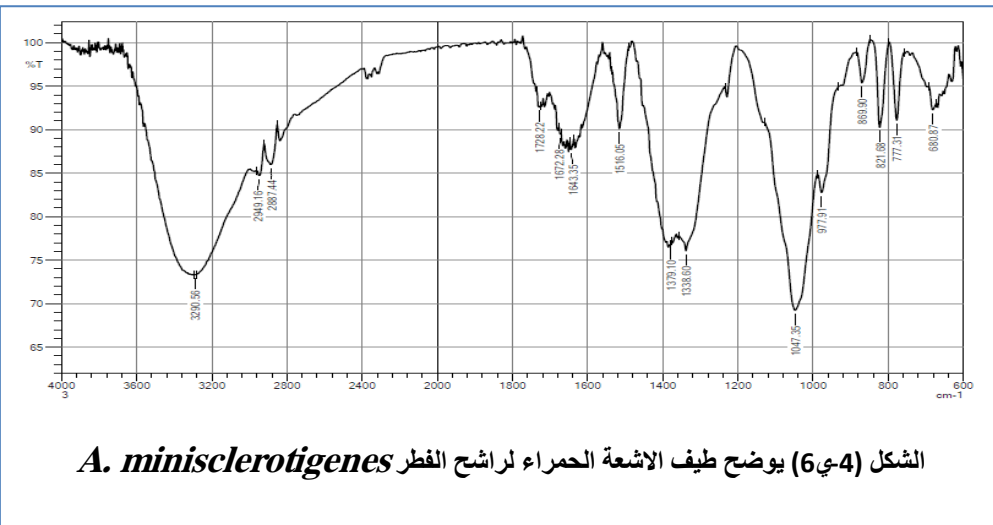
g. راش فطر *Aspergillus brasiliensis* :- كشف طيف الأشعة الحمراء عن وجود أثنا عشر قمة ٦٧٧.٠١ ، ٦٧٧.٨٢ ، ٨١٧.٨٢ ، ١٠٥٣.١٣ ، ٩٧٥.٩٨ ، ١٢٢٨.٦٦ ، ١٣٧١.٣٩ ، ١٤٥٠.٤٧ ، ٣٢٨٤.٧٧ ، ٢٩٤٥.٣٠ ، ١٧٤٣.٦٥ ، ١٦١٠.٥٦ ، ١٥٥٢.٧٠ ، ٣٢٨٤.٧٧ كما موضح في الشكل(٤-٦). أن القمم التي تظهر بحدود ١٤٠٠-٦٠٠ تشير إلى مجاميع الكاربوكسيل-C-O- أو مجموعة C-N وهي إمتداد للأواصر الأميدية في البروتينات Viana و Sampaio

(٢٠١٨) ، القمة ١٥٥٢.٧٠ تشير إلى مجاميع Nitriiles group وهي أحماض عضوية التي تحتوي على الأصربة N=C- التي تشير إلى رابطة ثلاثة بين الكاربون والنتروجين ، القمة ١٦١٠.٥٦ تشير إلى الأصربة C-O- و C=C- وهي أمين أولي وثانوي أما القمة ١٧٤٣.٦٥ تشير إلى الأصربة C=O (الديهايد) ، أما القمة ٢٩٤٥.٣٠ تشير إلى مجموعة الكالين C-H بينما القمة ٣٢٧٣.٢٠ تشير إلى وجود الأصربة O-H .

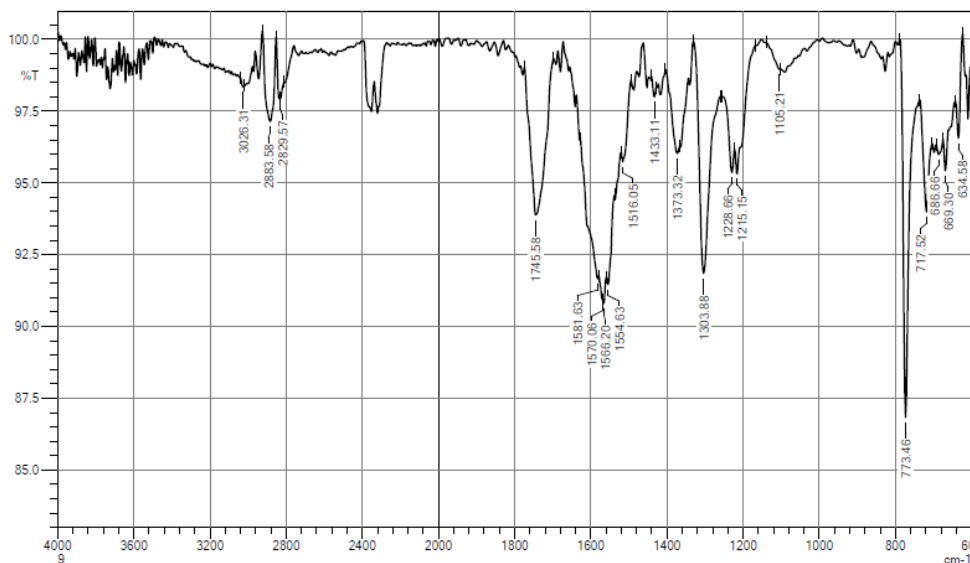


الشكل (٦٤-٤) يوضح طيف الأشعة الحمراء لراشح الفطر *A. brasiliensis*

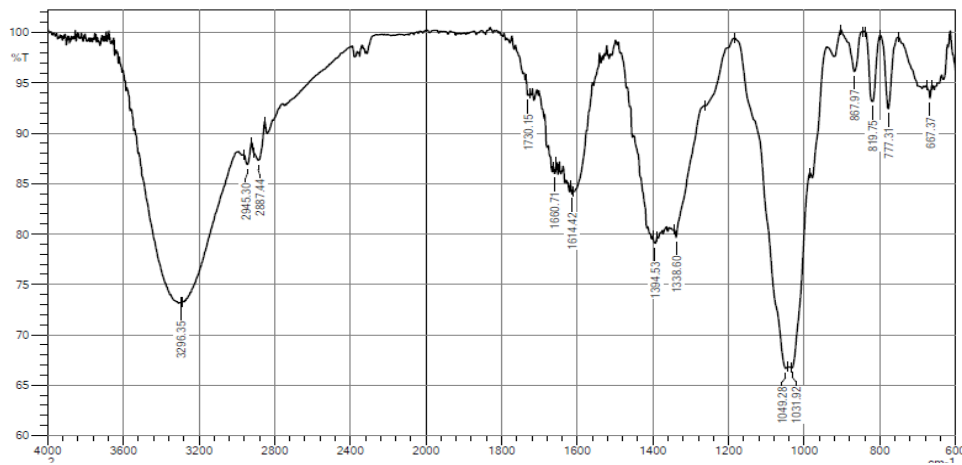
راشح الفطر *Aspergillus minisclerotigenes* h. كشف طيف الأشعة الحمراء أن راشح الفطر يحتوي على أحد عشر قمة ٦٨٠.٨٧ ، ٧٧٧.٣١ ، ٨٦٩.٩٠ ، ٩٧٧.٩١ ، ٣٢٩٠.٥٦ ، ٢٩٤٩.١٦ ، ١٧٢٨.٢٢ ، ١٦٧٢.٢٨ ، ١٥١٦.٥٠ ، ١٣٧٩.١٠ ، ١٠٤٧.٣٥ كما موضح في الشكل (٦٤-٤). أن القمم التي تظهر بحدود ١٤٠٠-٦٠٠ تشير إلى مجاميع الكاربوكسيل-C-O- أو مجموعة C-N وهي إمتداد للأواصر الأمايدية في البروتينات Viana و Sampaio (٢٠١٨) القمة ١٥١٦.٥ تشير إلى مجاميع Nitriiles group وهي أحماض عضوية التي تحتوي على الأصربة N=C- التي تشير إلى رابطة ثلاثة بين الكاربون والنتروجين ، القمة ١٦٧٢.٢٨ تشير إلى الأصربة C-O- و C=C- وهي أمين أولي وثانوي أما القمة ١٧٢٨.٢٢ تشير إلى الأصربة C=O (الديهايد) أما القمة ٢٩٤٩.١٦ تشير إلى مجموعة الكالين C-H بينما القمة ٣٢٩٠.٥٦ تشير إلى وجود الأصربة O-H .



. راشح فطر *Aspergillus oryza* كشف طيف الأشعة الحمراء أن وجود عشرة قمم بحدود (٦٠٠-٦٤٠) تشير إلى مجاميع الكاربوكسيل-C-O أو مجموعة C-N وهي إمتداد للأواصر الأمايدية في البروتينات Viana و Sampaio (٢٠١٨) القمة ١٥٨١.٦٣ تشير إلى مجاميع Nitriiles group وهي أحماض عضوية التي تحتوي على الأصرة N=C- التي تشير إلى رابطة ثلاثة بين الكربون والنتروجين ، أما القمة ١٧٤٥.٥٨ تشير إلى الأصرة C=O (الديهايد) أما القمة ٢٨٨٣.٥٨ تشير إلى مجموعة الكالين C-H بينما القمة ٣٠٢٦.٣١ تشير إلى وجود الأصرة O-H.



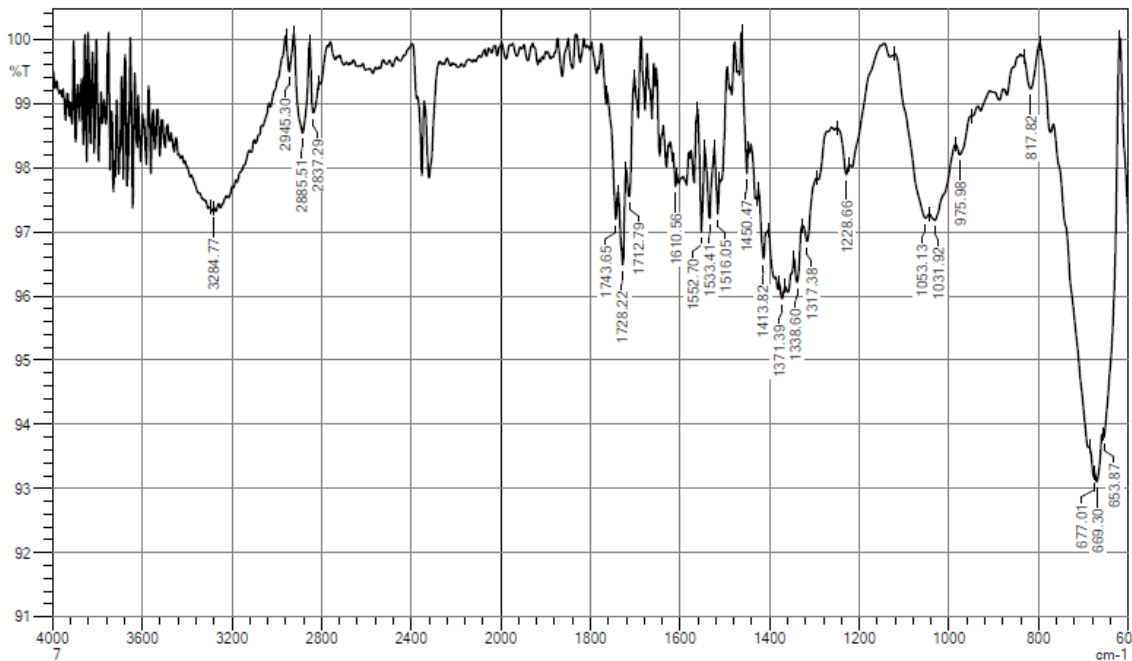
ج. راش فطر *Rhizopus americanus* :- كشف طيف الأشعة الحمراء عن وجود تسعة قمم ٦٦٧.٣٧، ٦٦٧.٣١، ٧٧٧.٣١، ١٣٩٤.٥٣، ١٠٤٩.٢٨، ٨٨٧.٩٧، ١٦٦٠.٧١، ١٧٣٠.١٥، ٢٩٤٥.٣٠، ٣٢٩٦.٣٥، ٢٩٤٥.٣٠ سم - ١ كما موضح في الشكل (٤-٤). القمة ٦٦٧.٣٧ تشير إلى آصرة أромاتية C-H أما القمة ٧٧٧.٣١ تشير إلى الآصرة C-H أما القمة ٨٨٧.٩٧ تشير إلى الكين C=C أما القمة ١٠٤٩.٢٨ تشير إلى آصرة C-N تمثل أحماض أمينية أромاتية ألفاتية أما القمة ١٣٩٤.٥٣ تشير إلى مجموعة الكاربونيل -C=O أما القمة ١٦٦٠.٧١ تشير إلى أميدات أحادية وثنائية N-H أما القمة ١٧٣٠.١٥ تشير إلى الآصرة C=O (الديهايد) أما القمة ٢٩٤٥.٣٠ تشير إلى مجموعة H-C-٣٢٩٦.٣٥ والقمة ٣٢٩٦.٣٥ تشير إلى آصرة O-H.



الشكل (٤-٤) يوضح طيف الأشعة الحمراء لراش الفطر *A. americanus*

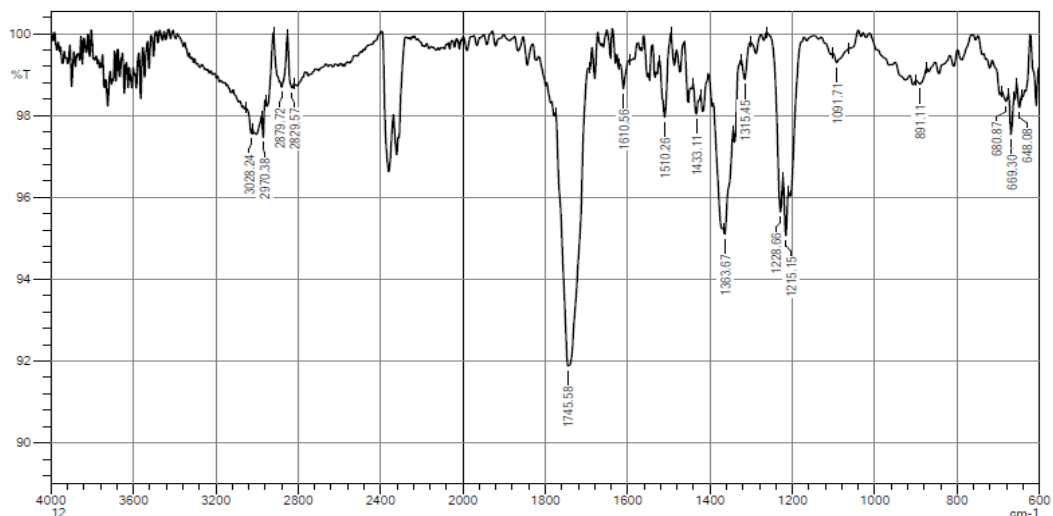
ج. راش الفطر *Aspergillus costaricensis* كشف طيف الأشعة الحمراء عن وجود أثنا عشر قمة ٦٧٧.٠١، ٨١٧.٨٢، ٩٧٥.٩٨، ١٠٥٣.١٣، ١٢٢٨.٦٦، ١٣٧١.٣٩، ١٤٥٠.٤٧، ١٥٥٢.٧٠، ١٦١٠.٥٦، ١٧٤٣.٦٥، ٢٩٤٥.٣٠، ٣٢٨٤.٧٧ كما موضح في الشكل (٤-٦)، أن القمم التي تظهر بحدود ١٤٠٠-٦٠٠ تشير إلى مجاميع الكاربوكسيل -C-O أو مجموعة C-N وهي إمتداد للأواصر الأميدية في البروتينات Sampaio و Viana (٢٠١٨) القمة ١٥٥٢.٧٠ تشير إلى مجاميع Nitriiles group وهي أحماض عضوية التي تحتوي على الآصرة C=N- التي تشير إلى رابطة ثلاثة بين الكاربون والنتروجين، القمة ١٦١٠.٥٦ تشير إلى الآصرة C-O-C- وهي أمين أولي وثانوي

أما القمة ١٧٤٣.٦٥ تشير إلى الأصرة C=O (الديهايد) أما القمة ٢٩٤٥.٣٠ تشير إلى مجموعة الكالين C-H بينما القمة ٣٢٧٣.٢٠ تشير إلى وجود الأصرة O-H.



الشكل (68-٤) يوضح طيف الأشعة الحمراء لراشح الفطر *Aspergillus costaricensis*

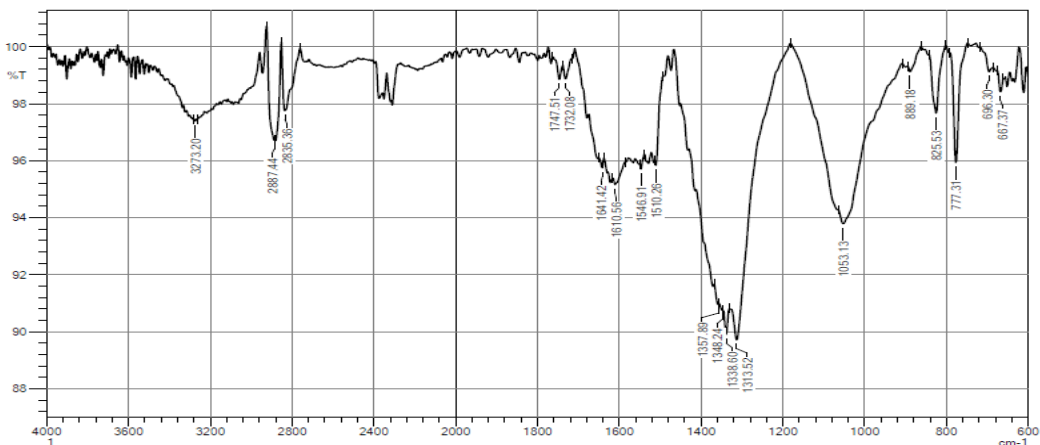
١. راشح فطر *Aspergillus tubigensis* كشف طيف الأشعة الحمراء عن وجود أحد عشر قمة ٦٨٠.٨٧ ، ٨٩١.١١ ، ١٠٩١.٧١ ، ١٢٢٨.٦٧ ، ١٣٦٣.٦٧ ، ١٤٣٣.١١ ، ١٥١٠.٢٦ ، ١٦١٠.٥٦ ، ١٧٤٥.٥٨ ، ٢٩٧٠.٣٨ ، ٣٠٢٨.٢٤ كما موضح في الشكل (٦٩-٤)، أن القمم التي تظهر بحدود ١٤٠٠-٦٠٠ تشير إلى مجاميع الكاربوكسيل O-C- أو مجموعة C-N وهي امتداد للأواصر الأمideية في البروتينات Viana و Sampaio (٢٠١٨)، القمة ١٥١٠.٢٦ تشير إلى مجاميع Nitriiles group وهي أحماض عضوية التي تحتوي على الأصرة C=N- التي تشير إلى رابطة ثلاثة بين الكربون والنتروجين، القمة ١٦١٠.٥٦ تشير إلى الأصرة C-O- و C=C- وهي أمين أولي وثانوي أما القمة ١٧٤٥.٥٨ تشير إلى الأصرة C=O (الديهايد) أما القمة ٢٩٧٠.٣٨ تشير إلى مجموعة الكالين C-H بينما القمة ٣٠٢٨.٢٤ تشير إلى وجود الأصرة O-H.



الشكل (4-69) يوضح طيف الأشعة الحمراء لراشح الفطر *Aspergillus tubigensis*

راشح فطر *Microsprum canis* m كشف مطياف الأشعة الحمراء أن راشح الفطر يحتوي على عشرة قمم ٦٩٦.٣٠، ٧٧٧.٣١، ٦٩٦.٩١، ١٣٥٧.٨٩، ١٠٥٣.١٣، ٨٨٩.١٨، ٢٨٨٧.٤٤، ١٧٤٧.٥١، ١٦٤١.٤٢، ٣٢٧٣.٢٠، ٢٨٨٧.٤٤، ١٧٤٧.٥١، ١٦٤١.٤٢، كما موضح في الشكل (٤-٧٠) ، القمة ٧٧٧.٣١ تشير إلى آصرة أروماتية C-H (آصرة قوية) أما القمة ٦٩٦.٣٠ الآصرة H-C (آصرة قوية) أما القمة ٨٨٩.١٨ تشير إلى الـكين C=C (آصرة قوية) ، القمة ١٠٥٣.١٣ تشير إلى وجود آصرة N-C تمثل أحماض أمينية أروماتية وألفاتية أما القمة ١٣٥٧.٨٩ تشير إلى مجموعة الكاربونيل O-C- أو مجموعة C-N وتعود إمداد للأواصر الأميدية في البروتينات ، أما القمтан ١٦٤١.٤٢، ١٥٤٦.٩١ تدل على وجود أميدات أحادية وأميدات ثنائية N-H ، أما القمة ١٧٤٧.٥١ تشير إلى الآصرة C=O (الديهايد) أما القمة ٢٨٨٧.٤٤ تشير إلى وجود مجموعة C-H أما القمة ٣٢٧٣.٢٠ تدل على وجود آصرة O-C.

H



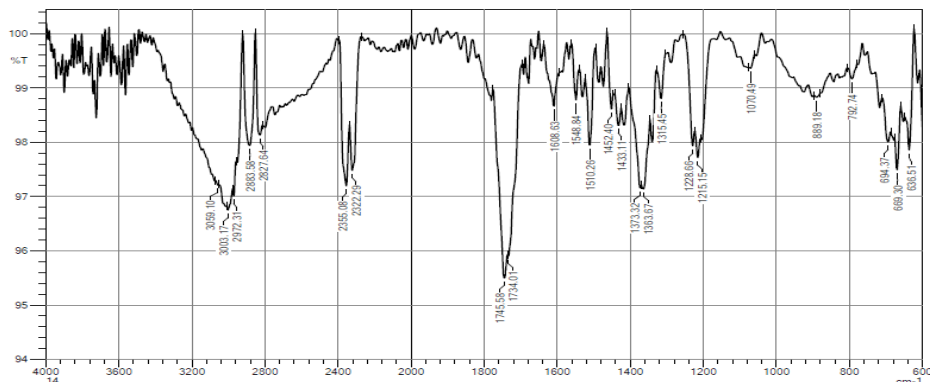
الشكل (٧٠-٤) يوضح طيف الأشعة الحمراء لراش الفطر *Microsprum canis*

n. راش الفطر *Epidermophyton floccosum* كشف المطياف عن وجود أثنا عشر قمة ، ٦٩٤.٣٧ ، ٧٩٢.٧٤ ، ١٤٥٢.٤٠ ، ١٣٧٣.٣٢ ، ١٢٢٨.٦٦ ، ١٠٧٠.٤٩ ، ٨٨٩.١٨ ، ٢٩٧٢.٣١ ، ١٧٤٥.٥٨ ، ٣٠٥٩.١٠ ، ١٦٠٨.٦٣ ، ١٥٤٨.٨٤ كما موضح في الشكل(٤)

(٧١)

أن القمم التي تظهر بحدود ١٤٠٠-٦٠٠ تشير إلى مجاميع الكاربوكسيل C-O- أو مجموعة C-N وهي إمتداد للأواصر الأميدية في البروتينات Sampaio و Viana (٢٠١٨) القمة ١٥٤٨.٨٤ تشير إلى مجاميع Nitriiles group وهي أحماض عضوية التي تحتوي على الأصرة C=N- التي تشير إلى رابطة ثلاثة بين الكربون والنتروجين ، القمة ١٦٠٨.٦٣ تشير إلى الأصرة C-O- و C=C- وهي أمين أولي وثانوي أما القمة ١٧٤٥.٥٨ تشير إلى الأصرة C=O (الديهايد) أما القمة ٢٩٧٢.٣١ تشير إلى مجموعة الكالين C-H بينما القمة ٣٠٥٩.١٠ تشير إلى وجود الأصرة O-H. يمكننا القول أن هذه الأميدات والمجاميع الفعالة والأحماض الأمينية كالكحولات والفينولات تعد دليل على أن الفطريات تفرز مجموعة من البروتينات والإنزيمات التي تلعب دوراً مهماً في عمليات الإختزال وعامل استقرار لجسيمات الفضة النانوية وذلك من خلال أرتباطها بمجاميع الأمينات أو ببقايا السستين (حامض أميني) أو من خلال التفاعلات الألكتروستاتيكية بين الشحنات السالبة لمجموعة الكاربوكسيل والشحنات الموجبة لجسيمات الفضة النانوية وهذا ما أشار إليه Singh وأخرون (٢٠١٤) و Gudikandula Ammar El-Desouky (٢٠١٦) و (٢٠١٧) إذ أن وجود هذه البروتينات في وسط التفاعل يعد عامل إختزال وطبقة واقية لجسيمات الفضة وهذه البروتينات بدورها تمنع من تكثيل جسيمات الفضة في وسط التفاعل وتكون مسؤولة عن

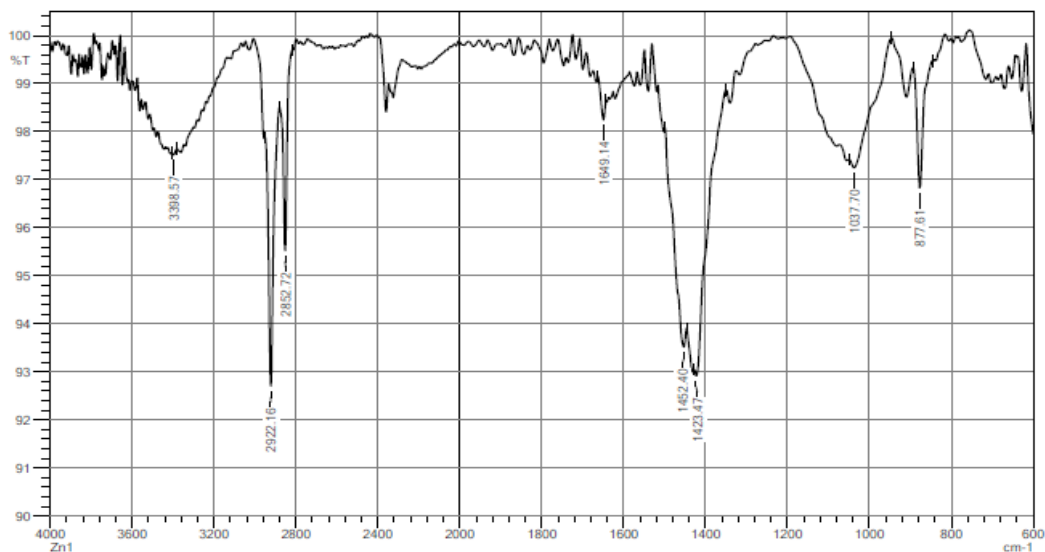
الاستقرارية العالية لجسيمات الفضة ومتلك ميزة في تحضير الجسيمات الفضية النانوية إذ تكون فعالة وأمنة وغير سامة (AbedlRahim وأخرون ، ٢٠١٧)



الشكل(71-4) يوضح طيف الأشعة الحمراء لراشح فطر *Epidermophyton floccosum*

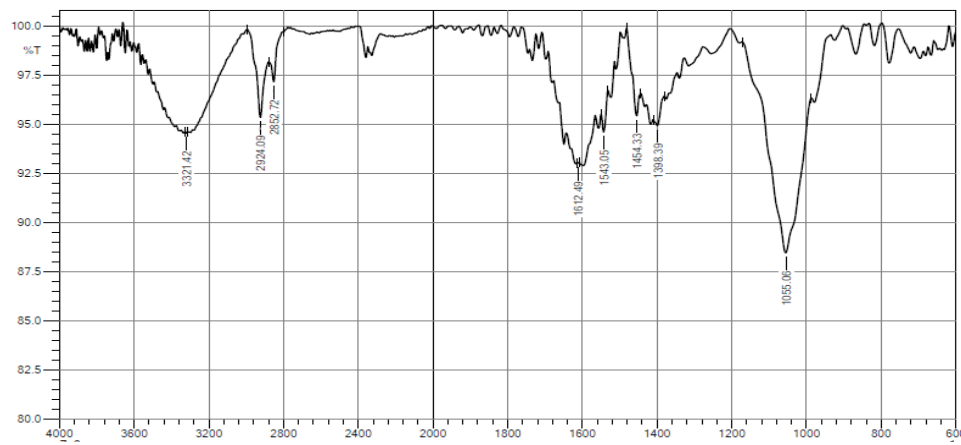
٢:- الزنك

a. راشح الفطر *Microsporum gypsym* كشف طيف الأشعة الحمراء عن وجود ستة قمم ٣٣٩٨.٥٧ ، ٢٩٢٢.١٦ ، ١٦٤٩.١٤ ، ١٤٥٢.٤٠ ، ١٠٣٧.٧٠ ، ٨٧٧.٦١ كما موضح في الشكل (٧٢-٤) تشير القمة ٨٧٧.٦١ إلى وجود الأصرة C=C (الكين) أما القمة ١٠٣٧.٧٠ تشير إلى الأصرة C=O أمايد أولي أما القمة ١٤٥٢.٤٠ تشير إلى الأصرة C=N aromatic compound أما القمة ١٦٤٩.١٤ تشير إلى الأصرة N oxime أما القمة ٢٩٢٢.١٦ تشير إلى الأصرة C-N aromatic مجموعة أمين (amin) أما القمة ٣٣٩٨.٥٧ تشير إلى الأصرة O-H (كحولات).



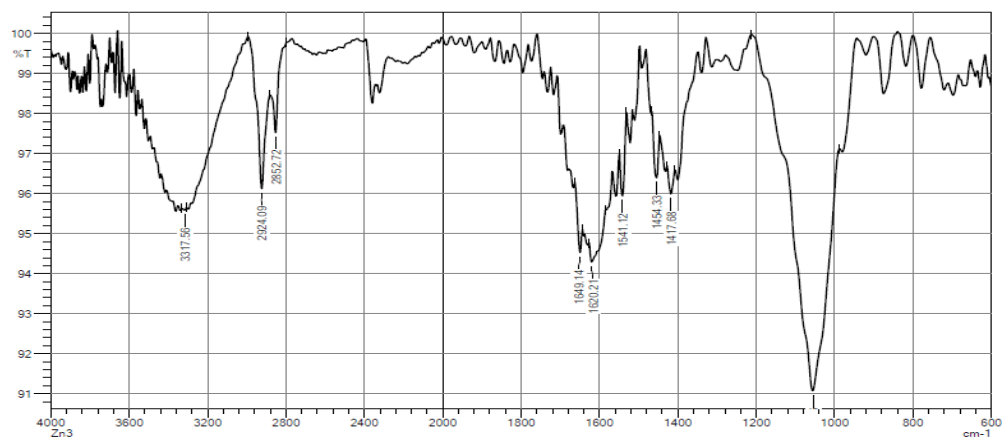
الشكل (4-72) يوضح طيف الأشعة الحمراء لراشح الفطر *Microsporum gypsym*

b. راشح الفطر *Aspergillus flavus* كشف طيف الأشعة الحمراء عن وجود سبعة قمم كما موضح في الشكل (4-73). تشير القمة ١٠٥٥.٠٦ إلى الأصرة S=O (sulfonic acid) أما القمة ١٣٩٨.٣٩ تشير إلى الأصرة O-H (مجموعة المثيل) ، أما القمة ١٥٤٣.٠٥ تشير إلى الأصرة C=C (cyclic alkene) ، أما القمة ١٦١٢.٤٩ تشير إلى الأصرة N-H (a,B-unsaturated ketone) ، أما القمة ٢٩٢٤.٠٩ تشير إلى الأصرة O-H (كحول) (أرتباط بين الجزيئات).



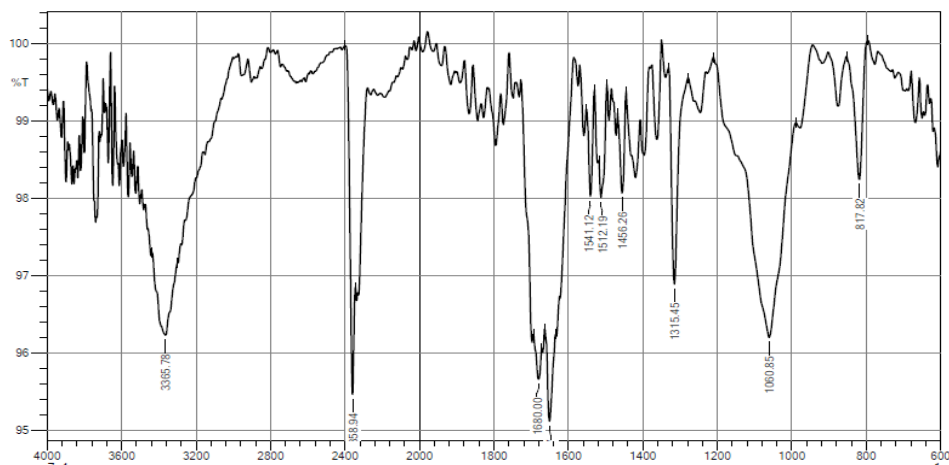
الشكل (73-4) يوضح طيف الأشعة الحمراء للفطر *Aspergillus flavus*

٥. راش الفطر *Aspergillus welwitschiae* كشف طيف الأشعة الحمراء عن وجود خمسة قمم ١٤٥٤.٣٣ ، ١٤٠١.١٢ ، ١٥٤١.١٤ ، ٢٩٢٤.٠٩ ، ٣٣١٧.٥٦ كما موضح في الشكل (٧٤-٤)، تشير القمة ١٤٥٤.٣٣ إلى وجود الأصرة C-H (مجموعة الميثيل) ، أما القمم الممتدة مابين ١٥٠٠ - ١٧٠٠ سم - ١ تمثل مجموعات وظيفية للأصرة Ketone (cyclic alkene) C=C، أما القمة ٢٩٢٤.٠٩ تشير إلى الأصرة O-H (amine salt) N-H (أرتباط بين الجزيئات)



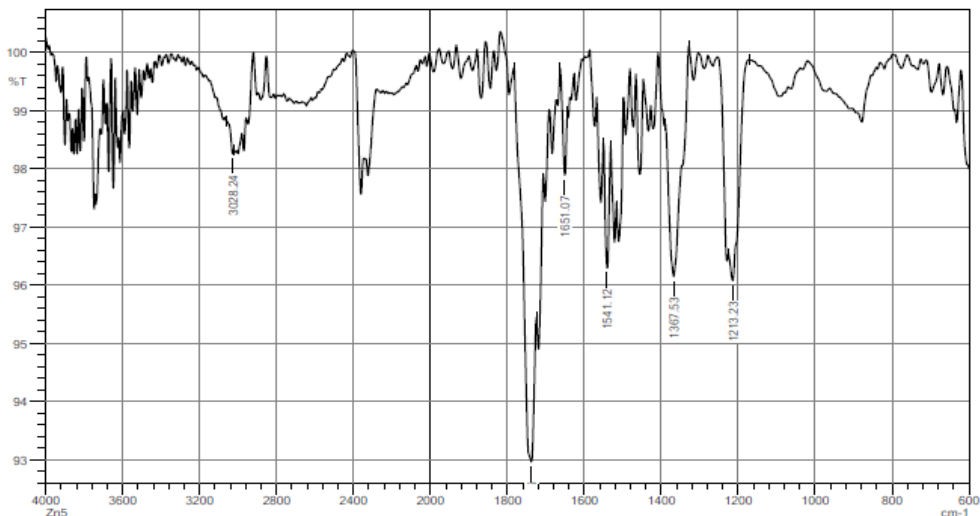
الشكل (74-4) يوضح طيف الأشعة الحمراء لراش الفطر *Aspergillus welwitschiae*

d. راشح الفطر *Trichophyton rubrum* كشف طيف الأشعة الحمراء عن وجود سبعة قمم ١٦٨٠.٠٠ ، ١٥٤١.١٢ ، ١٤٦٥.٢٦ ، ١٣١٥.٤٥ ، ١٠٦٠.٨٥ ، ٨١٧.٨٢ ، ٣٣٦٥.٧٨ كما موضح في الشكل (٧٥-٤). تشير القمة ٨١٧.٨٢ إلى الأصرة C=C (ألكين) ، أما القمة ١٠٦٠.٨٥ تشير إلى الأصرة S=O (sulfoxide) ، أما القمم بين ١٤٠٠-١٣٠٠ تشير إلى الأصرة الكاربوكسيلية H-C (أحماض كاربوكسيلية) ، أما القمة ١٥٤١.١٢ تشير إلى الأصرة N-O ، أما القمة ١٦٨٠.٠٠ تشير إلى الأصرة O-H (كحول). C=C (ألكين) ، أما القمة ٣٣٦٥.٧٨ تشير إلى الأصرة O-H (كحول).



الشكل (٧٥-٤) يوضح طيف الأشعة الحمراء لراشح الفطر *Trichophyton rubrum*

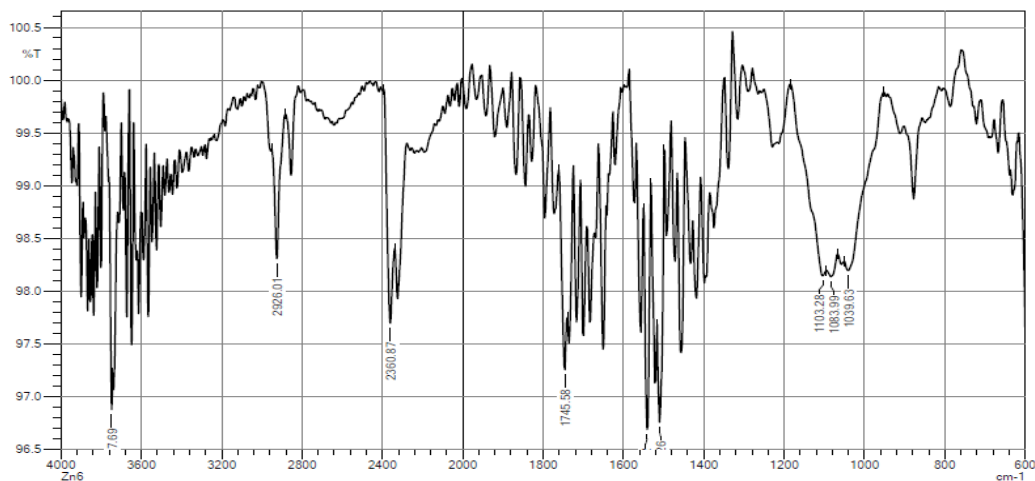
e. راشح الفطر *Aspergillus niger* كشف طيف الأشعة الحمراء عن وجود ستة قمم ١٢١٣.٢٣ ، ١٣٦٧.٥٣ ، ١٥٤١.١٢ ، ١٥٥١.٧٦ ، ١٤٦٧.٥٣ ، ٣٠٢٨.٢٤ كما موضح في الشكل (٧٦-٤) تشير القمة ١٢١٣.٢٣ إلى الأصرة O-H (أحماض كاربوكسيلية) ، أما القمة ١٣٦٧.٥٣ تشير إلى الأصرة S=O (sulfate) ، أما القمة ١٥٤١.١٢ تشير إلى الأصرة N-O (مركب نايتروجيني) ، أما الأصرة ١٦٥١.٧٦ تشير إلى الأصرة C=C (alkene) ، أما القمة ٣٠٢٨.٢٤ تشير إلى الأصرة C-H (ألكين متوسط القوة).



الشكل (76-4) يوضح طيف الأشعة الحمراء لراش الفطر *A. niger*

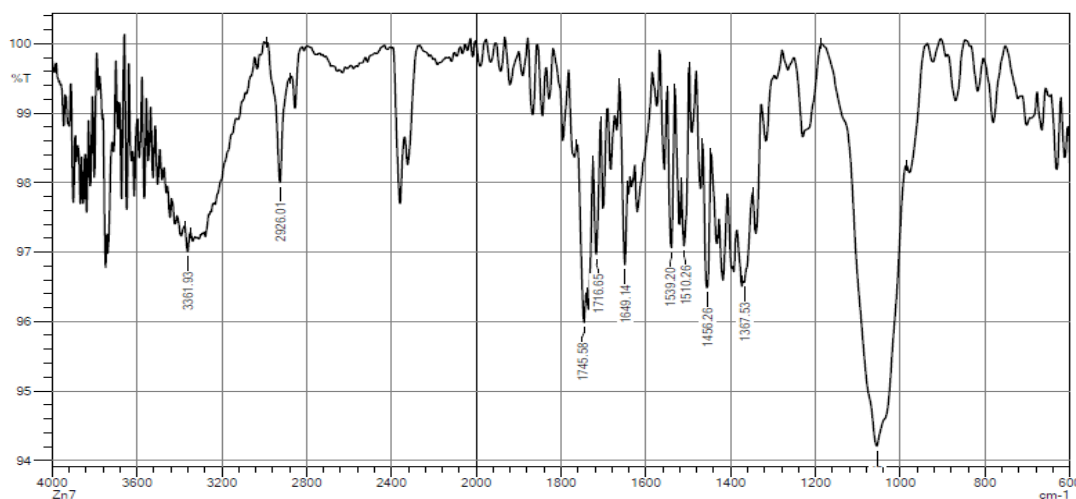
f. راش الفطر *Aspergillus piperis* كشف طيف الأشعة الحمراء عن وجود أربعة قمم ١١٠٣.٢٨ ، ١٧٤٥.٥٨ ، ٢٩٢٦.٠١ ، ٢٩٢٦.٠١ كما موضح في الشكل (٧٧-٤). تشير القمة ١١٠٣.٢٨ إلى الآصرة O-H (أحماض كاربوكسيلية) ، أما القمة ١٧٤٥.٥٨ تشير إلى الآصرة C=O (cyclopentanone) ، أما القمة ٢٩٢٦.٠١ تشير إلى الآصرة C

(ألكان) H



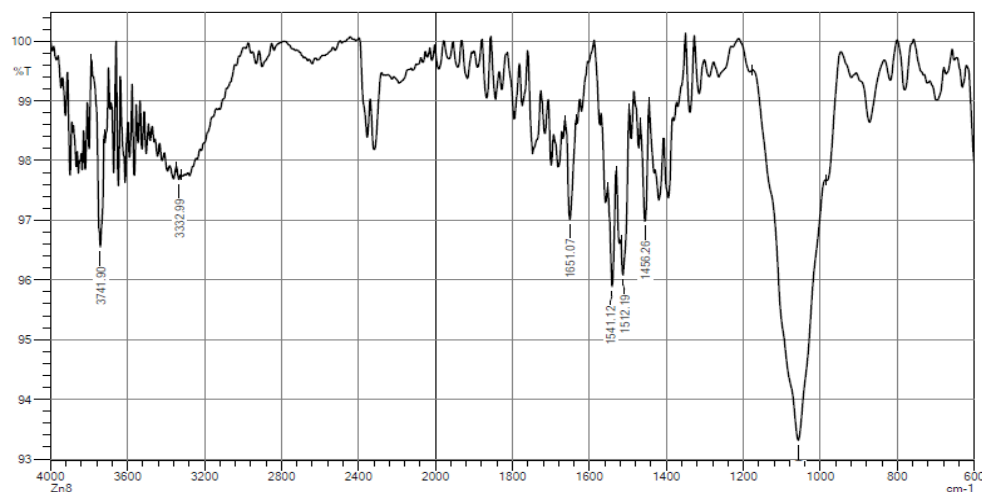
الشكل (77-4) يوضح طيف الأشعة الحمراء لراش الفطر *Aspergillus piperis*

g. راشح الفطر *Aspergillus brasiliensis* كشف طيف الأشعة الحمراء عن وجود سبعة قمم ١٣٦٧.٥٣ ، ١٤٥٦.٢٦ ، ١٥٣٩.٢٠ ، ١٦٤٩.١٤ ، ١٧٤٥.٥٨ ، ٢٩٢٦.٠١ ، ٣٣٦١.٩٣ سم - ١ كما موضح في الشكل (٧٨-٤)، تشير القمة ١٣٦٧.٥٣ إلى الأصرة C-H (الكان)، أما القمة ١٤٥٦.٢٦ تشير إلى الأصرة S=O (sulfonate)، أما القمة ١٥٣٩.٢٠ تشير إلى الأصرة N-O (مركبات نايتروجينية)، أما القمة ١٦٤٩.١٤ تشير إلى الأصرة C=C (الكين)، أما القمة ١٧٤٥.٥٨ تشير إلى الأصرة C=O (cyclopentanone)، أما القمة ٢٩٢٦.٠١ تشير إلى الأصرة O-H (حامض كاربوكسيلي)، أما القمة ٣٣٦١.٩٣ تشير إلى الأصرة O-H (حامض كاربوكسيلي).



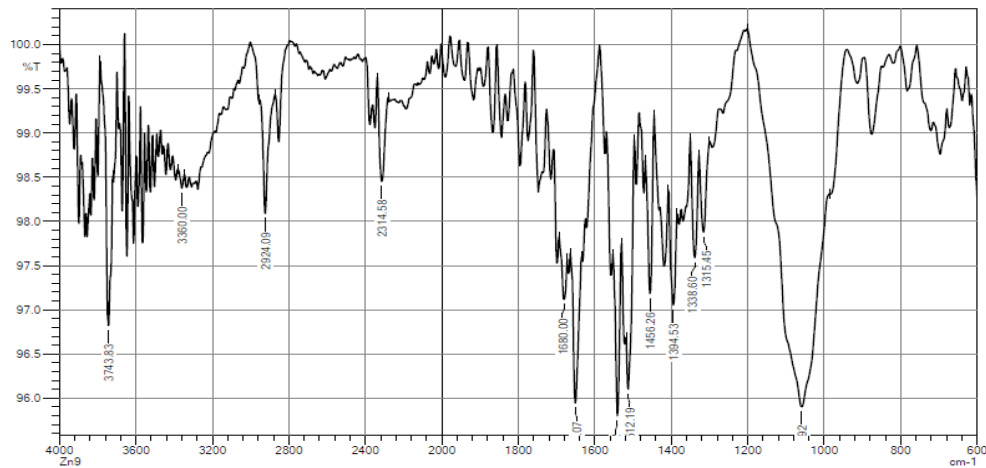
الشكل (٧٨-٤) يوضح طيف الأشعة الحمراء لراشح الفطر *A. brasiliensis*

h. راشح الفطر *Aspergillus minisclerotigenes* كشف طيف الأشعة الحمراء عن وجود أربعة قمم ١٤٥٦.٢٦ ، ١٥٤١.١٢ ، ١٦٥١.٠٧ ، ٣٧٤١.٩٠ سم - ١ كما موضح في الشكل (٧٩-٤). تشير القمة ١٤٥٦.٢٦ إلى الأصرة C-H (الكان)، أما القمة ١٥٤١.١٢ تشير إلى الأصرة N-O (مركبات نايتروجينية)، أما القمة ١٦٥١.٠٧ تشير إلى الأصرة C=C (cyclic alkene)، أما الأصرة ٣٧٤١.٩٠ تشير إلى الأصرة O-H (كحول).



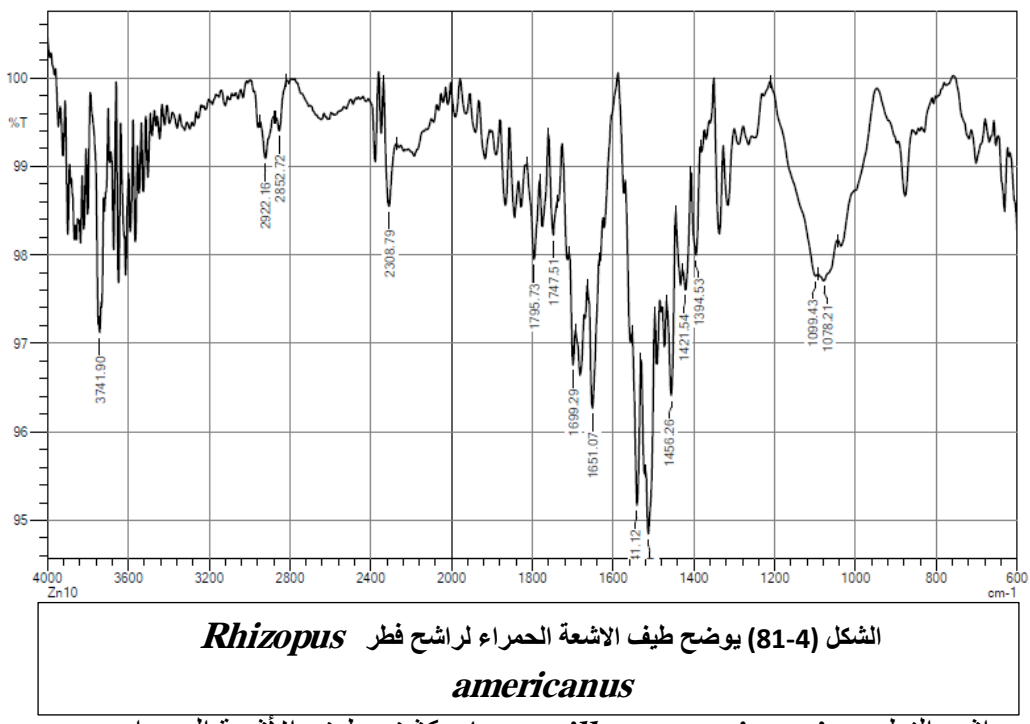
الشكل (79-4) يوضح طيف الأشعة الحمراء لراشح الفطر *Aspergillus minisclerotigenes*

i. راشح الفطر *Aspergillus oryza* كشف طيف الأشعة الحمراء عن وجود خمسة قمم رئيسية ٣٧٤٣.٨٣ ، ١٣٩٤.٥٣ ، ١٤٥٦.٢٦ ، ١٤٠٩.٠٠ ، ٢٢٢٤.٠٩ ، ١٦٨٠.٠٠ سم - ١ كما موضح في الشكل (80-4). تشير القمة ١٣٩٤.٥٣ إلى الأصرة O-H (فينول) ، أما القمة ١٤٥٦.٢٦ تشير إلى الأصرة C-H (ألكان) أما القمة ١٦٨٠.٠٠ تشير إلى الأصرة C=O (&-lactam) ، أما القمة ٢٢٢٤.٠٩ تشير إلى الأصرة -C=N- (أصرة ضعيفة) nitrile ، أما القمة ٣٧٤٣.٨٣ تشير إلى الأصرة O-H (كحول).

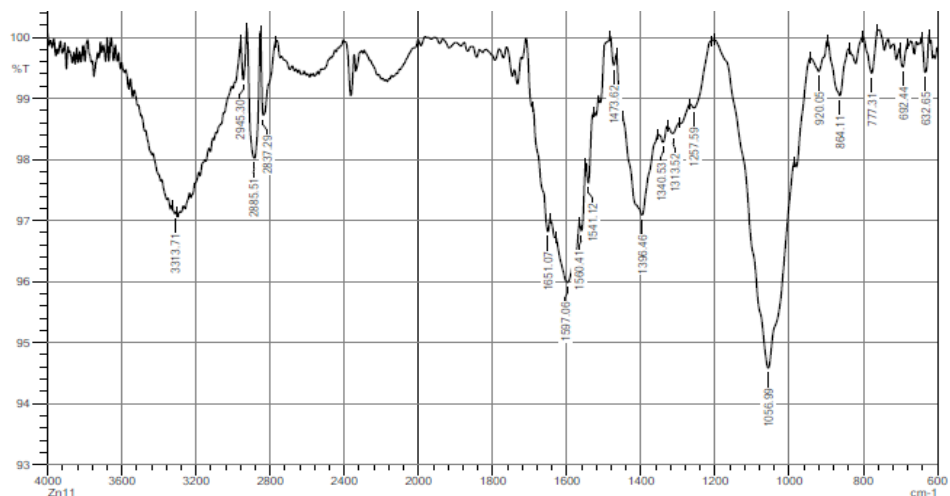


الشكل (80-4) يوضح طيف الأشعة الحمراء لراشح الفطر *Aspergillus oryza*

ز. راشح الفطر *Rhizopus americanus* كشف طيف الأشعة الحمراء عن وجود سبعة قمم ١٠٩٩.٤٣ ، ١٣٩٤.٥٣ ، ١٤٥٦.٢٦ ، ١٦٩٩.٢٩ ، ١٧٩٥.٧٣ ، ٢٩٢٢.١٦ ، ٣٧٤١.٩٠ سم - كما موضح في الشكل (٨١-٤). تشير القمة ١٣٩٤.٥٣ إلى الأصرة C-O (كحول ثانوي) ، القمة ١٠٩٩.٤٣ تشير إلى الأصرة H (فينول) ، القمة ١٤٥٦.٢٦ تشير إلى الأصرة C-H (ألكان) أما القمة ١٦٨٠.٠٠ تشير إلى الأصرة O=C (الديهيد) ، أما القمة ١٧٩٥.٧٣ تشير إلى الأصرة C=O (هاليد) ، أما القمة ٢٩٢٢.١٦ تشير إلى الأصرة C-H (ألكان) ، أما القمة ٣٧٤١.٩٠ تشير إلى الأصرة O-H (كحول).

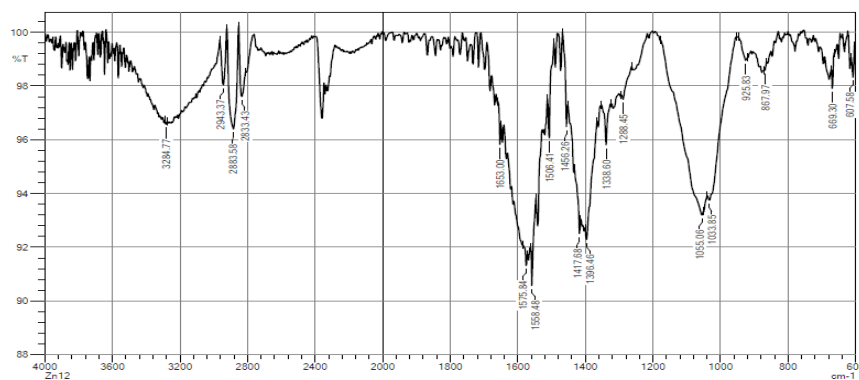


ـ k. راشح الفطر *Aspergillus costaricensis* كشف طيف الأشعة الحمراء عن وجود أحد عشر قمة ٦٩٢.٤٤ ، ٧٧٧.٣١ ، ٨٦٤.١١ ، ٩٢٠.٠٥ ، ١٠٥٦.٩٩ ، ١٢٥٧.٥٩ ، ١٣٩٦.٤٦ ، ١٤٧٣.٦٢ ، ١٥٩٧.٠٦ ، ١٦٥١.٠٧ ، ٢٩٤٥.٣٠ سم - ، كما موضح في الشكل (٨٢-٤). تشير الحزم من ٦٩٢.٤٤ إلى ٩٢٠.٠٥ إلى الأصرة C=C (ألكان) ، أما القمة ١٠٥٦.٩٩ تشير إلى الأصرة C-N (أمين) ، أما القمة ١٢٥٧.٥٩ تشير إلى الأصرة C-O (أستر أروماتي) ، أما القمة ١٣٩٦.٤٦ تشير إلى الأصرة H-O (كحول) ، أما القمم بين ١٤٠٠ و ١٥٩٧.٠٦ تشير إلى الأصرة N-O (مركب نايتروجيني) أما القمة ١٦٥١.٠٧ تشير إلى الأصرة C=C (ألكين) ، أما القمة ٢٩٤٥.٣٠ تشير إلى الأصرة N-H (ملح أميني) ، أما القمة ٣٣١٣.٧١ تشير إلى الأصرة N-H (أمين الفاتي أولي).



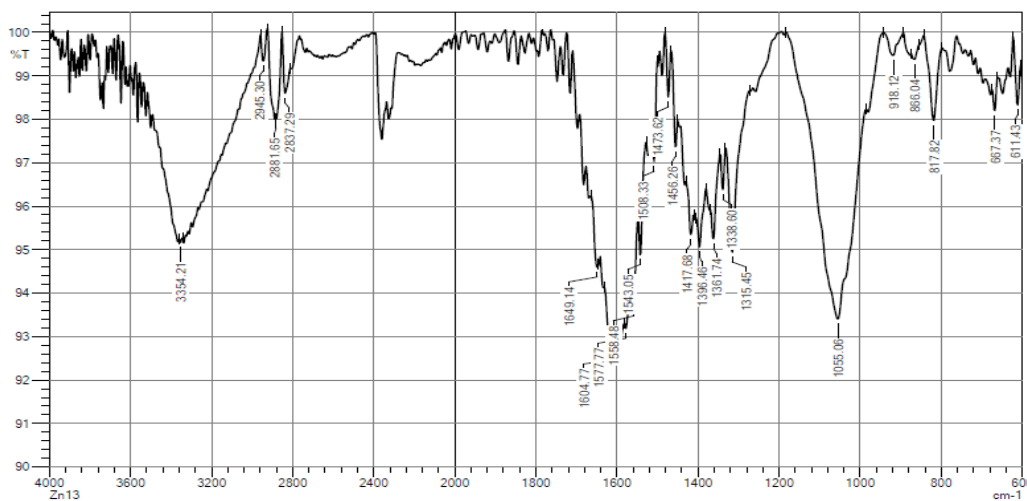
الشكل (82-4) يوضح طيف الاشعة الحمراء لراشح فطر *Aspergillus costaricensis*

1. راشح الفطر *Aspergillus tubingensis* كشف طيف الأشعة الحمراء عن وجود أحد عشر قمة ٦٦٩.٣٠ ، ٨٦٧.٩٧ ، ٩٢٥.٨٣ ، ١٠٥٥.٠٠ ، ١٢٨٨.٤٥ ، ١٣٩٦.٤٦ ، ١٤٥٦.٢٦ ، ١٥٧٥.٨٤ ، ١٦٥٣.٠٠ ، ٢٩٤٣.٣٧ ، ٣٢٨٤.٧٧ سم -
كما موضح في الشكل (٨٣-٤). القمم بين ٦٠٠ إلى ١٠٥٥.٠٠ تمثل أصارة C=C (الكانات) ، أما القمة ١٢٨٨.٤٥ تمثل الأصارة C-O (أستر) ، أما القمة ١٣٩٦.٤٦ تشير إلى الأصارة C-F (فلورايد) ، أما القمة ١٤٥٦.٢٦ تشير إلى الأصارة C=O (الديهايد) ، أما القمة ١٥٧٥.٨٤ تشير إلى الأصارة O=C (هاليد) ، أما القمة ٢٩٤٣.٣٧ تشير إلى الأصارة C-H (مركب أروماتي ضعيف) ، أما القمة ١٦٥٣.٠٠ تشير إلى الأصارة C-H (الديهايد) ، أما القمة ٣٢٨٤.٧٧ تشير إلى الأصارة O-H (كحول).



الشكل (4-83) يوضح طيف الاشعة الحمراء لراشح فطر *Aspergillus tubingensis*

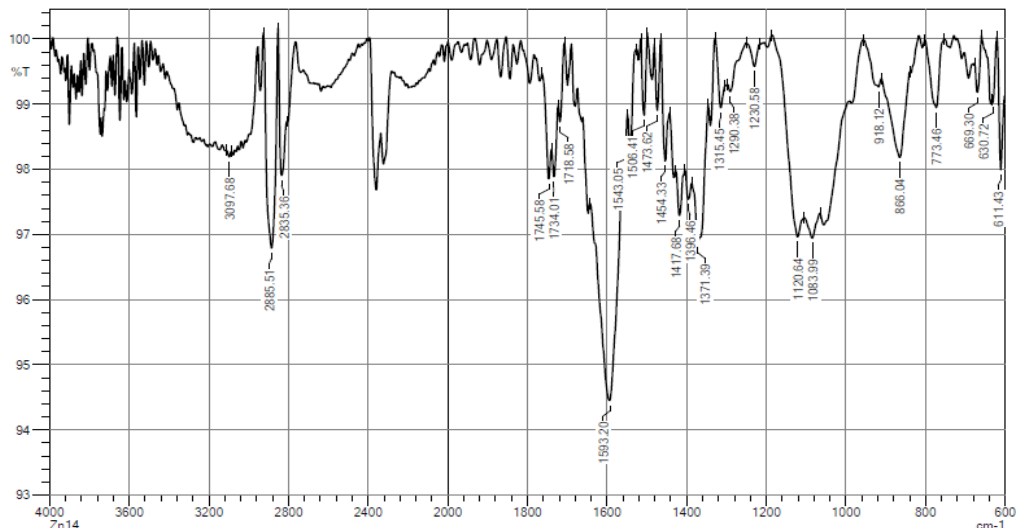
راشح الفطر m. كشف طيف الأشعة الحمراء عن وجود *Microsporum canis* عشرة قمم ، ٦٦٧.٣٧ ، ٨٦٦.٠٤ ، ٩١٨.١٢ ، ١٠٥٥.٠٦ ، ١٣٩٦.٦٢ ، ١٤٧٣.٦٢ ، ١٥٧٧.٧٧ ، ١٥٤٩.١٤ ، ٢٩٤٥.٣٠ ، ٣٣٥٤.٢١ ، ١٤٧٣.٦٢ ، ١٣٩٦.٤٦ ، ٨٤-٤) القمم بين ٦٠٠ إلى ١٠٥٥.٠٠ تمثل آصرة C=C (الكاثانات) ، أما القمة ١٤٧٣.٦٢ تشير إلى الآصرة C-F (فلورايد) ، أما القمة ١٤٧٣.٦٢ تشير إلى الآصرة C-O (أستر) ، أما القمة ١٥٧٧.٧٧ تشير إلى الآصرة C=C (cyclic alkyne) ، أما القمة ١٦٤٩.١٤ تشير إلى الآصرة C=C (ألكين) ، أما القمة ٢٩٤٥.٣٠ تشير إلى الآصرة C-H (ألكان) ، أما القمة ٣٣٥٤.٢١ تشير إلى الآصرة O-H (كحول) .



الشكل (٨٤-٤) يوضح طيف الأشعة الحمراء لراشح فطر *Microsporum canis*

راشح الفطر n. كشف طيف الأشعة الحمراء عن وجود ثلاثة عشر قمة ، ٦٦٩.٣٠ ، ٧٧٣.٤٦ ، ٨٦٨.٠٤ ، ٩١٨.١٢ ، ١١٢٠.٦٤ ، ١٢٩٠.٣٨ ، ١٣١٥.٤٥ ، ١٤٧٣.٦٢ ، ١٤٧٣.٦٢ ، ١٥٤٣.٥٥ ، ١٧٤٥.٥٨ ، ٢٨٨٥.٥١ ، ٣٠٩٧.٦٨ سم - ١ كما موضح في الشكل (٨٥-٤) . القمم بين ٦٠٠ إلى ١٠٥٥.٠٠ تمثل آصرة C=C (الكاثانات) ، أما القمة ١١٢٠.٦٤ تشير إلى الآصرة O-C-O (أستر) ، أما القمة ١٣١٥.٤٥ تشير إلى الآصرة N-O (مركب نايتروجيني) ، أما القمة ١٣١٥.٤٥ تشير إلى الآصرة C-N (أستر أروماتي) ، أما القمة ١٤٧٣.٦٢ تشير إلى الآصرة C-O-C (إيثر ألفاتي) ، أما القمة ١٥٤٣.٥٥ تشير إلى الآصرة C-H (ألكان) أما القمة ١٧٤٥.٥٨ تشير إلى

الآصرة C=O (كيتون ألفاتي) أما القمة ٢٨٨٥.٥١ تشير إلى الآصرة C-H (الديهيد) ، أما القمة ٣٠٩٧.٦٨ تشير إلى الآصرة H-٠ (كحول ضعيف).



الشكل (٤-٨٥) يوضح طيف الاشعة الحمراء لراشح فطر *-Epidermophyton floccosum*

٤.٣: تأثير تراكيز مختلفة من رواشح الفطريات بالزنك النانوي في معدل قطر (سم)

Rhizopus stolonifer

أوضحت النتائج في الجدول (٤-٨٦) والشكل (٤-٨٦) بوجود فروقات معنوية عند مستوى أحتمالية ٠.٥ لنوع مستخلص الفطر وتركيزه والتداخلات الثنائية في معدل قطر مستعمرة الفطر *Rhizopus stolonifer*. إذ أظهرت النتائج تذبذب في تأثير الرواشح ولكن بصورة عامة جميع الرواشح الفطرية ثبّطت نمو الفطر *Rhizopus* أما تركيز الراشح الفطري فقد أظهر التركيز ٢٥٪ تفوقاً على التراكيز ٥٠٪، ٧٥٪، ١٠٠٪ في تأثيره التثبيطي في نمو الفطر *Rhizopus* وبفروقات معنوية عند مستوى ٠.٥ إذ أعطى معدل نمو الفطر ٧.٠ سم وبنسبة تثبيطية ٩١٪ مقارنة ببقية التراكيز ٥٠٪، ٧٥٪، ١٠٠٪ التي أعطت معدل نمو للفطر ١.٣١٠، ١.٨٥٧، ١.٨٣٣ سم على التوالي وبنسبة تثبيطية مقدارها ٨٤٪، ٧٧٪، ٧٧٪. أما معاملة السيطرة فقد أعطت معدل نمو قطرى للفطر ٨.٠ سم.

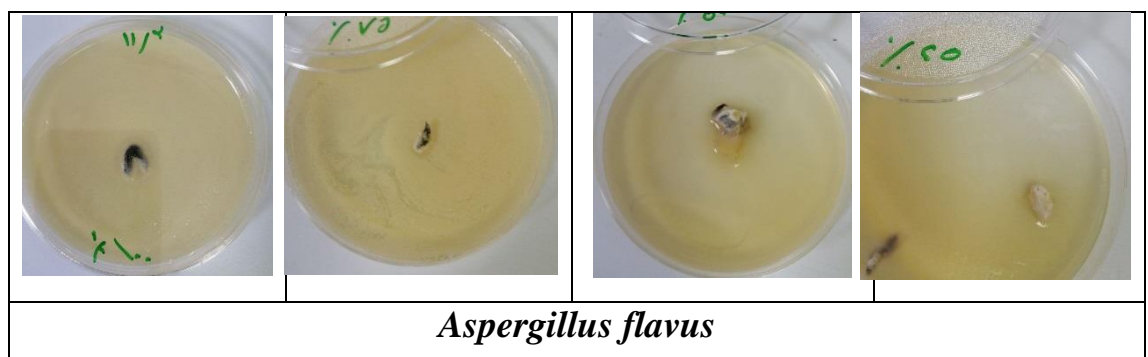
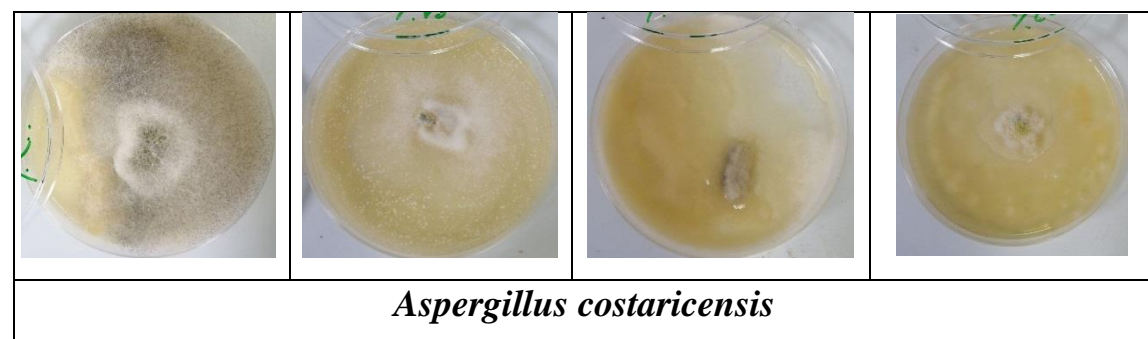
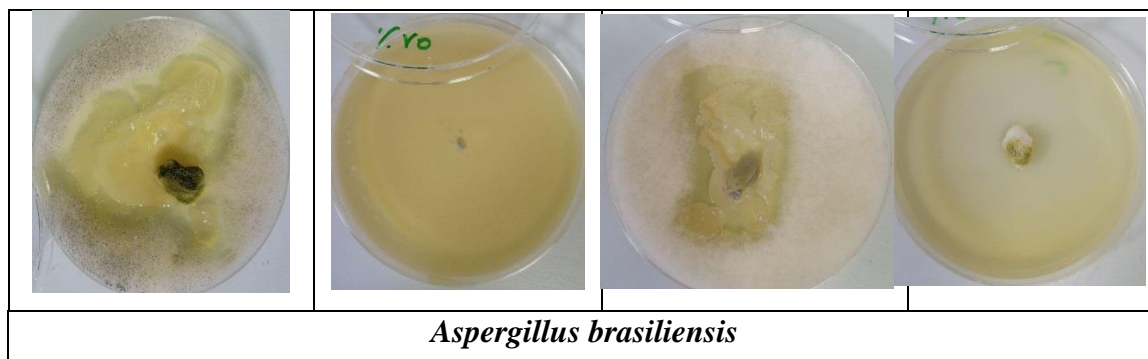
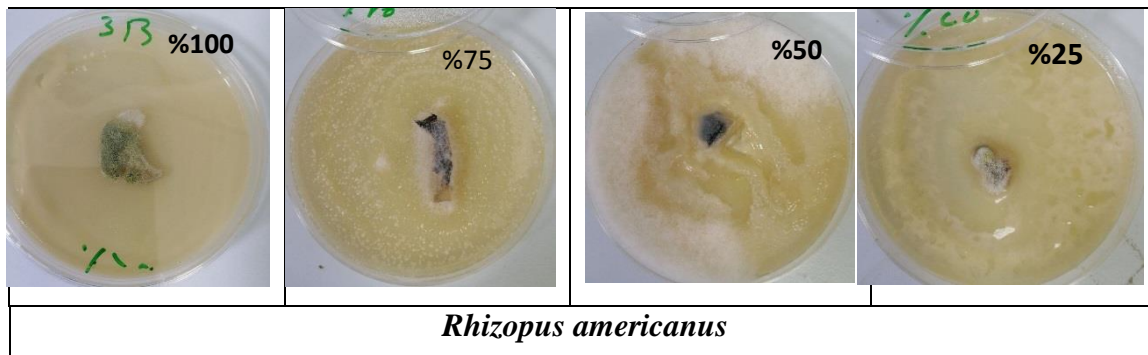
أما فيما يخص نوع الراشح الفطري وتركيزه أظهر *A. flavus* تفوقاً على بقية الرواشح في تأثيره على نمو الفطر *Rhizopus* فقد أعطى أقل معدل نمو للفطر وهو ١.٦٠٠ سم وبنسبة تثبيط ٨٠٪ إذ بلغ معدل نمو المستعمرة للفطر ٠ سم عند التراكيز ٥٠٪، ٧٥٪، ١٠٠٪، وراشح الفطر *A. oryzyna* أعطى معدل نمو ١.٨٠٠ سم وبنسبة تثبيطية ٧٨٪ إذ بلغ معدل نمو المستعمرة للفطر ٠.

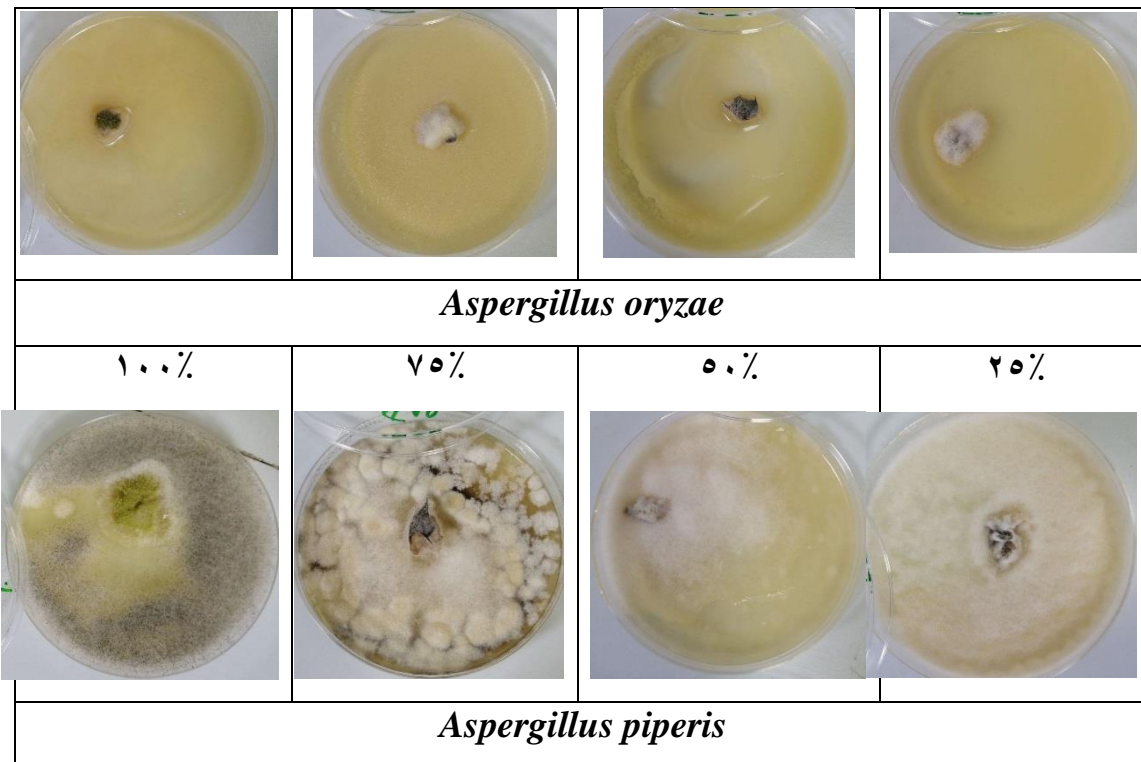
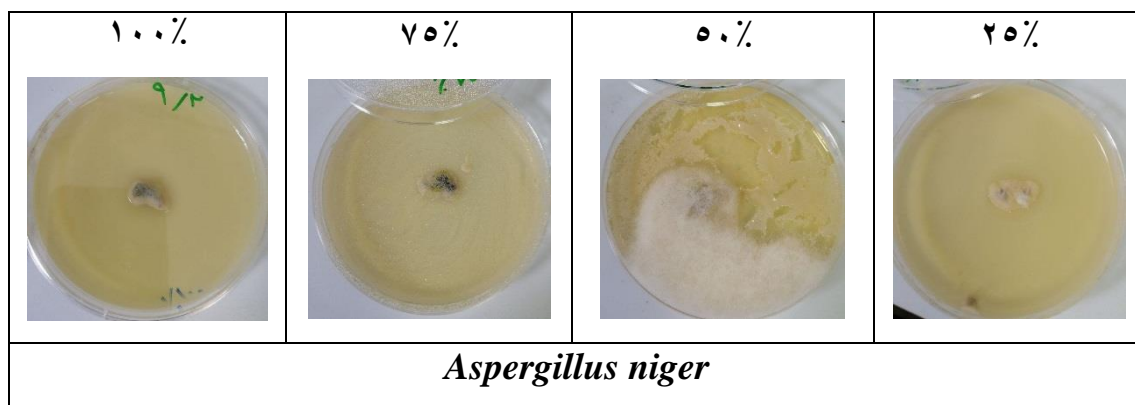
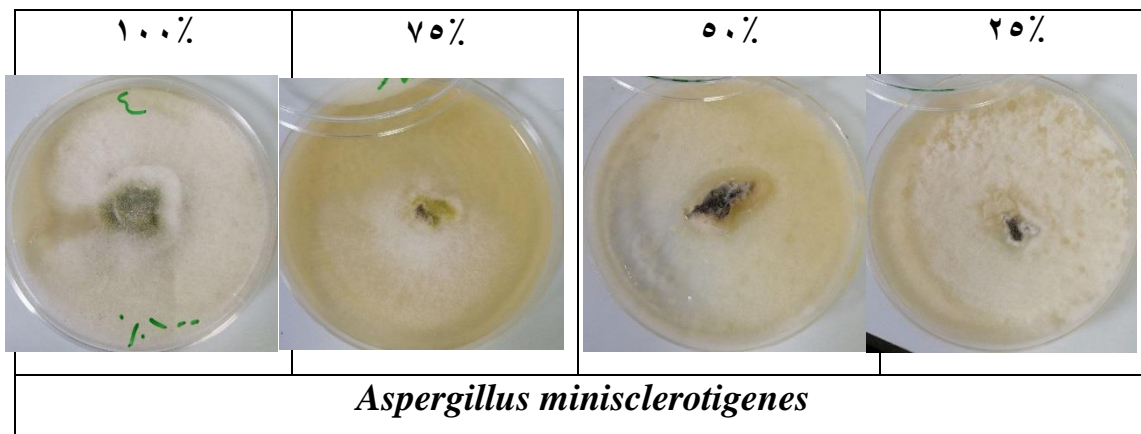
سم عند التراكيز ٢٥% و ٥٠% و ١٠٠% في حين التركيز ٧٥% أعطى معدل نمو ١ سم يأتي بالمرتبة الثالثة راشح الفطر *T. rubrum* بين الرواشح في تأثيراته التثبيطية إذ أعطت معدل نمو ٢ سم وبنسبة تثبيطية ٧٥% إذ بلغ معدل نمو المستعمرة للفطر ٠ سم عند التراكيز ٢٥% ، ٥٠% ، ١٠٠% أما التراكيز ٧٥% فقد بلغ معدل النمو ٢. سم . أما راشح الفطر *welwitschiae* أعطى معدل نمو ٠.٦٧ سم وبنسبة تثبيط ٧٤% فقد بلغ معدل نمو مستعمرة الفطر ٠ سم عند التراكيز ٥٠% ، ١٠٠% في حين التركيز ٢٥% و ٧٥% أعطى معدل نمو للفطر ١ سم و ١.٣٣٣ سم على التوالي، أما الفطر *M. canis* فقد أعطى معدل نمو ٢.٠٠ سم وبنسبة تثبيطية ٨٤% فقد بلغ معدل قطر المستعمرة للفطر ٠ سم عند التراكيز ٥٠% و ١٠٠% في حين أن التراكيز ٢٥% و ٧٥% أعطت معدل نمو للفطر ٢ سم و ١ سم على التوالي ،وكذلك راشح الفطر *A. niger* أعطى معدل نمو ٢.٥٣٣ سم وبنسبة تثبيطية ٦٨% إذ بلغ معدل نمو المستعمرة للفطر ٠ سم عند التراكيز ١٠٠% أما التراكيز ٢٥% ، ٥٠% ، ٧٥% فقد بلغ معدل النمو ١.٢٦٧ ، ٢.٦٦٧ ، ١ سم على التوالي. وراشح الفطر *Epidermophyton floccosum* فإن معدل قطر المستعمرة للفطر ٢.٦٠٠ سم وبنسبة تثبيط ٦٨% إذ بلغ معدل قطر المستعمرة ٠ سم عند التراكيز ٢٥% في حين أن التراكيز ٥٠% و ٧٥% و ١٠٠% أعطت معدل نمو للمستعمرة ١ و ٢.٣٣٣ و ١ سم على التوالي . أما راشح الفطر *A. minisclerotigene* الذي أعطى معدل نمو ٢.٧٣٣ سم وبنسبة تثبيطية ٦٦% إذ بلغ معدل قطر المستعمرة ٠ سم عند التراكيز ٢٥% في حين يبلغ معدل قطر المستعمرة عند التراكيز ٥٠% و ٥٠% و ١٠٠% بلغ ٠.٣٣٣ و ٢.٣٣٣ و ٣ سم على التوالي، وراشح الفطر *A. tubigensis* إذ أعطى معدل نمو ٢.٨٠٠ سم وبنسبة تثبيط ٦٥% بلغ معدل قطر المستعمرة للفطر ٠ سم عند التراكيز ٢٥% في حين بلغ معدل قطر المستعمرة عند التراكيز ٥٠% و ٧٥% و ١٠٠% س ٢.٦٦٧ و ٢.٣٣٣ و ١ سم على التوالي ، وراشح الفطر *R. americanus* أعطى معدل نمو ٢.٨٠٠ سم وبنسبة تثبيطية ٦٥% بلغ معدل قطر مستعمرة الفطر ٠ سم عند التراكيز ١٠٠% أما التراكيز ٢٥% ، ٥٠% ، ٧٥% فبلغ معدل قطر المستعمرة ٢.٣٣٣ و ٢.٣٣٣ و ١.٣٣٣ سم على التوالي . أما راشح الفطر *A. costaricensis* أعطى معدل نمو ٢.٣٣٣ سم وبنسبة تثبيطية ٥٨% فقد بلغ معدل نمو المستعمرة للفطر ٠ سم عند التراكيز ٥٠% ، ٤٠% ، ٣.٤٠% ، ٣.٣٣٣ سم على التوالي . أما راشح الفطر *M. gypseum* أعطى معدل نمو ٣.٧٣٣ سم وبنسبة تثبيطية ٥٣% إذ بلغ معدل قطر المستعمرة ٠ سم عند التراكيز ٢٥% ، ٥٠% ، ٧٥% ، ١٠٠% ، بلغ ١.٣٣٣ سم و ١ سم و ٦.٦٦٧ سم على التوالي . أما راشح الفطر *A. brasiliensis* أعطى معدل نمو ٥.٦٦٧ سم على التوالي . أما راشح الفطر *A. brasiliensis* أعطى معدل نمو ٤.١٥ سم وبنسبة تثبيطية ٥٣% إذ بلغ معدل قطر المستعمرة ١.٤١ سم عند التراكيز

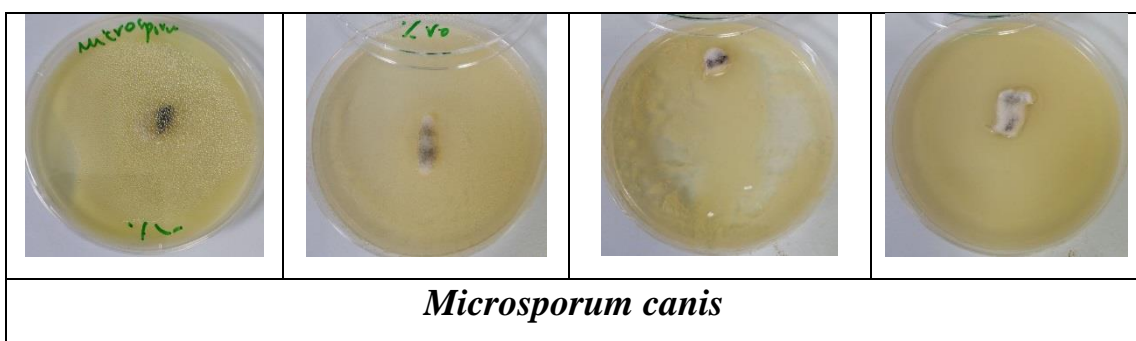
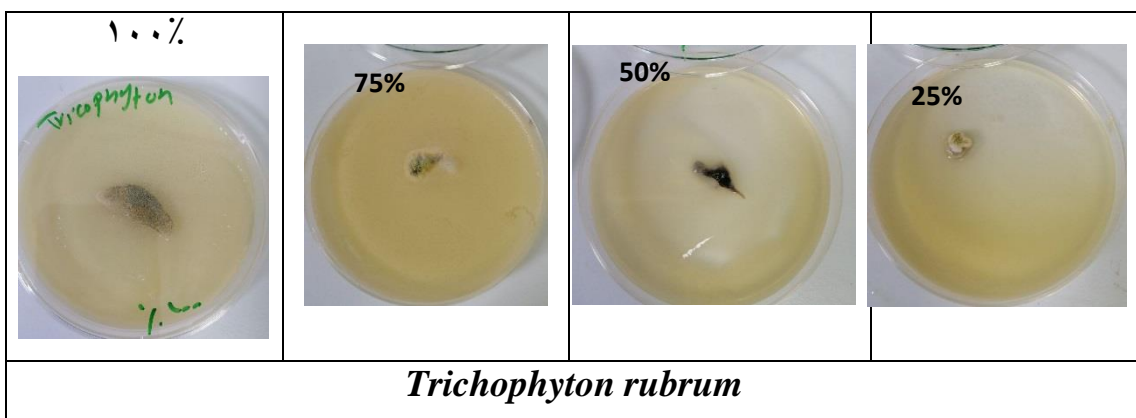
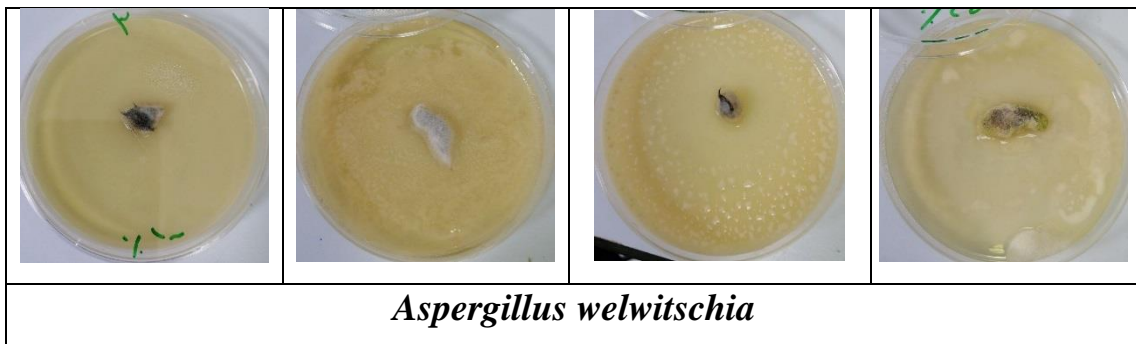
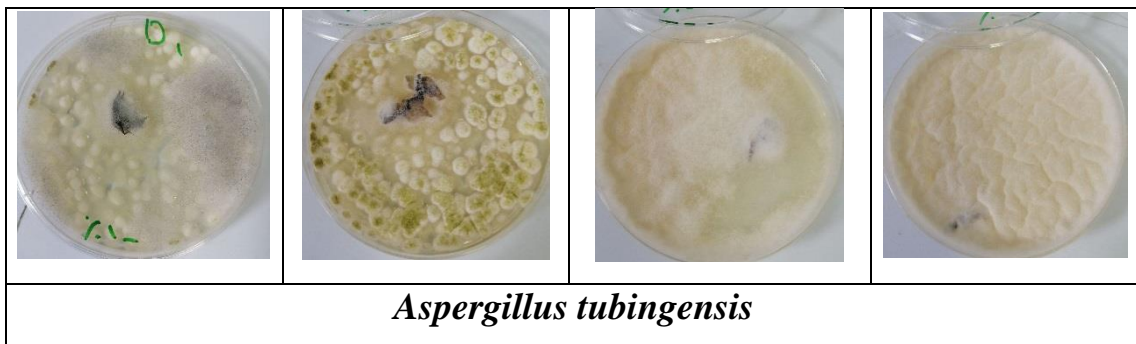
٢٥٪، ٥٠٪، ٧٥٪، ١٠٠٪ على التوالى . أما راشح الفطر *A.piperis* أعطى معدل نمو ٤٠٠ سم وبنسبة تثبيطية ٤٥٪ فبلغ أقل معدل نمو للفطر ١ سم عند التركيز ٢٥٪ أما التراكيز ٥٠٪ و ٧٥٪ فبلغ قطر المستمرة ٣٦٧، ٤٣٣، ٥ سم على التوالى .

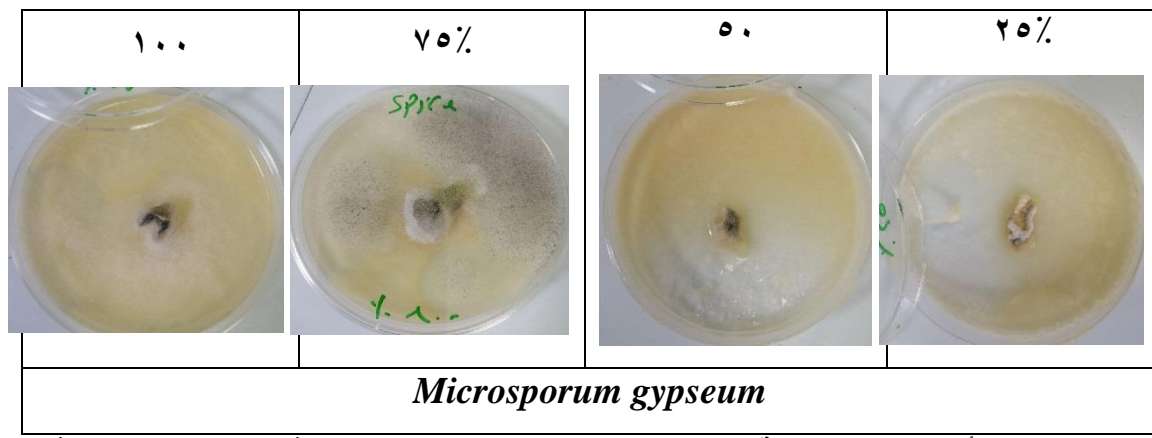
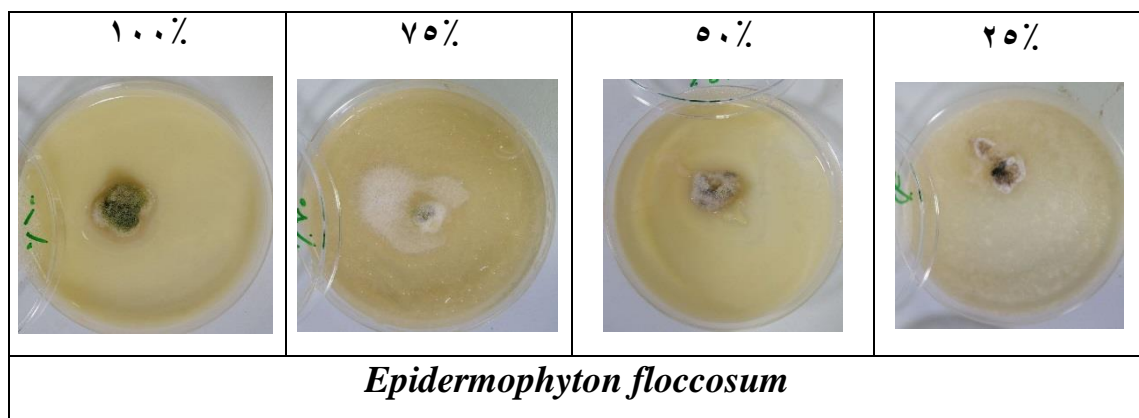
الجدول (٤-٥) : تأثير تراكيز مختلفة من روائح الفطريات بالزنك النانوى في معدل قطر (سم) والنسبة المئوية لتثبيط الفطر *Rhizopus stolonifer* بدرجة حرارة حرارة ٢٨°C لمدة خمسة أيام .

التركيز	نوع الفطر										المعدل
	١٠٠	٧٥	٥٠	٢٥	٠	١٠٠	٧٥	٥٠	٢٥	٠	
النسبة المئوية للتثبيط	قطر المستمرة (سم)	النسبة المئوية للتثبيط	قطر المستمرة (سم)	النسبة المئوية للتثبيط	قطر المستمرة (سم)	النسبة المئوية للتثبيط	قطر المستمرة (سم)	النسبة المئوية للتثبيط	قطر المستمرة (سم)	النسبة المئوية للتثبيط	
٦٥	٢.٨٠٠	١٠٠	٠.٠٠٠	٨٣	١.٣٣٣	٧١	٢.٣٣٣	٧١	٢.٣٣٣	٠.٠	٨.٠٠٠
٥٣	٣.٨٠٠	٥٠	٤.٠٠٠	٨٨	١.٠٠٠	٣٨	٥.٠٠٠	٨٨	١.٠٠٠	٠.٠	٨.٠٠٠
٥٨	٣.٤٠٠	١٧	٦.٦٦٧	٨٨	١.٠٠٠	١٠٠	٠.٠٠٠	٨٣	١.٣٣٣	٠.٠	٨.٠٠٠
٨٠	١.٦٠٠	١٠٠	٠.٠٠٠	١٠٠	٠.٠٠٠	١٠٠	٠.٠٠٠	١٠٠	٠.٠٠٠	٠.٠	٨.٠٠٠
٦٦	٢.٧٣٣	٦٣	٣.٠٠٠	٧١	٢.٣٣٣	٩٦	٠.٣٣٣	١٠٠	٠.٠٠٠	٠.٠	٨.٠٠٠
٦٨	٢.٥٣٣	١٠٠	٠.٠٠٠	٨٨	١.٠٠٠	٦٧	٢.٦٦٧	٨٨	١.٠٠٠	٠.٠	٨.٠٠٠
٧٨	١.٨٠٠	١٠٠	٠.٠٠٠	٨٨	١.٠٠٠	١٠٠	٠.٠٠٠	١٠٠	٠.٠٠٠	٠.٠	٨.٠٠٠
٤٥	٤.٤٠٠	٥٤	٣.٦٦٧	٣٨	٥.٠٠٠	٤٦	٤.٣٣٣	٨٨	١.٠٠٠	٠.٠	٨.٠٠٠
٦٥	٢.٨٠٠	٧١	٢.٣٣٣	٨٨	١.٠٠٠	٦٧	٢.٦٦٧	١٠٠	٠.٠٠٠	٠.٠	٨.٠٠٠
٧٤	٢.٠٦٧	١٠٠	٠.٠٠٠	٨٣	١.٣٣٣	١٠٠	٠.٠٠٠	٨٨	١.٠٠٠	٠.٠	٨.٠٠٠
٧٥	٢.٠٠٠	١٠٠	٠.٠٠٠	٧٥	٢.٠٠٠	١٠٠	٠.٠٠٠	١٠٠	٠.٠٠٠	٠.٠	٨.٠٠٠
٧٣	٢.٢٠٠	١٠٠	٠.٠٠٠	٨٨	١.٠٠٠	١٠٠	٠.٠٠٠	٧٥	٢.٠٠٠	٠.٠	٨.٠٠٠
٦٨	٢.٦٠٠	٨٨	١.٠٠٠	٧١	٢.٣٣٣	٨٨	١.٠٠٠	٩٢	٠.٦٧٧	٠.٠	٨.٠٠٠
٥٣	٣.٧٣٣	٣٨	٥.٠٠٠	٢٩	٥.٦٦٧	١٠٠	٠.٠٠٠	١٠٠	٠.٠٠٠	٠.٠	٨.٠٠٠
		٧٧	١.٨٣٣	٧٧	١.٨٥٧	٨٤	١.٣١٠	٩١	٠.٧٣٨	٠.٠	٨.٠٠٠
معدل تأثير التركيز											
للفطر : ٤٥١١ ، التداخل الثنائي : ٠٢٦٩٦ ، التركيز : ٠٠٠٨٧											
L.S.D...٥											









الشكل (٤) تأثير تراكيز مختلفة من روашح الفطريات بالزنك النانوي في معدل قطر (سم) في نمو *Rhizopus stolonifer* درجة حرارة ٢٨ درجة مئوية لمدة خمسة أيام .

٦-٤: تأثير تراكيز مختلفة من رواشح الفطريات بالفضة النانوية في معدل قطر (سم) *Rhizopus stolonifer*

أظهرت النتائج في الجدول(٦-٤) المدرج أدناه هناك فروقات معنوية عند مستوى أحتمالية ٠.٠٥ لنوع راوش الفطر وتركيزه ،أظهرت النتائج تذبذب تأثير الرواوش لكن بصورة عامة جميعها ثبتت نمو الفطر *R. stolonifer* إذ أن ترکیز الراشح الفطري النانوي أظهر الترکیز ٥٠٪ تفوقا على التراکیز ١٠٠، ٧٥٪، ٢٥٪ في تأثیره التثبیطي على نمو *Rhizopus* وبفروقات معنوية عند مستوى أحتمالية ٠.٠٥ . إذ أعطى معدل نمو الفطر ٢.٤٠٥ سم وبنسبة تثبیطية ٧٠٪ مقارنة ببقية التراکیز التي أعطت معدل نمو ٨، ٢.٧١٤، ٥ سم على التوالي وبنسب تثبیط صفر ، ٦٦، ٣٨٪ على التوالي مقارنة بمعاملة السيطرة فقد أعطت معدل نمو قطری ٨.٠ سم

وأظهر نوع الراشح الفطري للفطر *Microsporum gypseum* تفوقا على بقية الرواوش في تأثیره على نمو الفطر *Rhizopus* فقد أعطى أقل معدل نمو للفطر وهو ٣.٧٣٣ سم وبنسبة تثبیط ٥٣٪ إذ بلغ معدل نمو المستعمرة صفر عند التركيز ٧٥٪ وبنسبة تثبیط ١٠٠٪ و ٦٧.٠ سم عند التركيز

١٠٠ % و ٨ سم عند التركيز ٢٥ % وبنسبة تثبيطية ٩٢ % و صفر على التوالي و يليه بالمرتبة الثانية راشح الفطر النانوي *Epidermophyton floccosum* إذ أعطى معدل نمو ٤.٤٠٠ سم وبنسبة تثبيط ٤٥ % بلغ معدل قطر المستعمرة صفر عند التركيز ١٠٠ % وبنسبة ١٠٠ %، وكانت معدلات النمو لباقي التراكيز ٤، ٢، ٨، ٢٠، ٧٥، ٥٠، ٢٥، ٥٠٪ على التوالي وبنسبة تثبيط ٧٥٪، ٥٥٪، ٧٥٪، صفر على التوالي ، يليه بالمرتبة الثالثة راشح الفطر *Trichophyton rubrum* إذ أعطى معدل نمو ٦٠٠ سم وبنسبة تثبيط ٤٣٪ وكان معدلات نمو المستعمرات ١، ١، ٥، ٨ سم عند التراكيز ٤.٦٠٠ سم وبنسبة ١٠٠٪، ٧٥٪، ٥٠٪، ٢٥٪ على التوالي وبنسبة تثبيط ٨٨٪، ٣٨٪، ٨٨٪، ١٠٠٪، ٧٥٪، ٥٠٪، ٢٥٪ على التوالي ، صفر على التوالي ، يليه بالمرتبة الرابعة راشح الفطر *Aspergillus piperis* إذ أعطى معدل نمو ٤.٨٠٠ سم وبنسبة تثبيط ٤٠٪ وكان معدلات نمو المستعمرات ٨، ٣، ٢، ٣ سم للتراكيز ٤٠٪، ٢٥٪، ٥٠٪، ٧٥٪، ١٠٠٪ على التوالي وبنسبة تثبيط صفر ، ٦٣٪، ٧٥٪، ٦٣٪، ٥٠٪، ٢٥٪ على التوالي ، يلي ذلك الراشح الفطري *Aspergillus minisclerotigenes* إذ أعطى معدل نمو ٤.٩٣٣ سم وبنسبة تثبيط ٣٨٪ وكان معدل نمو المستعمرات ٨، ٣، ٤، ٦٦٧ سم للتراكيز ٢٥٪، ٥٠٪، ٧٥٪، ١٠٠٪ على التوالي . ٧٥٪، ١٠٠٪، ٧٥٪ على التوالي وبنسبة تثبيط صفر ٦٣٪، ٥٠٪، ٧٩٪ على التوالي .

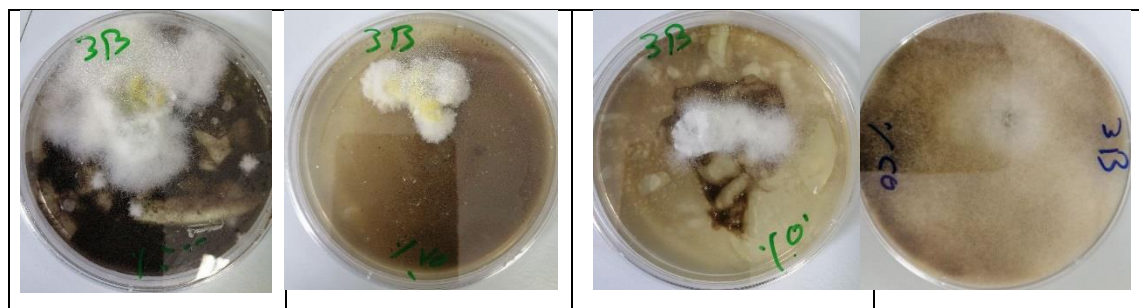
وأعطى الراشح الفطري *Rhizopus americanus* معدل نمو ٠.٦٧ سم وبنسبة تثبيط ٣٧٪ وكان معدلات نمو المستعمرات ٨، ٤، ٣، ٢، ٣، ٢٠٪ على التوالي وبنسبة تثبيط ٢٥٪، ٥٠٪، ٧٥٪، ١٠٠٪ على التوالي وبنسبة تثبيط بلغت صفر ، ٦٣٪، ٤٦٪، ٧٥٪ على التوالي ، الراشح الفطري *Microsporum canis* أعطى معدل نمو ٤.٠٠ سم وبنسبة تثبيط ٣٣٪ وكان معدل نمو المستعمرات ٨، ٢، ١، ٢، ٨، ١٠٪ على التوالي وبنسبة تثبيط ٢٥٪، ٥٠٪، ٧٥٪، ١٠٠٪ على التوالي وبنسبة تثبيط صفر ، ٨٠٪، ٦٣٪، ٨٠٪ على التوالي ، الراشح الفطري *Aspergillus welwitschiae* أعطى صفر ، ٨٨٪، ٧٥٪، صفر على التوالي ، والراشح الفطري *Aspergillus welwitschiae* أعطى معدل نمو ٥.٦٠٠ سم وبنسبة تثبيط ٣٠٪ وكان معدل نمو المستعمرات ٨، ٢، ٢، ٨ سم للتراكيز ٢٥٪، ٥٠٪، ٧٥٪، ١٠٠٪ على التوالي وبنسبة تثبيط صفر ، ٧٥٪، ٧٥٪، ٥٠٪، ٢٥٪، ٧٥٪، ١٠٠٪ على التوالي ، وأن الراشح الفطري *Aspergillus niger* كانت النتيجة مشابهة للفطر *Aspergillus welwitschiae* إذ بلغ معدل النمو ٥.٦٠٠ سم وكانت نسبة التثبيط ٣٠٪ وكان معدل نمو المستعمرات ٨، ٢، ١، ٣، ٨، ١٠٪ على التوالي وبنسبة تثبيط صفر ، ٦٣٪، ٨٨٪، صفر والراشح الفطري *Aspergillus flavus* كان معدل النمو للمستعمرة ٥.٦٦٧ سم وبنسبة تثبيط ٢٩٪ وكان معدل نمو المستعمرات ٨، ٢، ٢، ٨ سم للتراكيز ٢٥٪، ٥٠٪، ٦٦٪ على التوالي وبنسبة تثبيط صفر ، ٧١٪، ٧٥٪، ٥٠٪، ٧٥٪، ١٠٠٪ على التوالي ، الراشح الفطري *Aspergillus costaricensis* أعطى معدل نمو المستعمرة ٥.٧٣٣ سم وبنسبة تثبيط ٢٨٪ وكان معدل نمو المستعمرات ٨، ٢، ٢، ٨ سم للتراكيز ٢٥٪، ٥٠٪، ٧٥٪، ١٠٠٪ على التوالي

وبنسبة تثبيط صفر ، ٦٧٪ ، ٧٥٪ ، ٦٧٪ ، صفر ونتيجة الراشح الفطري *Aspergillus oryzae* مشابهة للفطر *Aspergillus costaricensis* أذ كان معدل النمو ٥.٧٣٣ سم وبنسبة تثبيط ٢٨٪ وكان معدل نمو المستعمرات ٨، ٥، ٤.٣٣٣، ٤.٣٣٣ سم للتراكيز ١٠٠٪ ، ٧٥٪ ، ٥٠٪ ، ٢٥٪ على التوالي وبنسبة تثبيط صفر ، ٣٨٪ ، ٤٦٪ ، ٥٨٪ ، ٥٩٪ ، والراشح الفطري *A.brasiensis* أعطى معدل نمو ٥.٨٦٧ سم وبنسبة تثبيط ٢٧٪ وكان معدل نمو المستعمرات ٨، ٤.٣٣٣، ١، ٨ سم للتراكيز ١٠٠٪ ، ٧٥٪ ، ٥٠٪ ، ٢٥٪ على التوالي وبنسبة تثبيط صفر ، ٨، ٣، ٣ سم للتراكيز ١٠٠٪ ، ٧٥٪ ، ٥٠٪ ، ٢٥٪ والراشح الفطري *Aspergillus tubigensis* كان معدل النمو ٦.٠٠٠ سم وبنسبة تثبيط ٢٥٪ وكان معدل نمو المستعمرات ٨، ٨، ٣، ٣ سم للتراكيز ١٠٠٪ ، ٧٥٪ ، ٥٠٪ ، ٢٥٪ على التوالي وبنسبة تثبيط صفر ، ٦٣٪ ، ٦٣٪ ، صفر .

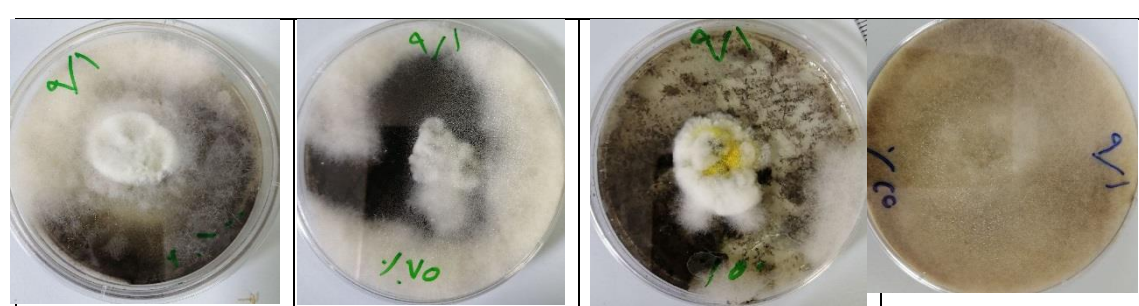
الجدول (٤-٦) : تأثير تراكيز مختلفة من رواشح الفطريات بالفضة النانوية في معدل قطر (سم) والنسبة المئوية لتثبيط الفطر *Rhizopus stolonifer* بدرجة حرارة حرارة ٢٨ ° م لمدة خمسة أيام.

نوع الفطر	التركيز	المعدل									
		١٠٠	٧٥	٥٠	٢٥	٠	١٠٠	٧٥	٥٠	٢٥	٠
النسبة المئوية للثبيط	قطر المستعمرة (سم)	النسبة المئوية للثبيط	قطر المستعمرة (سم)	النسبة المئوية للثبيط	قطر المستعمرة (سم)	النسبة المئوية للثبيط	قطر المستعمرة (سم)	النسبة المئوية للثبيط	قطر المستعمرة (سم)	النسبة المئوية للثبيط	قطر المستعمرة (سم)
<i>Rhizopus americanus</i>	٣٧	٥.٦٧	٤٦	٤.٣٣٣	٦٣	٣.٠٠٠	٧٥	٢.٠٠٠	٠٠	٨.٠٠٠	٠٠
<i>A.brasiensis</i>	٢٧	٥.٨٦٧	٠	٨.٠٠٠	٤٦	٤.٣٣٣	٨٨	١.٠٠٠	٠٠	٨.٠٠٠	٠٠
<i>A.costaricensis</i>	٢٨	٥.٧٣٣	٠	٨.٠٠٠	٧٥	٢.٠٠٠	٦٧	٢.٦٦٧	٠٠	٨.٠٠٠	٠٠
<i>Aspergillus flavus</i>	٢٩	٥.٦٦٧	٠	٨.٠٠٠	٧١	٢.٣٣٣	٧٥	٢.٠٠٠	٠٠	٨.٠٠٠	٠٠
<i>A. minisclerotigenes</i>	٣٨	٤.٩٣٣	٧٩	١.٦٦٧	٥٠	٤.٠٠٠	٦٣	٣.٠٠٠	٠٠	٨.٠٠٠	٠٠
<i>Aspergillus niger</i>	٣٠	٥.٦٠٠	٠	٨.٠٠٠	٨٨	١.٠٠٠	٦٣	٣.٠٠٠	٠٠	٨.٠٠٠	٠٠
<i>Aspergillus oryzae</i>	٢٨	٥.٧٣٣	٥٨	٣.٣٣٣	٤٦	٤.٣٣٣	٣٨	٥.٠٠٠	٠٠	٨.٠٠٠	٠٠
<i>Aspergillus piperis</i>	٤٠	٤.٨٠٠	٦٣	٣.٠٠٠	٧٥	٢.٠٠٠	٦٣	٣.٠٠٠	٠٠	٨.٠٠٠	٠٠
<i>Aspergillus tubigensis</i>	٢٥	٦.٠٠٠	٠	٨.٠٠٠	٦٣	٣.٠٠٠	٦٣	٣.٠٠٠	٠٠	٨.٠٠٠	٠٠
<i>A.welwitschiae</i>	٣٠	٥.٦٠٠	٠	٨.٠٠٠	٧٥	٢.٠٠٠	٧٥	٢.٠٠٠	٠٠	٨.٠٠٠	٠٠
<i>Trichophyton rubrum</i>	٤٣	٤.٦٠٠	٨٨	١.٠٠٠	٣٨	٥.٠٠٠	٨٨	١.٠٠٠	٠٠	٨.٠٠٠	٠٠
<i>Microsporum</i>	٣٣	٥.٤٠٠	٠	٨.٠٠٠	٨٨	١.٠٠٠	٧٥	٢.٠٠٠	٠٠	٨.٠٠٠	٠٠

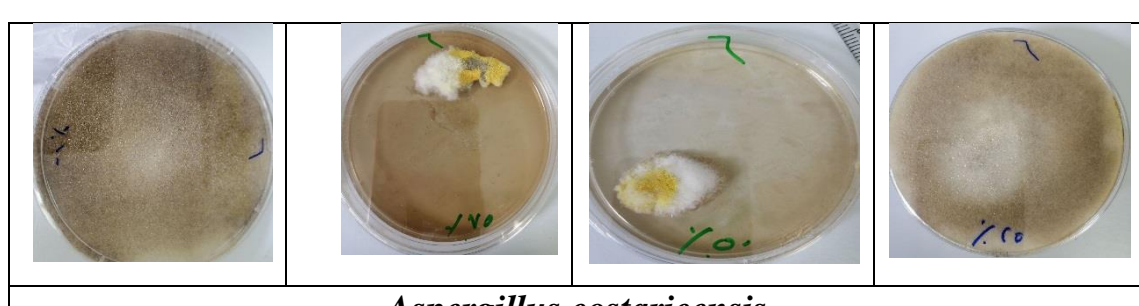
													<i>canis</i>
٤٥	٤.٤٠٠	١٠٠	٠.٠٠٠	٥٠	٤.٠٠٠	٧٥	٢.٠٠٠	٠٠	٨.٠٠٠	٠٠	٨.٠٠٠		<i>Epidermophyton floccosum</i>
٥٣	٣.٧٣٣	٩٢	٠.٦٦٧	١٠٠	٠.٠٠٠	٧٥	٢.٠٠٠	٠٠	٨.٠٠٠	٠٠	٨.٠٠٠		<i>Microsporum gypseum</i>
٤٣		٣٨	٥.٠٠٠	٦٦	٢.٧١٤	٧٠	٢.٤٠٥	٠٠	٨.٠٠٠	٠٠	٨.٠٠٠		معدل تأثير التركيز
			٠.٧٦٣٧	التدخل الثاني	٠.٢٠٤١	للتركيز	٠.٣٤١٥	للفطر	٠.٣٤١٥			L.S.D...٥	



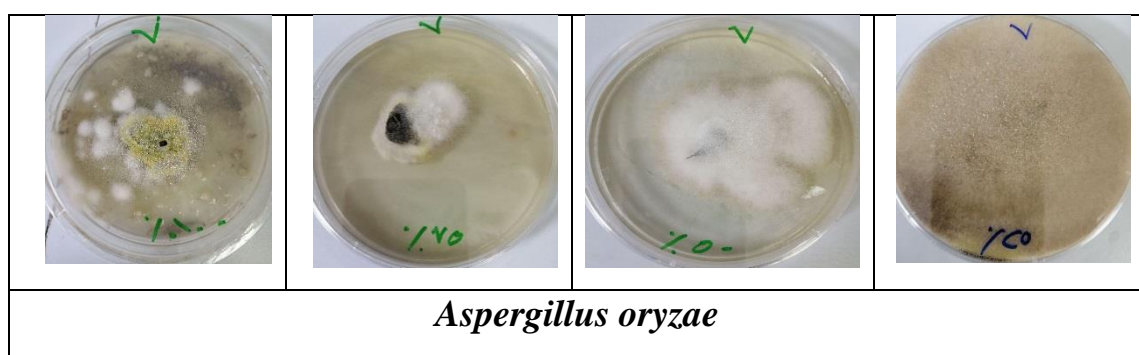
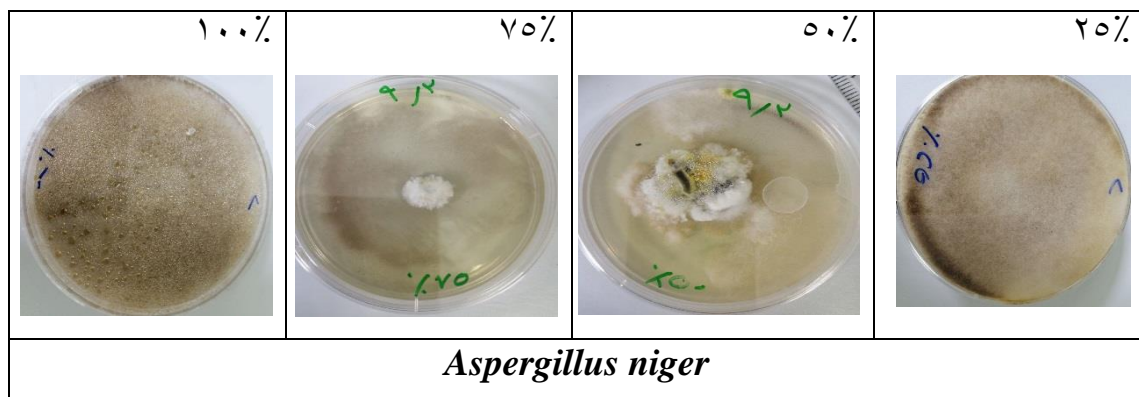
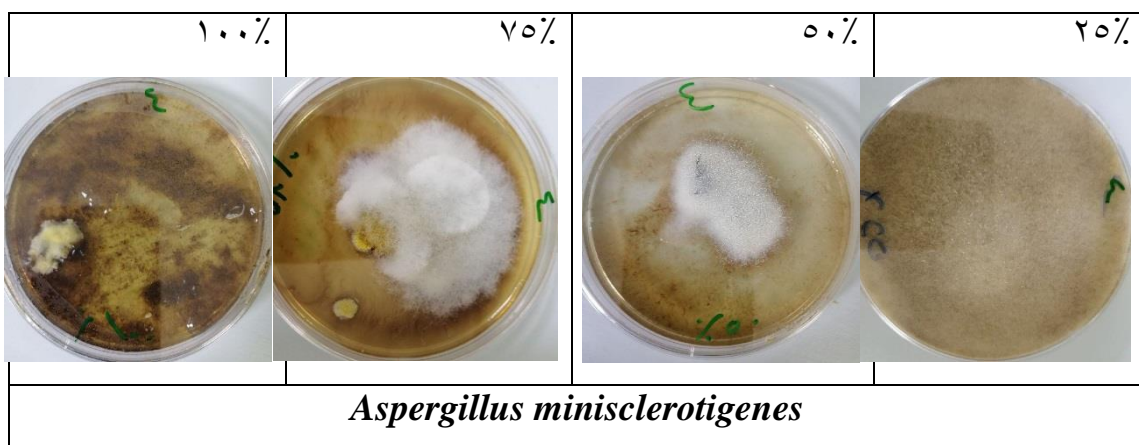
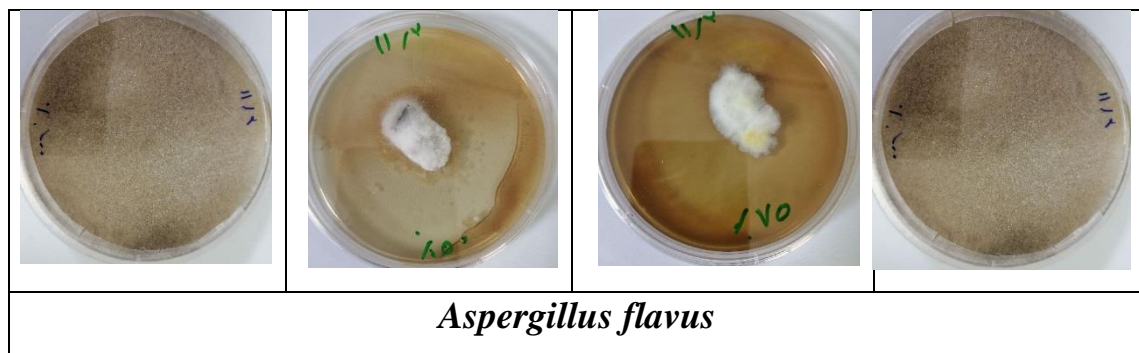
Rhizopus americanus

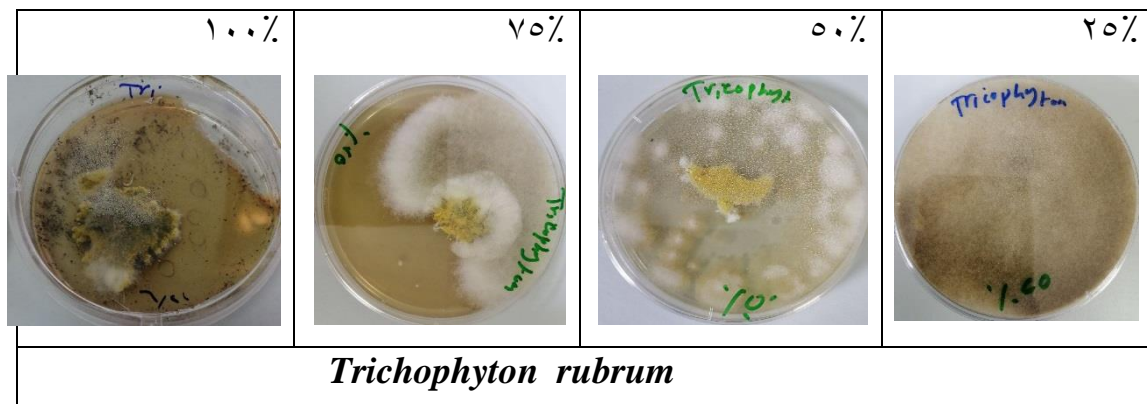
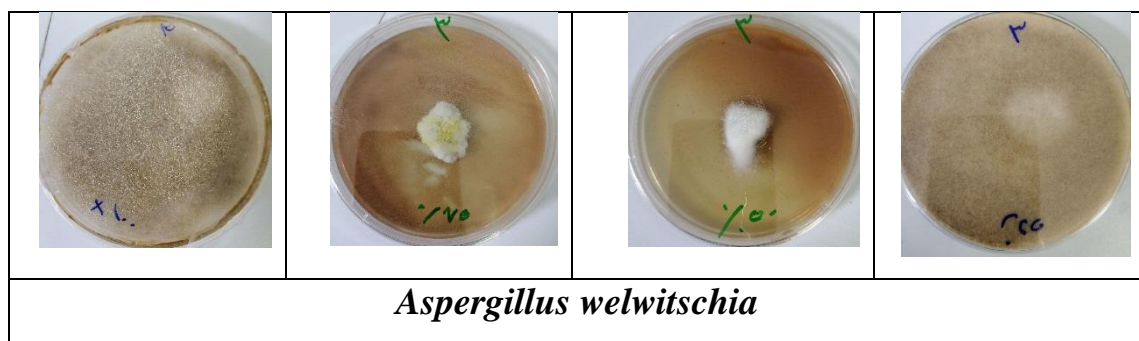
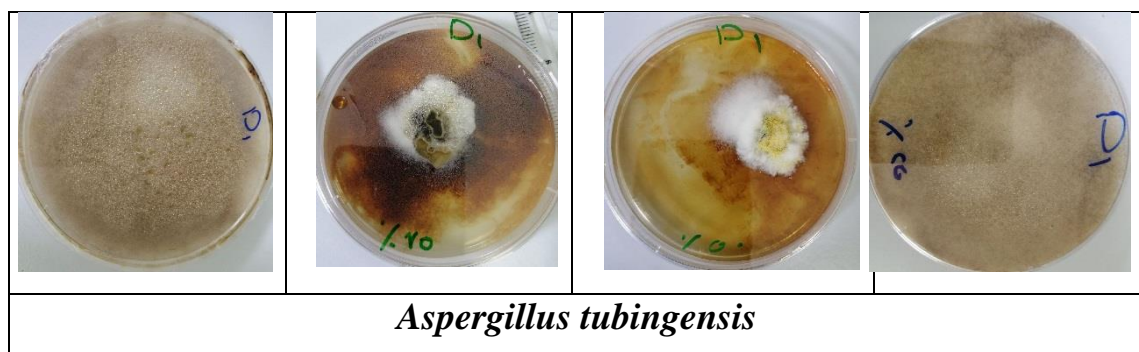
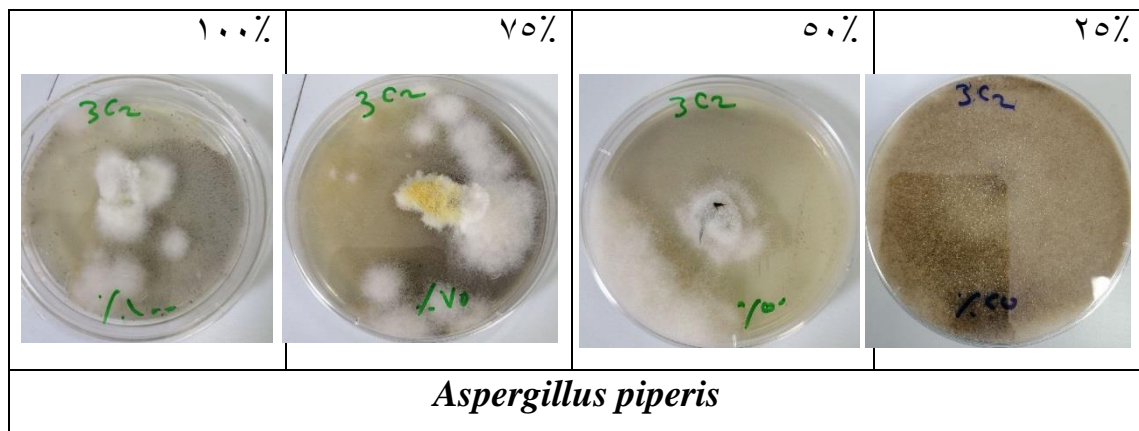


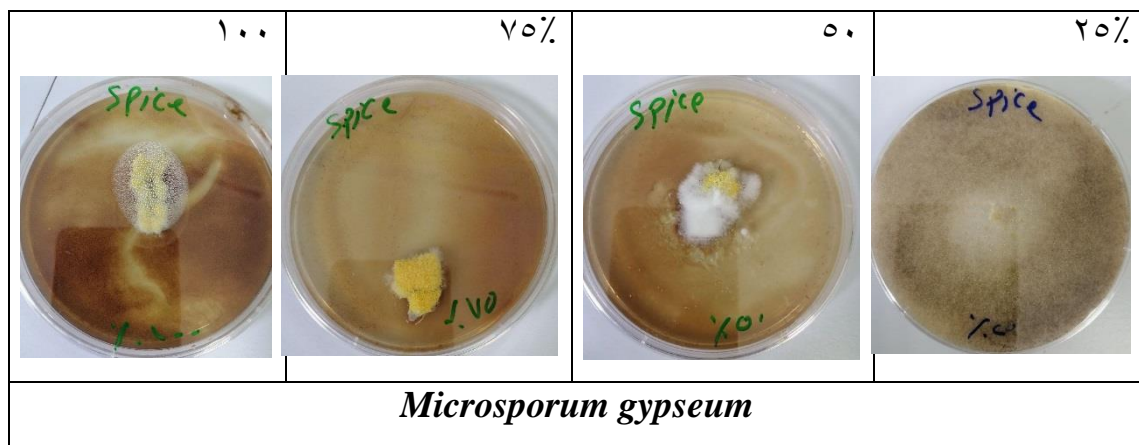
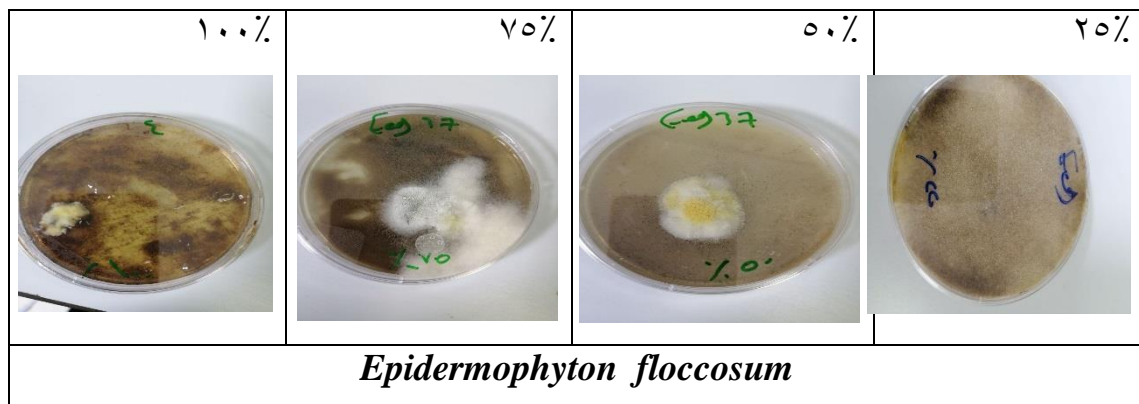
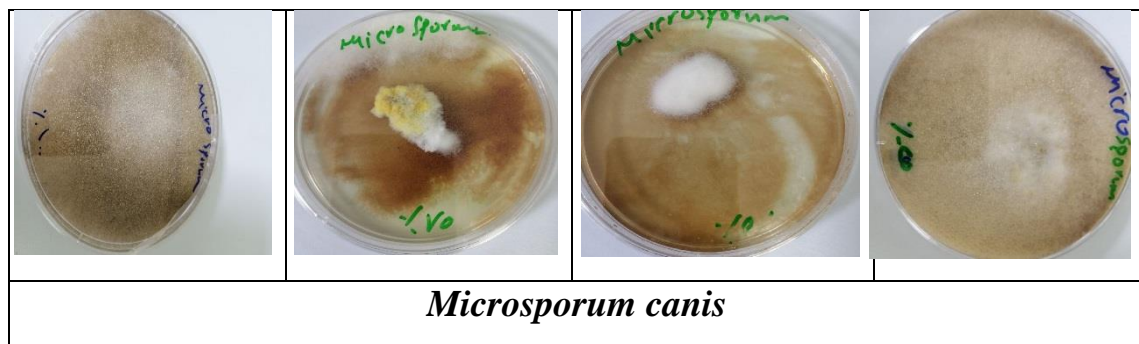
Aspergillus brasiliensis



Aspergillus costaricensis





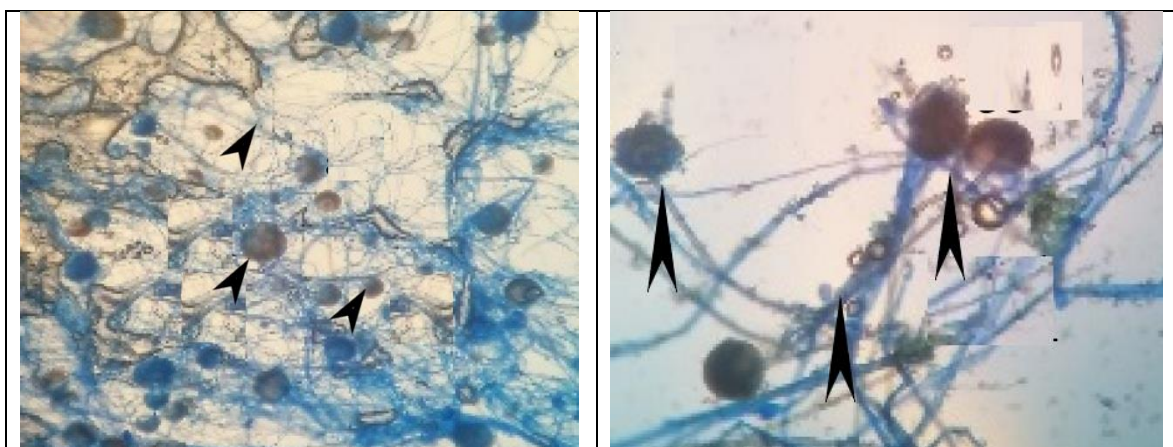


الشكل (٤-٨٧) تأثير تراكيز مختلفة من الرواشح الفطرية المعاملة بالفضة النانوية على معدل قطر (سم) على نمو الفطر *Rhizopus stolonifer* بدرجة حرارة ٢٨ درجة مئوية لمدة خمسة أيام

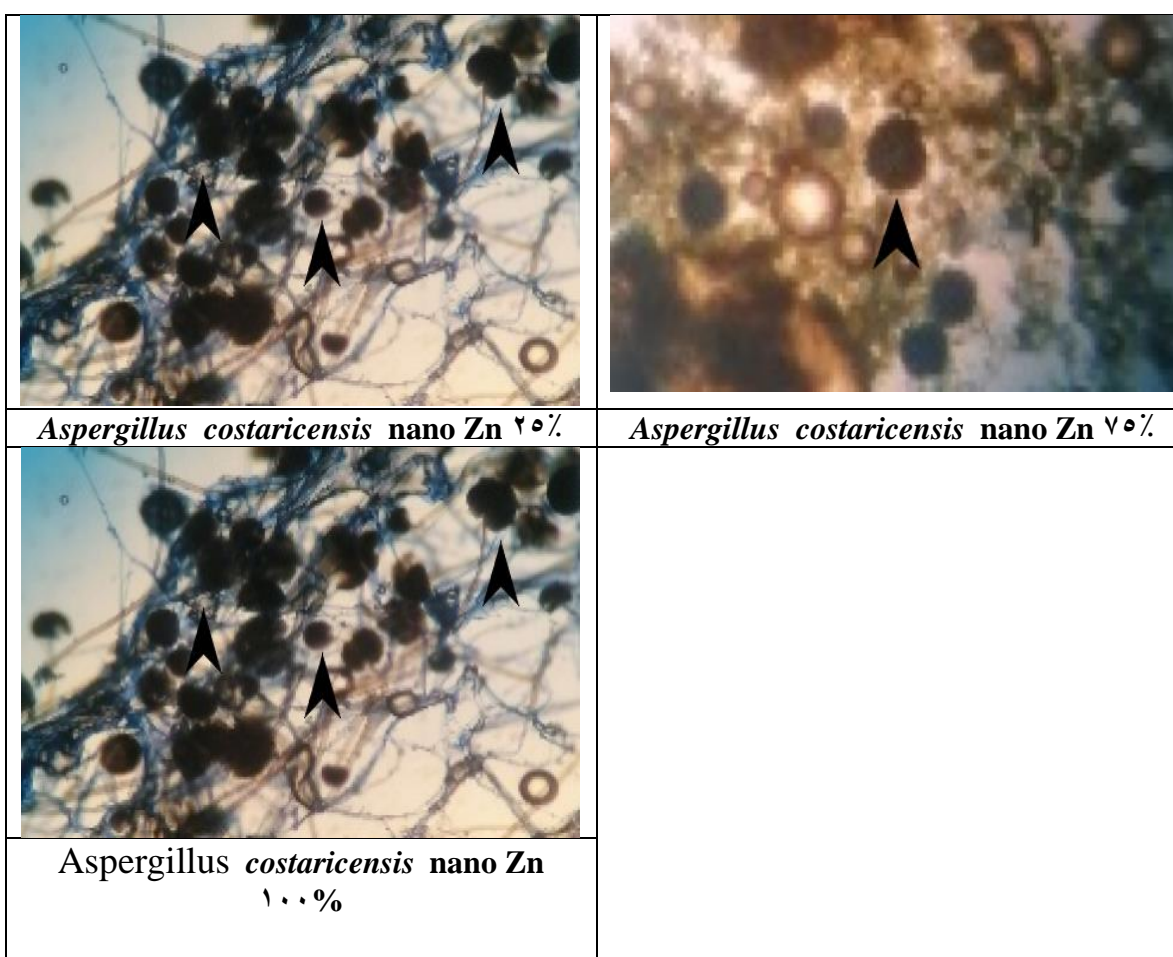
٤. تأثير تراكيز مختلفة من الرواشح الفطرية المختلفة في الفطر *Rhizopus stolonifer*

مجهريا

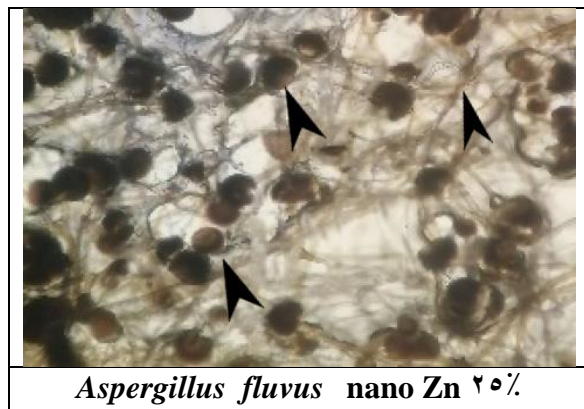
١. تأثير الرواشح الفطري المعامل بالزنك النانوي



اختلاف معدلات النضج والحجم للأبواغ

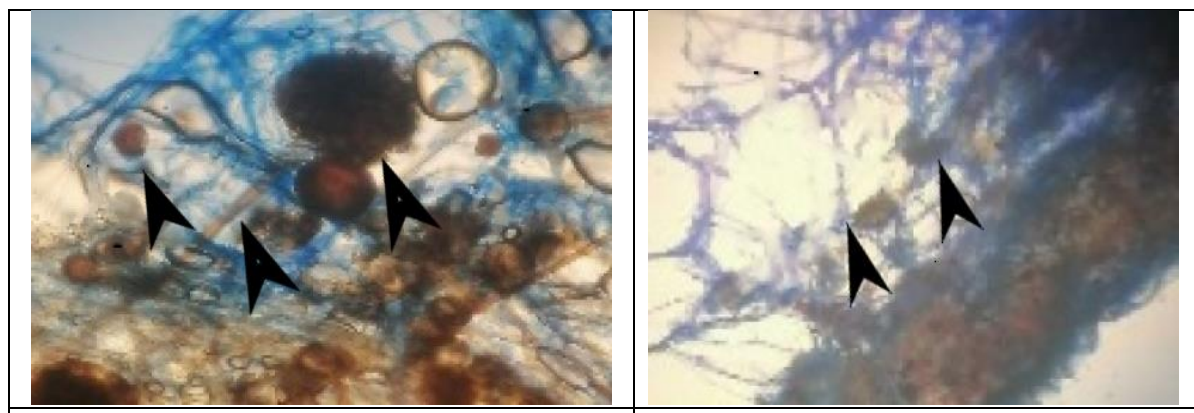


الفحص المجهرى يوضح تجمع الاجسام الحافظية هرباً من المادة السامة وأختلاف احجامها أيضاً

*Aspergillus fluvus nano Zn ٢٠٪*

الفحص المجهرى أعلاه يوضح تكثيل الأجسام الحافظية والغزو الفطري نحيلة ومتقطعة عند التراكيز الواطئة من أوكسيد الزنك النانوى

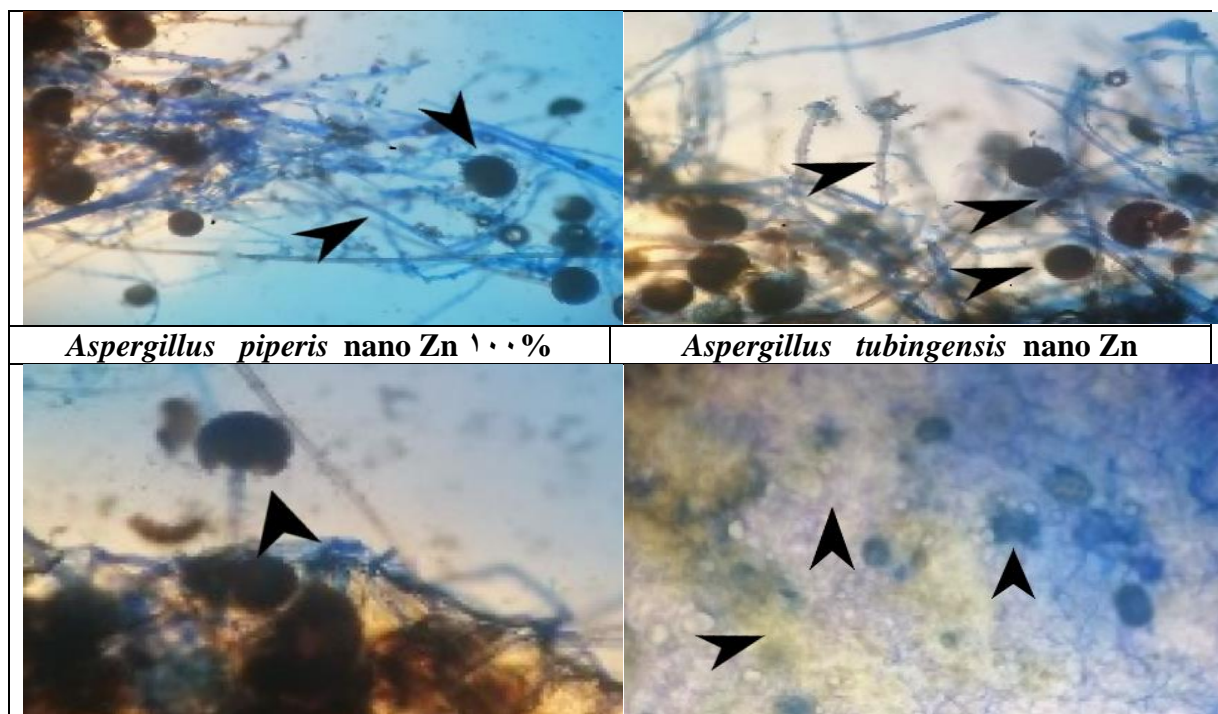
<p><i>Aspergillus fluvus nano Zn ٠٪</i></p>	<p><i>Aspergillus minisclerotigenes nano Zn ٧٥٪</i></p>
<p><i>Aspergillus minisclerotigenes nano Zn ١٠٠٪</i></p>	<p><i>Aspergillus niger nano Zn ٢٠٪</i></p>

*Aspergillus niger* nano Zn ٠٪*Aspergillus oryzae* nano Zn ١٠٪

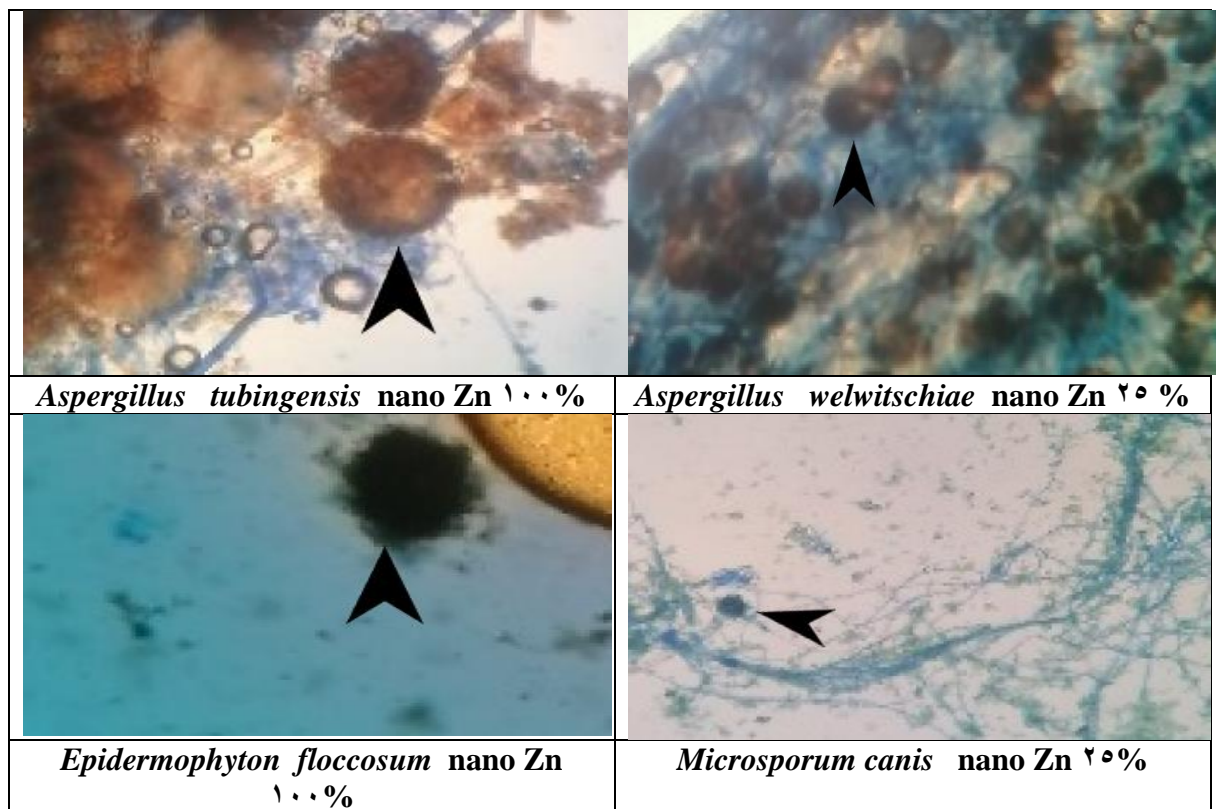
الفحص المجهرى أعلاه يوضح الحوافز البوغية مشوهه و مختلفة الأحجام والغزل الفطري متقطع

*Aspergillus piperis* nano Zn ٢٠٪*Aspergillus piperis* nano Zn ٥٪

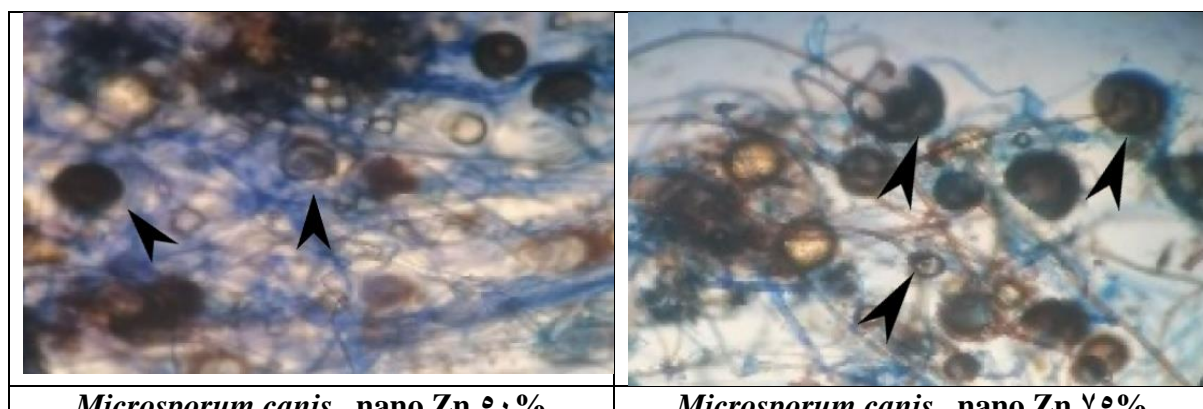
الفحص المجهرى أعلاه يوضح تكثيل الغزل الفطري وتشوه الحوافز البوغية عند التراكيز الواطئة من أوكسيد الزنك النانوى

*Aspergillus piperis* nano Zn ١٠٪*Aspergillus tubingensis* nano Zn*Aspergillus tubingensis* nano Zn ٠٪*Aspergillus tubingensis* nano Zn ٧٥٪

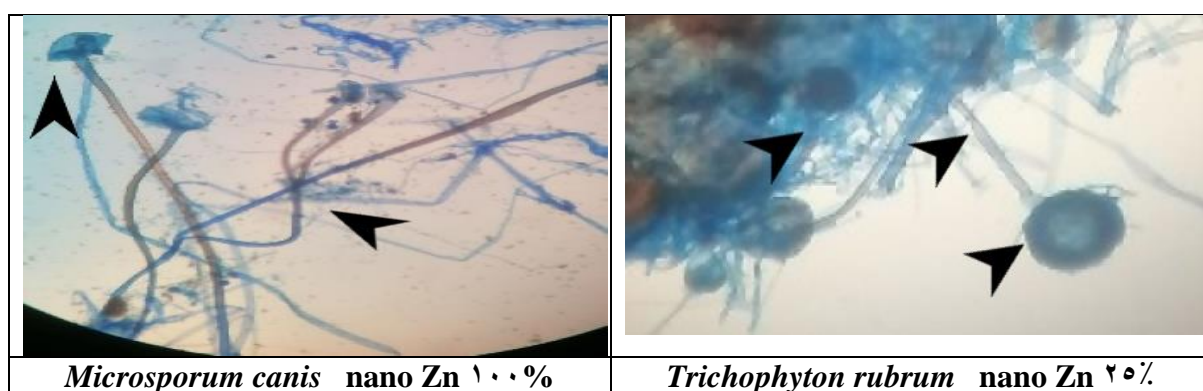
الفحص المجهرى أعلاه يوضح الااحجام المختلفة للحوافز البوغية وتقطع الغزل الفطري

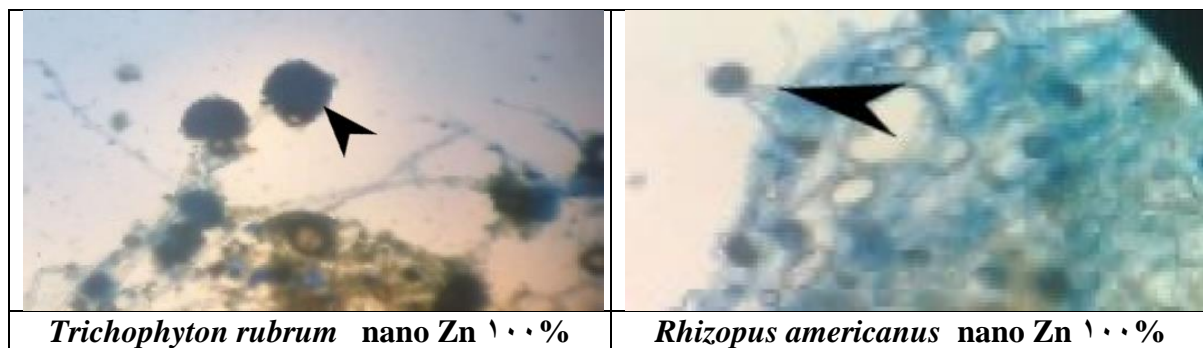


الفحص المجهرى أعلاه يوضح تشوئ الحوافظ البوغية وقلة تكونها عند التراكيز الواطئة لأوكسيد الزنك النانوى



الفحص المجهرى أعلاه يوضح تكثيل الحوافظ البوغية وأختلاف معدل النضج





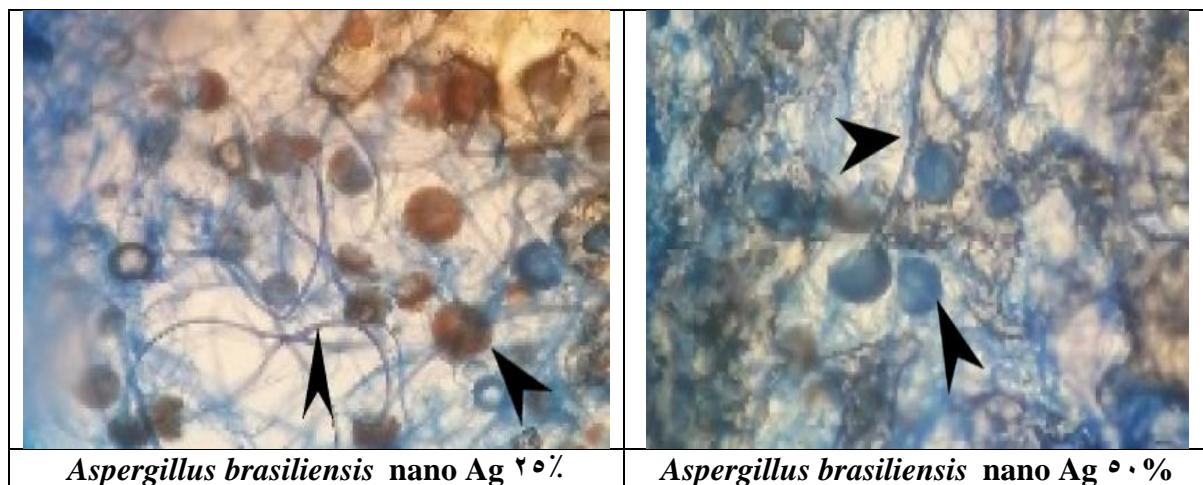
الفحص المجهرى أعلاه يوضح الغزل الفطري المشوه وكذلك وأختلاف معدلات النمو للحوامى البوغية

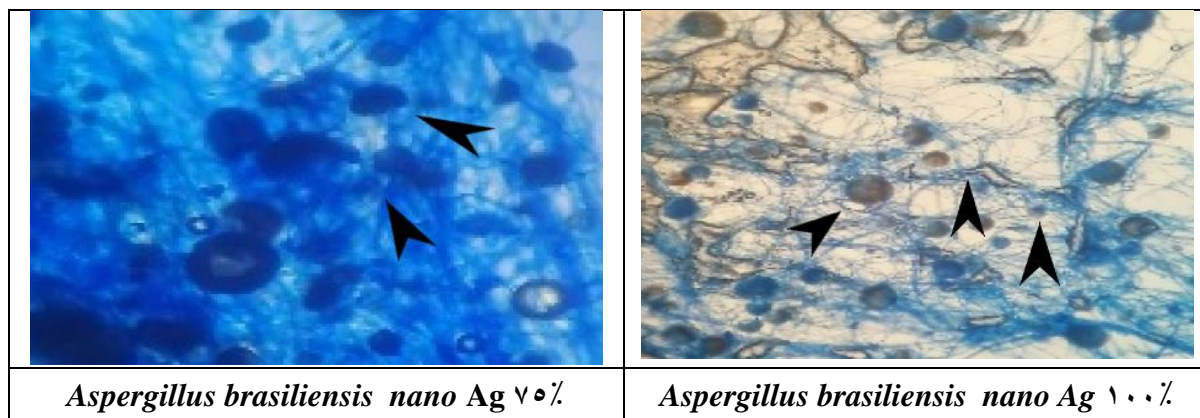
(الشكل ٤-٨٨) : تأثير تراكيز مختلفة من الرواشح الفطرية المختلفة المعاملة بأوكسيد الزنك

الثانوى بمختلف التراكيز المؤثرة في نمو الفطر *Rhizopus stolonifer* مجهريا

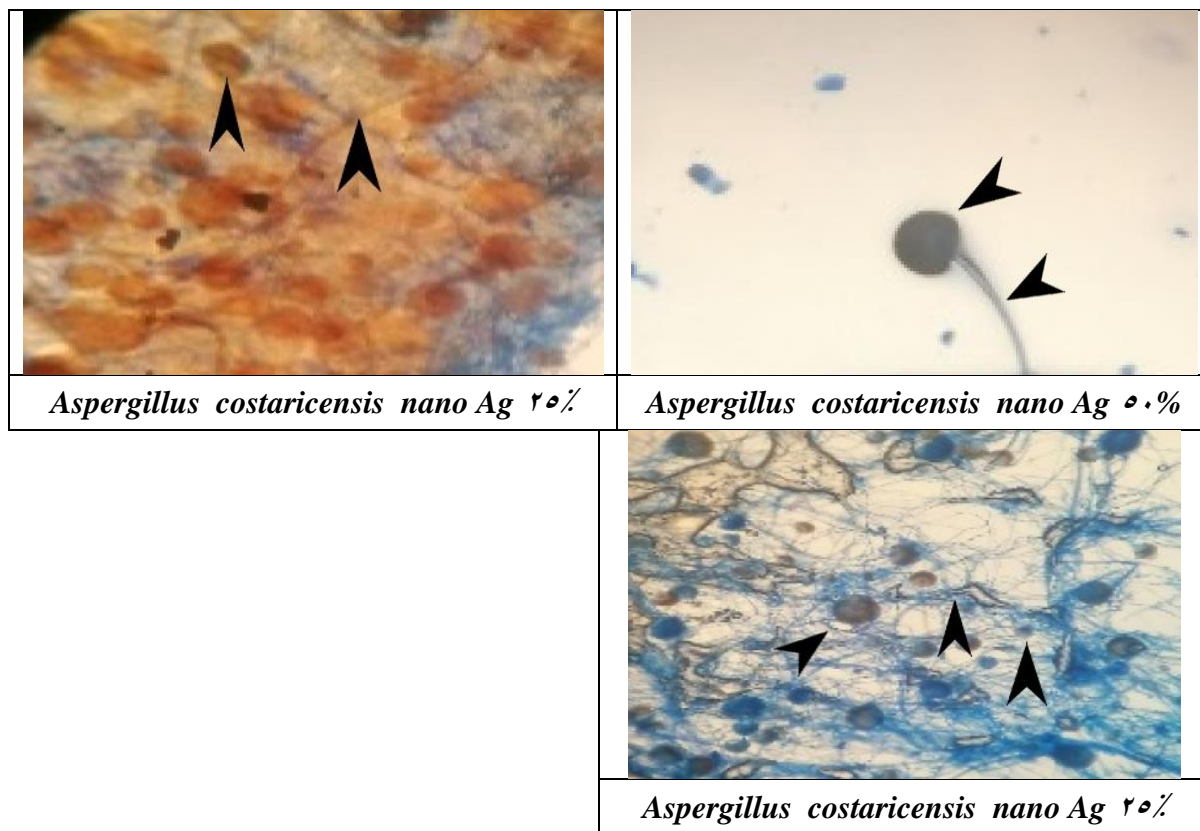
يتضح من الشكل (٤-٨٨) أن الفطر *Rhizopus stolonifer* قد تأثر مجهريا ، وكان هذا التأثر بين ضرر كلى وخاصة في التراكيز الواطئة من الرواشح الفطرية المختلفة المعاملة بالزنك النانوى ، فتظهر الغزول الفطرية متقطعة ونحيلة وأحيانا تظهر الأنوية متجمعة في مكان هربا من المادة السامة، وتتأثر إنتاج الأجسام الحافظية من خلال اختلاف في معدل النضج والحجم ، فضلا عن أعداد الأبوااغ السبورانجية .

٢. الفضة النانوية

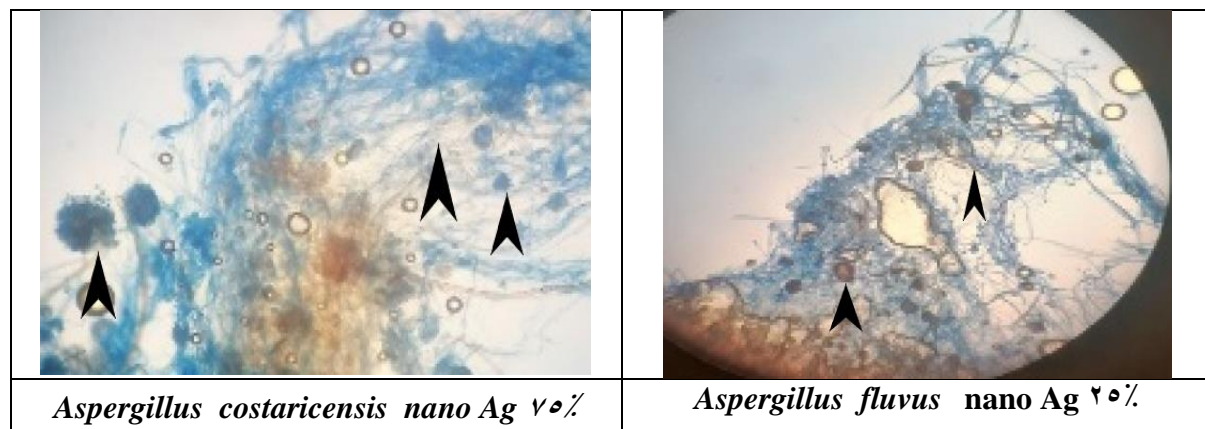




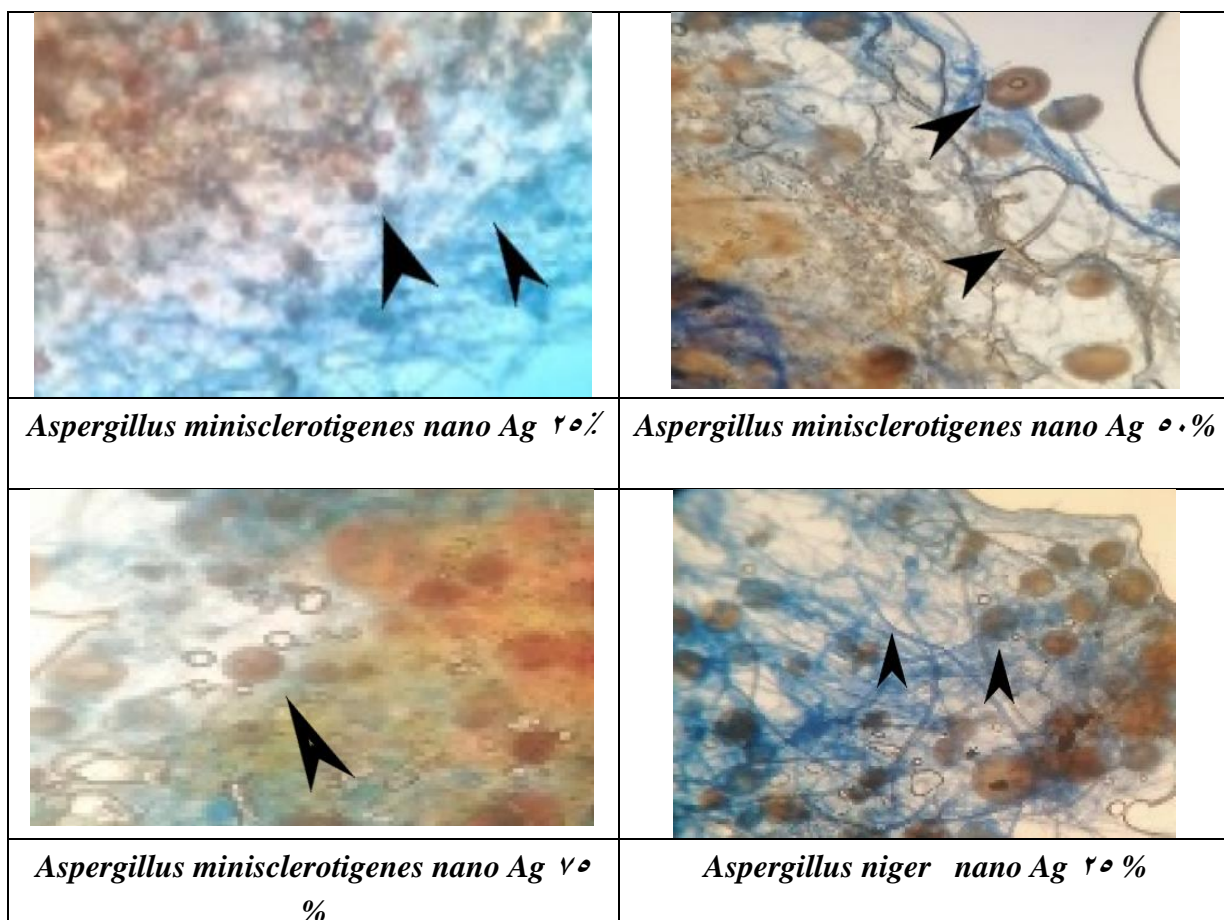
يظهر الفحص المجهرى أعلاه اختلاف نمو الحوافظ البوغية في مختلف التراكيز وتجمع الحوافظ البوغية عند التراكيز العالية وقلة تكونها أما عند التراكيز الواطئة تميزت الحوافظ البوغية بالحجم الكبير وقطع الغزل الفطري



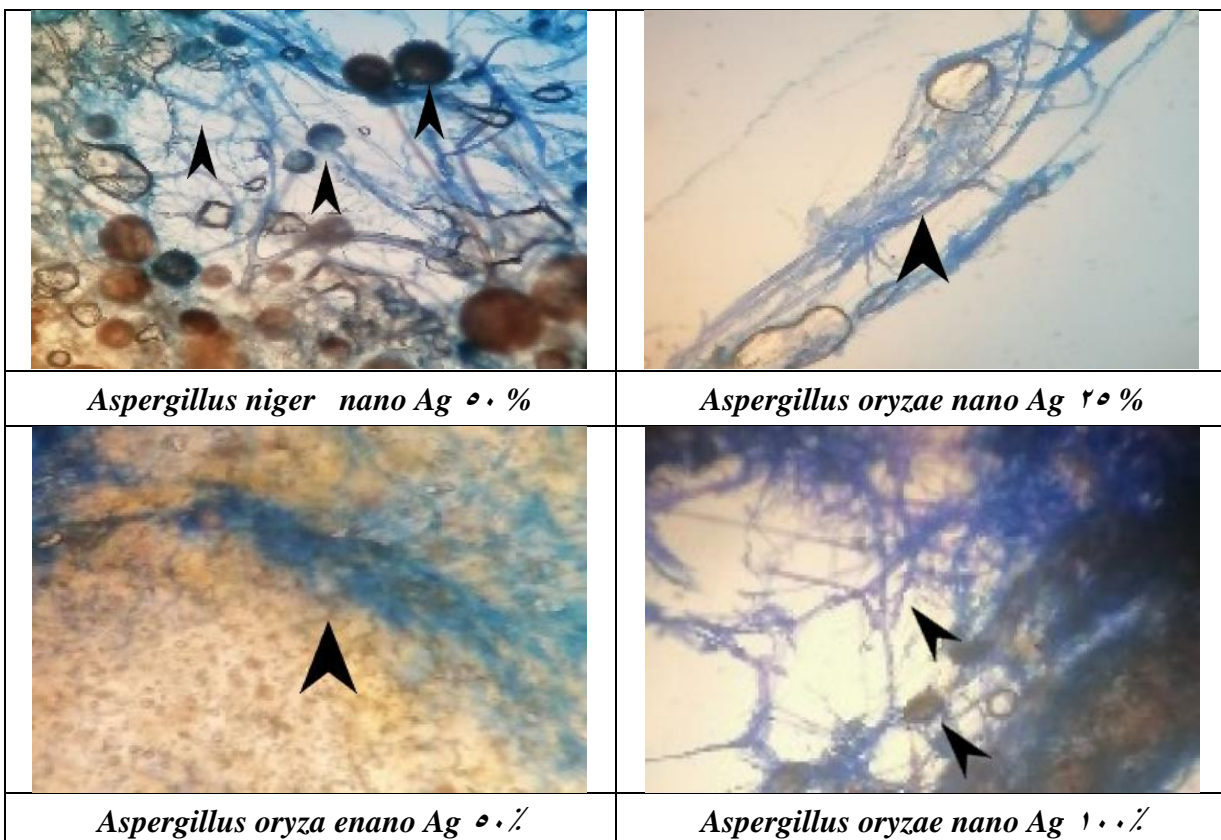
الفحص المجهرى أعلاه يوضح الغزو النحيلة وأختلاف معدلات النمو للحوافظ البوغية



الفحص المجهرى أعلاه يوضح تكثيل الخيوط الفطرية وتشوهات الحوافظ البوغية عند التراكيز العالية لنترات الفضة النانوية

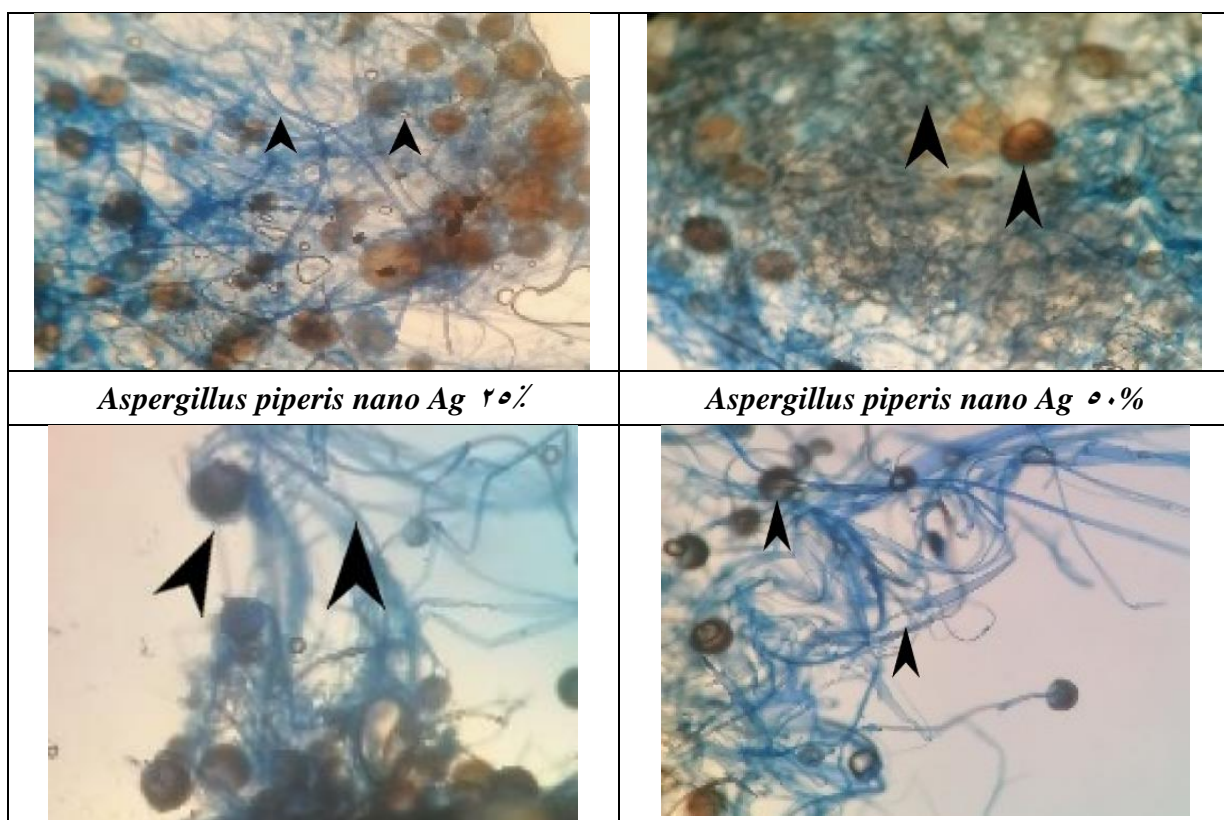


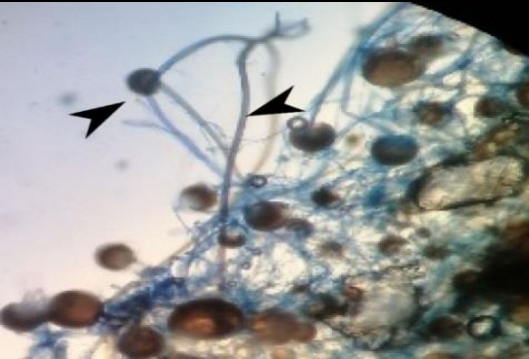
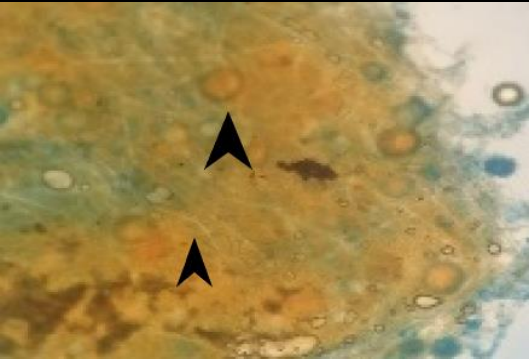
الفحص المجهرى أعلاه يوضح اختلاف معدلات النمو للحوافظ البوغية وتكتل الغزل الفطري بشكل مادة هلامية بطيئة النمو



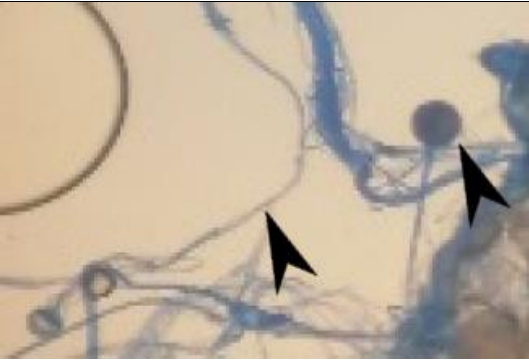
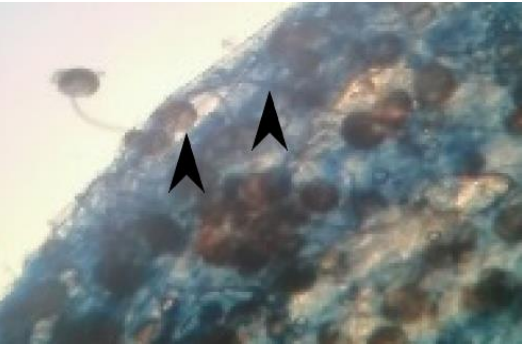
الفحص المجهرى أعلاه يوضح الأحجام المختلفة من الحوافر البوغية عند التراكيز المتوسطة

وقلة تكونها عند التراكيز العالية وتشوه الغزل الفطري وتكسر الخيوط الفطرية

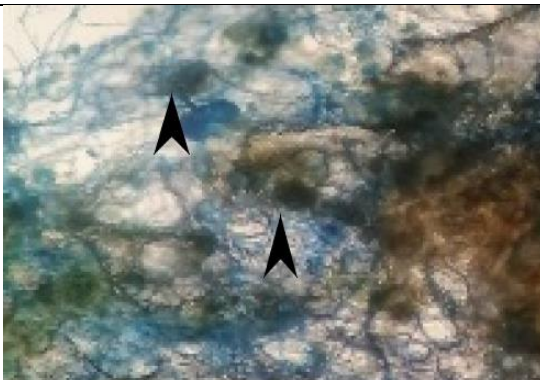


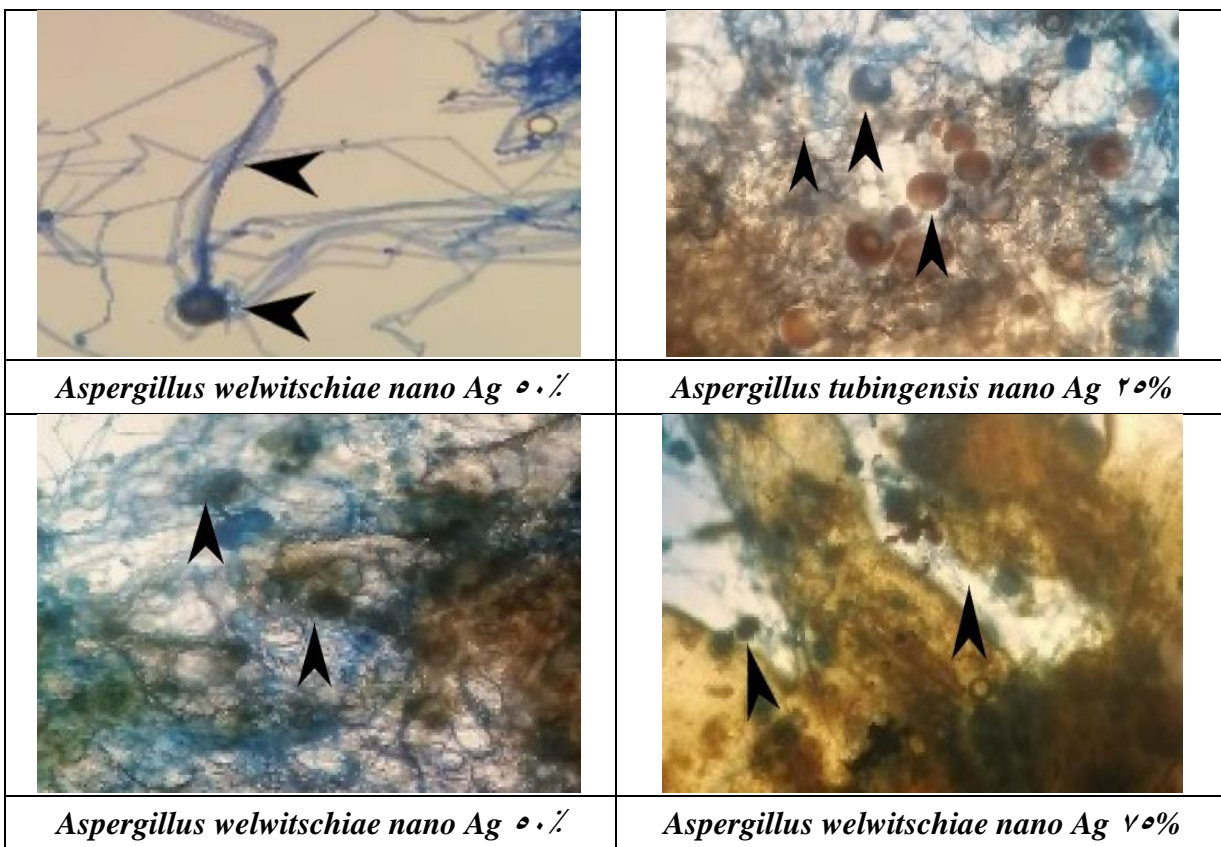
<i>Aspergillus piperis nano Ag ٧٥%</i>	<i>Aspergillus tubingensis nano Ag ٢٥%</i>
	
<i>Aspergillus tubingensis nano Ag ٠٠%</i>	<i>Aspergillus tubingensis nano Ag ٧٥%</i>

الفحص المجهرى أعلاه يوضح تكثيل الغزل الفطري واختلاف أطوال الحوامل البوغية وأختلاف سمكها فضلاً عن تكثيل الحوافظ

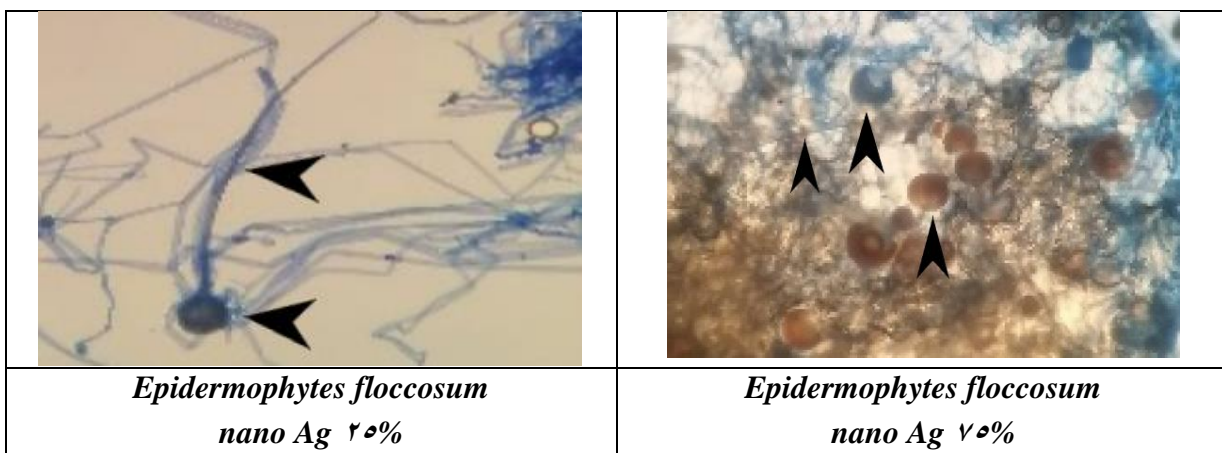
	
<i>Aspergillus tubingensis nano Ag ١٠٠%</i>	<i>Aspergillus welwitschiae nano Ag ٢٥%</i>

تظهر الغزول الفطري متجمعة ويختلف سمكها وأطوالها

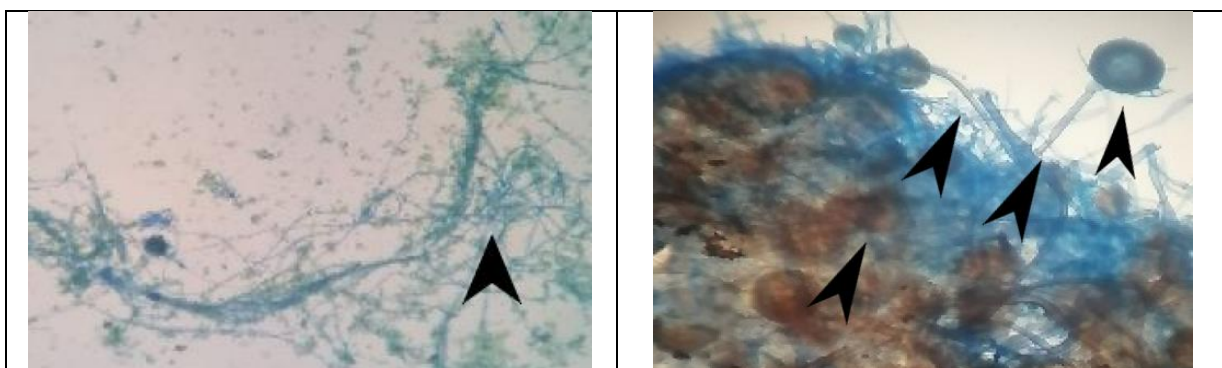
	
<i>Aspergillus tubingensis nano Ag ٢٥%</i>	<i>Aspergillus tubingensis nano Ag ٢٥%</i>

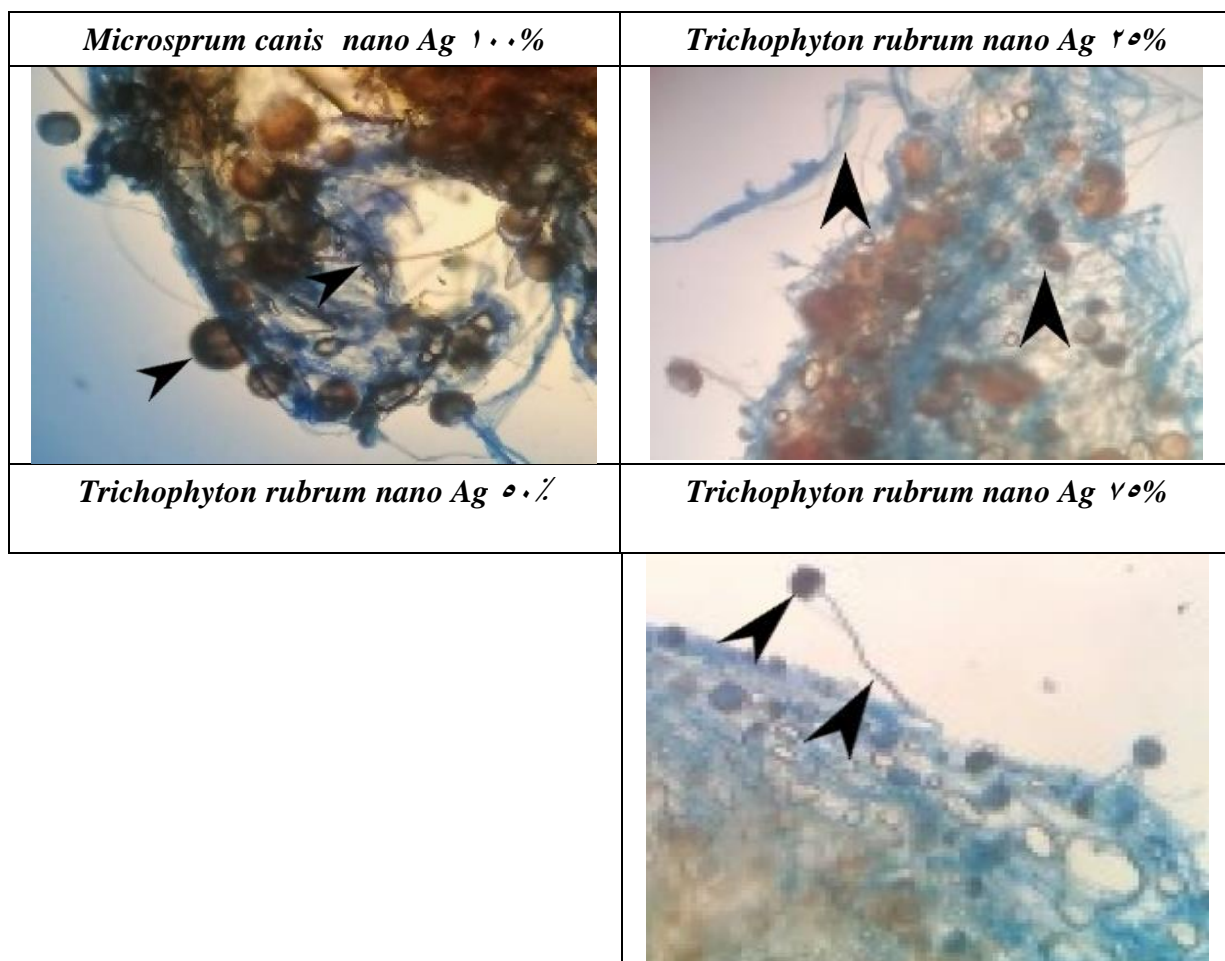


الفحص المجهرى أعلاه يوضح قلة أعداد الحوافر البوغية وتكسر الغزل الفطري



الفحص المجهرى أعلاه يوضح اختلاف حجم الحوافر البوغية وتكسر خيوط الغزل الفطري عند التراكيز الواطئة لنترات الفضة النانوية





الشكل (٤-٨٩): تأثير تراكيز مختلفة من الرواشح الفطرية المختلفة المعاملة بـأوكسيد الفضة النانوي بمختلف التراكيز المؤثرة في نمو الفطر *Rhizopus stolonifer* مجهريا

الفحص المجهرى أعلاه يوضح تباين أحجام الحواشف البوغية وتكتلها فضلا عن تشوتها في التراكيز العالية فضلا عن الحواشف البوغية التي اتصفت بالتشوه في اغلب المعاملات وضعف قطرها وانحنائها بدلا من انتسابها ، وقد وصل الحال في بعض المعاملات الى تشوہ وتكتل وانفجار الخلايا نتيجة لعدم مقاومة الضغط الانتفاخي العالى الذي حصل نتيجة لتسرب الوسط

الفصل الخامس

المناقشة

Discussion

الفصل الخامس: المناقشة

١.٥ عزل وتشخيص الفطريات Isolation and Identification of Fungi

نجحت عملية عزل الفطريات من البلغم sputum للأشخاص المعينين بالعزل بعد موافقتهم بذلك وفق القواعد المتعلقة بالأخلاق المهنية، أهم الفطريات التي ظهرت في عينات البلغم الذي شكل نسبة ظهور عالية مقارنة بالفطريات الأخرى وهذه النتيجة مشابهة لما ذكره Agbetile وأخرون (٢٠١٢) عندما عزل البلغم من أشخاص يعانون من حساسية وغير المصابين بها وإن ظهور *Aspergillus* في جميع العزلات يدل على استنشاقه بـاستمرار مما يعطي فرصة أكبر للإصابة به في حالات نقص المناعة Sirega و Thristy (٢٠١٣) كما وإن ظهور نوعين *Rhizopus americanus* و *R.stolonifer* في عينة البلغم لبعض الأشخاص قد يكون مؤشراً لحالة من حالات نقص المناعة سواء أكان شفاء من مرض الكوفيد أو لديه سكري وغيرها من الأمراض التي تشير إلى انخفاض في الأداء المناعي للجسم (٢٠١٨، Vilaro Gerena Montano)

إن ما يسمى بفلورا الجسم أو النبات الطبيعي للأحياء المجهرية وبالتحديد في اللعاب والبلغم قد تكون مؤشراً صحيحاً لمعادلة الكائنات المجهرية في الجسم ، ولذلك فإن وجود بعض الفطريات قد يثبت شراسة فطريات خطيرة ومن هذا المنطلق تم إجراء تجربة تضاد بين الفطريات المعزولة وفطر *R. stolonifer* كونه الفطر الأكثر ظهوراً في العينات مع الأخذ بنظر الاعتبار إن الفطر *Rhizopus* من مسببات العفن الأسود وخاصة لمرضى فيروس كورونا والذين لديهم أمراض أخرى (Kumari وأخرون ، ٢٠٢٢)

وتم التركيز على تضاد الفطريات المعزولة من البلغم وأيضاً بعض الفطريات الجلدية التي تم الحصول عليها من تجارب سابقة وذلك نتيجة للعلاقة الطردية مع تلك الفطريات وفطر *Rhizopus* وتعد هذه الدراسة الأولى من نوعها في العراق يتم فيها إلقاء النظر على الفطريات المعزولة من الأشخاص ضمن الفلورا الطبيعية في البلغم ، وتضمنت هذه الفطريات في أغلبها أنواع الفطر *Aspergillus* وهو من الفطريات المنتشرة في البيئة ويکاد لا يخلو مكان منها .

تعد طريقة تشخيص الفطريات بالطريقة التقليدية أساساً لفهم الفطريات لكن دقة التشخيص الجزيئي أتاح فرصة لتسجيل الفطريات الأربع عشر بالبنك الجيني العالمي ومقارنة الاختلافات والتباينات مع العزلات العالمية ورسم الشجرة الوراثية لها .

تضمنت الدراسة تشخيص أربعة عشر فطراً معزولاً من قشع أشخاص تعافوا من الإصابة بـكوفيد ١٩ وقد تم تسجيلها في البنك الجيني العالمي إذ إن استخدام الأساليب التقليدية لـاتعطى نتائج كافية في أغلب

الحالات وذلك بسبب تغير النمط الظاهري وتعدد الأشكال فضلاً عن اختلاف الظروف البيئية ، شخصت العزلات جزئياً باستخدام تقنية سلسلة البلمرة (PCR) بالإعتماد على بواديء (Primers) خاصة بالتشخيص الجزيئي. أظهرت نتائج التشخيص الجزيئي عن التقارب والتشابه بين الفطريات المسجلة وقد تم استخدام الشجرة الوراثية لمعرفة مدى ترابط الأنواع الخاصة لكل جنس مع النوع المطلوب تحديده فضلاً عن الخصائص المظهرية كوسيلة للتوصيل إلى التشخيص الدقيق فضلاً عن التشخيص بالطريقة التقليدية و يعد تحديد النمط الجيني مهم جداً في تصنيف الفطريات وقد استعملت منطقة SSU في التشخيص الجزيئي والتصنيف وذلك لأنها سهلة التضخيم وذات مدى كبير من التباين حتى في الأنواع ذات الصلة العالية وقد استخدمت تضخيم منطقة SSU الخاصة بـ rRNA لغرض تحديد الأنواع حيث تم فحص تسلسل الحمض النووي وذلك للتأكد من تسلسل النيوكليريات ثم بعد ذلك مقارنتها بالسلالات العالمية الأخرى وتم استخدام برنامج NCBI - BLAST- Query nucleotide- online وقد أعطى نتائج دقيقة بمقارنتها مع السلالات العالمية كما استخدم برنامج التحليل الوراثي التطوري الجزيئي (BLAST) الذي يعد من التطبيقات التي تم تصميمها بصورة خاصة للتحليل المقارن لتسلسل الجينات المتماثلة والعلاقات التطورية والنمط الذي يحدث في تطور الحمض النووي والبروتين وكذلك يعطي برنامج MEGA الكثير من التسهيلات عبر بيانات تسلسليات من مستويات بيانات شبكة الإنترنت التي يمكن عرضها على شكل اشجار (Kumar وآخرون ٢٠٠٨) .

٥. الكفاءة التضادية للفطريات المعزولة ضد الفطر *Rhizopus stolonifer*

أشارت نتائج التضاد الفطري في الجدول (٤ - ٣) حصول تباين في القدرة التضادية للفطريات المستخدمة في الدراسة إذ بلغت ٣ حسب مقياس Bell لتضاد الفطريات *A.minisclerotigenes* و *R. stolonifer* في الطبق ، إذ أن تجارب التضاد من التجارب التي يعتمد عليها في تقييم كفاءة المقاومة الأحيائية لفطر *Trichoderma* ضد عدد من الممرضات النباتية نتيجة لإنتاجه للإنزيمات المحللة *Rajani* وأخرون (٢٠٢١) كما وإن الفطريات *A.flavus* و *A.minisclerotigenes* تتميز بإنتاج سم الأفلاتوكسين *Shoaib* وأخرون (٢٠١٩) أما الفطريات *A.piperis* و *A.costaricensis* و *A.oryzae*Thanushree يتميز بإفراز سموم الأوكراتوكسين *Daba* وأخرون (٢٠٢١) ، والفطريات التي وصلت للدرجة ٤ من التضاد *Microsprum* و *Trichophyton rubrum* و *R.americanus* و *Rhizopus gypseum* و *Microsprum canis* ، ومن هذه

النتيجة نستنتج تكيف وملائمة وجودها في نفس الكائن الذي يعاني من إصابات معقدة وخاصة في حالات نقص المناعة وتعد هذه النتيجة مخالفة لما توصلت إليه Al-Masaoodi (٢٠٢٠) عند استخدامها فطر *Marasmius palmivorus* في الزرع المزدوج لتبسيط فعالية ونمو الفطريات الممرضة *M.gypsum* و *M.canis* و *T. rubrum*. أما الفطر *R.americanus* الذي يعد من نفس الجنس يوجد تضاد بين الفطريين أما درجة التضاد الأخيرة التي تم الحصول عليها هي ٥ التي توضح سيطرة الفطر الممرض على الطبق بأكمله مع الفطريات *A.welestichia* و *A.niger* و *Epidermophyton floccosum* و *A.brasiliensis* و *A.tubigensis*. أما الفطر *A.welestichia* الذي يتميز بإفراز سموم fumonisins الذي لم يتبيّن نمو فطر *Rhizopus* ، وأيضاً فطر *A.tubigensi*s الذي يتميز بإفراز أسبرازين وفونالينون، وفطر *A.brasiliensis* الذي يتميز بإفراز A بيروفين وديهادرولافلينين ونتيجة لتركيبة فطر *Rhizopus* الذي يتميز بإفراز مستويات عالية من الكلوكوز-أوكسيديز ومستوى عالٍ من الأميليز والفوسفاتيز القلوي والحمضي والبكتيناز (Guimarães وأخرون ٢٠٠٦).

٣. تأثير تراكيز مختلفة من الرواشح الفطريية في نمو أقطار (سم) فطر *Rhizopus stolonifer*

تفق نتائج تأثير راشح الفطر *Trichophyton rubrum* مع Muhsin Salihin (٢٠٠١) أذ أن الفطريات الجلدية تنتج العديد من الأنزيمات التي تحلل بروتين الكيراتين الموجود في الإنسان والحيوان ومن هذه الأنزيمات البروتينز Protease والكيراتينيز Keratinase والأميليز Amylase واللايبيز Lipase والإيلاستيز Elastase والفوسلوبلايبيز Phospholipase ،أما الفطر الذي كان أكثر تأثيراً على نمو مستعمرة *Rhizopus* فطر *A.piperis* يمكن تفسير الفعالية الكبيرة لراشح هذا الفطر لامتلاكه مستقبلات نشطة بيولوجيا عبارة عن بروتينات وأحماض عضوية مثل الغلوكونيك والستريك ويتميز بنشاطه المضاد للميكروبات وهذا يتفق مع Lopes وأخرون (٢٠١٣)، أما الفطر *A.minisclerotigenes* الذي كان يتمتلك أقل معدل نمو أيضاً وهذا قد يعود إلى تعدد السموم الفطريية التي يمتلكها *A.arachidicola* و *A.texensis* و *A.aflatoxiformans* و *A.korhogensis* و *Cotty Singh* (٢٠١٩) فضلاً عن هذه اللافلاتوكسينات الاربعة أيضاً يكون هذا الفطر مواد أخرى مثل اللافلاتوكسيكول فيرسيكولورين و ستيرجماتوسيسين و حمض السيكلوببيازونيك و حمض الكوجيك (Yu ٢٠١٢)، أما الفطر الممرض الجلدي *Epidermophyton floccosum* الذي أمتاز بتبيطه لنطر *Rhizopus* فضلاً عن الانزيمات المحللة التي يفرزها وبعد هذا الفطر من أشهر الفطريات الجلدية التي تحلل الأيثانول وتستخدمه مصدر للكarbon وهذا يتفق مع ما ذكره AL-janabi (٢٠٠٩) وبما أن فطر *Rhizopus* يحتوي نسبة عالية من السكريات ويقوم بتخميرها ويحوّله من البايروفيت

الى الایثانول بعملية التخمر الكحولي لذلك بعد سلسلة عمليات هدم تحدث له يثبط نموه ، أما الفطر *A.tubigensis* من السلالات التي تميز بأمتلاكها البكتيناز (خلط من عدة أنزيمات) (تحلل السكريات المعقدة والبكتينات والسكاريد والسليلوز وبفاءة عالية بالإضافة يقوم بتحليل المواد البلاستيكية وأخرون (٢٠١٩) أما في مايخص نتيجة راشح الفطر *A.flavus* الذي يتميز بأفرازه لسموم مسرطنة (الافلاتوكسين) وانتاج البكتيناز المحللة للسكريات المعقدة Mellon و Cotty (٢٠٠٤) ، أما الفطر الجلدي *Microsprum canis* ومن خلال دراسة وجدت أن هذا الفطر يفرز أنزيمات محللة للبروتين Elastase و تتالف من الكيراتينيز Keratinase والايلاستاز Elastase والكتالاز Catalase والامينوبيبتيذار Aminopeptidase ، Achterman و White (٢٠١٢) ، أما نتيجة راشح الفطر *A.niger* لاتفاق مع ماوصل اليه راضي وأخرون (٢٠٠٩) من أضافة راشح الفطر *A.niger* أدى الى زيادة أنبات بذور الطماطة وأمتلاكه خاصية التطفل الفطري باتفاقه حول الغزل الفطري للفطر الممرض *R.solonia* والقضاء عليه وأيضا لاتفاق هذه النتيجة من عدم التثبيط لفطر *Rhizopus* مع الزبادي وأخرون (٢٠١٠) عند استخدامهم راشح الفطر *A.niger* في هلاك حوريات وبالغات الذبة البيضاء *Bemesia tabaci* ، أما الفطر *R.americanus* *Rhizopus* أذ لوحظت نسبة تثبيط قليلة كونهما من نفس الجنس فضلا عن الارتباط الكبير بنمطي نشاط الانزيمات التأكسدية والانزيمات المحتلة لكلا الفطرين Mali وأخرون (٢٠١٩) وكفاءة الوسط الزراعي وايضا لوحظ اعتماد مماثل لتوليفة الانواع الفطرية وكذلك عمليات الاختزال ممكناً أن تثبط نمو أحدهما حسب كيمياء فنتون (اختزال الحديديك الى الحديدوز) وهذا يتواافق مع Orton وأخرون (٢٠١٦) أما الفطر *Microsprum gypsum* أظهر نسبة تثبيطية ضد *Rhizopus* وهذا يتفق مع ما توصل اليه Guo وأخرون (٢٠١٢) عند استخدامهم سلالات من بكتيريا العصيات اللبنية *Lactobacillus* في تثبيط هذا الفطر وقلة أفرازه لأنزيمات الكيراتيناز المحللة ، أما نتيجة راشح الفطر *A.welestichia* أعطى نتيجة مقاربة ل Liu وأخرون (٢٠١٩) واستخدام هذا الفطر كعامل مقاومة بايلوجي ثبت من نمو الديدان الخيطية المرافقة للجذور *Meloidogyne graminicola* ، أما راشح الفطر *AORYZAE* الذي أعطى معدل نمو للمستعمرة وهذا يعود للتواافق الجزيئي بين الفطر *A.oryzae* و *Rhizopus* Machida وأخرون (٢٠٠٨) لوجود جينومات مسؤولة عن التخمر في كلا الفطريين حسب ما ذكره Machida أما الراشح الفطري *A.costaricensis* الذي لوحظ أن نسبة تثبيطه قليلة ل *Rhizopus* وهذا خلاف ما توصل اليه 林睿 (٢٠٢١) أذ ان هذا الفطر يتملك مركبات عالية الكفاءة ثبتت من نمو بكتيريا المكورات العنقودية وهذه المركبات A terretonine و B asperlide و ٤- ١- methyl- ٢- benzyl- B versicolactone و hydroxyphenyl- ٢- ٣- H-indole- B butyrolactone و carboxaldehyde A. brasiliensis ، أما الفطر الأخير الذي أعطى اكبر معدل نمو هو الفطر

يتفق مع ماذكره Chimbekujwo وآخرون (٢٠٢٠) أذ يتميز هذا الفطر بأنزيمات تخرم مثل البروتيناز والتي تكون مشابهة لأنزيمات التخرم الموجودة في *Rhizopus* وقد لوحظ اختلاف تأثير التثبيط بمختلف التراكيز وهذا يعود الى أمثلاك رواش بعض أنواع *Aspergillus* كفاءة تثبيطية عالية ضد الفطر *Rhizopus* أذ أنها تنتج مواد تضادية مع تأثير مثبط على الفطر المستخدم في الدراسة ويفسر هذا السبب الى انتاج مواد تضادية تفرز خارج الخلايا والتي تعمل بشكل مباشر على غشاء الخلية الفطرية وتغير من نفاذيته او قد يكون هذا التأثير بسبب انتاج الابواغ او مراحل نمو الغزل الفطري للفطر الممرض او نتيجة انتشار المضادات الحيوية في وسط الغذاء Jalanta وأخرون(٤) وهذا يتفق مع نتائج الباحث الطائي (٢٠١٤) الذي درس تأثير رواش بعض أنواع *Fusarium* spp في تثبيط الفطريين الممرضين *Rhizoctonia solani* و *Aspergillus oxyisprum* أظهرت النتائج أن كل العزلات الفطرية تمتلك كفاءة عالية في تثبيط الفطريين الممرضين وأيضاً وجد من خلال الدراسة زيادة أعداد الابواغ الكلامية للفطر الممرض عند التراكيز الواطئة للرواش مثلاً عند ٢٠٪ لوحظ نمو الفطر وعدم نموه عند التراكيز العالية للرواش يعود السبب الى محاولة الفطر تكوين وحدات تكافيرية مقاومة (تكوين الابواغ الكلامية) Loffler وأخرون (٢٠٠٨) وكما متعدد عليه ان الفطريات تحتاج النتروجين كمصدر لتكوين نموها الخضري ربما يحتوي الراش الفطري على العديد من الاحماس الامينية والسكريه والبایرونات حفظت على تكوين مثل هذه التراكيب السهيلي وآخرون (١٩٨٠) Ghisalberti وأخرون (١٩٩٠) أو قد يعود السبب الى محاولة الفطر اجتياز الظرف الذي يمر به من وجود السموم في الوسط الغذائي الذي ينمو عليه بزيادة أعداد الابواغ الكلامية وهذا يتفق مع ماذكرته الجبوري (٢٠٠٣) (زيادة أعداد هذه الابواغ عند معاملة الوسط الغذائي برواش فطرية .

٤.٤: خصائص الروаш الفطرية بالمواصفات النانوية

حضرت جميع الرواش الفطرية التي تم تحويلها إلى رواش نانوية من زنك نانوي وفضة نانوية إلى الاختبارات التي أفادت بالحصول على المواصفات النانوية وكان أول نقطة تحول إلى راش نانوي هو الدالة اللونية وأختلف في لون الراش النانوي عن الراش العادي قبل المعاملة بأوكسيد الزنك أو نترات الفضة ومن ثم أجريت الفحوصات الأخرى المتعلقة بتأكيد الحصول على المادة النانوية (Selvan و Rahiman ٢٠١٨، Mohammed و Reeda ٢٠٢١) .

يتفق نتائج الراش النانوي بالزنك لفطر *A. flavus* في تثبيطه لفطر *Rhizopus* مع ما تم التوصل اليه Hameedd (٢٠٢١) عند تحويل المستخلصات المائية والكحولية لفطر المشروم *Agaricus bisporus* إلى مستخلصات نانوية والتي أطلق عليها بالمستخلصات الخضراء و

أظهرت تفوقاً في تثبيط نمو الفطريين *Microsporum Canis* و *Trichophyton rubrum* وكان مشابهاً لتأثير المضاد الفطري Clotrimazole . ويأتي التفسير في أنه كلما كان حجم الجسيمات النانوية أصغر كلما كانت أكثر سمية وأعلى نشاط فضلاً عن أن ZnO الذي يطلق الـ Zn^{+2} ليخترق غشاء الخلية ذات الشحنة السالبة وتفاعل مع مجموعة سلفهيدريل داخل غشاء الخلية ونتيجة لذلك يحدث ضرر في جدار الخلية وتفقد قدرتها على النمو وتموت الخلية ، كما تتفق نتائج راشح الفطر Wani مع *A.oryzea* عند استخدامهم الجسيمات النانوية للسيطرة على الأمراض الفطرية المسببة لآفات النباتية ، أما الفطريات الجلدية و *Asergillus niger* التي أظهرت تثبيطاً واضحاً في نمو *Rhizopus* وتتفق نتائج البحث مع متواصل إليه Ali وأخرون (٢٠١٧) ، إذ تم تصنيع بيروكسيد الزنك النانوي وأختباره على مجموعة من البكتيريا والفطريات الممرضة منها الجلدية ولوحظ تسجيل انخفاض معنوي في أنشطة الإيلاستاز والكيراتيناز مع زيادة تركيز ZNO وتمسخ الألبومين وتثبيط البروتين.

أما نتائج الراشح النانوي للفطر *A.minisclerotigenes* تتفق مع Hassan وأخرون (٢٠١٣) إذ كان لتحضير الجسيمات النانوية تأثيراً كبيراً في إنخفاض مستويات السموم الفطرية وإعاقة النمو الفطري وتثبيط السموم كما وإن الراشح النانوي للفطر *A.tubigensis* أظهر تفاعلاً إيجابياً باتجاه تثبيط نمو الفطر *Rhizopus* في قدرة تحمل الزنك وأمكانية تخليقه خارج الخلية وأظهرت الفحوصات أن الجسيمات النانوية المختلفة من هذا الفطر تمتلك نشاط مضاد للبكتيريا أفضل ضد المكورات العنقودية تتفق مع Hefny وأخرون (٢٠١٩) ، أما نتائج الراشح الفطري النانوي *R.americanus* تتفق مع Sumanth وأخرون (٢٠٢٠) والذي يشير إلى تخليق مركب الزنك النانوي من روش الفطريات وأظهر فعالية عالية في تثبيط الفطريات الممرضة وتعتمد على الجرعة مع نسبة عالية وكذلك نشاطاً كبيراً مضاداً للسرطان ضد الخلايا السرطانية عند تراكيز قليلة فضلاً عن ذلك فإن المركب الفطري النانوي يتميز بالنقاوة وأيضاً تتوافق هذه الدراسة مع Gupta و Chundawat (٢٠٢٠) إذ أن جزيئات أوكسيد الزنك النانوية حفظت إنتاج الإيثانول كعامل مساعد الذي يساعد بالتخمر الكحولي والذي يزيد من فرصة نمو فطر *Rhizopus* ، ويظهر أن الراشح الفطري النانوي للفطر *A.costaricensis* يعزز أهميته الاقتصادية في صناعة وتخمير وإنتاج إنزيمات التحلل المائي مثل الأميليز وإنزاج الأحماض العضوية مثل الستريك ويعود الإنزيم alpha-glucuronidase من الإنزيمات الفعالة ويمكن اعتباره عامل ضرورة تستدمه الفطريات في تحلل جدران الخلايا النباتية Tamayo-Ordóñez وأخرون (٢٠٢١) وعند إضافة أوكسيد الزنك النانوي تتعزز عمليات التخمر والتحلل المائي وهذا يتتوافق مع Jin وأخرون (٢٠٢٠) إذ أثبتوا أن البروتينات والسكريات والأحماض الدهنية قصيرة السلسلة تم تعزيزها بواسطة ZnO NPS أي بمعنى تكون فعالية التثبيط

قليلة لفطر *Rhizopus brasiliensis* لتشابه تفاعلات التخمر الكحولي و يظهر راشح الفطر *A. brasiliensis* الذي يتميز بإفرازه إنزيم البروتياز والذي تم تتفقيته يحتوي خصائص إزالة التخثر وبقع الدم ولم تكن حالة التثبيط مرتفعة وهذا يتوافق مع ماتوصل إليه Chimbekujwo وأخرون (٢٠٢٠) عند اختبارهم نشاطات إنزيمية تعود للأميليز والليپاز والبروتياز المستخرج من عزلة فطر *Aspergillus* عند معالجة هذه الإنزيمات بأوكسيد الزنك النانوي لم يلاحظ أي تغيير في نشاطه بأسثناء الأميليز الذي تم تثبيطه تماماً، أما نتائج راشح الفطر *A. piperis* الذي يتميز بنشاط إنزيمي متعدد خارج الخلية مثل الكيتيماز والفوسفوليپاز والبروتياز وكذلك يتميز بنشاطه العدائي والمثبط للفطر الممرض *Fusarium* *El-Badry oxysporum* *El-Debaiky* (٢٠٢١) وعند إضافة أوكسيد الزنك إلى الراشح تنخفض فعالية ونشاط هذه الإنزيمات وهذا يتوافق مع Jalal وأخرون (٢٠١٨) كما تتفق نتائج تثبيط الراشح الفطري *Microsporum gypsum* مع نتائج Anasane وأخرون (٢٠١٦) إذ لوحظ التثبيط التام للفطر الجلدي *M. gypsum* عند معاملتها بجسيمات الفضة النانوية AgNPs وأعتبرها عامل مضاد لنموها وكذلك عند تحضيرها من خلال الإختزال الكيميائي لأيونات الفضة بوجود الإيثانول (أحد مكونات الفطر) تظهر الفضة النانوية بدورها عامل مضاد ضد المكورات العنقودية والمكورات العنقودية الذهبية والزائفية Das و Nath (٢٠١١) وأيضاً تتفق هذه الدراسة مع Lateef وأخرون (٢٠١٥) عند استخدامهم إنزيم الكيراتينيز من سلالة بكتيريا *Bacillus safensis* في تخليق جزيئات الفضة النانوية.

أما نتيجة الراشح الفطري *Epidermophyton floccosum* تتفق مع Moazeni (٢٠١٢) إذ يمكن تخليق جسيمات الفضة النانوية خارج الخلايا الفطرية للفطريات الجلدية بكفاءة عالية فضلاً عن عملية التخليق تكون أبسط وأسهل في الرواشح الفطرية ، تتفق نتيجة الراشح الفطري *Trichophyton rubrum* نفس الباحث أعلاه مع Moazeni وأخرون (٢٠١٢) وكذلك الأنواع التي تنتمي إلى جنس واحد من الفطريات لها قدرة متغيرة على تخليق جزيئات الفضة النانوية ، وأيضاً تتفق هذه الدراسة مع Pereira وأخرون (٢٠١٤) إذ تم تصنيع المركب AgNPs بطريقة الإختزال الكيميائي باستخدام الجلوكوز في مرشح خالي من الخلايا وأعطى نشاط مضاد للفطريات أعلى من فلوكانوزول (عقار طبي لعلاج الفطريات الجلدية) ، وأشارت نتائج الراشح الفطري *Aspergillus piperis* Mishra . والتي تتفق مع Mishra وأخرون (٢٠١٥) إذ أوضحوا أن التخليق الحيوي للجسيمات النانوية بعمليات الأكسدة والإختزال يعد تفاعل رئيسي إذ تلتقط الإنزيمات الأيونات المستهدفة وتقييدها على سطح الخلايا وتقليل الأيونات في وجود إنزيمات مثل الهيدروجيناز وأيضاً تتفق هذه الدراسة مع Namasivayam وأخرون (٢٠١٦) إذ تم تثبيط نشاط إنزيمات خارج خلوية كأميليز وبروتياز والليپاز والسليلوز الذي يعد إنزيم نشط في فطر *Aspergillus piper* كذلك يعد هذا الفطر من

المضادات الجديدة ضد الفطريات المسيبة للأمراض النباتية لإمتلاكه قدرة مكافحة حيوية - El Debaiky (٢٠١٧) ، أما نتيجة الراشح الفطري *Aspergillus minisclerotigenes* تتوافق مع Pourtalebi و Mousavi (٢٠١٥) إذ إن الأفلاتونوكسینات نواتج فطرية خطيرة عند معاملتها بجسيمات الفضة أظهرت النتائج تثبيط الأفلاتونوكسینات و تعتمد نسبة التثبيط على تركيز جسيمات الفضة النانوية إذ تكون مثبطة للسموم عند التراكيز العالية وهذا يتواافق مع ما توصل إليه El Ammar Desouky (٢٠١٦) ، ويتخذ الراشح الفطري *Rhizopus am ericanus* بنفس مذهب إليه Singh (٢٠١٤) إذ أثبتت إن الكيتيين يرفع من قدرة الفطر في القضاء على الميكروبات عند إضافة جسيمات الفضة النانوية إليه وبما إن الكيتيين يعد جزءاً أساسياً من الفطريات لذلك يلعب دوراً هاماً في القدرة التضادية و تم اختباره على بكتيريا *Pseudomonas aeruginosa* بعد تعرضها لمدة ساعة ونصف لمضادات الميكروبات المحتوية على الكيتيين معالج بجسيمات الفضة النانوية ، وفيما يتعلق بالراشح الفطري *Microsporum canis* تتوافق مع Al-Jobory وأخرون (٢٠٢٠) إذ أظهرت نتائجهما التأثير التثبيطي لـ *M.canis* بشكل كبير فضلاً عن راشح الفطر يزيد من سمية الفضة وبالتالي يعمل على تثبيط *Rhizopus Moazenii* (٢٠١٢) وأخرون نتيجة الراشح الفطري *Aspergillus welwitschiae* تتفق مع Sain (٢٠٢٢) إذ استخدم هذا الفطر في تصنيع علاج نانوي صديق للبيئة مصنوع يستهدف المكورات العنقودية الذهبية التي تعد أكثر مسببات الأمراض البشرية شيوعاً وظهور سلالات مقاومة للمضادات الحيوية . أما نتيجة الراشح الفطري *Aspergillus niger* تتفق مع Gade وأخرون (٢٠٠٨) إذ تم استخدام الراشح الفطري المضاف إليه جسيمات الفضة النانوية وأظهر محلول نشاطاً مضاداً للبكتيريا موجبة الغرام *Escherichia coli* وسائلة الغرام *Staphylococcus aureus* وأظهر الفحص الطيفي وجود بروتين فطري حول جسيمات الفضة النانوية وبالتالي زيادة ثباتها في المعلق فضلاً عن حجم الجسيمات النانوية يتراوح بين ٣-٣٠ نانومتر وهذا يساعد على إعطاء فعالية أكثر للراشح الفطري النانوي وسرعة التحليق الحيوي Jaidev و Narasimha (٢٠١٠). أما نتيجة الراشح الفطري *Aspergillus flavus* تتفق مع Jain وأخرون (٢٠١١) إذ تم تصنيع راشح فطري من هذا الفطر مضاف إليه جسيمات الفضة النانوية وأوضحت الفحوصات وجود نوعين من البروتينات خارج الخلية المسئولة عن تخليق وأستقرار الجسيمات النانوية فضلاً عن ذلك أظهرت الجسيمات النانوية المصنعة من راشح هذا الفطر نشاطاً قوياً مضاداً للأكسدة والسمية الخلوية حسب ماذكره Sulaiman وأخرون (٢٠١٥) ، إن ما تم ذكره من تجارب حول الفطر *Aspergillus costar censis* بأنه من الفطريات الخيطية المقاومة للمعادن الثقيلة و يتميز بامتصاصه العناصر الثقيلة مثل الرصاص والرئيق والنحاس والزنك Văcar وأخرون (٢٠٢١) وهذا يعطيه صفة تقليل سمية جسيمات الفضة

النانوية وبالتالي ينعكس على تقليل نسبة التثبيط عند تعرضها لفترات الفضة . و تلعب الإنزيمات والمستقلبات إلى تقليل أيونات Ag⁺ السامة إلى AgNPs المعدنية غير السامة من خلال التأثير التحفيزي للإنزيمات وكذلك يمكن الأستفادة من هذا النوع من الفطريات في ترشيح ممتاز لإنتاج جسيمات الفضة النانوية على نطاق صناعي Vahabi وأخرون (٢٠١١) ، أما نتائج الراش الفطري *Aspergillus oryza* تتوافق مع Pereira وأخرون (٢٠١٤) إذ تم تخليق محلول نانوي من راش الفطر وإستخدامه كعوامل مضادة للفطريات الجلدية وبالتحديد *Trichophyton rubrum* وأيضا التركيز المتوسط يعطي فعالية تثبيطية وهذا يتتفق مع Elamawi وأخرون (٢٠١٨) وكذلك أوضحت الفحوصات أنتاجية عالية للجسيمات النانوية الفضية من راش الفطر وتجانسها بالمحلول (Binupriya ٢٠١٠ ، وأخرون)

أما نتائج الراش الفطري *A brasiliensis* تتوافق مع Omran وأخرون (٢٠١٨) أثبتت دراستهم أن هذا الفطر لديه إمكانات جيدة للتخلص الفطري لـ AgNPs والتي أظهرت تأثيراً جيداً للميكروبات المسببة للأمراض المختلفة منها *Bacillus subtilis* و *Staphylococcus aureus* و *Pseudomonas aeruginosa* فضلاً عن ذلك يتميز هذا الفطر بإنتاجه إنزيم الزيلاناز وبيتا زيلوزيداز المقاوم للحرارة والتي تم تحديدها حديثاً غير المنتجة للأوكراتوكسين Pedersen وأخرون (٢٠٠٧) التي لم يحدث لها أي تثبيط من قبل جسيمات الفضة النانوية Namasivayam وأخرون (٢٠١٦) وبعد هذا الإنزيم فعال ذو تأثير على تحسين عملية الاستزراع لفطر *Rhizopus stolonifer* والذي يعد أحد إنزيماته الفعالة Zhang وأخرون (٢٠١٣) أما الراش الفطري الأخير Rodrigues الذي أعطى أعلى معدل نمو *Aspergillus tubigensis* تتفق النتيجة مع ما توصل إليه وأخرون (٢٠٢١) إذ تم تصنيع الجسيمات النانوية باستخدام راش هذا الفطر وإستخدامه بثبيط تكوين *Bacillus subtilis biofilm* بتركيزات منخفضة ، أما الإنزيم الرئيسي الذي ينتجها هذا الفطر فركتوز كمنتج نهائي للتحلل المائي للأنولين Divecha و Trivedi (٢٠١٢) exoinulinase فضلاً عن عملية تخلص جسيمات الفضة النانوية رفعت من مستوى نشاط هذا الإنزيم لقدرته على امتصاصها Kilimci وأخرون (٢٠٢١) . بصورة عامة يمكن للجسيمات النانوية إن تثبيط من نمو فطر *Rhizopus stolonifer* مهما كان نوع محلول الذي تم توليفها عن طريقه (ZnO) و (MgO)، لوحظ من الدراسة إن جميع الجسيمات النانوية بتركيزات مختلفة أدت إلى تثبيط كبير في إنبات جراثيم فطريات مختلفة من ضمنها الفطر *Rhizopus stolonifer* Shah و Wani (٢٠١٢) . وقد لوحظ Dutta أن التركيزات المنخفضة لجسيمات الزنك النانوية ذات سمية وفعالية أكثر وهذا يتوافق مع

وأخرون (٢٠١٣) عندما قاموا بأشتراك *E.coli* وأظهر التعرض لجسيمات الزنك النانوية ذات التركيزات المنخفضة تثبيط أعلى للنمو وقد تم رصد تشوه جدار الخلية وزيادة سمية الزنك.

٥.٥. الصفات المجهرية لفطر *Rhizopus stolonifer* المعامل بالرواشح المختلفة

أجريت العديد من الفحوصات المجهرية على الفطريات المدروسة وأوضحت تأثير المعاملات المختلفة على الغزول الفطري وشكل الحوافر البوغية وأعدادها والتشوهات الحاصلة فيها ، فضلا عن أعدادها وسمك الحافظة ، وتبين نضجها ، فضلا عن الحوامل البوغية التي أتصف بالتشوه في غالب المعاملات وضعف قطرها وأنحائها بدلا من انتسابها ، وقد وصل الحال في بعض المعاملات إلى تشوه وتكتل وأنفجار الخلايا نتيجة لعدم مقاومة الضغط الأنفакسي العالي الذي حصل نتيجة لتسمم الوسط .

الفصل السادس

الاستنتاجات والتوصيات

Conclusions and Recommendations

الفصل السادس: الاستنتاجات والتوصيات

١.٦ الاستنتاجات

- ١) أن أغلبية المتعافين من مرض كوفيد ١٩ - والأشخاص الأصحاء أوضحت عزلات من القشع لديهم فطر *Rhizopus* بنسبة أكثر من *Aspergillus* يشير إلى مدى خطورة هذا الفطر وتكيفه مع مختلف أنواع البيئات وقد يتحول إلى مرض عند ضعف المناعة .
- ٢) اظهرت نتائج التشخيص الجزيئي عن التقارب والتشابه بين الفطريات المسجلة مع العزلات العالمية .
- ٣) اظهرت نتائج التضاد الفطري حصول تباين في القدرة التضادية للفطريات المستخدمة في الدراسة حيث بلغت ٣ حسب مقياس Bell.
- ٤) تحويل الفطريات إلى رواش فطرية أظهر تباين في نمو فطر *Rhizopus* حسب التراكيز المستخدمة وجود فروقات معنوية عند مستوى أحتمالية ٥٪ ل النوع راش الفطر وتركيزه أذ لوحظ تذبذب تأثير الروаш الفطرية لكن بصورة عامة جميعها قد ثبتت نمو الفطر *Rhizopus* أظهر راش الفطر العادي بالتركيز ٧٥٪ تفوقا على التراكيز ٥٠٪، ٢٥٪، ١٠٠٪ في تأثيره التثبيطي على نمو *Rhizopus* وأظهر راش الفطر *Asergillus pipers* تفوقا على باقي الانواع الفطرية في تثبيط
- ٥) أثبتت الرواش الفطرية بالزنك النانوي قدرتها على تثبيط فطر *Rhizopus* اما تركيز راش الفطري النانوي فقد اظهر التركيز ٢٥٪ تفوقا على التراكيز ٥٪، ٧٥٪، ٥٠٪، ١٠٠٪ في تأثيره التثبيطي في نمو الفطر *Rhizopus* وبفروقات معنوية عند مستوى ٥٠٪ وأظهر راش الفطري النانوي للفطر *Aspergillus flavus* تفوقا على باقي الانواع الفطرية
- ٦) أثبتت الرواش الفطرية بالفضة النانوية قدرتها على تثبيط فطر *Rhizopus* وان هناك فروقات معنوية عند مستوى أحتمالية ٥٪ ل النوع راش الفطر النانوي المعامل بالفضة وتركيزه أذ أن تركيز راش الفطري النانوي ٥٠٪ أظهر تفوقا على التراكيز ٢٥٪، ٧٥٪، ١٠٠٪ في تأثيره التثبيطي على نمو *Rhizopus* وأظهر راش الفطري النانوي للفطر الممرض الجدي *Microsporum gypsum* تفوقا على باقي الانواع الفطرية
- ٧) أثبتت المحاليل النانوية قدرتها في تثبيط نمو *Rhizopus* بإستخدام الرواش الفطرية وتحويلها إلى رواش معاملة بالفضة والزنك النانوي .

٦. التوصيات

- ١) دراسة وتحديد المركبات الكيميائية للرواشح الفطرية التي أظهرت تثبيطاً لنمو *Rhizopus*
- ٢) التوجّه إلى تحويل الرواشح الفطرية إلى روашح نانوية لما تمتلكه هذه الرواشح من مميزات في المقاومة الأحيائية والمرضية فضلاً عن أنها صديقة للبيئة.
- ٣) تطبيق هذه التجارب المختبرية على بعض الحيوانات المختبرية.
- ٤) من الممكن استخدام الفطريات التي ثبتت من نمو *Rhizopus* في المجال الطبي للحد من انتشار الغزل الفطري في مناطق الإصابة.

المصادر

المصادر العربية

الجبوري ، سعدية ياسر عوفي . (٢٠٠٣) . حياتية و أمراضية بعض أنواع الفطر *Fusarium spp.* في حقول الرز . رسالة ماجستير . كلية العلوم – جامعة بابل .

الزبيدي ، عايد نعمة عويد ، وجيه مظهرالسلامي ، هادي عبد الجليل نعاس . (٢٠١٠) . تأثير تراكيز مختلفة من الراشح الفطري *Aspergillus niger* في حوريات وبالغات حشرة الذبابة البيضاء ، الكلية التقنية/المسيب -جامعة بابل. مجلة الفرات للعلوم الزراعية-١٧٦-(٣):١٨٢.

السهيلي ، أبراهيم عزيز خالد ، قيسر نجيب صالح وعبداللطيف سالم اسماعيل . (١٩٨٠) . الفطريات . مؤسسة دار الكتب للطباعة والنشر- جامعة الموصل . صفحة ٣٢٠.

الطاني ، أزهر حميد فرج . (٢٠١٤) . تأثير بعض أنواع *Aspergillus spp.* والفطر *Trichoderma hamatum* في نمو نبات الخيار *Cucumis sativus* المزروع في أوساط زرعية بديلة أطروحة دكتوراة . كلية الزراعة -جامعة الكوفة .

راضي ، وسام عدنان ، شوكت عبد الكريم ، دينا حسين هاتف . (٢٠٠٩) دور الفطر *Aspergillus niger* في حماية محصول الطماطة من الأصابة ببعض الفطريات المرافقة له والفطر *Rhizoctonia solani* المسئبة لمرض تعفن البذور وموت بادرات الطماطة .

قاسم ، علي عبد الواحد ، أنفال عبد الرزاق الرحيماوي . (٢٠٢٠) . اختبار التضاد الفطري بين الفطريين الاحيائين *T.viride* و *Trichoderma harzianum* وبعض الفطريات الصائدة للنيماتود على الاوساط الصلبة ، كلية العلوم-جامعة ميسان/مجلة أبحاث ميسان -المجلد ١٥ ، العدد ٣١ ، السنة ٢٠٢٠ .

المصادر الأجنبية

- Abdel-Aziz, Shadia M., Ram Prasad, Ahmed A. Hamed, and Mohamed Abdelraof.**(٢٠١٨). “Fungal Nanoparticles: A Novel Tool for a Green Biotechnology?” *Fungal Nanobionics: Principles and Applications* ٦٦–٨٧.
- AbdelRahim, K., Mahmoud, S. Y., Ali, A. M., Almaary, K. S., Mustafa, A. E. Z. M., & Husseiny, S. M.** (٢٠١٧). Extracellular biosynthesis of silver nanoparticles using *Rhizopus stolonifer*. *Saudi journal of biological sciences*, ٢٤(١), ٢٠٨-٢١٦.
- Abdelkader, D. H., Negm, W. A., Elekhnawy, E., Eliwa, D., Aldosari, B. N., & Almurschedi, A. S.** (٢٠٢٢). Zinc Oxide Nanoparticles as Potential Delivery Carrier: Green Synthesis by *Aspergillus niger* Endophytic Fungus, Characterization, and In Vitro/In Vivo Antibacterial Activity. *Pharmaceuticals*, ١٥(٩), ١٠٥٧.
- Achterman, R. R., & White, T. C.** (٢٠١٢). Dermatophyte virulence factors: identifying and analyzing genes that may contribute to chronic or acute skin infections. *International Journal of Microbiology*, ٢٠١٢.
- Afzal, Hina, Saleem Shazad, and Syeda Qamar Un Nisa.** (٢٠١٣.) “Morphological Identification of Aspergillus Species from the Soil of Larkana District (Sindh, Pakistan).” *Asian Journal of Agriculture and Biology* ١(٣):١٠٥–١٧.
- Agbetile, J., Fairs, A., Desai, D., Hargadon, B., Bourne, M., Mutalithas, K., ... Kulkarni, N. S.** (٢٠١٢). Isolation of filamentous fungi from sputum in asthma is associated with reduced post-bronchodilator FEV¹. *Clinical & Experimental Allergy*, ٤٢(٥), ٧٨٢–٧٩١.
- Ahmed, A., Rauf, A., Hemeq, H. A., Qureshi, M. N., Sharma, R., Aljohani, A. S., ... & Rahman, M. M.** (٢٠٢٢). Green synthesis of gold and silver nanoparticles using *Opuntia dillenii* aqueous extracts: characterization and their antimicrobial assessment. *Journal of Nanomaterials*, ٢٠٢٢, ١-١٧.
- Ali, S. S., Morsy, R., El-Zawawy, N. A., Fareed, M. F., & Bedaiwy, M. Y.** (٢٠١٧). Synthesized zinc peroxide nanoparticles (ZnO^{٢-}-NPs): A novel antimicrobial, anti-elastase, anti-keratinase, and anti-inflammatory approach toward polymicrobial burn wounds. *International Journal of Nanomedicine*, ١٢, ٦٠٥٩–٦٠٧٣.

Al-Khikani, F. H. O. (٢٠٢١). Mucormycosis “Black Fungus” new challenge associated with COVID ١٩. Biomedical and Biotechnology Research Journal (BBRJ), ٥(٣), ٢٦٧.

Al-Masoodi, N.(٢٠٢١). Morphological and Molecular characteristics of some dermatophyte fungi in Karbala Province and evaluation of the *Marasmius palmivorus* filtrate and leaf extract of *Moringa oleifera* on the growth and on gene expression of *Trichophyton rubrum* A. Kerbala.

Al-Masaoodi, N. N. H., Abood Al-Janabi, J. K. and Mohammed, B. T. (٢٠٢٠) “Molecular characterization and gene expression profiling of *Trichophyton rubrum* treated with a *Marasmius palmivorus* filtrate,” Drug Invention Today, ١٤(٦), pp. ٨٧٧–٨٨٨.

Al-Jobory, H. S., Hasan, K. M. A., & Alkaim, A. F. (٢٠٢٠). Antifungal effect of silver nanoparticles on dermatophytes isolated from clinical specimens. *Plant Arch*, ٢٠, ٢٨٩٧–٢٩٠٣.

Al-Zubaidi, S., Al-Ayafi, A., & Abdelkader, H. (٢٠١٩). Biosynthesis, characterization and antifungal activity of silver nanoparticles by *Aspergillus niger* isolate. *Journal of Nanotechnology Research*, ١(١), ٢٣-٣٦.

Al-Dhabi, N. A., & Valan Arasu, M. (٢٠١٨). Environmentally-friendly green approach for the production of zinc oxide nanoparticles and their anti-fungal, ovicidal, and larvicidal properties. *Nanomaterials*, ٨(٤), ٥٠٠.

Al-janabi, A. A. H. S. (٢٠٠٩). Degradation of Ethanol by Two Species of Dermatophytes : *Trichophyton mentagrophytes* and *Epidermophyton floccosum*. *Global Journal of Biotechnology & Biochemistry*, ٤(٢), ١٤٨–١٥١.

Ammar, H. A. M., & El-Desouky, T. A. (٢٠١٦). Green synthesis of nanosilver particles by *Aspergillus terreus* HA ١N and *Penicillium expansum* HA ٢N and its antifungal activity against mycotoxigenic fungi . *Journal of applied microbiology*, ١٢١(١), ٨٩-١٠٠.

Anasane, N., Golińska, P., Wypij, M., Rathod, D., Dahm, H., & Rai, M. (٢٠١٦). Acidophilic actinobacteria synthesised silver nanoparticles showed remarkable activity against fungi-causing superficial mycoses in humans. *Mycoses*, ٥٩(٣), ١٥٧–١٦٦.

Bashi, A. M., Hussein, M. Z., Zainal, Z., & Tichit, D. (٢٠١٣). Synthesis and controlled release properties of ٢, ٤-dichlorophenoxy acetate-zinc layered

hydroxide nanohybrid. Journal of Solid State Chemistry, 202, 19–24.

Bell, D. K., Wells, H. D. and Markham, C. R. (1982) “In vitro antagonism of *Trichoderma* species against six fungal plant pathogens.” Phytopathology, 72(4), pp. 379–382.

Bhadra, Abhishek, Md Sharfuddin Ahmed, Mohammed Atiqur Rahman, and Samprity Islam.(2021). “Mucormycosis or Black Fungus: An Emerging Threat in COVID-19.” Bangabandhu Sheikh Mujib Medical University Journal 51–56.

Binupriya, A. R., Sathishkumar, M., & Yun, S.-I. (2010). Myco-crystallization of silver ions to nanosized particles by live and dead cell filtrates of *Aspergillus oryzae* var. viridis and its bactericidal activity toward *Staphylococcus aureus* KCCM 12206. Industrial & Engineering Chemistry Research, 49(2), 802–807.

Birla, S. S., V. V Tiwari, A. K. Gade, A. P. Ingle, A. P. Yadav, and M. K. Rai.(2009). “Fabrication of Silver Nanoparticles by Phoma Glomerata and Its Combined Effect against *Escherichia Coli*, *Pseudomonas Aeruginosa* and *Staphylococcus Aureus*.” Letters in Applied Microbiology 48(2):173–79.

Burdová, Petra.(2014). “Monitoring Přenosu Mykotického Infekčního Agens z Domácího Zvířete Na Člověka.” Univerzita Hradec Králové.

Carmen V. Sciortino, Jr. (2017). Atlas of Clinically Important Fungi. Canada: John Wiley & Sons, Inc., Hoboken, New Jersey Published.

Castro-Longoria, E., Alfredo R. Vilchis-Nestor, and M. Avalos-Borja.(2011). “Biosynthesis of Silver, Gold and Bimetallic Nanoparticles Using the Filamentous Fungus *Neurospora Crassa*.” Colloids and Surfaces B: Biointerfaces 83(1):42–48.

Choudhary, Naveen Kumar, Amit K. Jain, Rupesh Soni, and Neha Gahlot. (2021). “Mucormycosis: A Deadly Black Fungus Infection among COVID-19 Patients in India.” Clinical Epidemiology and Global Health 12:100900.

Challa, Sundaram.(2019). “Mucormycosis: Pathogenesis and Pathology.” Current Fungal Infection Reports 13:11–20.

Chimbekujwo, K. I., Ja'afaru, M. I., & Adeyemo, O. M. (2020). Purification, characterization and optimization conditions of protease produced by *Aspergillus brasiliensis* strain BCW1. *Scientific African*, 1, e00398.

Cornely, Oliver A., Ana Alastruey-Izquierdo, Dorothee Arenz, Sharon C. A. Chen, Eric Dannaoui, Bruno Hochhegger, Martin Hoenigl, Henrik E. Jensen, Katrien Lagrou, and Russell E. Lewis.(2019). “Global Guideline for the Diagnosis and Management of Mucormycosis: An Initiative of the European Confederation of Medical Mycology in Cooperation with the Mycoses Study Group Education and Research Consortium.” *The Lancet Infectious Diseases* 19(12):e400–21.

Cook, R. James and Kenneth Frank Baker.(1983). The Nature and Practice of Biological Control of Plant Pathogens. American Phytopathological Society.

Damann Jr, K. E.(2010). “Atoxigenic *Aspergillus Flavus* Biological Control of Aflatoxin Contamination: What Is the Mechanism?” *World Mycotoxin Journal* 4(2):230–44.

Das, R., Gang, S., & Nath, S. S. (2011). Preparation and antibacterial activity of silver nanoparticles. *J Biomater Nanobiotechnol*, 2(2), 472.

Daba, G. M., Mostafa, F. A., & Elkhateeb, W. A. (2021). The ancient koji mold (*Aspergillus oryzae*) as a modern biotechnological tool. *Bioresources and Bioprocessing*.

Dinesh, B., Chethan, M. U., Pratap, G. K., Poyya, J., Shantaram, M., Hampapura, J. S., ... & Joshi, C. G. (2021). Biogenic Synthesis of Silver Nanoparticles using *Aspergillus* Aureoles (Endophyte) and Demonstration of their Anti-microbial Activity. *Analytical Chemistry Letters*, 11(6), 899-910.

Dutta, R. K., Nenavathu, B. P., Gangishetty, M. K., & Reddy, A. V. R. (2013). Antibacterial effect of chronic exposure of low concentration ZnO nanoparticles on *E. coli*. *Journal of Environmental Science and Health, Part A*, 58(8), 871-878.

Erwig, Lars P. and Neil A. R. Gow.(٢٠١٦). “Interactions of Fungal Pathogens with Phagocytes.” *Nature Reviews Microbiology* ١٤(٣):١٦٣–٧٦.

Elshafei, A. M., Othman, A. M., Elsayed, M. A., Al-Balakoc, N. G., & Hassan, M. M. (٢٠٢١). Green synthesis of silver nanoparticles using *Aspergillus oryzae* NRRL ٤٤٧ exogenous proteins: optimization via central composite design, characterization and biological applications. *Environmental Nanotechnology, Monitoring & Management*, ١٦, ١٠٠٥٣.

El-Kahky, D., Attia, M., Easa, S. M., Awad, N. M., & Helmy, E. A. (٢٠١٩). Biosynthesized of zinc oxide nanoparticles using *Aspergillus terreus* and their application as antitumor and antimicrobial activity. *Glob. Adv. Res. J. Agric. Sci*, ٨, ٩٠–١٠٠.

El-Debaiky, S. A. (٢٠١٧). Antagonistic studies and hyphal interactions of the new antagonist *Aspergillus piperis* against some phytopathogenic fungi in vitro in comparison with *Trichoderma harzianum*. *Microbial Pathogenesis*, ١١٣, ١٣٥–١٤٣.

El-Debaiky, S. A. E.-K., & El-Badry, S. M. A. (٢٠٢١). Lytic Enzymes of *Aspergillus piperis* as a Tool for Attacking Some Phytopathogenic Fungi In vitro with Special Reference to its Cytotoxicity. *Journal of Pure and Applied Microbiology*, ١٥(٤), ١٩٤٧–١٩٥٧.

El-Desouky, T. A., & Ammar, H. A. M. (٢٠١٦). Honey mediated silver nanoparticles and their inhibitory effect on aflatoxins and ochratoxin A. *Journal of Applied Pharmaceutical Science*, ٦(٦), ٨٣–٩٠.

Elamawi, R. M., Al-Harbi, R. E., & Hendi, A. A. (٢٠١٨). Biosynthesis and characterization of silver nanoparticles using *Trichoderma longibrachiatum* and their effect on phytopathogenic fungi. *Egyptian Journal of Biological Pest Control*, ٢٨(١), ١–١١.

Farooq, M., M. Hassan, and F. Gull. ٢٠١٥. “Is Correct (٢٠١٥) Mycobial Deterioration of Stone Monuments of Dharmrajika, Taxila.” *J Microbiol Exp* ٤(١):٣٦.

Ferguson, Berrylin J.(٢٠٠٠). “Mucormycosis of the Nose and Paranasal Sinuses.” *Otolaryngologic Clinics of North America* ٣٣(٢):٣٤٩–٦٥.

Foudaa, A., Saad, E. L., Elgamala, M. S., Mohmedb, A. A., & Salema, S. S. (२०१७). Optimal factors for biosynthesis of silver nanoparticles by *Aspergillus* sp. Azhar bulletin of science, confe

Frisvad, Jens C., Giancarlo Perrone, Antonia Susca, Martin Meijer, and Robert A. Samson.(२००७). “*Aspergillus Brasiliensis* Sp . Nov ., a Biseriate Black *Aspergillus* Species with World-Wide Distribution Printed in Great Britain.” १९२०–३२.

Gandra, Sumanth, Sanjay Ram, and Stuart M. Levitz.(२०२१). “The ‘Black Fungus’ in India: The Emerging Syndemic of COVID-१९-Associated Mucormycosis.” Annals of Internal Medicine १८५(१):१३०-१-२.

Gade, A. K., Bonde, P. P., Ingle, A. P., Marcato, P. D., Duran, N., & Rai, M. K. (२००८). Exploitation of *Aspergillus niger* for synthesis of silver nanoparticles. Journal of Biobased Materials and Bioenergy, २(३), २४३–२४७.

Gerena Montano, L. O., & Vilaro, F. (२०१८).Unusual opportunistic co-infections in aids patient. Journal of investigative medicine, ७७(२), ४०९. Bmj publishing group british med assoc house, tavistock square, london. wc1h .

Ghisalberti, E. L., Narbey, M. J., Dewan, M. M., & Sivasithamparam, K. (१९९०). Variability among strains of *Trichoderma harzianum* in their ability to reduce take-all and to produce pyrones. *Plant and Soil*, १२१, २८७–२९१.

Ghosh, Deganta, Sagardeep Dey, Himanko Chakraborty, Sneha Mukherjee, Ankita Halder, Akash Sarkar, Pallab Chakraborty,Rajdeep Ghosh, and Joy Sarkar.(२०२२). “Mucormycosis: A New Threat to Coronavirus Disease २०१९ with Special Emphasis on India.” Clinical Epidemiology and Global Health १०:१०१३.

Goncalves, David M., Rafael de Liz, and Denis Girard.(२०११). “Activation of Neutrophils by Nanoparticles.” The scientific world journal ११:१८८८–८०.

Gond, S. K., Mishra, A., Verma, S. K., Sharma, V. K., & Kharwar, R. N. (२०२०). Synthesis and characterization of antimicrobial silver nanoparticles by an endophytic fungus isolated from *Nyctanthes arbor-*

tristis. Proceedings of the National Academy of Sciences, India Section B: Biological Sciences, 90(3), 641-640.

Grossman, M. E., L. P. Fox, C. Kovarik, and M. Rosenbach.(२०१२). “Subcutaneous and Deep Mycoses: Zygomycosis/Mucormycosis. Cutaneous Manifestations of Infection in the Immunocompromised Host.”

Gunalan, S., Sivaraj, R. and Rajendran, V. (२०१२) “Green synthesized ZnO nanoparticles against bacterial and fungal pathogens,” Progress in Natural Science: Materials International. Elsevier, २२(६), pp. ७९३-८००. doi: १०.१०१८/j.pnsc.२०१२.११.०१०.

Gupta, K., & Chundawat, T. S. (२०२०). Zinc oxide nanoparticles synthesized using *Fusarium oxysporum* to enhance bioethanol production from rice-straw. Biomass and Bioenergy, १४३, १००८४०.

Gudikandula, K., Vadapally, P., &Charya, M. S. (२०१७). Biogenic synthesis of silver nanoparticles from white rot fungi: Their characterization and antibacterial studies. OpenNano, २, ७४-८८.

Guimarães, L. H. S., Peixoto-Nogueira, S. C., Michelin, M., Rizzatti, A. C. S., Sandrim, V. C., Zanoelo, F. F., ... Polizeli, M. D. L. T. M. (२००६). Screening of filamentous fungi for production of enzymes of biotechnological interest. Brazilian Journal of Microbiology, ३७(४).

Guo, J., Brosnan, B., Furey, A., Arendt, E., Murphy, P., & Coffey, A. (२०१२). Antifungal activity of *Lactobacillus* against *Microsporum canis*, *Microsporum gypseum* and *Epidermophyton floccosum*. Bioengineered, ५(२), १०४-११३.

Hameedd, N. W. (२०२१). Effect of nanocarriers prepared from *Agaricus bisporus* mushrooms on the two mushrooms *Trichophyton rubrum* and *Microsporum canis* A. १७६.

Hariprasath, P. and C. Arunaloke.(२०१९). “Epidemiologia Global Da Mucormicose.” Journal of. Fungi ५(१):२६.

Hage, C. A., M. Goldman, and L. J. Wheat.(२००२). “Mucosal and Invasive Fungal Infections in HIV/AIDS.” European Journal of Medical Research ७(८):२३६-४१.

Hartung, Thomas.(٢٠١٠). “Food for Thought... on Alternative Methods for Nanoparticle Safety Testing.” *Alternatives to Animal Experimentation: ALTEX* ٢٧(٢):٨٧–٩٥.

Hassan, A. A., Howayda, M. E., & Mahmoud, H. H. (٢٠١٣). Effect of zinc oxide nanoparticles on the growth of some mycotoxicogenicmould. *Stud Chem Process Technol*, ١(٤), ٦٦–٧٤.

Hamodi, S. J. and F. M. Hussein.(٢٠١١). “Effect of supplementing different levels sources of phytase enzyme to the japanese quail diets on productivity.”.

Hefny, M. E., El-Zamek, F. I., El-Fattah, A., & Mahgoub, S. A. M. (٢٠١٩). Biosynthesis of zinc nanoparticles using culture filtrates of *Aspergillus*, *Fusarium* and *Penicillium* fungal species and their antibacterial properties against gram-positive and gram-negative bacteria. *Zagazig Journal of Agricultural Research*, ٤٦(٦), ٢٠٠٩–٢٠٢١.

Holmes, Timothy R., Jenny L. Hepschke, Ian Jacobson, and Anthony Maloof. (٢٠٢١). “Mucormycosis: Early Treatment Is the Key to Survival.” *Med J Aust* ٢١٥(٩):٤٠١–٣.

Homei, A. (٢٠٠٦). Medical mycology development and epidemiology in the USA, UK and Japan. *Medical Mycology*, ٤٤(Supplement_١), S٣٩–S٥٤.

Huang, D., Song, Y., Liu, Y., & Qin, Y. (٢٠١٩). A new strain of *Aspergillus tubingensis* for high-activity pectinase production. *Brazilian Journal of Microbiology*, ٥٠, ٥٣–٦٥.

Hyde, K. D., Xu, J., Rapior, S., Jeewon, R., Lumyong, S., Niego, A. G. T., Stadler, M. (٢٠١٩). The amazing potential of fungi: ٥٠ ways we can exploit fungi industrially. *Fungal Diversity*, Vol. ٩٧.

Issa, M. A. (٢٠٢٢). Rapid enzymatically reduction of zincum gluconicum for the biomanufacturing of zinc oxide nanoparticles by mycoextracellular filtrate of *penicillium digitatum* (Pdig-B٣) as a soft green technique. *Archives of Razi Institute*, ٧٧(١), ١٠١.

Jalal, M., Ansari, M. A., Ali, S. G., Khan, H. M., & Rehman, S. (٢٠١٨). Anticandidal activity of bioinspired ZnO NPs: effect on growth, cell morphology and key virulence attributes of *Candida* species. *Artificial Cells, Nanomedicine, and Biotechnology*, ٤٦(sup١), ٩١٢–٩٢٠.

- Jain, N., Bhargava, A., Majumdar, S., Tarafdar, J. C., & Panwar, J.** (२०११). Extracellular biosynthesis and characterization of silver nanoparticles using *Aspergillus flavus* NJP-^A: a mechanism perspective. *Nanoscale*, ३(२), ६३०–६४१.
- Jalanta, J. L.; rikard, h.; christian, t.; berndt, g. And christopher, j. W.** (२००४). Broad-spectrum antifungal metabolites produced by the soil bacterium *serratia Plymuthica* a¹⁰³. *Soil biol. Biotechnol.* ३६: ६७८-६८०.
- Jaidev, L. R., & Narasimha, G.** (२०१०). Fungal mediated biosynthesis of silver nanoparticles, characterization and antimicrobial activity. *Colloids and Surfaces B: Biointerfaces*, ८१(२), ४३०–४३३.
- Jasim, A. A., Mohammed, B. T., & Lahuf, A. A.** (२०१९). Molecular and enzymatic properties of fungi isolated from historical manuscripts preserved at the Al-Hussein Holy Shrine. *Biochemical and Cellular Archives*, १९(२), ४२९०–४३००.
- Jin, B., Yuan, Y., Zhou, P., Niu, J., Niu, J., Dai, J., ... Zhang, J.** (२०२०). Effects of zinc oxide nanoparticles on sludge anaerobic fermentation: phenomenon and mechanism. *Journal of Environmental Science and Health, Part A*, ५५(१), १०९४–११०३.
- Jones, E. B. G., & Pang, K.-L.** (२०२२). Observation of Danish marine fungi: in memoriam of Dr. Jørgen Koch. *Botanica Marina*, ७२(१), १३–२१.
- Karthikeyan, S., Ramkumar, G., Aravindkumar, S., Tamilselvi, M., Ramesh, S., & Ranjith, A.** (२०२२). A Novel Deep Learning-Based Black Fungus Disease Identification Using Modified Hybrid Learning Methodology. *Contrast Media and Molecular Imaging*, २०२२.
- Kamiar , Zomorodian Seyedmohammad Pourshahid, Arman Sadatsharifi, Pouyan Mehryar, Keyvan Pakshir, Mohammad Javad Rahimi, Ali Arabi Monfared,**(२०१६) "Biosynthesis and Characterization of Silver Nanoparticles by *Aspergillus Species*", BioMed Research International, vol. २०१६, Article ID ०४३०३९८, ६ pages, २०१६.
- Kalia, A., Kaur, J., Tondey, M., Manchanda, P., Bindra, P., Alghuthaymi, M. A., ... & Abd-Elsalam, K. A.** (२०२१). Differential Antimycotic and Antioxidant Potentials of Chemically Synthesized Zinc-Based Nanoparticles Derived from Different Reducing/Complexing Agents against Pathogenic Fungi of *Maize Crop*. *Journal of Fungi*, ७(३), २२३.

Kenneth j. Ryan, m. And c. George ray, m. (२०१९) medical microbiology an introduction to infectious diseases. ४th editio. Edited by f. John c. Sherris, md. Milan: university of chicago.

Khachatourians, G. G., & Arora, D. K. (२००१). Applied mycology and biotechnology for agriculture and foods. In Applied Mycology and Biotechnology (Vol. १, pp. १–११). Elsevier.

Kilimci, U., Evli, S., Öndeş, B., Uygun, M., & Uygun, D. A. (२०२१). Inulinase immobilized lectin affinity magnetic nanoparticles for inulin hydrolysis. Applied Biochemistry and Biotechnology, १९३, १४१०–१४२६.

Kuzikova, I. L., & Medvedeva, N. G. (२०२१). Opportunistic fungi as contaminants of human environment and their potential pathogenicity. Ekologiya Cheloveka (Human Ecology), २०२१(३).

Kumar, V., Basu, M. S., & Rajendran, T. P. (२००८). Mycotoxin research and mycoflora in some commercially important agricultural commodities. Crop Protection, २७(८), ८९१–९००.

Kumari, N., Bamel, K., Pandey, R., & Talwar, S. (२०२२). Corona Virus and Mucormycosis: Indications and Treatment Methodology of Dark Growth in COVID-१९ Patients. South Asian Journal of Experimental Biology, १२(१), ६४–७२.

Lateef, A., Adelere, I. A., Gueguim-Kana, E. B., Asafa, T. B., & Beukes, L. S. (२०१०). Green synthesis of silver nanoparticles using keratinase obtained from a strain of *Bacillus safensis* LAU १३. International Nano Letters, ०, २९–३०.

Leatham, G. (२०१२). Frontiers in industrial mycology. Springer Science & Business Media.

Levetin, Estelle & Horner, W. & Scott, James. (२०१०). Taxonomy of Allergenic Fungi. The Journal of Allergy and Clinical Immunology: In Practice. १०.१०.१७/j.jaip.२०१०.१०.१०.१२

Liberatore, Carmine, Francesca Farina, Raffaella Greco, Fabio Giglio, Daniela Clerici, Chiara Oltolini, Maria Teresa Lupo Stanghellini, Federica Barzaghi, Paolo Vezzulli, and Elena Orsenigo. (२०२१). “Breakthrough Invasive Fungal Infections in Allogeneic Hematopoietic

Stem Cell Transplantation.” Journal of Fungi 7(5):347.

Lin, Xiuchun, Jingyi Li, Si Ma, Gesheng Liu, Kun Yang, Meiping Tong, and Daohui Lin.(२०१४). “Toxicity of TiO_x Nanoparticles to *Escherichia Coli*: Effects of Particle Size, Crystal Phase and Water Chemistry.” PloS One ९(१):e११०२४७.

Li, Xuqing, Dingyi Li, Jianli Yan, Ya Zhang, Hong Wang, Jingze Zhang, Temoor Ahmed, and Bin Li.(२०२१). “Effect of Plant-Growth-Promoting Fungi on Eggplant (*Solanum Melongena L.*) in New Reclamation Land.” *Agriculture* (Switzerland) ११(१).

Liu, y., ding, z., peng, d. Liang, liu, s. Ming, kong, l. An, peng, h., ... huang, w. Kun. (२०१९). Evaluation of the biocontrol potential of *Aspergillus welwitschiae* against the root-knot nematode *Meloidogyne graminicola* in rice (*Oryza sativa L.*). *Journal of Integrative Agriculture*, १८(१).

Loeffler, H. J. M., Van Dongen, M., & Schippers, B. (१९८६). Effect of NH³ on Chlamydospore Formation of *Fusarium oxysporum* f. sp. *dianthi* in an NH³-Flow System. *Journal of Phytopathology*, ११८(१), ४३–५८.

Lopes FC, Tichota DM, Sauter IP, Meira SMM, Segalin J, Rott MB. (२०१२). Active metabolites produced by *Penicillium chrysogenum* IFL¹ growing on agro-.industrial residues. *Ann Microbiol*; ६३:७७१-८.

Lutfana Banu, A., & Soundhari, C. (२०१९). Anti-Dermatophytic Activity of Titanium Dioxide Nanoparticle Synthesized using *Lawsonia Inermis*.

Mahalaxmi, I., Jayaramayya, K., Venkatesan, D., Subramaniam, M. D., Renu, K., Vijayakumar, P., ... Vellingiri, B. (२०२१). Mucormycosis: An opportunistic pathogen during COVID-१९. *Environmental Research*, २०१.

Marcos, Caroline M., Haroldo C. De Oliveira, Wanessa de Cássia M. Antunes de Melo, Julhiany De FaTima Da Silva, Patricia A. Assato, Liliana Scorzoni, Suelen A. Rossi, Ana C. A. de Paula e Silva, Maria J. S. Mendes-Giannini, and Ana M. Fusco-Almeida.(२०१९). “Anti-Immune Strategies of Pathogenic Fungi.” *Frontiers in Cellular and Infection Microbiology* ९:१४२.

- Machida, M., Yamada, O., & Gomi, K.** (۲۰۱۸). Genomics of *Aspergillus oryzae*: learning from the history of Koji mold and exploration of its future. *DNA Research*, ۱۵(۴), ۱۷۳–۱۸۳.
- Mali, T., Mäki, M., Hellén, H., Heinonsalo, J., Bäck, J., & Lundell, T.** (۲۰۱۹). Decomposition of spruce wood and release of volatile organic compounds depend on decay type, fungal interactions and enzyme production patterns. *FEMS Microbiology Ecology*, ۹۰(۹).
- Maness, L. R., & Zubov, T.** (۲۰۱۹). The inhibitory effect of essential oils on *Rhizopus stolonifer*, *Trichophyton mentagrophytes*, and *Microsporum gypseum*. *Laboratory Medicine*, ۵۰(۱), e۱۸–e۲۲.
- Melo, I., Moretini, A., Cassiolato, A., & Faull, J.** (۲۰۱۱). Development of mutants of *Coniothyrium minitans* with improved efficiency for control of *Sclerotinia sclerotiorum*. *Journal of Plant Protection Research*, ۱۷۹–۱۸۳.
- Mentes, S., Otkun, M. T. and Palaz, E.** (۲۰۱۷) “Comparison of dichloran rose bengal chloramphenicol and Sabouraud dextrose agar with cycloheximide and chloramphenicol for airborne mold sampling,” *Aerobiologia*. Springer Netherlands, ۳۳(۲), pp. ۲۱۱–۲۱۹. doi: ۱۰.۱۰۰۷/s۱۰۴۰۳-۰۱۶-۹۴۶۲-۲.
- Mekky, A. E., Farrag, A. A., Hmed, A. A., & Sofy, A. R.** (۲۰۲۱). Preparation of zinc oxide nanoparticles using *aspergillus niger* as antimicrobial and anticancer agents. *J. Pure Appl. Microbiol.*, ۱۰, ۱۰۴۷-۱۰۶۶.
- Mellan, J. E., & Cotty, P. J.** (۲۰۰۴). Expression of pectinase activity among *Aspergillus flavus* isolates from southwestern and southeastern United States. *Mycopathologia*, ۱۵۷, ۳۲۲–۳۳۸.
- Mishra, S., Dixit, S., & Soni, S.** (۲۰۱۰). Methods of nanoparticle biosynthesis for medical and commercial applications. *Bio-Nanoparticles: Biosynthesis and Sustainable Biotechnological Implications*, ۱۴۱–۱۰۴.
- Mohammadi, Faezeh, Milad Badri, Shapoor Safari, and Nima Hemmat** (۲۰۲۱). “A Case Report of Rhino-Facial Mucormycosis in a Non-Diabetic Patient with COVID-۱۹: A Systematic Review of Literature and Current Update.” *BMC Infectious Diseases* ۲۱(۱):۱–۷.

Moubasher, A. H.(۱۹۹۳). “Soil Fungi in Qatar and Other Arab Countries, the Centre for Scientific and Applied Research.” University of Qatar, Doha, Qata.

Moazeni, M., Rashidi, N., Shahverdi, A. R., Noorbakhsh, F., & Rezaie, S. (۲۰۱۲). Extracellular production of silver nanoparticles by using three common species of dermatophytes: *Trichophyton rubrum*, *Trichophyton mentagrophytes* and *Microsporum canis*. Iranian Biomedical Journal, ۱۶(۱), ۵۲.

Mousavi, S. A. A., & Pourtalebi, S. (۲۰۱۰). Inhibitory effects of silver nanoparticles on growth and aflatoxin B₁ production by *Aspergillus Parasiticus*. Iranian Journal of Medical Sciences, ۴(۱), ۵۱.

Mukherjee, Priyabrata, Absar Ahmad, Deendayal Mandal, Satyajyoti Senapati, Sudhakar R. Sainkar, Mohammad I. Khan, Renu Parishcha, P. V Ajaykumar, Mansoor Alam, and Rajiv Kumar.(۲۰۱۱). “Fungus-Mediated Synthesis of Silver Nanoparticles and Their Immobilization in the Mycelial Matrix: A Novel Biological Approach to Nanoparticle Synthesis.” Nano Letters ۱۱(۱):۵۱۰–۵۱۹.

Mussin, J., Robles-Botero, V., Casañas-Pimentel, R., Rojas, F., Angioletta, L., Martín-Martínez, S., & Giusiano, G. (۲۰۲۱). Antimicrobial and cytotoxic activity of green synthesis silver nanoparticles targeting skin and soft tissue infectious agents. Scientific Reports, ۱۱(۱), ۱-۱۱.

Muhsin, T. M., & Salih, T. H. (۲۰۱۱). Exocellular enzyme activity of dermatophytes and other fungi isolated from ruminants in Southern Iraq. Mycopathologia, ۱۵۰, ۴۹–۵۲.

Naranjo-Ortiz, M. A. and Gabaldón, T. (۲۰۱۹) “Fungal evolution: diversity, taxonomy and phylogeny of the Fungi,” Biological Reviews, ۹۴(۱), pp. ۲۱۰۱–۲۱۳۷. doi: ۱۰.۱۱۱۱/brv.۱۲۰۰۰.

Namasivayam, S. K. R., Aroma, R., Manikanta, M., Gopinath, P., & Francis, A. L. (۲۰۱۶). Evaluation of enzyme activity inhibition of biogenic silver nanoparticles against microbial extracellular enzymes.

- Nogueira, Daniele Rubert, Lorena Tavano, Montserrat Mitjans, Lourdes Pérez, M. Rosa Infante, and M. Pilar Vinardell.**(2012). "In Vitro Antitumor Activity of Methotrexate via PH-Sensitive Chitosan Nanoparticles." *Biomaterials* 33(11):2708–2712.
- Nyongesa, Beatrice Wabusya, Sheila Okoth, and Vincent Ayugi.** (2010). "Identification Key for <I>Aspergillus</I> Species Isolated from Maize and Soil of Nandi County, Kenya." *Advances in Microbiology* 1(1):20–29.
- Odds, F. C.** (1991) "Sabouraud(s) agar," *Journal of Medical and Veterinary Mycology*, 29(1), pp. 300–309. doi: 10.1080/0268121918400081.
- Omero, C., Y. Dror, and A. Freeman.**(2004). "Trichoderma Spp. Antagonism to the Dermatophyte *Trichophyton Rubrum*: Implications in Treatment of Onychomycosis." *Mycopathologia* 158:173–180.
- Omran, B. A., Nassar, H. N., Fatthallah, N. A., Hamdy, A., El-Shatoury, E. H., & El-Gendy, N. S.** (2018). Characterization and antimicrobial activity of silver nanoparticles mycosynthesized by *Aspergillus brasiliensis*. *Journal of Applied Microbiology*, 120(2), 370–382.
- Orton, E. S., & Brown, J. K. M.** (2011). Reduction of growth and reproduction of the biotrophic fungus *Blumeria graminis* in the presence of a necrotrophic pathogen. *Frontiers in Plant Science*, 2:42.
- Petrikos, George, Anna Skiada, Olivier Lortholary, Emmanuel Roilides, Thomas J. Walsh, and Dimitrios P. Kontoyiannis.**(2012). "Epidemiology and Clinical Manifestations of Mucormycosis." *Clinical Infectious Diseases* 55(suppl_1):S23–S34.
- Pedersen, M., Lauritzen, H. K., Frisvad, J. C., & Meyer, A. S.** (2007). Identification of thermostable β -xylosidase activities produced by *Aspergillus brasiliensis* and *Aspergillus niger*. *Biotechnology Letters*, 29, 743–748.
- Pereira, L., Dias, N., Carvalho, J., Fernandes, S., Santos, C., & Lima, N.** (2014). Synthesis, characterization and antifungal activity of chemically

and fungal-produced silver nanoparticles against *Trichophyton rubrum*. Journal of Applied Microbiology, 117(1), 161–163.

Pitt J. I. & Ailsa D. Hocking. (1980). Interfaces Among Genera Related to *Aspergillus* and *Penicillium*, Mycologia, 72(5), 810–824, DOI: 10.1080/00275514.1980.12025117.

Poinern, G. E. J. (2014). A laboratory course in nanoscience and nanotechnology. CRC Press.

Prabhu, R. M. and Robin Patel. (2004). “Mucormycosis and Entomophthoramycosis: A Review of the Clinical Manifestations, Diagnosis and Treatment.” Clinical Microbiology and Infection 10:31–47.

Prakash, Hariprasath, Anup Kumar Ghosh, Shivaprakash Mandya Rudramurthy, Raees Ahmad Paul, Sunita Gupta, Vishwanand Negi, and Arun Aloke Chakrabarti. (2016). “The Environmental Source of Emerging Apophysomyces Variabilis Infection in India.” Sabouraudia 54(6):567–70.

Qing, Fan and Tian Shiping. (2000). “Postharvest Biological Control of *Rhizopus* Rot of Nectarine Fruits by *Pichia Membranefaciens*.” Plant Disease 84(11):1212–16.

Ramachandran, Sumitra, Krishnan Roopesh, K. Madhavan Nampoothiri, George Szakacs, and Ashok Pandey. (2000). “Mixed Substrate Fermentation for the Production of Phytase by *Rhizopus* Spp. Using Oilcakes as Substrates.” Process Biochemistry 5(5):1749–54.

Rawlani, Sudhir S., Ambreen Siddiqui, Mohsin Reza, Shubham Chelkar, Tulika Rani, and Harsimran Kaur Bhatia Roy. (2021). “Black Fungus Mucormycosis, Epidemiology, Etiopathogenesis, Clinical Diagnosis, Histopathology and Its Management—A Review.” Int J Med Dent Res 1(2):1–8.

Raza, Aiza Fatima, Dilli Raj Paudel, and Prashanth Prabhu. (2021). “Black Fungus and COVID-19: Role of Otorhinolaryngologists and Audiologists.” European Archives of Oto-Rhino-Laryngology 278:3132–34.

Rajan, A., Cherian, E. and Baskar, G. (२०१६) “Biosynthesis of zinc oxide nanoparticles using *Aspergillus fumigatus* JCF and its antibacterial activity,” Int J Mod Sci Technol, १, pp. ५२–५७.

Rajani, P., Rajasekaran, C., Vasanthakumari, M. M., Olsson, S. B., Ravikanth, G., & Shaanker, R. U. (२०२१). Inhibition of plant pathogenic fungi by endophytic *Trichoderma* spp. through mycoparasitism and volatile organic compounds. Microbiological Research, २४२, १२६०९०.

Reeda, G., & Mohammed, B. T. (२०२१). Use of Green Nano-Extracts in the Control of *Trichophyton rubrum*. Annals of the Romanian Society for Cell Biology, २९(१), ३९९६–४०१.

Richardson, M. (२००९). “The Ecology of the Zygomycetes and Its Impact on Environmental Exposure.” Clinical Microbiology and Infection १०:२–९.

Richardson, Malcolm D. and Riina Rautemaa-Richardson. (२०१९). “Biotic Environments Supporting the Persistence of Clinically Relevant Mucormycetes.” Journal of Fungi ६(१):४.

Romani, L. (२०११). Immunity to Fungal Infections. Nat. Rev. Immunol. ११, २८०–२८८. Doi: १०.१०३८/Nri२९३.” Nature Reviews Immunology ११(४):२८०–८८

Rodrigues, A. G., Ruiz, R. de C., Selari, P. J. R. G., Araújo, W. L. de, & Souza, A. O. de. (२०२१). Anti-biofilm action of biological silver nanoparticles produced by *Aspergillus tubingensis* and antimicrobial activity of fabrics carrying it. Biointerface Research in Applied Chemistry.

SastrayMurali, Absar Ahmad, M. Islam Khan, and Rajiv Kumar. (२००३). “Biosynthesis of Metal Nanoparticles Using Fungi and Actinomycete.” Current Science १६२–७०.

Sathe, S. J., N. N. Nawani, P. K. Dhakephalkar, and B. P. Kapadnis. (२००७). “Antifungal Lactic Acid Bacteria with Potential to Prolong Shelf-life of Fresh Vegetables.” Journal of Applied Microbiology १०३(६):२६२२–२८.

Sambrook, J. (१९८९) “Molecular colning,” *A laboratory manual*. Cold

Spring Harbour Lab. Press, pp. 1–82.

Sandven, P. and Lassen, J. (1991) “Importance of selective media for recovery of yeasts from clinical specimens,” Journal of Clinical Microbiology, 37(11), pp. 3731–3732. doi: 10.1128/jcm.37.11.3731-3732.1999.

Samson, Robert A., Jos A. M. P. Houbraken, Angelina F. A. Kuipers, J. Mick Frank, C. Jens, and Dk-Kgs Lyngby. (2004). “New Ochratoxin A or Sclerotium Producing Species in *Aspergillus* Section Nigri.” 40–61.

Sain, Z. M. (2022). Nanotherapeutic Drug Synthesized by Way of a Microbial Pathway Targeting *Staphylococcus aureus*. Journal of Pharmaceutical Research International, 62–92.

Sampaio, S. and Viana, J. C.,(2018). Production of silver nanoparticles green synthesis using artichoke (*Cynara scolymus* L.) aqueous extract and measurement of their electrical conductivity. Adv. Nat. Sci.: Nanosci. Nanotechnol., 9: 1–9

Selvamurugan, Selvaraj.(2021). “Current Scenario and the Way to Protect Us from Black Fungus: A Review.” Journal of Pharmaceutical Advanced Research 4(1):130–2–6.

Senanayake, I. C. et al. (2020) “Morphological approaches in studying fungi: Collection, examination, isolation, sporulation and preservation,” Mycosphere, 11(1), pp. 2678–2704.

Selvan, D. A., Mahendiran, D., Kumar, R. S., & Rahiman, A. K. (2018). Garlic, green tea and turmeric extracts-mediated green synthesis of silver nanoparticles: Phytochemical, antioxidant and in vitro cytotoxicity studies. Journal of Photochemistry and Photobiology B: Biology, 184, 243–252.

Shankar, S. Shiv, Absar Ahmad, Renu Pasricha, M. Islam Khan, Rajiv Kumar, and Murali Sastry.(2004). “Immobilization of Biogenic Gold Nanoparticles in Thermally Evaporated Fatty Acid and Amine Thin Films.” Journal of Colloid and Interface Science 274(1):69–70.

Shinde, Yogita B. and Sanket Kore.(2021). “A Review on Mucormycosis with Recent Pharmacological Treatment.” Journal of Drug Delivery and

Therapeutics 11(3-S):140–49.

Shoaib, A., Awan, Z. A., & Akhtar, N. (2019). Taxonomic Divergence of Medically Important and Toxigenic *Aspergillus minisclerotigenes* from *Aspergillus flavus*. Journal of Innovative Sciences, 9(2).

Singh, Awadhesh Kumar, Ritu Singh, Shashank R. Joshi, and Anoop Misra. (2021). “Mucormycosis in COVID-19: A Systematic Review of Cases Reported Worldwide and in India.” Diabetes & Metabolic Syndrome: Clinical Research & Reviews 10(2):102146.

Silva, Daiani M., Luís R. Batista, Elisângela F. Rezende, Maria Helena P. Fungaro, Daniele Sartori, and Eduardo Alves. (2021). “Identification of Fungi of the Genus *Aspergillus* Section *Nigri* Using Polyphasic Taxonomy.” Brazilian Journal of Microbiology 52(2):761–73.

Siddiqi, K. S., & Husen, A. (2016). Fabrication of metal nanoparticles from fungi and metal salts: scope and application. Nanoscale research letters, 11(1), 1-10.

Singh, D., Rathod, V., Ninganagouda, S., Hiremath, J., Singh, A. K Mathew, J. (2014). Optimization and characterization of silver nanoparticle by endophytic fungi *Penicillium* sp. isolated from Curcuma longa (turmeric) and application studies against MDR *E. coli* and *S. aureus*. Bioinorganic chemistry and applications, 2014.

Singh, P., & Cotty, P. J. (2019). Characterization of Aspergilli from dried red chilies (*Capsicum* spp.): Insights into the etiology of aflatoxin contamination. International Journal of Food Microbiology, 289, 140–153.

Singh, R., & Singh, D. (2014). Chitin membranes containing silver nanoparticles for wound dressing application. International Wound Journal, 11(3), 264–268.

Skiada, Anna, Ioannis Pavleas, and Maria Drogari-Apiranthitou. (2020). “Epidemiology and Diagnosis of Mucormycosis: An Update.” Journal of Fungi 6(2):260.

Soni, N. and Prakash, S. (2013) “Possible mosquito control by silver nanoparticles synthesized by soil fungus (*Aspergillus niger* 2087).”

Scientific Research Publishing.

Steel, RGD and Torrie J H (1981). Principles and Procedures of Statistics: A Biometrical Approach. Second Edition, McGraw Hill.

Sultana, Y. (2007) "Sterilization Methods and Principles," in pharmaceutical and Microbiology.

Sulaiman, G. M., Hussien, H. T., & Saleem, M. M. (2010). Biosynthesis of silver nanoparticles synthesized by *Aspergillus flavus* and their antioxidant, antimicrobial and cytotoxicity properties. Bulletin of Materials Science, 38(3), 639–644. Bulletin of Materials Science, 38, 639–644.

Sumanth, B., Lakshmeesha, T. R., Ansari, M. A., Alzohairy, M. A., Udayashankar, A. C., Shobha, B., ... Almatroudi, A. (2020). Mycogenic synthesis of extracellular zinc oxide nanoparticles from *Xylaria acuta* and its nanoantibiotic potential. International Journal of Nanomedicine, 8019–8036.

Tamur AH, Al-Janabi HJ, Al-Janabi JKA, Mohsin LY and Al-Yassiry ZAN Characterization and Antagonistic Activity of New Causal.(2019). Agent Wilt Disease in Imperata cylindrica (*Marasmius palmivorus*), J Pure of Appl Microbiol., 13(3): 1020–1036.

Tamayo-Ordóñez, M. C., Contreras-Esquivel, J. C., Ayil-Gutiérrez, B. A., De la Cruz-Arguijo, E. A., Tamayo-Ordóñez, F. A., Ríos-González, L. J., & Tamayo-Ordóñez, Y. J. (2021). Interspecific evolutionary relationships of alpha-glucuronidase in the genus *Aspergillus*. Fungal Biology, 120(7), 560–570.

Thanushree, M. P., Sailendri, D., Yoha, K. S., Moses, J. A., & Anandharamakrishnan, C. (2019). Mycotoxin contamination in food: An exposition on spices. Trends in Food Science and Technology, Vol. 93, pp. 69–80.

Thristy, I., & Siregar, Y. (2013). *Aspergillus Fumigatus* pada Sputum Penderita Batuk Kronik Menggunakan Metode PCR dan Kultur.

Trivedi, S., Divecha, J., & Shah, A. (2012). Optimization of inulinase production by a newly isolated *Aspergillus tubingensis* CR11 using low

cost substrates. Carbohydrate Polymers, 70(1), 483–490.

Văcar, C. L., Covaci, E., Chakraborty, S., Li, B., Weindorf, D. C., Frențiu, T., ... Podar, D. (2021). Heavy metal-resistant filamentous fungi as potential mercury bioremediators. Journal of Fungi, 1(5), 386.

Vahabi, K., Mansoori, G. A., & Karimi, S. (2011). Biosynthesis of silver nanoparticles by fungus *Trichoderma reesei* (a route for large-scale production of AgNPs). Insciences J., 1(1), 60–79.

Vergidis, P., Moore, C. B., Novak-Frazer, L., Rautemaa-Richardson, R., Walker, A., Denning, D. W., & Richardson, M. D. (2020). High-volume culture and quantitative real-time PCR for the detection of *Aspergillus* in sputum. Clinical Microbiology and Infection, 26(7), 930–940.

Wani, A. H., Amin, M., Shahnaz, M., & Shah, M. A. (2012). Antimycotic activity of nanoparticles of mgo, feo and zno on some pathogenic fungi. International Journal of Manufacturing, Materials, and Mechanical Engineering, 1(1).

Wani, A. H., & Shah, M. A. (2012). A unique and profound effect of MgO and ZnO nanoparticles on some plant pathogenic fungi. Journal of Applied Pharmaceutical Science, (Issue), 40–44.

Widyaningrum, T., & Parahadi, M. (2020). Bioethanol levels of dragon fruit (*Hylocereus polyrhizus*) peel with the addition of blend crude cellulase enzyme from *Trichoderma reesei* and *Aspergillus niger*. Journal of Tropical Biodiversity and Biotechnology, 5(1), 1–8.

Woods, Jeffrey A., Noah T. Hutchinson, Scott K. Powers, William O. Roberts, Mari Carmen Gomez-Cabrera, Zsolt Radak, Istvan Berkes, Anita Boros, Istvan Boldogh, and Christiaan Leeuwenburgh. (2020). “The COVID-19 Pandemic and Physical Activity.” Sports Medicine and Health Science 2(2):80–94.

Yassin, Shrook, K., & Mohammed, B. T (2020). “Molecular and Chemical Properties of a Common Medicinal Plants in Iraq.” 7026(October 2019):7010–26.

Yassin, Shrook, K., & Mohammed, B. T. (٢٠٢١). Evaluation of mineral, nano-zinc, and fluconazole interaction on some growth characteristics of *Trichophyton rubrum* and *Microsporum canis*. Biochemical and Cellular Archives, ٢١(١), ١٣٥٩–١٣٦٩

Yu, J. (٢٠١٢). Current understanding on aflatoxin biosynthesis and future perspective in reducing aflatoxin contamination. Toxins, ٤(١), ١٠٢٤–١٠٥٧.

Zhang, Z., Li, J., Feng, F., Liu, D., Pang, Q., Li, M., & Chen, K. (٢٠١٣). Optimization of Nutrition Constituents for Xylanase Activity by *Rhizopus stolonifer* Under Solid-State Fermentation on Corncob. BioResources, ٨(٢).

Zomorodian, K., Pourshahid, S., Sadatsharifi, A., Mehryar, P., Pakshir, K., Rahimi, M. J., & Arabi Monfared, A. (٢٠١٦). Biosynthesis and characterization of silver nanoparticles by *Aspergillus* species. BioMed research international.

林睿. (٢٠٢١). 三亚红树林根际真菌抗金黄色葡萄球菌化合物研究
(Master's thesis, 中国地质大学 (北京)).

لين روی (٢٠٢١). بحث مركب مضاد للمكورات العنقودية الذهبية على فطر جذر سانيا (أطروحة ماجستير ، جامعة الصين لعلوم الأرض (بكين)).

الملاحق

Appendix

الملاحق

(ملحق رقم ١)

١٦S ribosomal RNA gene

No.	Type of substitution	Location	Nucleotide	Sequence ID with compare	Sequence ID with Submissions	Source	Identities
١	Transition	٧٠	A\G	ID: MNE١٣٦٨٨. ١	ON٩٨١٠٩٧.١	<i>Rhizopus stolonifer</i>	٩٩%
	Transition	١٢٣	T\C				
	Transition	٥٢٨	T\C				
	Transversion	٥٨٧	C\A				
	Transversion	٥٨٩	G\C				
	Transition	٥٩٤	A\G				
٢	-----	-----	-----	ID: MN٥.٩.٣٥. ١	ON٩٨١٠٩٨.١	<i>Aspergillus niger</i>	١٠٠%
٣	Transversion	٥٠٠	C\A	ID: MH٢٧.٥٣٩. ١	ON٩٨١٠٩٩.١	<i>Aspergillus welwitschiae</i>	٩٩%
	Transversion	٥٥١	A\T				
	Transversion	٥٥٦	G\C				
٤	-----	-----	-----	ID: MG٦٦٢٤.٨. ١	ON٩٨١١٠٠.١	<i>Aspergillus minisclerotigenes</i>	١٠٠%
٥	Transversion	٥٦٠	T\A	ID: KU٦٨٦٦٨٢.١	ON٩٨١١٠١.١	<i>Aspergillus tubingensis</i>	٩٩%
	Transition	٥٦٢	A\G				
	Transversion	٥٦٤	C\G				
٦	-----	-----	-----	ID: ON٢.٨٤٧٤.١	ON٩٨١١٠٢.١	<i>Aspergillus costaricensis</i>	١٠٠%
٧	-----	-----	-----	ID: MH٨٧٩٨٦. ١	ON٩٨١٢٩٥.١	<i>Aspergillus oryzae</i>	١٠٠%
٨	-----	-----	-----	ID: MZ٣١٤٥٨٧. ١	ON٩٨١١٠٣.١	<i>Aspergillus piperis</i>	١٠٠%
٩	-----	-----	-----	ID: MW٧٥٧٣٤٣. ١	ON٩٨١١٠٤.١	<i>Aspergillus brasiliensis</i>	١٠٠%
١٠	-----	-----	-----	ID: MT٤٤٦٠٨٧. ١	ON٩٨١١٠٥.١	<i>Aspergillus niger</i>	١٠٠%
١١	-----	-----	-----	ID: KU٦٨٦٦٨٢.١	ON٩٨١٢٩٦.١	<i>Aspergillus tubingensis</i>	١٠٠%
١٢	-----	-----	-----	ID: MT٥٢٩٩٧. ١	ON٩٨١٢٩٧.١	<i>Aspergillus flavus</i>	١٠٠%
١٣	Transition	٢٨٦	A\G	ID: KY٦٢١٢٢١.١	ON٩٨١١٠٦.١	<i>Rhizopus americanus</i>	٩٩%
	Transition	٤٨٩	C\T				
	Transition	٥١٩	C\T				
١٤	Transversion	٢٣	C\G	ID: MZ٤٧٤٨٤١. ١	ON٩٨١١٠٧.١	<i>Aspergillus niger</i>	٩٩%
	Transversion	٣٧١	T\G				
	Transversion	٥٦٠	A\T				
	Transversion	٥٦٦	G\C				

ملحق رقم (2)

Rhizopus stolonifer isolate MJU-^o internal transcribed spacer ¹, partial sequence; ^{o.^S} ribosomal RNA gene and internal transcribed spacer ², complete sequence; and large subunit ribosomal RNA gene, partial sequence

Sequence ID: [MN412688.1](#) Length: 600 Number of Matches: 1

Range 1: 0 to 600 [GenBank](#) [Graphics](#) Next Match Previous Match

Rhizopus stolonifer clone NaBa-1-IRAQ internal transcribed spacer ¹, partial sequence; ^{o.^S} ribosomal RNA gene and internal transcribed spacer ², complete sequence; and large subunit ribosomal RNA gene, partial sequence

GenBank: ON181+17.1

FASTA Graphics

Go to:

LOCUS ON181+17 600 bp DNA linear PLN 18-JUL-2022

DEFINITION Rhizopus stolonifer clone NaBa-1-IRAQ internal transcribed spacer

¹, partial sequence; ^{o.^S} ribosomal RNA gene and internal transcribed spacer ², complete sequence; and large subunit ribosomal RNA gene, partial sequence.

ACCESSION ON181+17

VERSION ON181+17.1

KEYWORDS .

SOURCE Rhizopus stolonifer

ORGANISM Rhizopus stolonifer

Eukaryota; Fungi; Fungi incertae sedis; Mucoromycota;
Mucoromycotina; Mucoromycetes; Mucorales; Mucorineae;
Rhizopodaceae; Rhizopus.

REFERENCE ¹ (bases 1 to 600)

AUTHORS Naba,M.O. and Ban,T.M.

TITLE ^{1^S} ribosomal RNA gene, partial sequence

JOURNAL Unpublished

REFERENCE ² (bases 1 to 600)

AUTHORS Naba,M.O. and Ban,T.M.

TITLE Direct Submission

JOURNAL Submitted (12-JUL-2022) Babylon Education Directorate, University

of Karbala college of Education for pure science Department of
Biology, iraq, Karbala 44142, Iraq

COMMENT ##Assembly-Data-START##

Sequencing Technology :: Sanger dideoxy sequencing

##Assembly-Data-END##

FEATURES Location/Qualifiers

source 1..600

/organism="Rhizopus stolonifer"
/mol_type="genomic DNA"
/isolate="NaBa-1-IRAQ"
/isolation_source="sputum by swab from COVID-19"
/host="Homo sapiens"
/db_xref="taxon:4846"
/clone="NaBa-1-IRAQ"
/country="Iraq"
/collected_by="Naba Mohammed Obyeis, Ban Taha Mohammed"

misc_RNA <1..>600

/note="contains internal transcribed spacer ¹, ^{o.^S} ribosomal RNA, internal transcribed spacer ², and large subunit ribosomal RNA"

ORIGIN

¹ acctcccatc cgtgtctatt gtaccctgtt gcttcggcg ggccggcgct tgcggccgc

² cgggggggccc cctctgcccc ccggcccggt gcccggaga gacccaaca cgaacactgt

١٢١ ctgaaagcgt gcagtctgag ttgattgaat gcaatcagtt aaaacttca acaatggatc
 ١٨١ tcttggttcc ggcacatcgatg aagaacgcag cggaaatgcga taactaatgt gaattgcaga
 ٢٤١ attcagtgaa tcatcgagtc tttgaacgcga cattgcgcc cctggattc cggggggcat
 ٣٠١ gcctgtccga gcgtcattgc tgccctcaag cccggcttg gtgtgggtc gcccgtcccc
 ٣٦١ tctccgggg gacgggccc aaaggcagcg gggcacccgc gtccgatct cgaggatag
 ٤٢١ gggcttgct acatgtctg taggattggc cggccctgc cgacgtttc caaccattct
 ٤٨١ ttccaggttg acctcgatc agtagggat acccgctgaa ctaagcata tcataaaaacc
 ٥٤١ ggaaggaaaa

//

Score	Expect	Identities	Gaps	Strand
٩٦٦	..	٥٤٤/٥٥٠ (٩٩%)	٠/٥٥٠ (٠%)	Plus/Plus
bits(١٠٧٠)				
Query ١	ACCTCCCATCCGTGTCTATTGTACCCTGTTGCTTCGGCGGGCCCGCCGCTTGTGGCCGC			
٦٠				
Sbjct ٠٠ A			
١٠٩				
Query ١١	CgggggggCGCCTCTGCCCGGGGGCGTGCCCGCCGGAGACCCAACACGAACACTGT			
١٢٠				
Sbjct ١١٠ T			
١٦٩				
Query ١٢١	CTGAAAGCGTGCAGTCTGAGTTGATTGAATGCAATCAGTTAAAACCAACAAATGGATC			
١٨٠				
Sbjct ١٢٠			
٢٢٩				
Query ١٨١	TCTTGGTTCCGGCATCGATGAAGAACGCAAGCGAAATGCGATAACTAATGTGAATTGCAGA			
٢٤٠				
Sbjct ٢٤٠			
٢٨٩				
Query ٢٤١	ATTCA GTGAATCATCGAGTCTTGAACGCACATTGCGCCCCCTGGTATTCCGGGGGCAT			
٣٠٠				
Sbjct ٢٩٠			
٣٤٩				
Query ٣٠١	GCCTGTCCGAGCGTCATTGCTGCCCTCAAGCCCGTTGTGTGGTCGCCGTCCCC			
٣٦٠				
Sbjct ٣٥٠			
٤٠٩				
Query ٣٦١	TCTCCGGGGGACGGGCCGAAAGGCAGCGGGCGACC CGGTCCGATCCTCGAGCGTATG			
٤٢٠				
Sbjct ٤١٠			
٤٦٩				
Query ٤٢١	GGGCTTTGTCACATGCTCTGTAGGATTGGCCGGCCTGCCGACGTTTCCAACCATTCT			
٤٨٠				
Sbjct ٤٧٠ T			
٥٢٩				
Query ٤٨١	TTCCAGGTTGACCTCGGATCAGGTAGGGATAACCGCTGAACCTAACGATATCATAAAACC			
٥٤٠				
Sbjct ٥٣٠ C G			
٥٨٩				
Query ٥٤١	GGAAGGAAAA ٠٠٠			
Sbjct ٥٩٠ A ٠٩٩			

ملحق رقم (3)

Aspergillus niger isolate TF^o internal transcribed spacer 1, partial sequence; 5.8S ribosomal RNA gene and internal transcribed spacer 2, complete sequence; and large subunit ribosomal RNA gene, partial sequence

Sequence ID: MN009026.1 Length: 671 Number of Matches: 1

Range 1: 16 to 609 [GenBank](#) [Graphics](#) [Next Match](#) [Previous Match](#)

Aspergillus niger clone NaBa-2-IRAQ internal transcribed spacer 1, partial sequence; 5.8S ribosomal RNA gene and internal transcribed spacer 2, complete sequence; and large subunit ribosomal RNA gene, partial sequence

GenBank: ON181018.1

FASTA Graphics

Go to:

LOCUS ON181018 644 bp DNA linear PLN 18-JUL-2022

DEFINITION Aspergillus niger clone NaBa-2-IRAQ internal transcribed spacer 1, partial sequence; 5.8S ribosomal RNA gene and internal transcribed spacer 2, complete sequence; and large subunit ribosomal RNA gene, partial sequence.

ACCESSION ON181018

VERSION ON181018.1

KEYWORDS .

SOURCE Aspergillus niger

ORGANISM Aspergillus niger

Eukaryota; Fungi; Dikarya; Ascomycota; Pezizomycotina; Eurotiomycetes; Eurotiomycetidae; Eurotiales; Aspergillaceae; Aspergillus; Aspergillus subgen. Circumdati.

REFERENCE 1 (bases 1 to 644)

AUTHORS Naba,M.O. and Ban,T.M.

TITLE 5.8S ribosomal RNA gene, partial sequence

JOURNAL Unpublished

REFERENCE 2 (bases 1 to 644)

AUTHORS Naba,M.O. and Ban,T.M.

TITLE Direct Submission

JOURNAL Submitted (13-JUL-2022) Babylon Education Directorate, University of Karbala college of Education for pure science Department of Biology, iraq, Karbala 44164, Iraq

COMMENT ##Assembly-Data-START##

Sequencing Technology :: Sanger dideoxy sequencing

##Assembly-Data-END##

FEATURES Location/Qualifiers

source 1..644

/organism="Aspergillus niger"
 /mol_type="genomic DNA"
 /isolate="NaBa-2-IRAQ"
 /isolation_source="sputum by swab from COVID-19"
 /host="Homo sapiens"
 /db_xref="taxon:5461"
 /clone="NaBa-2-IRAQ"
 /country="Iraq"
 /collected_by="Naba Mohammed Obyeis, Ban Taha Mohammed"

misc_RNA <1..>644

/note="contains internal transcribed spacer 1, 5.8S ribosomal RNA, internal transcribed spacer 2, and large

Appendix

subunit ribosomal RNA"

ORIGIN

```

1 tctttgggcc acctcccatc cgtgtctatt gtaccctgtt gcttcggcgg gccccccgct
21 tgtcgccgc cggggggcgc cctctcccc cccggcccggt gccccccgga gacccaaca
121 cgaacactgt ctgaaagcgt gcagctgag ttgatgaaat gcaatcagtaaaacttca
181 acaatggatc tcttggttcc ggcatcgatc aagaacgcgcg cggaaatgcga taactaatgt
241 gaattcaga attcagtgaa tcatcgatc tttgaacgcgcattgcgc cctggattc
301 cggggggcat gcctgtccgcgcgttccgcattgc tgccctcaag cccggcttgcgtgttggc
361 gccgtccccctctccggggg gacggggcccg aaaggcagcg gcggcaccgcgtccgatcct
421 cgagcgtatgggcattgtc acatgcgtc taggattggc cggcgcctgc cggcgtttc
481 caaccattcttccagggttgc acctcgatc agtagggat acccgctgaa ctttaagcata
541 tcaa
//
```

Score 1000 bits(0.44)	Expect ..	Identities 0.44/0.44(100%)	Gaps 0/0.44(0%)	Strand Plus/Plus
Query 1	TCTTTGGGCCACCTCCCATCCGTGCTATTGTACCTGTTGCTTCGGCGGGCCCGCCGCT			
Sbjct 11			
Query 11	TGTCGGCCGCCggggggggCGCCTCTGCCCTTGGGGCCGTGCCGCCGGAGACCCAAACA			
Sbjct 11			
Query 121	CGAACACTGTCTGAAAGCGTGCAGTCTGAGTTGATTGAATGCAATCAGTTAAACTTCA			
Sbjct 121			
Query 181	ACAATGGATCTTGGTCCGGCATCGATGAAGAACGCAGCGAAATGCGATAACTAATGT			
Sbjct 181			
Query 241	GAATTGCAGAATTCACTGAATCATCGAGTCTTGAAACGCACATTGCGCCCCCTGGTATTTC			
Sbjct 241			
Query 301	CGGGGGGCATGCCGTCCGAGCGTCATTGCTGCCCTCAAGCCGGCTTGTGTTGGTC			
Sbjct 301			
Query 361	GCCGTCCCCCTCTCGGGGGACGGGCCCCGAAAGGCAGCGGGCACCGCGTCCGATCCT			
Sbjct 361			
Query 421	CGAGCGTATGGGGCTTGTACATGCTCTGAGGATTGCCGGCGCCTGCCGACGTTTC			
Sbjct 421			
Query 481	CAACCATTCTTCCAGGTTGACCTCGGATCAGGTAGGGATAACCGCTGAACTTAAGCATA			
Sbjct 481			
Query 541	TCAA 0.44			
Sbjct 541 0.09			

ملحق رقم (4)

Aspergillus welwitschiae strain NR¹¹ internal transcribed spacer 1, partial sequence; 5.8S ribosomal RNA gene and internal transcribed spacer 2, complete sequence; and large subunit ribosomal RNA gene, partial sequence

Sequence ID: [MH270529.1](#) Length: 666 Number of Matches: 1

Range 1: 11 to 666 [GenBank](#) [Graphics](#) [Next Match](#) [Previous Match](#)

Aspergillus welwitschiae clone NaBa-3-IRAQ internal transcribed spacer 1, partial sequence; 5.8S ribosomal RNA gene and internal transcribed spacer 2, complete sequence; and large subunit ribosomal RNA gene, partial sequence

GenBank: ON981.99.1

FASTA Graphics

Go to:

LOCUS ON981.99 540 bp DNA linear PLN 18-JUL-2022

DEFINITION Aspergillus welwitschiae clone NaBa-3-IRAQ internal transcribed spacer 1, partial sequence; 5.8S ribosomal RNA gene and internal transcribed spacer 2, complete sequence; and large subunit ribosomal RNA gene, partial sequence.

ACCESSION ON981.99

VERSION ON981.99.1

KEYWORDS .

SOURCE Aspergillus welwitschiae

ORGANISM Aspergillus welwitschiae

Eukaryota; Fungi; Dikarya; Ascomycota; Pezizomycotina;
Eurotiomycetes; Eurotiomycetidae; Eurotiales; Aspergillaceae;
Aspergillus.

REFERENCE 1 (bases 1 to 540)

AUTHORS Naba,M.O. and Ban,T.M.

TITLE 5.8S ribosomal RNA gene, partial sequence

JOURNAL Unpublished

REFERENCE 2 (bases 1 to 540)

AUTHORS Naba,M.O. and Ban,T.M.

TITLE Direct Submission

JOURNAL Submitted (13-JUL-2022) Babylon Education Directorate, University of Karbala college of Education for pure science Department of Biology, iraq, Karbala 41001, Iraq

COMMENT ##Assembly-Data-START##

Sequencing Technology :: Sanger dideoxy sequencing

##Assembly-Data-END##

FEATURES Location/Qualifiers

source 1..540

/organism="Aspergillus welwitschiae"
/mol_type="genomic DNA"
/isolate="NaBa-3-IRAQ"
/isolation_source="sputum by swab from COVID-19"
/host="Homo sapiens"
/db_xref="taxon:1341132"
/clone="NaBa-3-IRAQ"
/country="Iraq"
/collected_by="Naba Mohammed Obyeis, Ban Taha Mohammed"

misc_RNA <1..>540

/note="contains internal transcribed spacer 1, 5.8S ribosomal RNA, internal transcribed spacer 2, and large subunit ribosomal RNA"

Appendix

ORIGIN

```

1 acctcccatc cggttctatt gtaccctgtt gcttcggcg gcccggcgt tgcggccgc
11 cggggggcg cctctcccc cggggcccggt gcccggaga gacccaaca cgaacactgt
121 ctgaaagcggt gcagtcttagt ttgattgaat gcaatcgat taaaacttca acaatggatc
181 tcttggttcc ggcacatcgat aagaacgcg cgaatgcga taactaatgt gaattgcaga
241 attcagtgaa tcatcgagtc tttgaacgc cattgcgcc cctggatttgc cggggggcat
301 gcctgtccga gcgtcattgc tgccctcaag cccggcttggt gtgtgggtc gccgtcccc
361 tctccgggg gacggggcg aaaggcagcg gggcacgcgtccgatctt cgacgtatc
421 gggctttgtc acatgtctg taggattggc cggccctgc cgacgttttca accattct
481 ttccaggtt acctcgatc aggtaggat acccgctgaa cttaaagcata tataaaacgg
541 ggaag

```

//

Score	Expect	Identities	Gaps	Strand
70 bits(10%)	..	042/040(99%)	./040(0%)	Plus/Plus

Query 1	ACCTCCCATCCGTGTCTATTGTACCCTGTTGCTTCGGCGGGCCCGCCGCTTGTCCGGCCGC
1.	.
Sbjct 19
28	
Query 11	CgggggggCGCCTCTGCCCGGGGGCGTGCCCGCCGGAGACCCAACACGAACACTGT
12.	
Sbjct 19
138	
Query 121	CTGAAAGCGTGCAGTCTGAGTTGATTGAATGCAATCAGTTAAACTTCAACAATGGATC
18.	
Sbjct 139
198	
Query 181	TCTGGTCCGGCATCGATGAAGAACCGCAGCGAAATGCGATAACTAATGTGAATTGCAGA
24.	
Sbjct 199
208	
Query 241	ATTCACTGAATCATCGAGTCTTGAAACGCACATTGGCCCCCTGGTATTCCGGGGGCAT
30.	
Sbjct 209
318	
Query 301	GCCTGTCCGAGCGTCATTGCTGCCCTCAAGCCGGCTTGTGTTGGTCGCCGTCCCC
36.	
Sbjct 319
378	
Query 361	TCTCGGGGGGACGGGCCGAAAGGCAGCGGGCACC CGTCCGATCCTCGAGCGTATG
42.	
Sbjct 379
438	
Query 421	GGGCTTGTACATGCTCTGTTAGGATTGGCCGGCGCTGCCGACGTTTCAACCATTCT
48.	
Sbjct 439
498	
Query 481	TTCCAGGTTGACCTCGGATCAGGTAGGGATACCGCTGAACCTAACGATATATAAAACGG
54.	
Sbjct 499 CA .. G ..
558	
Query 541	GGAAG 540
Sbjct 509 563

ملحق رقم (5)

Aspergillus minisclerotigenes isolate DTO ١٠-F° small subunit ribosomal RNA gene, partial sequence; internal transcribed spacer ١, ٥.٨S ribosomal RNA gene, and internal transcribed spacer ٢, complete sequence; and large subunit ribosomal RNA gene, partial sequence

Sequence ID: MG1624081 Length: ٨٨٧ Number of Matches: ١

Range ١: ٦٦١ to ٦٩٧ [GenBankGraphics](#) Next Match Previous Match

Aspergillus minisclerotigenes clone NaBa-٤-IRAQ internal transcribed spacer ١, partial sequence; ٥.٨S ribosomal RNA gene and internal transcribed spacer ٢, complete sequence; and large subunit ribosomal RNA gene, partial sequence

GenBank: ON9A11001

FASTA Graphics

Go to:

LOCUS ON9A1100 ٥٣٧ bp DNA linear PLN ١٨-JUL-٢٠٢٢

DEFINITION Aspergillus minisclerotigenes clone NaBa-٤-IRAQ internal transcribed spacer ١, partial sequence; ٥.٨S ribosomal RNA gene and internal transcribed spacer ٢, complete sequence; and large subunit ribosomal RNA gene, partial sequence.

ACCESSION ON9A1100

VERSION ON9A11001

KEYWORDS .

SOURCE Aspergillus minisclerotigenes

ORGANISM Aspergillus minisclerotigenes

Eukaryota; Fungi; Dikarya; Ascomycota; Pezizomycotina;
Eurotiomycetes; Eurotiomycetidae; Eurotiales; Aspergillaceae;
Aspergillus.

REFERENCE ١ (bases ١ to ٥٣٧)

AUTHORS Naba,M.O. and Ban,T.M.

TITLE ١٨S ribosomal RNA gene, partial sequence

JOURNAL Unpublished

REFERENCE ٢ (bases ١ to ٥٣٧)

AUTHORS Naba,M.O. and Ban,T.M.

TITLE Direct Submission

JOURNAL Submitted (١٣-JUL-٢٠٢٢) Babylon Education Directorate, University

of Karbala college of Education for pure science Department of

Biology, iraq, Karbala ٤٠١٤, Iraq

COMMENT ##Assembly-Data-START##

Sequencing Technology :: Sanger dideoxy sequencing

##Assembly-Data-END##

FEATURES Location/Qualifiers

source ١..٥٣٧

/organism="Aspergillus minisclerotigenes"
/mol_type="genomic DNA"
/isolate="NaBa-٤-IRAQ"
/isolation_source="sputum by swab from COVID-١٩"
/host="Homo sapiens"
/db_xref="taxon:٦٥٦٩١٧"
/clone="NaBa-٤-IRAQ"
/country="Iraq"
/collected_by="Naba Mohammed Obyeis, Ban Taha Mohammed"

misc_RNA <١..>٥٣٧

/note="contains internal transcribed spacer ١, ٥.٨S
ribosomal RNA, internal transcribed spacer ٢, and large
subunit ribosomal RNA"

ORIGIN

١ ctatcgagcc caacctccca cccgtgtta ctgtaccta gttgcttcgg cggggccgc

٦١ attcgtggcc gccggggct ctcagccccg ggcccgcgcc cgccggagac accacgaact
 ٦٢١ ctgtctgatc tagtgaagtc tgaggatt gtatcgaaat cagttaaaac ttcaacaat
 ٦٨١ gcatctctg gttccggcat cgatgaagaa cgacgcgaaa tgcgataact agtgtgaatt
 ٧٤١ gcagaattcc gtgaatcatc gagctttga acgcacattt cgcccccctgg tattccgggg
 ٧٠١ ggcatgcctg tccgagcgtc attgctgccc atcaagcacg gcttgtgtg tgggtcg
 ٧٦١ tccccctcc gggggggacg ggcccaaag gcagcggcgg caccgcgtcc gatcctcgag
 ٤٢١ cgtatggggc ttgtcaccc gctctgttagg cccggccggc gttggcga cgcggaaatcaa
 ٤٨١ tctttccag gttgacgctg gatcggtag ggataccgc tgaacttaag cataatca
 //

Score	Expect	Identities	Gaps	Strand
٩٦٩ bits(١٠٧٤)	..	٥٣٧/٥٣٧ (١٠٠%)	٠/٥٣٧ (٠%)	Plus/Plus

Query ١ CTAGCGAGCCAACCTCCCACCCGTGTTACTGTACCTTAGTTGCTTCGGCGGGCCCCGCC
 ٦٠
 Sbjct ١٦١
 ٢٢٠

Query ٦١ ATTCGTGGCCGCCGGGGCTCTCAGCCCCGGGCCGCGCCGCCGGAGACACCACGA
 ١٢٠
 Sbjct ٢٢١
 ٢٨٠

Query ١٢١ CTGTCTGATCTAGTGAAGTCTGAGTTGATTGTATCGCAATCAGTTAAACTTCAACA
 ١٨٠
 Sbjct ٢٨١
 ٣٤٠
 Query ١٨١ GGATCTCTGGTCCGGCATCGATGAAGAACGCAGCGAAATGCGATAACTAGTGTGA
 ٢٤٠
 Sbjct ٣٤١
 ٤٠٠
 Query ٢٤١ GCAGAATTCCGTGAATCATCGAGTCTTGAACGCACATTGCGCCCCCTGGTATTCCGGGG
 ٣٠٠
 Sbjct ٤٠١
 ٤٦٠
 Query ٣٠١ GGCATGCCTGTCCGAGCGTCATTGCTGCCATCAAGCACGGCTTGTGTGGTCTCG
 ٣٦٠
 Sbjct ٤٦١
 ٥٢٠
 Query ٣٦١ TCCCCTCTCCggggggggACGGGCCCAAAGGCAGCGGCGACCACGTCCGATCCTCGAG
 ٤٢٠
 Sbjct ٥٢١
 ٥٨٠
 Query ٤٢١ CGTATGGGCTTGACCCGCTCTGAGGCCGGCCGGCTTGCGAACGCAAATCAA
 ٤٨٠
 Sbjct ٥٨١
 ٦٤٠
 Query ٤٨١ TCTTTCCAGGTTGACCTCGGATCAGGTAGGGATAACCGCTGAACCTTAAGCATATCA
 ٥٣٧
 Sbjct ٦٤١
 ٦٩٧

(6) ملحق رقم

***Aspergillus tubingensis* internal transcribed spacer 1, partial sequence; 18S ribosomal RNA gene and internal transcribed spacer 2, complete sequence; and 28S ribosomal RNA gene, partial sequence**

Sequence ID: [KU686682.1](#) Length: 111 Number of Matches: 1

Range 1: 1 to 571 [GenBank](#) [Graphics](#) [Next Match](#) [Previous Match](#)

Aspergillus tubingensis clone NaBa- α -IRAQ internal transcribed spacer 1, partial sequence; 18S ribosomal RNA gene and internal transcribed spacer 2, complete sequence; and large subunit ribosomal RNA gene, partial sequence

GenBank: ON9A11.1

FASTA Graphics

Go to:

LOCUS ON9A11.1 551 bp DNA linear PLN 18-JUL-2022

DEFINITION Aspergillus tubingensis clone NaBa- α -IRAQ internal transcribed spacer 1, partial sequence; 18S ribosomal RNA gene and internal transcribed spacer 2, complete sequence; and large subunit ribosomal RNA gene, partial sequence.

ACCESSION ON9A11.1

VERSION ON9A11.1.1

KEYWORDS .

SOURCE Aspergillus tubingensis

ORGANISM Aspergillus tubingensis

Eukaryota; Fungi; Dikarya; Ascomycota; Pezizomycotina;
Eurotiomycetes; Eurotiomycetidae; Eurotiales; Aspergillaceae;
Aspergillus.

REFERENCE 1 (bases 1 to 551)

AUTHORS Naba,M.O. and Ban,T.M.

TITLE 18S ribosomal RNA gene, partial sequence

JOURNAL Unpublished

REFERENCE 2 (bases 1 to 551)

AUTHORS Naba,M.O. and Ban,T.M.

TITLE Direct Submission

JOURNAL Submitted (18-JUL-2022) Babylon Education Directorate, University
of Karbala college of Education for pure science Department of
Biology, iraq, Karbala 41014, Iraq

COMMENT ##Assembly-Data-START##

Sequencing Technology :: Sanger dideoxy sequencing

##Assembly-Data-END##

FEATURES Location/Qualifiers

source 1..551

/organism="Aspergillus tubingensis"
/mol_type="genomic DNA"
/isolate="NaBa- α -IRAQ"
/isolation_source="sputum by swab from COVID-19"
/host="Homo sapiens"
/db_xref="taxon:5418"
/clone="NaBa- α -IRAQ"
/country="Iraq"
/collected_by="Naba Mohammed Obyeis, Ban Taha Mohammed"

misc_RNA <1..>551

/note="contains internal transcribed spacer 1, 18S
ribosomal RNA, internal transcribed spacer 2, and large
subunit ribosomal RNA"

ORIGIN

```

1 tctttgggcc acctccatc cggttctatt gtaccctgtt gcttcggcg ggccggcgct
11 tgtcgccgc cggggggcg cctctgcccc ccggggccgt gcccgcggaa gacccaaca
121 cgaacactgt ctgaaagcggt gcagtctgag ttgattgaat gcaatcgtt aaaacttca
181 acaatggatc tcttggtcc ggcatcgatc aagaacgcag cggaaatgcga taactaatgt
241 gaattgcaga attcgtgaa tcatcgagtc tttgaacgc aattgcgcgg cctggatttc
301 cggggggcat gcctgtccga gcgtcattgc tgccctcaag cccggcttgt gtgtgggtc
361 gccgtcccccc tctccgggg gacggggcccg aaaggcagcg gcccgcgtcc gtccgatcc
421 cgagcgtatg gggcttggtc acatgcgtc taggattggc cggcgctgc cgacgtttc
481 caaccattct ttccagggtt acctcgatc agtagggat acccgctgaa ctttaagcata
541 tcaaaaagggg gaagaa
//
```

Score	Expect	Identities	Gaps	Strand
٩٩٠ bits(١٠٩٧)	..	٥٥٣/٥٥٦ (٩٩%)	٠/٥٥٦ (٠%)	Plus/Plus
Query ١	TCTTTGGGCCACCTCCCATCCGTGTCTATTGTACCCTGTTGCTTCGGCGGGCCCCGCCGCT			
١٠	.			
Sbjct ١١			
١٢	.			
Query ١١	TGTCGGCCGCCggggggggCGCCTCTGCCCGGGCCGTGCCGCCGGAGACCCCAACA			
١٢	.			
Sbjct ١٢			
١٣	٠			
Query ١٢١	CGAACACTGTCTGAAAGCGTGCAGTCTGAGTTGATTGAATGCAATCAGTTAAAACTTCA			
١٨	.			
Sbjct ١٣٦			
١٩	٠			
Query ١٨١	ACAATGGATCTCTGGTTCCGGCATCGATGAAGAACGCAGCGAAATGCGATAACTAATGT			
٢٤	.			
Sbjct ١٩٦			
٢٥	٠			
Query ٢٤١	GAATTGCAGAATTCACTGAATCATCGAGTCTTGAAACGCACATTGCGCCCCCTGGTATTTC			
٣٠	.			
Sbjct ٢٥٦			
٣١	٠			
Query ٣٠١	CGGGGGGCATGCCGTCCGAGCGTCATTGCTGCCCTCAAGCCCCGGCTGTGTGGGT			
٣٦	.			
Sbjct ٣١٦			
٣٧	٠			
Query ٣٦١	GCCGTCCCCCTCTCCGGGGGGACGGGGCCGAAAGGCAGCGGGGGCACCGCGTCCGATCCT			
٤٢	.			
Sbjct ٣٧٦			
٤٣	٠			
Query ٤٢١	CGAGCGTATGGGGCTTGTCACATGCTCTGTAGGATTGGCGGCCCTGCCGACGTTTC			
٤٨	.			
Sbjct ٤٣٦			
٤٩	٠			
Query ٤٨١	CAACCATTCTTCCAGGTTGACCTCGGATCAGGTAGGGATACCGCTGAACCTAACGCATA			
٥٤	.			
Sbjct ٤٩٦			
٥٥	٠			
Query ٥٤١	TCAAAAGGGGAAGAA ٥٥٦			
Sbjct ٥٥٦ T.A.C. ٥٧١			

ملحق رقم (7)

Aspergillus costaricensis isolate 1 OCT internal transcribed spacer 1, partial sequence; 5.8S ribosomal RNA gene and internal transcribed spacer 2, complete sequence; and large subunit ribosomal RNA gene, partial sequence

Sequence ID: [ON208474.1](#) Length: 524 Number of Matches: 1

Range 1: 1 to 511 [GenBank](#) [Graphics](#) [Next Match](#) [Previous Match](#)

Aspergillus costaricensis clone NaBa-1-IRAQ internal transcribed spacer 1, partial sequence; 5.8S ribosomal RNA gene and internal transcribed spacer 2, complete sequence; and large subunit ribosomal RNA gene, partial sequence

GenBank: ON981102.1

FASTA Graphics

Go to:

LOCUS ON981102 503 bp DNA linear PLN 18-JUL-2022

DEFINITION Aspergillus costaricensis clone NaBa-1-IRAQ internal transcribed spacer 1, partial sequence; 5.8S ribosomal RNA gene and internal transcribed spacer 2, complete sequence; and large subunit ribosomal RNA gene, partial sequence.

ACCESSION ON981102

VERSION ON981102.1

KEYWORDS .

SOURCE Aspergillus costaricensis

ORGANISM Aspergillus costaricensis

Eukaryota; Fungi; Dikarya; Ascomycota; Pezizomycotina;
Eurotiomycetes; Eurotiomycetidae; Eurotiales; Aspergillaceae;
Aspergillus.

REFERENCE 1 (bases 1 to 503)

AUTHORS Naba,M.O. and Ban,T.M.

TITLE 5.8S ribosomal RNA gene, partial sequence

JOURNAL Unpublished

REFERENCE 2 (bases 1 to 503)

AUTHORS Naba,M.O. and Ban,T.M.

TITLE Direct Submission

JOURNAL Submitted (13-JUL-2022) Babylon Education Directorate, University of Karbala college of Education for pure science Department of Biology, iraq, Karbala 41963, Iraq

COMMENT ##Assembly-Data-START##

Sequencing Technology :: Sanger dideoxy sequencing

##Assembly-Data-END##

FEATURES Location/Qualifiers

source 1..503

/organism="Aspergillus costaricensis"
/mol_type="genomic DNA"
/isolate="NaBa-1-IRAQ"
/isolation_source="sputum by swab from COVID-19"
/host="Homo sapiens"
/db_xref="taxon:319631"
/clone="NaBa-1-IRAQ"
/country="Iraq"
/collected_by="Naba Mohammed Obyeis, Ban Taha Mohammed"

misc_RNA <1..>503

/note="contains internal transcribed spacer 1, 5.8S ribosomal RNA, internal transcribed spacer 2, and large subunit ribosomal RNA"

ORIGIN

Score	Expect	Identities	Gaps	Strand
٩٨٨ bits(١٠٦)	..	٥٣/٥٣(١٠٠%)	٠/٥٣(٠%)	Plus/Plus
Query ١	TGCTTCGGCGGGCCCCGCCGCTTGTCTGGCCGCCggggggggCGCCTTGCCCCCGGGCCG			
Sbjct ٩			
Query ١١	TGCCCGCCGGAGACCCAACACGAACACTGTCTGAAAGCGTGCAGTCTGAGTTGATTGAA			
Sbjct ١٩			
Query ١٢١	TGCAATCAGTAAAACTTCAACAATGGATCTCTGGTCCGGCATCGATGAAGAACGCA			
Sbjct ١٢٩			
Query ١٨١	GCGAAATGCGATAACTAATGTGAATTGCAGAATTCACTGAGTCTTGAACGC			
Sbjct ١٨٩			
Query ٢٤١	ACATTGCGCCCCCTGGTATTCCGGGGGCATGCCGTCCGAGCGTCATTGCTGCCCTCAA			
Sbjct ٢٤٩			
Query ٣٠١	GCCCAGCTTGTGTGGTCGCCGTCCCCCTCTCGGGGGGACGGGCCGAAAGGCAGC			
Sbjct ٣٠٩			
Query ٣٦١	GGCGGCACCGCGTCCGATCCTCGAGCGTATGGGCTTGTACATGCTCTGAGGATTGG			
Sbjct ٣٦٩			
Query ٤٢١	CCGGCGCCTGCCGACGTTCCAACCATTTCAGGTTGACCTCGGATCAGGTAGGGA			
Sbjct ٤٢٩			
Query ٤٨١	TACCCGCTGAACTTAACGATATC ٥٣			
Sbjct ٤٨٩ ٥١١			

ملحق رقم (8)

Aspergillus oryzae isolate ASP-٢ small subunit ribosomal RNA gene, partial sequence; internal transcribed spacer ١, ٥.٨S ribosomal RNA gene, and internal transcribed spacer ٢, complete sequence; and large subunit ribosomal RNA gene, partial sequence

Sequence ID: [MH۸۷۹۸۲۰.۱](#) Length: ٦٣٨ Number of Matches: ١

Range ١: ١٠ to ٦٣٢ [GenBank](#) [Graphics](#) [Next Match](#) [Previous Match](#)

Aspergillus oryzae clone NaBa-١٢-IRAQ internal transcribed spacer ١, partial sequence; ٥.٨S ribosomal RNA gene and internal transcribed spacer ٢, complete sequence; and large subunit ribosomal RNA gene, partial sequence

GenBank: ON۹۸۱۲۹۰.۱

FASTA Graphics

Go to:

LOCUS ON۹۸۱۲۹۰ ٥٤٣ bp DNA linear PLN ١٣-JUL-٢٠٢٢

DEFINITION Aspergillus oryzae clone NaBa-١٢-IRAQ internal transcribed spacer

١, partial sequence; ٥.٨S ribosomal RNA gene and internal transcribed spacer ٢, complete sequence; and large subunit ribosomal RNA gene, partial sequence.

ACCESSION ON۹۸۱۲۹۰

VERSION ON۹۸۱۲۹۰.۱

KEYWORDS .

SOURCE Aspergillus oryzae

ORGANISM Aspergillus oryzae

Eukaryota; Fungi; Dikarya; Ascomycota; Pezizomycotina;
Eurotiomycetes; Eurotiomycetidae; Eurotiales; Aspergillaceae;
Aspergillus; Aspergillus subgen. Circumdati.

REFERENCE ١ (bases ١ to ٥٤٣)

AUTHORS Naba,M.O. and Ban,T.M.

TITLE ١٨S ribosomal RNA gene, partial sequence

JOURNAL Unpublished

REFERENCE ٢ (bases ١ to ٥٤٣)

AUTHORS Naba,M.O. and Ban,T.M.

TITLE Direct Submission

JOURNAL Submitted (١٣-JUL-٢٠٢٢) Babylon Education Directorate, University
of Karbala college of Education for pure science Department of
Biology, iraq, Karbala ٤٠٩٦٤, Iraq

COMMENT ##Assembly-Data-START##

Sequencing Technology :: Sanger dideoxy sequencing

##Assembly-Data-END##

FEATURES Location/Qualifiers

source ١..٥٤٣

/organism="Aspergillus oryzae"
/mol_type="genomic DNA"
/isolate="NaBa-١٢-IRAQ"
/isolation_source="sputum by swab from COVID-١٩"
/host="Homo sapiens"
/db_xref="taxon:٥٠٦٢"
/clone="NaBa-١٢-IRAQ"
/country="Iraq"
/collected_by="Naba Mohammed Obyeis, Ban Taha Mohammed"

misc_RNA <١..>٥٤٣

/note="contains internal transcribed spacer ١, ٥.٨S
ribosomal RNA, internal transcribed spacer ٢, and large
subunit ribosomal RNA"

Appendix**ORIGIN**

```

' cgagccaaac ctcccacccg tgttactgt accttagtgtt cttcgccggg cccgccattc
' gtggccgccc gggctctca gccccggcc cgccgcggcc ggagacacca cgaactctgt
' ctgatctagt gaagtcttag ttgattgtat cgcaatcagt taaaactttc aacaatggat
' ctcttggttc cggcatcgat gaagaacgca gcgaaatgcg ataactagtg tgaattgcag
' aattccgtga atcatcgat cttgaacgc acattgcgc ccctggatt ccggggggca
' tgcctgtccg agcgtcattg ctgccccatca agcacggctt gtgtgtggg tcgtcgccc
' ctctccgggg gggacggggcc ccaaaggcag cggccgcacc gcgtccgatc ctcgagcgt
' tggggcttg tcaccgcgc tgtaggcccgc gcccgcctt gccgaacgca aatcaatctt
' ttccaggtt gacctcgat cagtaggga taccgcgtga acttaagcat atcaataagg
' gga
//
```

Score	Expect	Identities	Gaps	Strand
1044 bits(043)	..	043/043(100%)	./043(0%)	Plus/Plus
Query 1	CGAGCCCAACCTCCCACCCGTGTTACTGTACCTAGTTGCTTCGGCGGGGCCATTC			
Sbjct 1.			
Query 11	GTGGCCGCCGGGGCTCTCAGCCCCGGCCGCAGCCGGAGACACCACGAACACTCTGT			
Sbjct 12.			
Query 121	CTGATCTAGTGAAGTCTGAGTTGATTGTATCGCAATCAGTTAAACTTCAACAATGGAT			
Sbjct 13.			
Query 181	CTCTGGTTCCGGCATCGATGAAGAACGCAGCGAAATGCGATAACTAGTGTGAATTGCAG			
Sbjct 19.			
Query 241	AATTCCGTGAATCATCGAGTCTTGAAACGCACATTGCGCCCCCTGGTATTCCGGGGGCA			
Sbjct 20.			
Query 301	TGCCTGTCCGAGCGTCATTGCTGCCATCAAGCACGGTTGTGTGGTCGTCCC			
Sbjct 31.			
Query 361	CTCTCCgggggggACGGGCCCAAAGGCAGCGGCCGACCGCGTCCGATCCTCGAGCGTA			
Sbjct 37.			
Query 421	TGGGGCTTTGTCACCCGCTCTGTAGGCCGGCGCTTGCGAACGCAAATCAATCTT			
Sbjct 43.			
Query 481	TTTCCAGGTTGACCTCGGATCAGGTAGGGATACCCGCTGAACCTAACGATATCAATAAGC			
Sbjct 49.			
Query 041	GGA 043			
Sbjct 62.	... 622			

ملحق رقم (٩)

Aspergillus piperis isolate ISO[^] small subunit ribosomal RNA gene, partial sequence; internal transcribed spacer 1, 5.8S ribosomal RNA gene, and internal transcribed spacer 2, complete sequence; and large subunit ribosomal RNA gene, partial sequence

Sequence ID: MZ314587.1 Length: 591 Number of Matches: 1

Range 1: 61 to 589 [GenBank](#) [Graphics](#) Next Match Previous Match

Aspergillus piperis clone NaBa-5'-IRAQ internal transcribed spacer 1, partial sequence; 5.8S ribosomal RNA gene and internal transcribed spacer 2, complete sequence; and large subunit ribosomal RNA gene, partial sequence

GenBank: ON981103.1

FASTA Graphics

Go to:

LOCUS ON981103 529 bp DNA linear PLN 18-JUL-2022

DEFINITION Aspergillus piperis clone NaBa-5'-IRAQ internal transcribed spacer 1, partial sequence; 5.8S ribosomal RNA gene and internal transcribed spacer 2, complete sequence; and large subunit ribosomal RNA gene, partial sequence.

ACCESSION ON981103

VERSION ON981103.1

KEYWORDS .

SOURCE Aspergillus piperis

ORGANISM Aspergillus piperis

Eukaryota; Fungi; Dikarya; Ascomycota; Pezizomycotina;
Eurotiomycetes; Eurotiomycetidae; Eurotiales; Aspergillaceae;
Aspergillus.

REFERENCE 1 (bases 1 to 529)

AUTHORS Naba,M.O. and Ban,T.M.

TITLE 5.8S ribosomal RNA gene, partial sequence

JOURNAL Unpublished

REFERENCE 2 (bases 1 to 529)

AUTHORS Naba,M.O. and Ban,T.M.

TITLE Direct Submission

JOURNAL Submitted (12-JUL-2022) Babylon Education Directorate, University

of Karbala college of Education for pure science Department of
Biology, iraq, Karbala 41962, Iraq

COMMENT ##Assembly-Data-START##

Sequencing Technology :: Sanger dideoxy sequencing

##Assembly-Data-END##

FEATURES Location/Qualifiers

source 1..529

/organism="Aspergillus piperis"
/mol_type="genomic DNA"
/isolate="NaBa-5'-IRAQ"
/isolation_source="sputum by swab from COVID-19"
/host="Homo sapiens"
/db_xref="taxon:31962."
/clone="NaBa-5'-IRAQ"
/country="Iraq"
/collected_by="Naba Mohammed Obyeis, Ban Taha Mohammed"

misc_RNA <1..>529

/note="contains internal transcribed spacer 1, 5.8S
ribosomal RNA, internal transcribed spacer 2, and large
subunit ribosomal RNA"

ORIGIN

1 acctccatc cgtgtctatt ataccctgtt gtttcggcg ggccggcgt tgcggccgc

Appendix

Score	Expect	Identities	Gaps	Strand
٩٥٠ bits(١٠٥٨)	..	٥٢٩/٥٢٩ (١٠٠%)	٠/٥٢٩ (٠%)	Plus/Plus
Query ١	ACCTCCCATCCGTGTCTATTATACCTGTTGCTTCGGCGGGCCCGCCGCTTGTCGGCCGC			
٦٠				
Sbjct ٦١			
١٢٠				
Query ٦١	CgggggggCGCCTTGCCCCCGGGCCGTGCCGCCGGAGACCCAACACGAACACTGT			
١٢٠				
Sbjct ١٢١			
١٨٠				
Query ١٢١	CTGAAAGCGTGCAGTCTGAGTTGATTGAATGCAATCAGTTAAAACCAAACTTCAACAATGGATC			
١٨٠				
Sbjct ١٨١			
٢٤٠				
Query ١٨١	TCTTGGTTCCGGCATCGATGAAGAACGCAGCGAAATGCGATAACTAATGTGAATTGCAGA			
٢٤٠				
Sbjct ٢٤١			
٣٠٠				
Query ٢٤١	ATTCAGTGAATCATCGAGTCTTGAACGCACATTGCGCCCCCTGGTATTCCGGGGGCAT			
٣٠٠				
Sbjct ٣٠١			
٣٦٠				
Query ٣٠١	GCCTGTCCGAGCGTCATTGCTGCCCTCAAGCCCGCTTGTGTGGTCGCCGTCCCCC			
٣٦٠				
Sbjct ٣٦١			
٤٢٠				
Query ٣٦١	TCTCCGGGGGGACGGGCCGAAAGGCAGCGGGCACC CGTCCGATCCTCGAGCGTATG			
٤٢٠				
Sbjct ٤٢١			
٤٨٠				
Query ٤٢١	GGGCTTGTACATGCTCTGTAGGATTGGCGCGCCTGCCGACGTTTCAACCATT			
٤٨٠				
Sbjct ٤٨١			
٥٤٠				
Query ٤٨١	TTCCAGGTTGACCTCGGATCAGGTAGGGATACCGCTGAACCTAACGCAT	٥٢٩		
Sbjct ٥٤١	٥٨٩		

ملحق رقم (10)

Aspergillus brasiliensis isolate SMF¹ internal transcribed spacer 1, partial sequence; 5.8S ribosomal RNA gene and internal transcribed spacer 2, complete sequence; and large subunit ribosomal RNA gene, partial sequence

Sequence ID: MWY072431 Length: 702 Number of Matches: 1

Range 1: 1 to 562 [GenBank](#) [Graphics](#) [Next Match](#) [Previous Match](#)

Aspergillus brasiliensis clone NaBa-¹-IRAQ internal transcribed spacer 1, partial sequence; 5.8S ribosomal RNA gene and internal transcribed spacer 2, complete sequence; and large subunit ribosomal RNA gene, partial sequence

GenBank: ON981104.1

FASTA Graphics

Go to:

LOCUS ON981104 534 bp DNA linear PLN 18-JUL-2022

DEFINITION Aspergillus brasiliensis clone NaBa-¹-IRAQ internal transcribed spacer 1, partial sequence; 5.8S ribosomal RNA gene and internal transcribed spacer 2, complete sequence; and large subunit ribosomal RNA gene, partial sequence.

ACCESSION ON981104

VERSION ON981104.1

KEYWORDS .

SOURCE Aspergillus brasiliensis

ORGANISM Aspergillus brasiliensis

Eukaryota; Fungi; Dikarya; Ascomycota; Pezizomycotina;
Eurotiomycetes; Eurotiomycetidae; Eurotiales; Aspergillaceae;
Aspergillus.

REFERENCE 1 (bases 1 to 534)

AUTHORS Naba,M.O. and Ban,T.M.

TITLE 5.8S ribosomal RNA gene, partial sequence

JOURNAL Unpublished

REFERENCE 2 (bases 1 to 534)

AUTHORS Naba,M.O. and Ban,T.M.

TITLE Direct Submission

JOURNAL Submitted (13-JUL-2022) Babylon Education Directorate, University of Karbala college of Education for pure science Department of Biology, iraq, Karbala 40096, Iraq

COMMENT ##Assembly-Data-START##

Sequencing Technology :: Sanger dideoxy sequencing

##Assembly-Data-END##

FEATURES Location/Qualifiers

source 1..534

/organism="Aspergillus brasiliensis"
/mol_type="genomic DNA"
/isolate="NaBa-¹-IRAQ"
/isolation_source="sputum by swab from COVID-19"
/host="Homo sapiens"
/db_xref="taxon:319629"
/clone="NaBa-¹-IRAQ"
/country="Iraq"
/collected_by="Naba Mohammed Obyeis, Ban Taha Mohammed"

misc_RNA <1..>534

/note="contains internal transcribed spacer 1, 5.8S ribosomal RNA, internal transcribed spacer 2, and large subunit ribosomal RNA"

Appendix**ORIGIN**

```

1 acctccatc cggttattt ataccctgtt gcttcggcg gcccggcgt tgcggccgc
11 cggggggcg ctttcccc ccggccgt gcccggaa gacccaaca cgaacactgt
121 ctgaaagct gcagtcttag ttgattgaat gcaatcgtt aaaacttca acaatggatc
181 tcttggtcc ggcattcatgat aagaacgcg cgaatgcgta taactaatgt gaattgcaga
241 attcagtgaa tcatcgatc tttgaacgc cattgcgcc cctggattt cggggggcat
301 gcctgtccga cggtcattgc tgccctcaag cccggcttg gtgtgggtc gccgtcccc
361 tctccgggg gacggggcg aaaggcagcg gggcacgc gtccgatct cgacgtatg
421 gggcttgct acatgtctg taggattggc cggccctgc cgacgtttt caaccatttt
481 ttccagggtt acctcgatc aggtaggat acccgctgaa cttaaagcata tcaa

```

//

Score	Expect	Identities	Gaps	Strand
٩٦٤ bits(١٠٦٨)	..	٥٣٤/٥٣٤ (١٠٠%)	٠/٥٣٤ (٠%)	Plus/Plus
Query ١	ACCTCCATCCGTGTCTATTATACCCTGTTGCTTCGGCGGGCCCGCCGCTTGTGCGGCCGC			
Sbjct ٢٠			
Query ٦١	CgggggggCGCCTTGCCCCCGGGCCGTGCCGCCGGAGACCCAACACGAACACTGT			
Sbjct ٩٠			
Query ١٢١	CTGAAAGCGTGCAGTCTGAGTTGATTGAATGCAATCAGTTAAACTTCAACAATGGATC			
Sbjct ١٠٠			
Query ١٨١	TCTTGGTCCGGCATCGATGAAGAACGCAGCGAAATGCGATAACTAATGTGAATTGCAGA			
Sbjct ٢١٠			
Query ٢٤١	ATTCAGTGAATCATCGAGTCTTGAACGCACATTGCGCCCCCTGGTATTCCGGGGGCAT			
Sbjct ٢٢٠			
Query ٣٠١	GCCTGTCCGAGCGTCATTGCTGCCCTCAAGCCGGTTGTGTTGGTCGCCGTCCCC			
Sbjct ٣٨٠			
Query ٣٦١	TCTCCGGGGGACGGGCCGAAAGGCAGCGGGCACC CGGTCCGATCCTCGAGCGTATG			
Sbjct ٤٩٠			
Query ٤٢١	GGGCTTGTACATGCTCTGTTAGGATTGGCCGGCCTGCCGACGTTTCAAACCATT	٥٣٤		
Sbjct ٥٠٠	٥٦٣		
Query ٤٨١	TTCCAGGTTGACCTCGGATCAGGTAGGGATACCCGCTGAACCTAACGATATCAA	٥٣٤		
Sbjct ٥١٠	٥٦٣		

ملحق رقم (11)

***Aspergillus niger* strain ZMQR¹ internal transcribed spacer¹, partial sequence; ^{0..^S} ribosomal RNA gene and internal transcribed spacer², complete sequence; and large subunit ribosomal RNA gene, partial sequence**

Sequence ID: MT446087.1 Length: 072 Number of Matches: 1

Range 1: 17 to 056 [GenBank](#) [Graphics](#) [Next Match](#) [Previous Match](#)

Aspergillus niger clone NaBa-¹-IRAQ internal transcribed spacer¹, partial sequence; ^{0..^S} ribosomal RNA gene and internal transcribed spacer², complete sequence; and large subunit ribosomal RNA gene, partial sequence

GenBank: ON9A1105.1

FASTA Graphics

Go to:

LOCUS ON9A1105 040 bp DNA linear PLN 18-JUL-2022

DEFINITION Aspergillus niger clone NaBa-¹-IRAQ internal transcribed spacer¹, partial sequence; ^{0..^S} ribosomal RNA gene and internal transcribed spacer², complete sequence; and large subunit ribosomal RNA gene, partial sequence.

ACCESSION ON9A1105

VERSION ON9A1105.1

KEYWORDS .

SOURCE Aspergillus niger

ORGANISM Aspergillus niger

Eukaryota; Fungi; Dikarya; Ascomycota; Pezizomycotina;
Eurotiomycetes; Eurotiomycetidae; Eurotiales; Aspergillaceae;
Aspergillus; Aspergillus subgen. Circumdati.

REFERENCE 1 (bases 1 to 040)

AUTHORS Naba,M.O. and Ban,T.M.

TITLE 1⁸S ribosomal RNA gene, partial sequence

JOURNAL Unpublished

REFERENCE 2 (bases 1 to 040)

AUTHORS Naba,M.O. and Ban,T.M.

TITLE Direct Submission

JOURNAL Submitted (12-JUL-2022) Babylon Education Directorate, University

of Karbala college of Education for pure science Department of

Biology, iraq, Karbala ٤٠٩٦٤, Iraq

COMMENT ##Assembly-Data-START##

Sequencing Technology :: Sanger dideoxy sequencing

##Assembly-Data-END##

FEATURES Location/Qualifiers

source 1..040

/organism="Aspergillus niger"
/mol_type="genomic DNA"
/isolate="NaBa-¹-IRAQ"
/isolation_source="sputum by swab from COVID-19"
/host="Homo sapiens"
/db_xref="taxon:5461"
/clone="NaBa-¹-IRAQ"
/country="Iraq"
/collected_by="Naba Mohammed Obyeis, Ban Taha Mohammed"

misc_RNA <1..>040

/note="contains internal transcribed spacer¹, 0..^S
ribosomal RNA, internal transcribed spacer², and large
subunit ribosomal RNA"

ORIGIN

1 tctttgggcc acctcccatc cgtgtctatt ataccctgtt gcttcggcgg gccccggct

Appendix

//				
Score	Expect	Identities	Gaps	Strand
٩٧٥ bits(١٠٨٠)	..	٥٤٠/٥٤٠ (١٠٠%)	٠/٥٤٠ (٠%)	Plus/Plus
Query ١	TCTTTGGGCCACCTCCCATCCGTGTCTATTATACCCTGTTGCTTCGGCGGGCCCCGCCGCT			
Sbjct ٢٦			
Query ٦١	TGTCGGCCGCCggggggggCGCCTTGCCCCCGGGCCGTGCCCGCCGGAGACCCCAACA			
Sbjct ١٣٦			
Query ١٢١	CGAACACTGTCTGAAAGCGTGCAGTCTGAGTTGATTGAATGCAATCAGTTAAACTTCA			
Sbjct ١٣٧			
Query ١٨١	ACAATGGATCTCTGGTCCGGCATCGATGAAGAACGCAGCGAAATGCGATAACTAATGT			
Sbjct ٢٠٦			
Query ٢٤١	GAATTGCAGAATTCACTGAATCATCGAGTCTTGAAACGCACATTGCGCCCCCTGGTATTTC			
Sbjct ٢٠٧			
Query ٣٠١	CGGGGGGCATGCCTGTCCGAGCGTCATTGCTGCCCTAAGCCGGCTGTGTGGT			
Sbjct ٣١٦			
Query ٤٦١	GCCGTCCCCCTCTCGGGGGGACGGGCCCGAAAGGCAGCGGGCGCACCGCGTCCGATCCT			
Sbjct ٤٧٦			
Query ٤٢١	CGAGCGTATGGGGCTTGTACATGCTCTGTAGGATTGGCGGCCGTGCCGACGTTTC			
Sbjct ٤٩٦			
Query ٤٨١	CAACCATTTCAGGTTGACCTCGGATCAGGTAGGGATAACCGCTGAACTTAACGATA			
Sbjct ٥٠٦			

ملحق رقم (12)

***Aspergillus tubingensis* internal transcribed spacer 1, partial sequence; 5.8S ribosomal RNA gene and internal transcribed spacer 2, complete sequence; and 28S ribosomal RNA gene, partial sequence**

Sequence ID: KU1686682.1 **Length:** 111 **Number of Matches:** 1

Range 1: 16 to 561 [GenBank](#) [Graphics](#) [Next Match](#) [Previous Match](#)

Aspergillus tubingensis clone NaBa-5-IRAQ internal transcribed spacer 1, partial sequence; 5.8S ribosomal RNA gene and internal transcribed spacer 2, complete sequence; and large subunit ribosomal RNA gene, partial sequence

GenBank: ON98111.1

FASTA Graphics

Go to:

LOCUS ON98111.1 551 bp DNA linear PLN 18-JUL-2022

DEFINITION Aspergillus tubingensis clone NaBa-5-IRAQ internal transcribed spacer 1, partial sequence; 5.8S ribosomal RNA gene and internal transcribed spacer 2, complete sequence; and large subunit ribosomal RNA gene, partial sequence.

ACCESSION ON98111.1

VERSION ON98111.1

KEYWORDS .

SOURCE Aspergillus tubingensis

ORGANISM Aspergillus tubingensis

Eukaryota; Fungi; Dikarya; Ascomycota; Pezizomycotina;
Eurotiomycetes; Eurotiomycetidae; Eurotiales; Aspergillaceae;
Aspergillus.

REFERENCE 1 (bases 1 to 551)

AUTHORS Naba,M.O. and Ban,T.M.

TITLE 5.8S ribosomal RNA gene, partial sequence

JOURNAL Unpublished

REFERENCE 2 (bases 1 to 551)

AUTHORS Naba,M.O. and Ban,T.M.

TITLE Direct Submission

JOURNAL Submitted (12-JUL-2022) Babylon Education Directorate, University

of Karbala college of Education for pure science Department of

Biology, iraq, Karbala 44164, Iraq

COMMENT ##Assembly-Data-START##

Sequencing Technology :: Sanger dideoxy sequencing

##Assembly-Data-END##

FEATURES Location/Qualifiers

source 1..551

/organism="Aspergillus tubingensis"
/mol_type="genomic DNA"
/isolate="NaBa-5-IRAQ"
/isolation_source="sputum by swab from COVID-19"
/host="Homo sapiens"
/db_xref="taxon:5468"
/clone="NaBa-5-IRAQ"
/country="Iraq"
/collected_by="Naba Mohammed Obyeis, Ban Taha Mohammed"

misc_RNA <1..>551

/note="contains internal transcribed spacer 1, 5.8S
ribosomal RNA, internal transcribed spacer 2, and large
subunit ribosomal RNA"

ORIGIN

1 tctttgggcc acctcccatc cgtgtctatt gtaccctgtt gcttcggcgg gccccccgt

Appendix

٦١ tgtcgccgc cggggggcgc cctctgcccc ccggggccgt gcccgccgga gacccaaca
 ٦٢ cgaacactgt ctgaaagcgt gcagtcttagt gcaatcagtaaaacttca
 ٦٣ acaatggatc tcttggttcc ggcattcgat aagaacgcag cgaaatgcgttaactaatgt
 ٦٤ gaattcaga attcagtcaa tcattcgatc tttagacgcatttgcgccttgcgttattc
 ٦٥ cggggggcat ggcattccgc ggcatttcgc tgccctcaag cccggcttgt gtgtgggtc
 ٦٦ ggcgtccccc tctccggggg gacggggccg aaaggcagcg gggcacccgc gtccgatcc
 ٦٧ cgacgtatg gggcttgc acatgtctg taggattggc cggccctgc cgacgtttc
 ٦٨ caaccattcttccagggtt acctcgatc agtagggat acccgctgaa cttaaagcata
 ٦٩ tcaaaagggg gaagaa

//

Score	Expect	Identities	Gaps	Strand
١٠٠ bits(٥٤٦)	..	٥٤٦/٥٤٦ (١٠٠%)	٠/٥٤٦ (٠%)	Plus/Plus
Query ١	TCTTTGGGCCACCTCCCATCCGTGTATTGACCTGTTGCTTCGGCGGGCCCCGCGCT			
١٠			
Sbjct ٦٦			
١١			
Query ٦١	TGTCGGCCGCCggggggggCGCCTCTGCCCGGGCCGTGCCGCCGGAGACCCCAACA			
١٢			
Sbjct ٧٦			
١٣			
Query ١٢١	CGAACACTGTCTGAAAGCGTGCAGTCTGAGTTGATTGAATGCAATCAGTTAAACTTTCA			
١٤			
Sbjct ١٣٦			
١٥			
Query ١٨١	ACAATGGATCTTGGTCCGGCATCGATGAAGAACGCAGCGAAATGCGATAACTAATGT			
٢٤			
Sbjct ١٩٦			
٢٥			
Query ٢٤١	GAATTGCAGAATTCACTGAATCATCGAGTCTTGAAACGCACATTGCGCCCCCTGGTATT			
٣٠			
Sbjct ٢٥٦			
٣١			
Query ٣٠١	CGGGGGGCATGCCGTCCGAGCGTCATTGCTGCCCTCAAGCCGGCTGTGTGGTC			
٣٦			
Sbjct ٣١٦			
٣٧			
Query ٣٦١	GCCGTCCCCCTCTCGGGGGACGGGCGAAAGGCAGCGGGCACCGCGTCCGATCCT			
٤٢			
Sbjct ٣٧٦			
٤٣			
Query ٤٢١	CGAGCGTATGGGGCTTGTACATGCTCTGTAGGATTGGCGGCCGTGCCGACGTTTC			
٤٨			
Sbjct ٤٣٦			
٤٩			
Query ٤٨١	CAACCATTCTTCCAGGTTGACCTCGGATCAGGTAGGGATAACCGCTGAACTTAACGATA			
٥٤			
Sbjct ٤٩٦			
٥٥			
Query ٥٤١	TCAATA ٥٤٦			
Sbjct ٥٥٦ ٥٦١			
Query ٤٢١	GTATGGGCTTGTACCCGCTCTGTAGGCGCCGGCGCTGCCGAACGCAAATCAAT			
٤٨			
Sbjct ٤٣٧			
٤٩			
Query ٤٨١	CTTTTCCAGGTTGACCTCGGATCAGGTAGGGATAACCGCTGAACTTAACGATATCA	٥٣٦		
Sbjct ٤٩٧	٥٥٢		

ملحق رقم (14)

Rhizopus americanus isolate C₄A internal transcribed spacer 1, partial sequence; 5.8S ribosomal RNA gene and internal transcribed spacer 2, complete sequence; and large subunit ribosomal RNA gene, partial sequence

Sequence ID: KY121221.1 **Length:** 100 **Number of Matches:** 1

Range 1: 22 to 576 [GenBank](#) [Graphics](#) [Next Match](#) [Previous Match](#)

Rhizopus americanus clone NaBa-1'-IRAQ internal transcribed spacer 1, partial sequence; 5.8S ribosomal RNA gene and internal transcribed spacer 2, complete sequence; and large subunit ribosomal RNA gene, partial sequence

GenBank: ON981106.1

FASTA Graphics

Go to:

LOCUS ON981106 550 bp DNA linear PLN 18-JUL-2022

DEFINITION Rhizopus americanus clone NaBa-1'-IRAQ internal transcribed spacer 1, partial sequence; 5.8S ribosomal RNA gene and internal transcribed spacer 2, complete sequence; and large subunit ribosomal RNA gene, partial sequence.

ACCESSION ON981106

VERSION ON981106.1

KEYWORDS .

SOURCE Rhizopus americanus

ORGANISM Rhizopus americanus

Eukaryota; Fungi; Fungi incertae sedis; Mucromycota;
Mucromycotina; Mucromycetes; Mucorales; Mucorineae;
Rhizopodaceae; Rhizopus.

REFERENCE 1 (bases 1 to 550)

AUTHORS Naba,M.O. and Ban,T.M.

TITLE 5.8S ribosomal RNA gene, partial sequence

JOURNAL Unpublished

REFERENCE 2 (bases 1 to 550)

AUTHORS Naba,M.O. and Ban,T.M.

TITLE Direct Submission

JOURNAL Submitted (12-JUL-2022) Babylon Education Directorate, University

of Karbala college of Education for pure science Department of
Biology, iraq, Karbala 44124, Iraq

COMMENT ##Assembly-Data-START##

Sequencing Technology :: Sanger dideoxy sequencing

##Assembly-Data-END##

FEATURES Location/Qualifiers

source 1..550

/organism="Rhizopus americanus"
/mol_type="genomic DNA"
/isolate="NaBa-1'-IRAQ"
/isolation_source="sputum by swab from COVID-19"
/host="Homo sapiens"
/db_xref="taxon:230392"
/clone="NaBa-1'-IRAQ"
/country="Iraq"
/collected_by="Naba Mohammed Obyeis, Ban Taha Mohammed"

misc_RNA <1..>550

/note="contains internal transcribed spacer 1, 5.8S
ribosomal RNA, internal transcribed spacer 2, and large
subunit ribosomal RNA"

ORIGIN

1 tagggttcc tctgggttaa gtgattgctt ctacactgtg aaaatttggc tgagagactc

Appendix

```

٦١ agactggtca tggtagacc tatctgggt ttgatcgatg ccactcctgg tttcaggagc
٧٢١ acccttcata ataaacctag aaattcaga ttataaagtta taataaaaaa caactttaa
٨٣١ caatggatct ctgggtctc gcatcgatga agaacgtgc aactgcgt aactgtgt
٩٤١ aattgcatat tcagtgatc atcgactt tgaacgcgc ttgcactcta tggttttct
١٠٥١ atagagtagc cctgctcgtatcatcaca aacccacaca taacatttgt ttatgtggtg
١١٦١ atgggtcgca tcgctgtttt attacagtga gcacctaaaaa tgtgtgtgat ttctgtctg
١٢٧١ gcttgcgtt caggaatattt acgctggctt caggatctt tttttgggtt aaagtacaag
١٣٨١ agtataatcc agtaatcc aaactatgtatctgaaatgtt gtgggattac ccgctgaact
١٤٩١ taagcatatc
//
```

Score	Expect	Identities	Gaps	Strand
٩٧٩ bits(١٠٨٥)	..	٥٤٧/٥٥٠ (٩٩%)	٠/٥٥٠ (٠%)	Plus/Plus
Query ١	TAGGGTTTCCTCTGGGTAAGTGATTGCTTACACTGTGAAAATTGGCTGAGAGACTC			
Sbjct ٢٧			
Query ٦١	AGACTGGTCATGGTAGACCTATCTGGGTTGATCGATGCCACTCCTGGTTCAAGGAGC			
Sbjct ٨٧			
Query ١٢١	ACCCTTCATAATAAACCTAGAAATTCACTATTATAAGTTAATAAAAAACAACTTTAA			
Sbjct ١٤٧			
Query ١٨١	CAATGGATCTCTGGTTCTGCATCGATGAAGAACGTAGCAAAGTGCAGATAACTAGTGTG			
Sbjct ٢٠٧			
Query ٢٤١	AATTGCATATTCACTGAATCATCGAGTCAGTCTTGAACGCAGCTGCACCTATGGTTTTCT			
Sbjct ٢٦٧			
Query ٣٠١	ATAGAGTACGCCTGCTTCAGTATCATCACAAACCCACACATAACATTGTTATGTGGTG			
Sbjct ٣٢٧ A			
Query ٣٦١	ATGGGTCGCATCGCTGTTTATTACAGTGAGCACCTAAATGTGTGATTTCTGTCTG			
Sbjct ٣٨٧			
Query ٤٢١	GCTTGCTAGGCAGGAATATTACGCTGGTCTCAGGATCtttttttGGTTAAAGTACAAG			
Sbjct ٤٤٧ C ..			
Query ٤٨١	AGTATAATCCAGTAACCTTCAAACATGATCTGAAGTCAGGTGGGATTACCGCTGAAC			
Sbjct ٥٠٧ C ..			
Query ٥٤١	TAAGCATATC ..			

ملحق رقم (15)

Aspergillus niger isolate DNik¹ internal transcribed spacer¹, partial sequence; 18S ribosomal RNA gene and internal transcribed spacer², complete sequence; and large subunit ribosomal RNA gene, partial sequence

Sequence ID: MZ474841.1 Length: 574 Number of Matches: 1

Range 1: 21 to 573 [GenBank](#) [Graphics](#) [Next Match](#) [Previous Match](#)

Aspergillus niger clone NaBa-11-IRAQ internal transcribed spacer¹, partial sequence; 18S ribosomal RNA gene and internal transcribed spacer², complete sequence; and large subunit ribosomal RNA gene, partial sequence

GenBank: ON981107.1

FASTA Graphics

Go to:

LOCUS ON981107 553 bp DNA linear PLN 18-JUL-2022

DEFINITION Aspergillus niger clone NaBa-11-IRAQ internal transcribed spacer¹, partial sequence; 18S ribosomal RNA gene and internal transcribed spacer², complete sequence; and large subunit ribosomal RNA gene, partial sequence.

ACCESSION ON981107

VERSION ON981107.1

KEYWORDS .

SOURCE Aspergillus niger

ORGANISM Aspergillus niger

Eukaryota; Fungi; Dikarya; Ascomycota; Pezizomycotina;
Eurotiomycetes; Eurotiomycetidae; Eurotiales; Aspergillaceae;
Aspergillus; Aspergillus subgen. Circumdati.

REFERENCE 1 (bases 1 to 553)

AUTHORS Naba,M.O. and Ban,T.M.

TITLE 18S ribosomal RNA gene, partial sequence

JOURNAL Unpublished

REFERENCE 2 (bases 1 to 553)

AUTHORS Naba,M.O. and Ban,T.M.

TITLE Direct Submission

JOURNAL Submitted (12-JUL-2022) Babylon Education Directorate, University

of Karbala college of Education for pure science Department of
Biology, iraq, Karbala 44142, Iraq

COMMENT ##Assembly-Data-START##

Sequencing Technology :: Sanger dideoxy sequencing

##Assembly-Data-END##

FEATURES Location/Qualifiers

source 1..553

/organism="Aspergillus niger"
/mol_type="genomic DNA"
/isolate="NaBa-11-IRAQ"
/isolation_source="sputum by swab from COVID-19"
/host="Homo sapiens"
/db_xref="taxon:5461"
/clone="NaBa-11-IRAQ"
/country="Iraq"
/collected_by="Naba Mohammed Obyeis, Ban Taha Mohammed"

misc_RNA <1..>553

/note="contains internal transcribed spacer¹, 18S
ribosomal RNA, internal transcribed spacer², and large
subunit ribosomal RNA"

ORIGIN

Appendix

١ gggccaacct cccatccgtc tctattgtac cctgtgcctt cggcgccc gcccgtgtc
 ٢١ ggccgcggg ggggcgcctc tgccccccgg gcccgtgccccc gccggagacc ccaacacgaa
 ٣٢١ cactgtctga aagcgtgcag tctgagttga ttgaatgcaa tcagttaaaaa ctttcaaca
 ٤٨١ tggatctttt ggttcggca tcgatgaaga acgcagcgaa atgcgataac taatgtgaat
 ٥٤١ tgcagaattc agtgaatcat cgagtcttg aacgcacatt gcgcggcgt gtatccggg
 ٦٠١ gggcatgcct gtccgagcgt cattgctgcc ctcaagcccg gcttgtgtgt ggggtcgccg
 ٧٦١ tccccctctc cggggggacg gggccgaaag gcagcggcgg caccgcgtcc gatcctcgag
 ٨٢١ cgtatggggc ttgtcacat gctctgtagg attggccgc gcctgcccac gtttccaac
 ٩٨١ cattcttcc aggttgcacct cggatcagggt agggataaccc gctgaactta agcatatcat
 ١٠٤١ aaagccggaa gga

//

Score	Expect	Identities	Gaps	Strand
-------	--------	------------	------	--------

٩٨٠ bits(١٠٨٦)	..	٥٤٩/٥٥٣ (٩٩%)	٠/٥٥٣ (٠%)	Plus/Plus
----------------	----	---------------	------------	-----------

Query ١ GGGCCAACCTCCCATCCGTGTCTATTGTACCCTGTTGCTTCGGCGGGCCCCGCCGCTTGTC
٢٠

Sbjct ٢١ ..**C**.....
٣٠

Query ٦١ GGCGCCggggggggCGCCTCTGCCCTCCGGGCCGTGCCGCCGGAGACCCAACACGAA
١٢٠

Sbjct ٨١
١٤٠

Query ١٢١ CACTGTCTGAAAGCGTGCAGTCTGAGTTGATTGAATGCAATCAGTTAAACTTCAACAA
١٨٠

Sbjct ١٤١
٢٠٠

Query ١٨١ TGGATCTTGGTCCGGCATCGATGAAGAACGCAGCGAAATGCGATAACTAATGTGAAT
٢٤٠

Sbjct ٢٠١
٢٦٠

Query ٢٤١ TGCAGAATTCACTGAATCATCGAGTCTTGAAACGCACATTGCGCCCCCTGGTATTCCGGG
٣٠٠

Sbjct ٢٦١
٣٢٠

Query ٣٠١ GGGCATGCCTGTCCGAGCGTCATTGCTGCCCTCAAGGCCGGCTTGTGTGGGGTCGCCG
٣٦٠

Sbjct ٣٢١
٣٨٠

Query ٣٦١ TCCCCCTCTCGGGGGGACGGGCCGAAAGGCAGCGCGCACCGCGTCCGATCCTCGAG
٤٢٠

Sbjct ٣٨١
٤٤٠

Query ٤٢١ CGTATGGGGCTTGTACATGCTCTGTAGGATTGGCCGGCGCCTGCCGACGTTTCCAAC
٤٨٠

Sbjct ٤٤١
٥٠٠

Query ٤٨١ CATTCTTCAGGTTGACCTCGGATCAGGTAGGGATAACCGCTGAACTTAACATATCAT
٥٤٠

Sbjct ٥٠١ A
٥٦٠

Query ٥٤١ AAAGCCGGAAGGA ٥٠٣

Sbjct ٥٦١ G..... ٥٧٣

SUMMARY:

The study was conducted in the Graduate Studies Laboratory of the College of Education for Pure Sciences at the University of Karbala, during the period from ١٥/١١/٢٠٢١ to ١٥/٨/٢٠٢٢. With the aim of controlling the fungus that causes black mold disease by using the phenomenon of fungal antagonism with fungi isolated from the sputum of some people who recovered from infection with Covid ١٩. With the possibility of converting silver and zinc from the metallic state to a nano-state using these fungal filtrates.

The study included the diagnosis of fourteen fungi isolated from the sputum of people who had recovered from infection with Covid ١٩ with a conventional diagnosis, then they were molecularly diagnosed using the polymerase chain reaction (PCR) technique, based on primers for molecular diagnosis.

Fungi have been registered in the global Genbank, and this study is considered the first study concerned with this work at the level of Iraq and the region. These are *Rhizopus americanus* has accession number ON٩٨١١٠٦, *Rhizopus stolonifer* has accession number ON٩٨١٠٩٧, *Aspergillus brasiliensis* has accession number , *Aspergillus costaricensis* has accession number ON٩٨١١٠٢, *Aspergillus flavus* has accession number ON٩٨١٢٩٧ and *Aspergillus minisclerotigene* has accession number ON٩٨١١٠١, *Aspergillus niger* ١ has accession number ON٩٨١٠٩٨, *Aspergillus niger* ٢ has accession number ON٩٨١١٠٧ and fungus *Aspergillus niger* ٣ has accession number , *Aspergillus oryzae*, has accession number ON٩٨١٢٩٥, *Aspergillus piperis*, has accession number ON٩٨١١٠٣, *Aspergillus tubingensis* ١ has accession number ON٩٨١١٠١, *Aspergillus tubingensis* ٢, has accession number ON٩٨١٢٩٦, *Aspergillus welwitschiae* has accession number ON٩٨١٠٩٩ .

The results showed the affinity and similarity between the recorded fungi with the global isolates. The focus was on the phenomenon of fungal antagonism of fungi isolated from sputum, as well as some dermatophytes obtained from previous experiments.

The results of fungal antagonism showed that there was a inconsistency in the antagonistic ability of the fungi used in the study

with *R. stolonifer*, as it reached ٣ according to the Bell scale, after growing them on Sabouraud dextrose agar(SDA) at a temperature of ٢٨ ° C for five days. And then purified and converted into fungal filtrate.

The results showed that there were significant differences at the level of probability ٠٠٥ for the type of fungi extract and its concentration, as it was observed that the effect of the fungal fluctuated compared to the control treatment, which gave a diameter growth rate of ١.٠ cm after five days of incubation at a temperature of ٢٨ ° C. The fungal filtrate at a concentration of ٧٥٪ showed superiority in its inhibition effect over other concentrations of ١٠٠٪, ٥٠٪, and ٢٥٪ on the growth of *R. stolonifer*. And with significant differences at a probability level of ٠٠٥, as it gave a fungus growth rate of ٢.٥٧١ cm, with a rate of ٦٨٪, compared to the rest of the concentrations ١٠٠٪, ٥٠٪, and ٢٥٪, which gave a growth rate for the fungus, respectively, ٣.١١٩, ٦.١٤٣, ٣.٦١٩ cm, with an inhibition ratio of ٦١٪, ٢٣٪, ٥٥ %.

All nanofilters were subjected after the use of fungal filtrate to convert metallic silver and zinc into nanoparticles, and the first point of transformation into a nanofilter was the chromatic function and a difference in the color of the nanofilter from the normal filter before treatment with zinc oxide or silver nitrate, and then other tests related to confirmation of obtaining were conducted. On the nanomaterial, including ultraviolet and infrared rays.

The results showed that there were significant differences at the level of ٠٠٥ for the type of zinc nanofiltrate, its concentration, and the binary interactions in the average diameter of the *R. stolonifer* colony. The results showed a fluctuation in the effect of the filtrate, but in general all the fungal filtrate inhibited the growth of the *R. stolonifer*. As for the concentration of the fungal filtrate with zinc nanoparticles, the concentration of ٢٥٪ showed superiority over the concentrations of ٥٠٪, ٧٥٪, and ١٠٠٪ in its inhibitory effect on the growth of the *R. stolonifer*, with significant differences at the level of ٠٠٥, as it gave the fungus growth rate of ٠.٧٣٨ cm, with an inhibition rate of ٩١٪ compared to the rest. Concentrations of ٥٠٪, ٧٥٪, and ١٠٠٪ gave growth rates of ١.٣١٠, ١.٨٥٧, and ١.٨٣٣ cm, respectively, with inhibition rates of ٨٤٪, ٧٧٪, and ٧٧٪. As for the control treatment, it gave a diagonal growth rate of ١.٠ cm.

The results also showed that there were significant differences at the level of probability ٠٠٥ for the type of fungus nanofiltration with silver and its

concentration, as the results showed fluctuation in the effect of the filtrates, but in general all of them inhibited the growth of the *R. stolonifer*. In terms of the concentration of the fungal nanofiltrate, the concentration of ٥٪ showed superiority over the concentrations of ٢٥٪, ٧٥٪, and ١٠٠٪ in its inhibitory effect on the growth of *R. stolonifer*, with significant differences at a probability level of ٠٠٥, as it gave the fungus growth rate of ١.٤٠٥ cm, with an inhibition rate of ٧٪ compared to the rest of the concentrations. Which gave a growth rate of ٢.٧١٤, ٨, ٥ cm, respectively, with zero inhibition rates, ٦٦٪, and ٣٨٪, respectively, compared to the control treatment, which gave a diagonal growth rate of ٨.٠ cm.

Several microscopic examinations were carried out on *R. stolonifer* treated with fungal filtrate and nano solutions and explained the effect of different treatments and the variation of this effect between decomposition or distortions in the mycelium and the fragmentation of the protoplasm and its agglomeration in other areas as well as the distortions in the sporangia and their different sizes and maturity.



Ministry Of Higher Education And Scientific Research

University Of Kerbala

College Of Education

For Pure Science - Department Of Biology

***Evaluation of Some normal and nano filterates
activity Against Black Molds In vitro Conditions***

A Thesis

**Submitted To The Council Of The College Of Science / Kerbala
University In Fulfillment Of The Requirement For The Degree
Of Master Of Science In Biology / Fungi**

By

Nibaa Mohammed Obyies

Supervised by

Prof. Dr. Ban Taha Mohammad

٢٠٢٣ AD

١٤٤٤ AH